



This is a digital copy of a book that was preserved for generations on library shelves before it was carefully scanned by Google as part of a project to make the world's books discoverable online.

It has survived long enough for the copyright to expire and the book to enter the public domain. A public domain book is one that was never subject to copyright or whose legal copyright term has expired. Whether a book is in the public domain may vary country to country. Public domain books are our gateways to the past, representing a wealth of history, culture and knowledge that's often difficult to discover.

Marks, notations and other marginalia present in the original volume will appear in this file - a reminder of this book's long journey from the publisher to a library and finally to you.

Usage guidelines

Google is proud to partner with libraries to digitize public domain materials and make them widely accessible. Public domain books belong to the public and we are merely their custodians. Nevertheless, this work is expensive, so in order to keep providing this resource, we have taken steps to prevent abuse by commercial parties, including placing technical restrictions on automated querying.

We also ask that you:

- + *Make non-commercial use of the files* We designed Google Book Search for use by individuals, and we request that you use these files for personal, non-commercial purposes.
- + *Refrain from automated querying* Do not send automated queries of any sort to Google's system: If you are conducting research on machine translation, optical character recognition or other areas where access to a large amount of text is helpful, please contact us. We encourage the use of public domain materials for these purposes and may be able to help.
- + *Maintain attribution* The Google "watermark" you see on each file is essential for informing people about this project and helping them find additional materials through Google Book Search. Please do not remove it.
- + *Keep it legal* Whatever your use, remember that you are responsible for ensuring that what you are doing is legal. Do not assume that just because we believe a book is in the public domain for users in the United States, that the work is also in the public domain for users in other countries. Whether a book is still in copyright varies from country to country, and we can't offer guidance on whether any specific use of any specific book is allowed. Please do not assume that a book's appearance in Google Book Search means it can be used in any manner anywhere in the world. Copyright infringement liability can be quite severe.

About Google Book Search

Google's mission is to organize the world's information and to make it universally accessible and useful. Google Book Search helps readers discover the world's books while helping authors and publishers reach new audiences. You can search through the full text of this book on the web at <http://books.google.com/>



Über dieses Buch

Dies ist ein digitales Exemplar eines Buches, das seit Generationen in den Regalen der Bibliotheken aufbewahrt wurde, bevor es von Google im Rahmen eines Projekts, mit dem die Bücher dieser Welt online verfügbar gemacht werden sollen, sorgfältig gescannt wurde.

Das Buch hat das Urheberrecht überdauert und kann nun öffentlich zugänglich gemacht werden. Ein öffentlich zugängliches Buch ist ein Buch, das niemals Urheberrechten unterlag oder bei dem die Schutzfrist des Urheberrechts abgelaufen ist. Ob ein Buch öffentlich zugänglich ist, kann von Land zu Land unterschiedlich sein. Öffentlich zugängliche Bücher sind unser Tor zur Vergangenheit und stellen ein geschichtliches, kulturelles und wissenschaftliches Vermögen dar, das häufig nur schwierig zu entdecken ist.

Gebrauchsspuren, Anmerkungen und andere Randbemerkungen, die im Originalband enthalten sind, finden sich auch in dieser Datei – eine Erinnerung an die lange Reise, die das Buch vom Verleger zu einer Bibliothek und weiter zu Ihnen hinter sich gebracht hat.

Nutzungsrichtlinien

Google ist stolz, mit Bibliotheken in partnerschaftlicher Zusammenarbeit öffentlich zugängliches Material zu digitalisieren und einer breiten Masse zugänglich zu machen. Öffentlich zugängliche Bücher gehören der Öffentlichkeit, und wir sind nur ihre Hüter. Nichtsdestotrotz ist diese Arbeit kostspielig. Um diese Ressource weiterhin zur Verfügung stellen zu können, haben wir Schritte unternommen, um den Missbrauch durch kommerzielle Parteien zu verhindern. Dazu gehören technische Einschränkungen für automatisierte Abfragen.

Wir bitten Sie um Einhaltung folgender Richtlinien:

- + *Nutzung der Dateien zu nichtkommerziellen Zwecken* Wir haben Google Buchsuche für Endanwender konzipiert und möchten, dass Sie diese Dateien nur für persönliche, nichtkommerzielle Zwecke verwenden.
- + *Keine automatisierten Abfragen* Senden Sie keine automatisierten Abfragen irgendwelcher Art an das Google-System. Wenn Sie Recherchen über maschinelle Übersetzung, optische Zeichenerkennung oder andere Bereiche durchführen, in denen der Zugang zu Text in großen Mengen nützlich ist, wenden Sie sich bitte an uns. Wir fördern die Nutzung des öffentlich zugänglichen Materials für diese Zwecke und können Ihnen unter Umständen helfen.
- + *Beibehaltung von Google-Markenelementen* Das "Wasserzeichen" von Google, das Sie in jeder Datei finden, ist wichtig zur Information über dieses Projekt und hilft den Anwendern weiteres Material über Google Buchsuche zu finden. Bitte entfernen Sie das Wasserzeichen nicht.
- + *Bewegen Sie sich innerhalb der Legalität* Unabhängig von Ihrem Verwendungszweck müssen Sie sich Ihrer Verantwortung bewusst sein, sicherzustellen, dass Ihre Nutzung legal ist. Gehen Sie nicht davon aus, dass ein Buch, das nach unserem Dafürhalten für Nutzer in den USA öffentlich zugänglich ist, auch für Nutzer in anderen Ländern öffentlich zugänglich ist. Ob ein Buch noch dem Urheberrecht unterliegt, ist von Land zu Land verschieden. Wir können keine Beratung leisten, ob eine bestimmte Nutzung eines bestimmten Buches gesetzlich zulässig ist. Gehen Sie nicht davon aus, dass das Erscheinen eines Buchs in Google Buchsuche bedeutet, dass es in jeder Form und überall auf der Welt verwendet werden kann. Eine Urheberrechtsverletzung kann schwerwiegende Folgen haben.

Über Google Buchsuche

Das Ziel von Google besteht darin, die weltweiten Informationen zu organisieren und allgemein nutzbar und zugänglich zu machen. Google Buchsuche hilft Lesern dabei, die Bücher dieser Welt zu entdecken, und unterstützt Autoren und Verleger dabei, neue Zielgruppen zu erreichen. Den gesamten Buchtext können Sie im Internet unter <http://books.google.com> durchsuchen.

LICH'sche
ANDLUNG
in Göttingen.

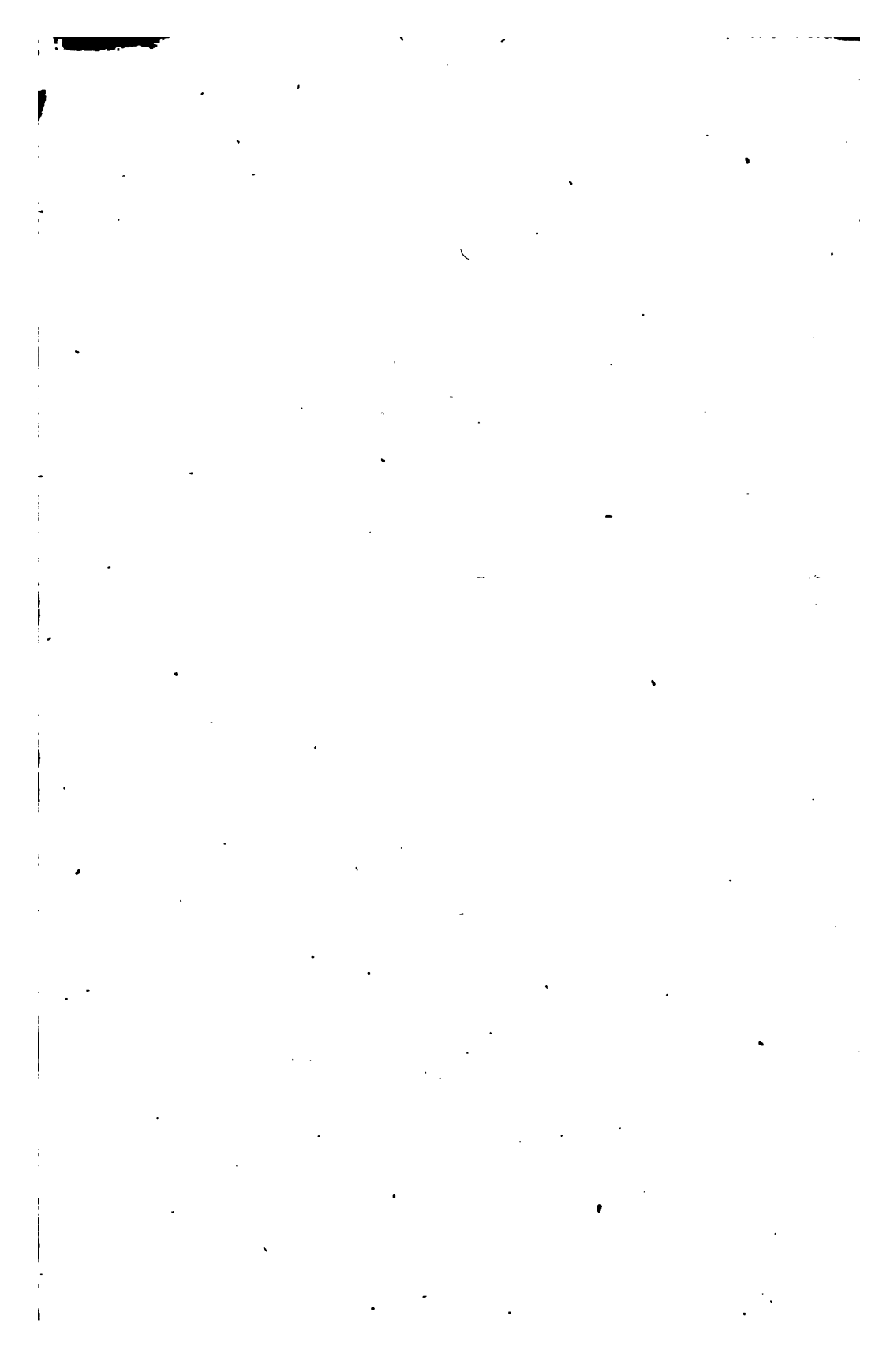
Chem 3578.57



Harvard College Library

FROM

Pres. C. W. Eliot.





0

DIE
NEUESTEN FORSCHUNGEN
IN DER
KRYSTALLOGRAPHISCHEN CHEMIE
ZUGLEICH
ALS SUPPLEMENT ZU DEM HANDBUCH
DER
KRYSTALLOGRAPHISCHEN CHEMIE

VON

C. F. RAMMELSBERG,

DR. UND PROFESSOR AN DER UNIVERSITÄT UND AM GEWERBEINSTITUT, MITGLIED DER
AKADEMIE DER WISSENSCHAFTEN ZU BERLIN.

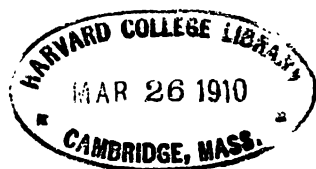
MIT 207 IN DEN TEXT EINGEDRUCKTEN HOLZSCHNITTEN.

LEIPZIG, 1857.

A. FOERSTNERSCHE BUCHHANDLUNG.

(ARTHUR FELIX.)

Chem 3576.57



Pres. C. W. Eliot

VORWORT.

Seit ich den ersten Versuch machte, das vorhandene Material für die krystallographische Kenntniss der chemischen Elemente und ihrer Verbindungen, berechnet und systematisch geordnet, in dem „Handbuch der krystallographischen Chemie, Berlin 1855. P. *Jean-renaud*“ den Chemikern vorzulegen, hat sich der Stoff durch das Erscheinen wichtiger Arbeiten von *Schabus* und *Marignac* in erfreulicher Weise vermehrt. Auch in einzelnen Abhandlungen sind werthvolle Beiträge geliefert worden; Hr. *de Sénarmont* in Paris, Mitglied des Instituts, hat mir handschriftlich eine Reihe von Messungen mitgetheilt, und ich selbst bin bemüht gewesen, durch eigene Untersuchungen zur Erweiterung unserer Kenntnisse in diesem Gebiete beizutragen.

Bei der grossen Zahl von Rechnungen, welche das „Handbuch“ erforderte, fanden sich Fehler ein, wie deren bei einem ersten Versuche auf einem neuen Gebiete stets vorkommen. Die Mängel dieser Arbeit nicht verkennend, habe ich Sorge getragen, in vorliegendem Werke zahlreiche Berichtigungen zu liefern, besonders hinsichtlich der Berechnung eingliedriger Krystalle.

Die im Text nur mit den Namen ihrer Verfasser angeführten Werke sind:

J. Schabus, Bestimmung der Krystallgestalten in chemischen Laboratorien erzeugter Produkte. Eine von der Kais. Akademie der Wissenschaften in Wien gekrönte Preisschrift. Wien 1855.

C. Marignac, Recherches sur les formes cristallines de quelques composés chimiques. Genève 1855.

Leider erhielt ich durch die Güte des Letztgenannten Dessen Recherches sur les formes cristallines et la composition chimique de divers sels (Ann. de mines IX.) für den Druck zu spät, um sie in das vorliegende Werk aufnehmen zu können.

Der Verfasser.

INHALT.

	Seite		Seite
Zur Berechnung des eingliedri- gen Systems	1	V. Amphidsalze.	
Einfache Stoffe (Metalllegirungen).		<i>Sauerstoffsalze.</i>	
Antimonzink	3	Unterschweflgs. Natron	23
Phosphor	4	" Strontian	24
Selen	4	Schweflgs. Ammoniak, zweifach	26
Jod	6	Trithions. Kali	27
Kohlenstoff	7	Pentathions. Kali	28
Kiesel	7	Unterschwefels. Baryt	29
		" Manganoxydul	31
		" Bleioxyd-Strontian	32
		Schwefels. Kali	34
		" Natron	35
		" Lithion	35
		" " -Kali	35
		" Talkerde	36
		" Ceroxydul	37
		" Lanthanoxyd	38
		" Didymoxyd	38
		" Manganoxydul	40
		" Eisenoxydul	43
		" Nickeloyd	43
		" Kobaltoxyd	47
		" Zinkoxyd	48
		" Kadmiumoxyd	49
		" Kupferoxyd	49
		Salpeters. Kali	52
		" Ammoniak	52
		" Strontian	52
		" Quecksilberoxydul	54
		" Quecksilberoxyd	57
		" Uranoxyd	58
		" Wismuthoxyd	58
		Unterphosphorigs. Kalk	62
		Chlors. Natron	63
Uorganische Verbindungen.			
I. Oxyde und Oxydhydrate.			
Zinkoxyd	8		
Rutheniumoxyd	8		
Jodsäure	9		
Oxalsäure	11		
II. Sulfuride.			
Wismuthsulfid	12		
IV. Haloidsalze.			
Fluorkalium, saures	13		
Chlorbaryum	13		
Chlorlanthan	15		
Chlordidym	17		
Manganchlorür	19		
Eisenchlorür	20		
Chlorkobalt	20		
Chlornickel	20		
Kupferchlorid	21		
Brombaryum	22		
Quecksilbercyanid	22		

	Seite		Seite
Citronensaures Natron	159	Schwefelsaures Cinchonin	189
Itaconsäure	159	Cinchotin	190
Itaconanilsäure	160	Schwefelcyanwasserstoff-Chinin	191
Citrobianil	160	Strychnin	191
Propionsaur. Baryt	161	Schwefelsaures Strychnin	192
„ Kupferoxyd	162	Morphin	193
Milchsaures Zinkoxyd	163	Codein	194
„ Kupferoxyd	164	Opianin	194
Buttersaures Kupferoxyd	164	Narcotin	196
Valeriansaures Kupferoxyd	166	Caffein-Quecksilbercyanid	196
Bernsteinsaures Natron	168	Harmin	197
Benzoosaur. Kalk	168	Piperin	198
„ Phenylxyd	169	Chlorwasserstoff - Piperin - Quecksilber-	
Mandelsäure	169	chlorid	199
Salicylsäure	170	Glycin	201
Salicylsaures Ammoniak	171	Chlorwasserstoff-Glycin	202
„ Silberoxyd	171		
Zimmtsäure	172	IV. Aethylverbindungen.	
Zuckersaures Kali	172	Aetherschwefelsaur. Kali	203
		„ Baryt	204
B. Stickstoffhaltige Säuren.		„ Kalk	206
Cyanursäure	172	Cyanursaures Aethylxyd	207
Fulminaur. Kali	173	Aethylammin-Alaun	207
„ Ammoniak	175	Chlorwasserstoff - Aethylammin - Platin-	
„ Baryt	176	chlorid	207
„ Strontian	178	„ - Diaethylammin - Platin-	
Parabansäure	178	chlorid	208
Tolursäure	179	Tetraethylammoniumchlorid - Platinchlorid	209
Styphninsaur. Ammoniak	180	Tetraethylammonium - Trijodid	209
„ Kupferoxyd-Ammoniak	181	Methylschwefelsaures Kali	210
Oxaminsaures Ammoniak	182	Methylschwefelsaurer Baryt	211
		Citronensaures Methylxyd	211
II. Amidverbindungen.		Methylammin - Alaun	212
Oxamid	183	Trimethylammin - Alaun	212
Harnstoff	184	Chlorwasserstoff-Trimethylammin-Platin-	
Salpetersaurer Harnstoff	184	chlorid	212
Stickstoffbenzid	184	Tetramethylammonium - Jodid	212
		„ - Trijodid	213
III. Organische Basen.		„ - Jodid - Bichlorid	213
A. Sauerstofffreie.		„ - Pentajodid	214
Oxalsaures Anilin	185	Methyluramin - Platinchlorid	215
Dinitranilin	185	Formyltrijodid	215
Thiosinnamin	186	Amylammin - Alaun	215
Chlorwasserstoff-Thialdin	187	Chlorwasserstoff - Azophenylammin	215
Schwefelsaures Thialdin	188	„ - Thiosinnaethylammin-	
		Platinchlorid	216
B. Sauerstoffhaltige.		Chlor - Oxamaethan	217
Cinchonin	189		

	Seite		Seite
Verbindungen verschiedener Art.		Erythroglucin	223
Traubenzucker-Chlornatrium	217	Quercit	224
Sorbin	218	Isatin	225
Milchzucker	219	Cantharidin	226
Mannit	220	Stearopten aus dem Oel von Psychotis	
Salicin	222	Ajowan	226
Haematoxylin	222	Terpin	227

Zur Berechnung des eingliedigen Systems.

Sind durch Messung der Kantenwinkel des eingliedigen Hexaids die drei Winkel A, B, C gegeben, so werden die Axenwinkel α, β, γ nach den (S. 8 des Handbuchs) mitgetheilten Formeln berechnet.

Ist einer der Winkel A, B oder C, oder sind zwei von ihnen oder alle drei stumpf, so werden ihre cos. natürlich negativ genommen.

Es ist am zweckmässigsten, die Winkel A, B, C und α, β, γ für einen Oktanten des Axenkreuzes anzugeben, wozu in diesem Werke stets der vordere rechte gewählt ist, d. h. derjenige, welchem die Oktaidfläche $a:b:c$ angehört. Da die Axe a stets nach hinten aufwärts gerichtet ist, so wird für diesen Oktanten B und β immer stumpf sein.

Am häufigsten berechnet man das Axenverhältniss eingliedriger Krystalle, nachdem α, β, γ gefunden sind, indem man die Neigung zweier Dodekaidflächen gegen eine Hexaidfläche misst, z. B. p oder p' gegen a oder b; q oder q' gegen b oder c; r oder r' gegen a oder c, wobei man sich der im Handbuch S. 12 gegebenen Formeln bedient.¹⁾

Aus den Axen und den Winkeln α, β, γ berechnet man die Winkel der Axenebenen mit Hilfe folgender Formeln:

$$\begin{aligned} \operatorname{tg} \mu &= \frac{a \cdot \sin \beta}{c - a \cdot \cos \beta} & \operatorname{tg} \mu' &= \frac{a \cdot \sin \beta}{c + a \cdot \cos \beta} \\ \operatorname{tg} \varrho &= \frac{b \cdot \sin \alpha}{c - b \cdot \cos \alpha} & \operatorname{tg} \varrho' &= \frac{b \cdot \sin \alpha}{c + b \cdot \cos \alpha} \\ \operatorname{tg} \sigma &= \frac{b \cdot \sin \gamma}{a - b \cdot \cos \gamma} & \operatorname{tg} \sigma' &= \frac{b \cdot \sin \gamma}{a + b \cdot \cos \gamma} \end{aligned}$$

Hieraus folgen die Winkel X, Y, Z für die Oktaidflächen, d. h. die Neigung der Oktaidfläche gegen die drei Axenebenen.

$$\begin{aligned} 1) \quad \operatorname{tg} \frac{Y+X}{2} &= \operatorname{cotg} \frac{C}{2} \cdot \frac{\cos \frac{(\mu-\varrho)}{2}}{\cos \frac{(\mu+\varrho)}{2}} \\ 2) \quad \operatorname{tg} \frac{Y-X}{2} &= \operatorname{cotg} \frac{C}{2} \cdot \frac{\sin' \frac{(\mu-\varrho)}{2}}{\sin \frac{(\mu+\varrho)}{2}} \end{aligned}$$

1) Dasselbe Zeile 13 von unten muss es heißen $Y + Z + B = 180^\circ$.

$$3) \quad \operatorname{tg} \frac{Y+Z}{2} = \operatorname{cotg} \frac{B}{2} \cdot \frac{\cos \frac{(\tau-\pi)}{2}}{\cos \frac{(\tau+\pi)}{2}}$$

$$4) \quad \operatorname{tg} \frac{Y-Z}{2} = \operatorname{cotg} \frac{B}{2} \cdot \frac{\sin \frac{(\tau-\pi)}{2}}{\sin \frac{(\tau+\pi)}{2}}$$

$$5) \quad \operatorname{tg} \frac{X+Z}{2} = \operatorname{cotg} \frac{A}{2} \cdot \frac{\cos \frac{(\sigma-\nu)}{2}}{\cos \frac{(\sigma+\nu)}{2}}$$

$$6) \quad \operatorname{tg} \frac{X-Z}{2} = \operatorname{cotg} \frac{A}{2} \cdot \frac{\sin \frac{(\sigma-\nu)}{2}}{\sin \frac{(\sigma+\nu)}{2}}$$

Bei Anwendung dieser Formeln ist gleichfalls darauf zu achten, ob für die betreffende Oktaidfläche die stumpfen oder spitzen Winkel A, B, C genommen werden müssen.

Ist $\varrho > \mu$, $\pi > \tau$, $\nu > \sigma$, wird also die Differenz $\mu - \varrho$, $\tau - \pi$, $\sigma - \nu$ negativ, so wird auch der sin. negativ, und man erhält somit den Werth für

$$2, \operatorname{tg} \frac{X-Y}{2}, \text{ oder } 4, \operatorname{tg} \frac{Z-Y}{2}, \text{ oder } 6, \operatorname{tg} \frac{Z-X}{2}$$

Die Berechnung der Winkel X, Y, Z für die Dodekaidflächen erfolgt mittelst derselben Formeln, indem jede Dodekaidfläche als eine Oktaidfläche betrachtet werden kann, für welche eine der Axen $= \infty$ geworden ist.

I. Berechnung der beiden Hälften des ersten Paares:

$$p = a : b : \infty c$$

$$p' = a : b' : \infty c.$$

Die Fläche ist eine Oktaidfläche mit ∞c . Für sie wird daher

$$\nu = 180^\circ - \beta$$

$$\pi = 180^\circ - \alpha$$

wobei α entweder der spitze oder der stumpfe, β aber stets der stumpfe Winkel ist. Man benutzt die Formeln 3—6, oder nur zwei von ihnen, da immer $X + Y + C = 180^\circ$ ist.

II. Berechnung der beiden Hälften des zweiten Paares:

$$q = b : c : \infty a$$

$$q' = b' : c : \infty a.$$

Da hier $a = \infty$ ist, so wird $\mu = 180^\circ - \beta$

$$\tau = 180^\circ - \gamma,$$

wobei β stumpf, γ spitz oder stumpf ist. Man benutzt die Formeln 1—4, oder nur zwei von ihnen, da $X + Z + A = 180^\circ$ ist.

III. Berechnung der beiden Hälften des dritten Paares:

$$r = a : c : \infty b$$

$$r' = a' : c : \infty b.$$

Da hier $b = \infty$ ist, so wird $\rho = 180^\circ - \alpha$
 $\sigma = 180^\circ - \gamma$,
 wobei α und γ entweder spitz oder stumpf sind. Man gebraucht die Formeln 1, 2 und 5, 6, oder nur zwei von ihnen, da $Y + Z + B = 180$ ist.
 Zur Berechnung der Winkel X, Y, Z für solche Oktaid- und Dodekaidflächen, welche ausserdem vorkommen, werden die Winkel der Axenebenen, μ , ν etc. mit Hülfe der angeführten Formeln aufgesucht, in denen statt a und c die Werthe ma und nc zu gebrauchen sind.

Einfache Stoffe.

(Metalllegirungen.)

Antimonzink.

I. Zn² Sb.

Zweigliedrig. $a : b : c = 0,7609 : 1 : 0,960$. *Cooke.*
 Rhombenoktaeder o mit Abstumpfung der Ecken durch c.

$$o = a : b : c \quad c = c : \infty a : \infty b.$$

	Berechnet.	Beobachtet.
o { 2 A =		*118° 24'
o { 2 B = 95° 24'		95 30
o { 2 C =		*115 30
o : c = 122 15		122 15.

Sp. G. = 6,384.

Cooke: Memoirs of the Americ. Acad. N. S. V. Poggend. Ann. 96, 584.

II. Zn² Sb.

Zweigliedrig. $a : b = 0,6128 : 1$. *Cooke.*

Rhombische Prismen p mit Abstumpfung der Seitenkanten a und b und der Endfläche c.

$$p = a : b : \infty c \quad a = a : \infty b : \infty c$$

$$b = b : \infty a : \infty c$$

$$c = c : \infty a : \infty b.$$

	Berechnet.	Beobachtet.
p : p an a = 117° 0'		117° 0'
„ b = 63 0		
p : a =		*148 30
p : b = 121 30		121 30

Die Krystalle haben einen geringen Durchmesser, sind stark gestreift und in paralleler Stellung vielfach verwachsen.

Sp. G. = 6,327.

Cooke: A. a. O.

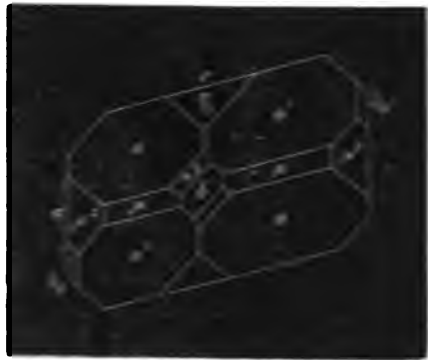
Plouffe N. 20.

Wiederlich ist Beobachtungen über die Ausdehnung des Plouffe (siehe unten).

Schem. N. 21.

Zwei und zwei beträgt: $2 : 2 : 2 = 1 : 1 : 1$ (siehe unten)
 $2 = 2 : 2 : 2$ (siehe unten).

Zwei- und einseitige Oktaeder (20) mit den Hexagonalen (2, 6) (siehe unten) bestehend, und dadurch bestimmt, die schmale Ausdehnung der Seitenkanten des ersten Paar (2), mit der zweiten (unten) (2), so wie ein zweites Paar (2). Ferner, gehen sehr intergessinet, ein weiteres (unten) (2), mit 2 und 2 in eine Zone (siehe unten), und ein weiteres (2) mit 2 und 2, und mit 2 und 2 in einem (2) (siehe unten) eine Zone (siehe unten) eine gleiche mit 2, (2) mit einem (2) (siehe unten).



$$\begin{aligned}
 o &= a : b : c & p &= a : b : \infty c & a &= a : \infty b : \infty c \\
 o' &= a' : b : c & p^2 &= a : 2b : \infty c & b &= b : \infty a : \infty c \\
 o^{1/2} &= a : \frac{1}{2}b : c & q_{\frac{1}{2}} &= 2b : c : \infty a & c &= c : \infty a : \infty b \\
 \frac{1}{30}o' &= \frac{1}{2}a' : b : c
 \end{aligned}$$

An dem Hauptoktaeder oo' ist:

	A = 76° 26'		C = 123° 58'
	B = 90 32		D = 123 11
		Berechnet.	Beobachtet.
a : c	—		* 104° 6'
p : p an a	= 64' 56'		
- b	= 115 4		
p : a	= 122 28		
p : b	= 147 32		
p : c	= 97 31		
p ² : p ² an a	—		* 103, 40
- b	= 76 20		
p ² : a	= 141 50		
p ² : b	= 128 10		
p ² : c	= 101 3		
p : p ²	= 160 38		
q _{1/2} : q _{1/2} an c	= 104 22		
- b	= 75 38		
q _{1/2} : c	= 142 11		
q _{1/2} : b	= 127 49		
o : a	= 123 55		
o : b	= 134 44		
o : c	= 124 13		
o : p	= 153 18		
o' : a	= 112 7		
o' : b	= 141 47		
o' : c	—		* 112 36
o' : p	= 149 53		
o ^{1/2} : o ^{1/2}	= 53 34		
o ^{1/2} : a	= 110 44		
o ^{1/2} : b	= 153 13		
o ^{1/2} : c	= 110 55		
o : o ^{1/2}	= 161 31		
1/30o' : 1/30o'	= 123 28		
1/30o' : a	= 146 3		
1/30o' : b	= 118 16		
1/30o' : c	= 94 52		
o' : 1/30o'	= 146 4.		

Diese Selenkrystalle sind aus der Auflösung in Schwefelkohlenstoff erhalten worden. Sie sind von geringer Grösse, schwarz, oder, wenn sie durch Vorherrschen von c als dünne Blättchen erscheinen, roth. Die Flächen p sind sehr selten.

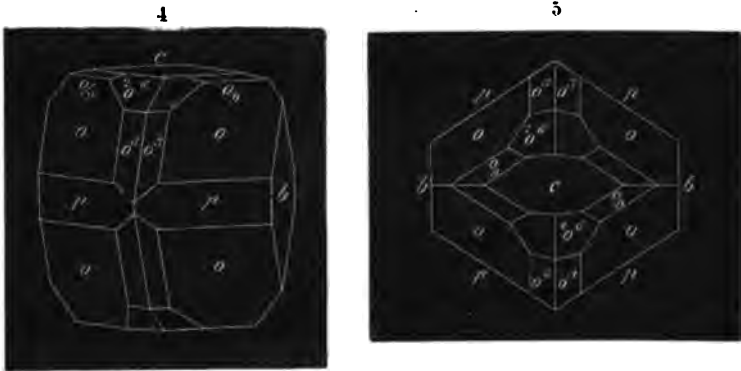
Mitscherlich: Monatsber. d. Akad. d. W. zu Berlin. 1855. S. 409.

Jod. (S. 25.)

Zweigliedrig. $a : b : c = 0,6644 : 1 : 1,3653$. *Mitscherlich*.

Rhombenoktaeder o mit dem ersten Paar p und den Hexaidflächen b und c . Letztere beide dehnen sich häufig sehr aus, so dass namentlich die durch Sublimation erhaltenen Krystalle als dünne rhombische Tafeln erscheinen, deren Ränder zugespitzt sind. Aehnlich sind die beim Erstarren von geschmolzenem Jod sich bildenden Krystalle. Bei den aus Alkohol sich abscheidenden herrscht o , b und c treten sehr zurück.

Ausserdem beobachtet man noch drei andere Rhombenoktaeder, nämlich o^3 , welches die stumpfen Endkanten von o zuschärft; o'_0 , als Abstumpfung der Kanten oc , und ${}^2o^0$, auf o^3 gerade aufgesetzt. Fig. 4. 5.



Maignac erhielt aus Jodwasserstoffsäure die Combination o , o^3 , b , c , tafelförmig nach b . Fig. 6.

Das Oktaeder o ist identisch mit dem des Handbuchs, und ${}^2o^0$ ist ohne Zweifel $= \frac{1}{2}o^{\frac{1}{4}}$, die Fläche b ist die frühere Fläche c (Fig. 30. 31).

$$\begin{array}{lll}
 o & = & a : b : c \\
 o'_0 & = & a : b : \frac{1}{9}c \\
 o^3 & = & a : 3b : c \\
 {}^2o^0 & = & a : 3b : \frac{1}{12}c
 \end{array}
 \quad
 \begin{array}{l}
 p = a : b : \infty c \\
 b = b : \infty a : \infty c \\
 c = c : \infty a : \infty b
 \end{array}$$

	2 A.	2 B.		2 C.
o	$= 118^\circ 18'$	$78^\circ 58'$	$(78^\circ 45' \text{ Mar.})$	$*135^\circ 52'$
o'_0	$= 163 10$	$154 34$		$(135^\circ 52' \text{ Mar.})$
o^3	$= 157 28$	$56 16$		$30 40$
${}^2o^6$	$= 161 58$	$89 52$		$129 12$
				$(129^\circ 13' \text{ Mar.})$
				$92 56$

Berechnet.

Beobachtet.

Marignac.

$p : p \text{ an } a$	$= 112^\circ 48'$	
	$= 67 12$	
$p : b$	$= 123 36$	
$o : b$	$= 120 51$	$120^\circ 42'$
$o : c$	$= 112 4$	$112 0$
$o : p$	$= 157 56$	
$o'_0 : b$	$= 98 25$	
$o'_0 : c$	$= 164 40$	
$o'_0 : p$	$= 105 20$	
$o : o'_0$	$= 127 24$	
$o^3 : b$	$= 101 16$	$101 9$
$o^3 : c$	$= 115 24$	$115 24$
$o : o^3$	$= 160 25$	
${}^2o^6 : b$	$= 99 1$	
${}^2o^6 : c$	$= 133 32$	
$o^3 : {}^2o^6$	$= 161 52$	

An den Krystallen aus Alkohol sind die Flächen o^3 oft grösser als o ; an denen aus Jodwasserstoffsäure überwiegt ${}^2o^6$ so, dass c gar nicht, o und b nur sehr untergeordnet erscheinen. Am seltensten sind o'_0 und p .

Die durch langsame Sublimation entstehenden Krystalle sind für Messungen die geeignetsten.

Mitscherlich: Monatsb. d. Akad. d. Wiss. zu Berlin. 1855. S. 416.

Marignac: Recherches sur les formes cristallines p. 12.

Kohlenstoff.

Graphit. Nach *Nordenskiöld d. J.* zwei- und eingliedrig. $a : b : c = 0,7069 : 1 : 0,5089$. $o = 88^\circ 14'$. Spaltbar nach a .
Pogg. Ann. 96, 110.

Kiesel (Silicium).

Regulär.

Sénarmont beobachtete Granatoeder in der Richtung einer rhomboedrischen Axe verlängert. *Descloizeaux* fand Oktaeder, deren sämtlichen Kantenwinkel $= 109^\circ 28'$ waren.

Sénarmont: Compt. rend. XI. 345. Poggend. Ann. 97, 644.

Unorganische Verbindungen.

I. Oxyde und Oxyhydrate.

Zinkoxyd. (S. 28.)

Uebereinstimmend mit *G. Rose* fand auch *Schabus* an krystallisirtem Zinkoxyd die Combination des sechsseitigen Prismas mit der Endfläche und einem Dihexaeder, an welchem der Endkantenwinkel $127^{\circ} 42',5$ betrug.

Wiener Akad. Berichte 11, 8.

Rutheniumoxyd.

$\bar{R}u? \bar{R}u' \bar{R}u?$

Viergliedrig: $a : c = 1,4957 : 1 = 1 : 0,6686$. *Sénarmont*.

Quadratische Prismen p , mit einer auf die Flächen aufgesetzten vierflächigen Zuspitzung durch das Hauptoktaeder o , dessen Endkanten durch das erste stumpfere d abgestumpft sind. Letzteres ist herrschend.

$$\begin{array}{l} o = a : a : c \qquad d = a : c : \infty a \\ p = a : a : \infty c \end{array}$$

2 A.	2 C.	σ .
$o = 121^{\circ} 52'$	$86^{\circ} 48'$	$56^{\circ} 14'$
$d = 133 \ 42$	$67 \ 32$	$64 \ 41$

Berechnet.	Beobachtet.
$o : p =$	$*133^{\circ} 24'$
$d : p = 113^{\circ} 9'$	$113 \ 10$
$d : o = 150 \ 56$	$150 \ 57$

Isomorph mit Zinnsäure und Titansäure als Zinnstein und Rutil.

Privatmittheilung.

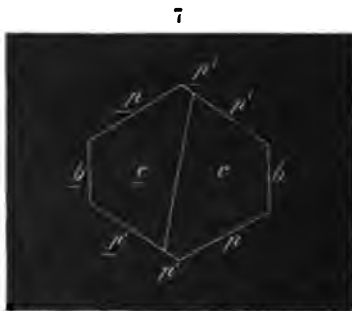
Borsäure. (S. 33)

Die Fig. 37, welche in der Flächenbezeichnung fehlerhaft ist, muss durch beistehende ersetzt werden.

Nach *Kenngott* scheinen die Krystalle zwei- und eingliedrig zu sein. Er beobachtete die schiefe Endfläche c gerade aufgesetzt auf die scharfen Seitenkanten von p . Die Messungen gaben:

$$\begin{array}{l} p : p \text{ an } b = 118^{\circ} 4' \\ p : b = 120 \ 50 \end{array}$$

Die Krystalle waren Zwillinge. Die Zwillingsebene war die Fläche b .
Wiener Akad. Berichte. 1854. Januar.



Jodsäure. J. (S. 34.)

Ob wasserfrei oder ein Hydrat?

Zweigliedrig — hemiedrisch. $a : b : c = 0,9388 : 1 : 1,3181$
Schabus.

Die Krystalle erscheinen unter zweierlei Gestalt:

1) Combinationen eines rhombischen Prismas p , mit einer auf dessen scharfe Seitenkanten aufgesetzten Zuschärfung durch das zweite Paar q , und einer auf die stumpfen aufgesetzten durch ein drittes Paar r_2 , während zwei Flächen o_2 , auf p gerade aufgesetzt, einem Rhombentetraeder angehören. Fig. 8. 9.

8



9



2) Combinationen der genannten Flächen ohne $r/2$, an dessen Stelle das dritte Paar r auftritt, sowie das Rhombentetraeder o , und sehr selten und untergeordnet die Endfläche c . Fig. 10. 11.



Es ist mithin o das Hauptoktaeder, und p, q, r sind seine zugehörigen Paare. $o/2$ ist das zweifach stumpfere, dessen drittes zugehöriges Paar $r/2$ ist.

$$\begin{array}{lll}
 o & = & a : b : c \\
 o/2 & = & a : b : 1/2c \\
 p & = & a : b : \infty c \\
 q & = & b : c : \infty a \\
 r & = & a : c : \infty b \\
 r/2 & = & 2a : c : \infty b \\
 c & = & c : \infty a : \infty b
 \end{array}$$

Die berechneten Winkel der beiden Oktaeder und ihrer Tetraeder sind

	Oktaeder.	Tetraeder.
$o =$	$\left\{ \begin{array}{l} 2 A = 105^\circ 12' \\ 2 B = 99 \quad 22 \\ 2 C = 125 \quad 8 \end{array} \right.$	$\left\{ \begin{array}{l} 74^\circ 48' \\ 80 \quad 38 \\ 54 \quad 52 \end{array} \right.$
$o/2 =$	$\left\{ \begin{array}{l} 2 A = 123 \quad 18 \\ 2 B = 119 \quad 16 \\ 2 C = 87 \quad 50 \end{array} \right.$	$\left\{ \begin{array}{l} 56 \quad 42 \\ 60 \quad 44 \\ 92 \quad 10 \end{array} \right.$
	Berechnet.	Beobachtet.
$p : p$	$\text{an } a = 93^\circ 37'$ $- b =$	$*86^\circ 23'$
$q : q$	$- c = 74 \quad 22$ $- b = 105 \quad 38$	$74 \quad 20,5$
$q : c$	$= 127 \quad 11$	
$r : r$	$\text{an } c =$ $- a = 109 \quad 5$	$*70 \quad 55$

	Berechnet.	Beobachtet.
r : c	= 125° 27',5	
r/2 : r/2 an c	= 109 52	
- a	= 70 8	
r/2 : c	= 144 56	
r/2 : r	= 160 31,5	
o : c	= 117 26	
o : p	= 152 34	152° 33'
o : q	= 139 41	
o : r	= 142 36	
o/2 : c	= 136 5	
o/2 : p	= 133 55	133 55
o/2 : r/2	= 151 39	
o/2 : o	= 161 21	

Die Krystalle sind meistens durch Vorherrschen der einen Fläche von p tafelartig.

Sehr vollkommen spaltbar nach r, unvollkommen nach q.

Schabus: S. 34.

Oxalsäure. (S. 35.)

De Sénarmont beobachtete das hintere Augitpaar o', welches in die erste Kantenzone und zugleich in die Diagonalzone von r' fällt.

$$o' = a' : b : c$$

	Berechnet.	Beobachtet.
p : p an a	=	63° 5'
p : c	=	98 25
c : r	=	129 20
c : r'	=	103 15
r : r'	=	127 25
q : q an c	=	34 30
q : c	=	107 25
o' : o' üb. r'	= 62° 28'	
o' : c	= 96 55	96 50
o' : p	= 164 40	164 45
o' : q	= 148 26	
o' : r'	= 121 14	

Die Ebene der optischen Axen ist senkrecht auf c; sie bilden einen Winkel von 110—112°, und die halbirende Ebene geht der Kante c r parallel.

De Sénarmont: Privatmittheilung.

II. Sulfuride.

Wismuthsulfid. Bi_2S_3 .

Zweigliedrig. $a : b = 0,9884 : 1$. *G. Rose*.

Combinations des fast rechtwinkligen rhombischen Prismas p mit dem zweifach und vierfach schärferen 2p , 4p , dem vierfach stumpferen p^4 und den Hexaidflächen a und b . Flächen des Endes sind bisher nicht beobachtet worden.

$p = a : b : \infty c$	$a = a : \infty b : \infty c$
${}^2p = 2a : b : \infty c$	$b = b : \infty a : \infty c$
${}^4p = 4a : b : \infty c$	
$p^4 = a : 4b : \infty c$	

Berechnet.

Beobachtet.

	<i>G. Rose.</i>	<i>Werther.</i>
$p : p$ an a	$= 90^\circ 40'$	
- b	$= 89 20$	
$p : a$	$= 135 20$	
$p : b$	$=$	$* 134^\circ 40'$
${}^2p : {}^2p$ an a	$= 53 40$	$135^\circ 0'$
- b	$= 126 20$	
${}^2p : a$	$= 116 50$	
${}^2p : b$	$= 153 10$	
${}^2p : p$	$= 161 30$	
${}^4p : {}^2p$ an a	$= 28 23$	
- b	$= 151 37$	
${}^4p : a$	$= 104 11$	
${}^4p : b$	$= 165 49$	
${}^4p : p$	$= 148 52$	
${}^4p : p^2$	$= 167 22$	
$p^4 : p^4$ an a	$= 152 14$	
- b	$= 27 46$	
$p^4 : a$	$= 166 7$	
$p^4 : b$	$= 103 53$	
$p^4 : p$	$= 149 13$	
$p^4 : {}^2p$	$= 130 43$	
$p^4 : {}^4p$	$= 118 5$	

An Krystallen von Wismuthglanz fand *Phillips*

$p : p$ an a	$= 91^\circ 30'$
$p : b$	$= 134 30$

Er mass noch andere Winkel in der horizontalen Zone, welche indessen zu keinen einfachen Ausdrücken für die betreffenden Flächen führen.

Miller führt noch ein Prisma ${}^3p = 3a : b : \infty c$ an, für welches die Neigungen sein würden:

	Berechnet.	Beobachtet.
$^3p : ^3p \text{ an } a$	= 37' 16'	
- b	= 142 41	
$^3p : a$	= 108 38	
$^3p : b$	= 161 22	161° 16'
$^3p : p$	= 153 18	

Werther hielt die durch Zusammenschmelzen von Wismuth und Schwefel entstehenden Krystalle für viergliedrig, und für eine niedrigere Schwefelungsstufe, wogegen *Schneider* nachgewiesen hat, dass sie aus Wismuthsulfid mit beigemengtem metallischen Wismuth bestehen.

Die Krystalle sind fast immer nur äusserst dünn, nadel- und haarförmig. Sehr vollkommen spaltbar nach b und der Endfläche c.

Das Wismuthsulfid ist isomorph mit dem antimonigen Sulfid (Antimonglanz).

G. Rose: Pogg. Ann. 91, 401.

Phillips: Phil. Mag. and Ann. of Phil. II. 181. Pogg. Ann. 11, 476.

Müller: Mineralogy p. 173.

Werther: Journ. f. pr. Chem. 27, 65.

IV. Haloidsalze.

Chloride.

Fluorkalium, saures.

Fluorwasserstoff — Fluorkalium. $KFl + HFl$.

Viergliedrig. $a : c = 1,6643 : 1 = 1 : 0,6008$. *Sénarmont*.

Quadratoktaeder o mit starker Abstumpfung der Ecken durch c, und schmaler Abstumpfung der Seitenkanten durch das erste Prisma p.

$$o = a : a : c \quad p = a : a : \infty c \quad c = c : \infty a : \infty a$$

	Beobachtet.	Berechnet.
o	2 A = 125° 30'	
	2 C = 80 44	
	α = 59 0	
	o : c =	* 139° 38'
	o : p = 130 22	130 24

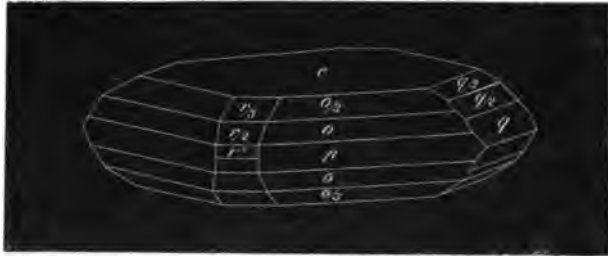
Optisch einaxig; repulsive Doppelbrechung.

Privatmittheilung.

Chlorbaryum. (S. 43.)

$BaCl + 2aq$.

Marignac beobachtete tafelförmige Combinationen von c (Tafelfläche) mit o, p, q, $q\frac{1}{2}$, r, $r\frac{1}{2}$, woran ausserdem als neu das dreifach stumpfere Oktaeder $o\frac{1}{3}$ und die dazu gehörigen Paare $q\frac{1}{3}$ und $r\frac{1}{3}$, sowie das vierfach schärfere dritte Paar $r\frac{1}{4}$ auftraten. Fig. 12.



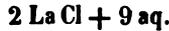
$$\begin{aligned}
 o/3 &= a : b : 1/3c & q'_3 &= b : 1/3c : \infty a' \\
 & & r'_3 &= a : 1/3c : \infty b \\
 & & r^1 &= a : 4c : \infty b
 \end{aligned}$$

	Berechnet.	Beobachtet.
$o \left\{ \begin{array}{l} 2 A \\ 2 B \end{array} \right.$	$=$	102 28'
$p : p \text{ an } a$	$=$	96 50
$q : c$	$=$	93 20
$q'_{1/2} : c$	$=$	123 12
$r'_{1/2} : c$	$=$	142 35
$o : c$	$=$	140 57
$p : q'_{1/2}$	$= 115^\circ 22'$	114 14
$p : r'_{1/2}$	$= 117 21$	114 45
$o'_3 \left\{ \begin{array}{l} 2 A \\ 2 B \\ 2 C \end{array} \right.$	$= 130 30$	117 16
$q'_{1/3} : q'_{1/3} \text{ an } c$	$= 127 56$	131 58
$- b$	$= 74 30$	
$q'_{1/3} : c$	$= 125 28$	
$q'_{1/3} : b$	$= 54 32$	
$q : q'_{1/2}$	$= 152 44$	152 57
$q'_{1/2} : q'_{1/3}$	$= 117 16$	
$r'_{1/3} : r'_{1/3} \text{ an } c$	$= 149 38$	
$- a$	$= 169 0$	
$r'_{1/3} : c$	$= 122 26$	
$r'_{1/3} : a$	$= 57 34$	
$r : r'_{1/3}$	$= 151 13$	151 40
$r'_{1/2} : r'_{1/3}$	$= 118 47$	
$r^1 : r^1 \text{ an } c$	$= 150 2$	
$- a$	$= 169 18$	
$r^1 : c$	$= 17 14$	
$r^1 : a$	$= 162 46$	
$r : r^1$	$= 98 37$	98 45
$r_{1/2} : r^1$	$= 171 23$	
$r_{1/3} : r^1$	$= 157 22$	
$o_{1/3} : a$	$= 138 6$	
	$= 127 24$	
	$= 116 2$	

	Berechnet.	Beobachtet.
$o_3 : b$	$= 114^\circ 45'$	
$o_3 : c$	$= 142 45$	143° ungef.
$o_3 : p$	$= 127 15$	
$o_3 : q_3$	$= 153 58$	
$o_3 : r_3$	$= 155 15$	
$o : o_3$	$= 150 55$	

Die Flächen o_3, q_3, r_3 sind sehr selten, und p, q, r kommen gleichfalls nicht häufig vor.

Chlorlanthan.



Eingliedrig. $a : b : c = 1,1593 : 1 : 0,8659.$ *Maignac.*

A = $90^\circ 20'$	$\alpha = 91^\circ 3'$
B = $114 27$	$\beta = 114 28$
C = $88 30$	$\gamma = 88 12$

Combinationsen eines eingliedrigen Oktaeders o mit dem Hexaid a, b, c und den zugehörigen Dodekaidflächen p, p' . Ausserdem die schiefen Endflächen r^2 und r'^2 . Fig. 13.

13



$o = a : b : c$	$p = a : b : \infty c$	$a = a : \infty b : \infty c$
$o' = a : b' : c$	$p' = a : b' : \infty c$	$b = b : \infty a : \infty c$
$o'' = a' : b : c$	$r^2 = a : 2c : \infty b$	$c = c : \infty a : \infty b$
$o''' = a' : b' : c$	$r'^2 = a' : 2c : \infty b$	

	Berechnet.	Beobachtet.
$o : o'$ (Kante ac)	$= 123^\circ 42'$	$123^\circ 43'$
$o'' : o'''$ („ $a'c$)	$= 101 45$	$102 0$
$o : o''$ („ bc)	$= 120 36$	
$o' : o'''$ („ $b'c$)	$= 120 30$	
$o : o'''$ („ ab)	$= 94 7$	
$o' : o''$ („ ab')	$= 95 42$	
$a : b$	$=$	$* 88 30$
$a : p$	$=$	$* 132 40$
$b : p$	$= 135 50$	
$a : p'$	$= 134 14$	$134 10$
$b' : p'$	$= 137 16$	

	Berechnet.	Beobachtet.
p : p' an a	= 86° 54'	
- b	= 93 6	
p : c	= 107 1	107° 0'
p' : c	= 106 4	106 10
h : c	=	*90 20
a : c	=	*114 27
a : r ²	= 154 30	
c : r ²	= 139 57	140 3
a' : r ²	= 139 53	
c : r ²	=	*105 40
r ² : r ² an c	= 65 37	
r ² : b	= 89 6	
r ² : b	= 91 49	
o : a	= 133 9	132 58
o : b	= 117 42	117 40
o : c	= 142 5	142 0
o : p	= 144 56	
o' : a	= 134 50	134 36
o' : b'	= 118 36	118 40
o' : c	= 140 58	140 55
o' : p'	= 145 6	
o'' : a'	= 106 15	106 11
o'' : b	= 130 2	130 0
o'' : c	= 123 20	123 30
o'' : p'	= 130 36	
o''' : a'	= 104 40	104 40
o''' : b'	= 128 13	127 50
o''' : c	= 123 48	123 56
o''' : p	= 129 11	

Die Krystalle haben wegen der Vollzähligkeit des Oktaeders ein symmetrisches zwei- und eingliedriges Ansehen. Sie sind farblos und erhalten sich nur an trockner Luft, während sie sonst feucht werden oder zerfliessen.

Ganz abweichend beschreibt *Schabus* die Krystalle dieses Salzes. Da seine Angaben mit der Form des schwefelsauren Lanthanoxyds nahe übereinstimmen, so vermuthet *Marignac* mit Recht, dass *Schabus* das Sulfat statt des Chlorids untersucht habe.

Es ist nämlich das Salz nach *Schabus*

Sechsgliedrig. a : c = 1,3638 : 1 = 1 : 0,7337. *Schabus*.

Combinations eines Dihexaeders d, des ersten sechsseitigen Prismas p und der Endfläche c.

d = a : a : ∞ a : c p = a : a : ∞ a : ∞ c c = c : ∞ a : ∞ a : ∞ a

	Berechnet.	Beobachtet.
d =	$\left\{ \begin{array}{l} 2 A = 142^\circ 18' \\ 2 B = 80 \quad 32 \\ \alpha = 53 \quad 45 \end{array} \right.$	
d : d über c	= 99 28	99° 28'
d : p	=	*130 16
d : c	= 139 44	

Die schwach roth gefärbten Krystalle sind nur sehr klein, nadel-
förmig, durch Ausdehnung des Prismas in der Richtung der Hauptaxe.
Schabus: S. 19.

Chlorididym.



Zwei- und eingliedrig. a : b : c = 1,2368 : 1 : 1,5132
o = 86° 49'. *Marignac.*

Rhombische Prismen p, mit Abstumpfung der scharfen Seitenkan-
ten b, der basischen schiefen Endfläche c, auf die scharfen Kanten von
p aufgesetzt, dem zweiten Paar q aus ihrer Diagonalzone, und der vorderen
schiefen Endfläche r.

$$\begin{array}{l} p = a : b : \infty c \quad b = b : \infty a : \infty c \\ q = b : c : \infty a \quad c = c : \infty a : \infty b \\ r = a : c : \infty b \end{array}$$

	Berechnet.	Beobachtet.
p : p an a	=	*78°
- b	= 102° 0'	
p : b	= 141 0	141
p : c	=	*92
q : q an c	=	*67
- b	= 113 0	
q : c	= 123 30	123 1/2
q : b	= 146 30	
r : c	= 131 10	132
r : p	= 119 44	119 1/2

Die Krystalle sind zerfliesslich, daher die Messungen nur annähernd.

Abweichend hiervon beschreibt *Schabus* die Krystalle dieses Chlorürs:

Zwei und eingliedrig. a : b : c = 1,8019 : 1 : 2,4434
o = 75° 42'. *Schabus.*

Rhombische Prismen p, mit Abstumpfung der scharfen Seitenkan-
ten a, einem vordern Augitpaar o, dem zweifach stumpferen o', und
der basischen Endfläche c. Ausserdem findet sich die vordere schiefe
Endfläche r, in deren Diagonalzone o liegt, und die hintere r'. Fig.
14. 15.

14



15



$$\begin{array}{lll}
 o = a : b : c & p = a : b : \infty c & a = a : \infty b : \infty c \\
 o_{\frac{1}{2}} = a : h : \frac{1}{2}c & r = a : c : \infty b & c = c : \infty a : \infty b \\
 & r' = a' : c : \infty b &
 \end{array}$$

Ergänzt man o und o_2 durch die entsprechenden hinteren Augitpaare o' und $o'_{\frac{1}{2}}$, so sind die Kantenwinkel der dadurch entstehenden zwei- und eingliedrigen Oktaeder

$$\begin{array}{ll}
 o = a : b : c & o_{\frac{1}{2}} = a : b : \frac{1}{2}c \\
 o' = a' : b : c & o'_{\frac{1}{2}} = a' : b : \frac{1}{2}c \\
 A = 63^\circ 46' & = 83^\circ 42' \\
 B = 76 \quad 42 & = 97 \quad 4 \\
 C = 124 \quad 30 & = 133 \quad 7 \\
 D = 139 \quad 57 & = 107 \quad 38
 \end{array}$$

	Berechnet.	Beobachtet.
$p : p \text{ an } a =$		*59° 36'
$- b =$	120° 24'	
$p : a =$	119 48	
$p : c =$	97 3	96 50
$a : c =$		*104 18
$a : r =$	148 51	
$c : r =$	135 27	135 28
$a : r' =$	138 51	
$c : r' =$	116 51	
$r : r' =$	72 18 (an c)	
$o : o =$		*76 42

	Berechnet.	Beobachtet.
o : a	= 122° 4'	
o : c	= 116 15	116° 15'
o : p	= 160 48	
o : r	= 128 21	
o _{1/2} : o ₂	= 97 4	
o _{1/2} : a	= 121 9	
o _{1/2} : c	= 130 47	129 58
o _{1/2} : p	= 146 16	
o _{1/2} : o	= 165 28	

Die Krystalle zeigen entweder oktaedrischen Habitus durch Vorherrschen von o und p, oder prismatischen, indem p und a sich ausdehnen.

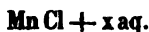
Die Flächen o und p sind parallel ihren Combinationskanten gestreift, die übrigen meist glatt.

Die Krystalle sind braunroth und besitzen Glasglanz. Sie sind spaltbar vollkommen nach r'.

Ist dies ein anderes Hydrat des Salzes, oder hat *Schabus*, wie *Maignac* glaubt, das schwefelsaure Salz für das Chlorür gehalten?

Schabus: S. 105.

Manganchlorür.



Zwei- und eingliedrig. a : b : c = 0,4101 : 1 : 0,8332
o = 54° 50'. *Schabus*.

Rhombische Tafeln mit ungleicher Zuschärfung der Ränder, Combinationen eines rhombischen Prismas p, der Abstumpfung der scharfen Seitenkanten durch die vorherrschend ausgedehnte Hexaidfläche b, und einer schiefen Zuschärfung durch ein zweites Paar q. Zuweilen erscheint untergeordnet ein hinteres Augitpaar o^{3/2}.

o^{3/2} = a' : ^{3/2} b : c p = a : b : ∞ c b = b : ∞ a : ∞ c
q = b : c : ∞ a

	Berechnet.	Beobachtet.
p : p an a	=	*142° 56'
- b	= 37° 4'	
p : b	= 108 32	108 32
q : q an c	= 111 28	
- b	= 68 32	
q : b	=	*124 16
o ^{3/2} : o ^{3/2}	= 157 8	
o ^{3/2} : b	=	*101 26

Die Krystalle sind klein, tafel- und nadelförmig, und die Flächen unvollkommen ausgebildet. Ihre Farbe ist blas röthlichgelb.

Die Form der Krystalle weicht von der des Manganchlorürs mit 4 At. Wasser (*Handb.* S. 45), welches mit dem wasserhaltigen Chlor-natrium (Na Cl + 4 aq.) isomorph ist, ganz und gar ab. Sie gehören vielleicht einem andern Hydrat an, wiewohl ihre Farbe es zweifelhaft machen dürfte, ob sie überhaupt reines Manganchlorür sind.

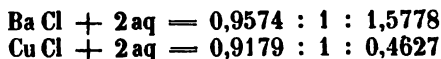
	Berechnet.	Beobachtet.
$r^2 : c$	= 123° 29'	122° ?
$r^2 : a$	= 146 31	
$r : r^2$	= 160 14	

Gewöhnlich Zwillinge. Zwillingsebene ist das nicht beobachtete zweite Paar $b : 2' c : \infty a$. Aneinanderwachsung. Die Flächen a beider Individuen fallen in eine Ebene; ihre Axen c oder ihre Flächen bilden Winkel von $94^\circ 20'$, und ihre Endflächen c solche von $83^\circ 34'$ (beobachtet $83^\circ 36'$).

Sehr leicht spaltbar nach c und p .

Die Krystalle sind an trockner Luft nicht zerfliesslich.

Das Salz ist isomorph mit dem Chlorbaryum. Denn das Axenverhältniss ist für



Die Axen c verhalten sich ohne Zweifel = 3 : 1.

Brombaryum.

Wahrscheinlich $\text{Ba Br} + 6\text{aq}$.

Sénarmont beobachtete zerfliessliche optisch einaxige sechsseitige Prismen an diesem Salze und am Chlorcalcium, welches $\text{Ca Cl} + 6\text{aq}$ ist.

Privatmittheilung.

Cyanide.

Quecksilbercyanid.

Hier ist eine frühere Abhandlung von *Haidinger* nachzutragen.

Derselbe beobachtete die Endfläche $c = c : \infty a : \infty a$.

Ausserdem fand er an den gewöhnlichen Combinationen des Hauptoktaeders o und des zweiten Prismas a oft nur 3 Flächen von o ausgebildet. Fig. 18.

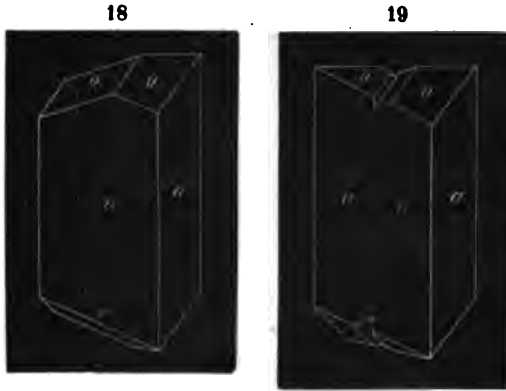
Haidingers Messungen gaben

$$o \left\{ \begin{array}{l} 2 A = 134^\circ 36' \\ 2 C = 66 \quad 8 \end{array} \right. \quad o^2 \left\{ \begin{array}{l} 2 A = 122^\circ 46' \\ 2 C = 85 \quad 17 \end{array} \right.$$

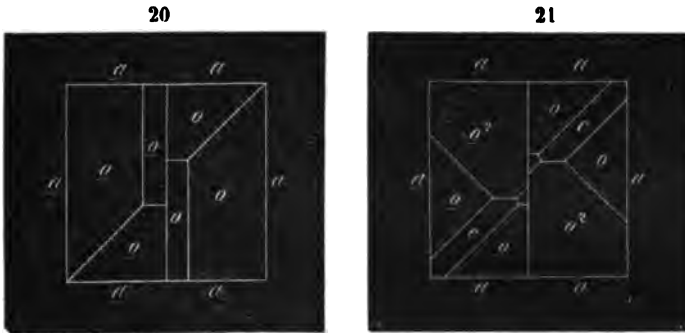
Ferner berechnet sich ($a : c = 2,1758 : 1$)

$$\begin{aligned} o : c &= 146^\circ 59' \\ o^2 : c &= 137 \quad 25 \end{aligned}$$

Zwillinge: Zwei Individuen von der Form Fig. 18 verwachsen in umgekehrter Stellung, wobei sie in der Richtung des auf der Zwillingsebene senkrechten a tafelförmig verkürzt sind. Fig. 19.



Dadurch erscheint der Zwilling als quadratisches Prisma, an welchem die Endfläche c parallel den Kanten mit dem einen a gestreift ist, und die Flächen o^2 horizontale Combinationenkanten mit o bilden. Projection Fig. 20. 21.



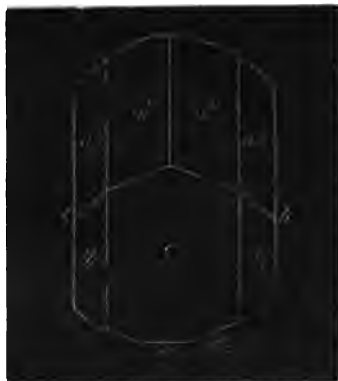
Haidinger: Edinb. J. of Sc. III. 65.

V. Amphidsalze.

Sauerstoffsalze.

Unterschwefligsaures Natron. (S. 61.)

De Sénarmont beobachtete die Combination von p , p'_2 , a , b , c , q'_2 , und den Augitpaaren o^2 und $o^{2/3}$, welche beide sowie a neu sind. o^2 ist auf p'_2 gerade aufgesetzt; $o^{2/3}$ fällt mit p'_2 und q'_2 in eine Zone. Fig. 22.



$$o,^2 = a' : 2b : c \quad a = a : \infty b : \infty c$$

$$o,^{2/3} = a' : \frac{2}{3}b : c$$

	Berechnet.	Beobachtet.
$o,^2 : o,^2$	$= 153^\circ 2'$	
$o,^2 : a$	$= 118 16$	
$o,^2 : b$	$= 103 29$	$103^\circ 30'$
$o,^2 : c$	$= 135 13$	
$o,^2 : p,^2$	$= 121 35$	
$o,^{2/3} : o,^{2/3}$	$= 108 32$	
$o,^{2/3} : a$	$= 113 17$	
$o,^{2/3} : b$	$= 125 44$	$125 45$
$o,^{2/3} : c$	$= 134 3$	
$o,^2 : o,^{2/3}$	$= 157 45$	
ferner:		
$p : b$	$=$	$124 15$
$p,^2 : b$	$=$	$108 45$
$p,^2 : c$	$=$	$103 10$
$q,^2 : b$	$=$	$105 0$

Privatim mitgeteilt.

Unterschwefigsaurer Strontian. (S. 63.)

Zwei- und eingliedrig. $a : b : c = 1,2946 : 1 : 2,5848$.
 $\alpha = 72^\circ 28'$ *Marignac*.

Nach *Marignac* sind die von mir beschriebenen Krystalle, deren Flächen keine genaue Messungen zuließen, zwei- und eingliedrig. Fig. 23. Er nimmt

$$\frac{1}{2}o, \frac{1}{4} \begin{cases} o = a : b : c & q^2 = q = b : c : \infty a & a = a : \infty b : \infty c \\ o' = a' : b : c & & c = c = c : \infty a : \infty b \end{cases}$$

$$o = \frac{1}{2}o = \frac{1}{2}a : b : c$$

$$p = \frac{1}{2}o' = \frac{1}{2}a' : b : c$$



Dann müssten in Fig. 69 die unteren o Flächen = $\frac{1}{2}a' : b : \frac{1}{4}c$ sein.

		Berechnet.	Beobachtet.	
			<i>Marignac.</i>	R.
o, o'	}	A =	*76° 34'	
		B = 90° 32'	90 30	
		C = 106 19		105° 50'
		D = 145 32	145 31	145 30
$\frac{1}{2}o, \frac{1}{2}o'$	}	A = 114 14	114 10	
		B = 121 28	121 25	
		C = 67 12		
		D = 151 32		
a : c		108 0		
q : q an c		*44 10		
	- b	135 50		135 34
q : c		112 5		112 27
q : a		96 30		
o : a		130 0		
o : c		117 12	117 13	
o : q		145 30	145 40	
o' : a		122 41		
o' : c			*97 16	
o' : q		140 49	140 54	
$\frac{1}{2}o : a$		148 24		
$\frac{1}{2}o : c$		115 54	116 5	
$\frac{1}{2}o : q$		128 6	128 15	
o : $\frac{1}{2}o$		161 36		
$\frac{1}{2}o' : a$		144 24		
$\frac{1}{2}o' : c$		92 34	92 34	
$\frac{1}{2}o' : q$		119 6	119 9	
o' : $\frac{1}{2}o'$		158 17		

Häufig Zwillinge. Zwillingsene ist c. Diese Zwillinge haben am einen Ende vier Flächen o und $\frac{1}{2}o$, am anderen vier o' und $\frac{1}{2}o'$, so dass sie zweigliedrig erscheinen.

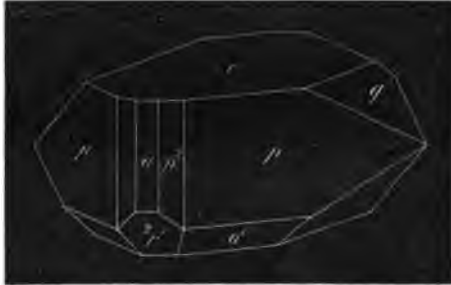
Schwefligsaures Ammoniak.

Zweifach. $\text{Am S}^2 + 5\text{aq. R.}$

Zwei- und eingliedrig. $a : b : c = 1,5386 : 1 : 0,7976$
 $\alpha = 82^\circ 27' \text{ R.}$

Combinationsen eines rhombischen Prismas p und der basischen schiefen Endfläche c , welche auf die scharfen Kanten p aufgesetzt ist. In der Diagonalzone von c das zweite Paar q ; eine hintere schiefe Endfläche ${}^2r'$ und das hintere Augitpaar o' . Untergeordnet die Hexaidfläche a und das zweifach stumpfere Prisma p^2 in der Horizontalzone. Fig. 24. 25.

24



25



$o' = a' : b : c$

$p = a : b : \infty c$
 $p^2 = a : 2b : \infty c$
 $q = b : c : \infty a$
 ${}^2r' = a' : 2c : \infty b$

$a = a : \infty b : \infty c$
 $c = c : \infty a : \infty b$

An dem aus o' und einem entsprechenden vorderen Augitpaar bestehenden Hauptoktaeder ist:

$A = 106^\circ 48'$	$C = 135^\circ 54'$	
$B = 112 \quad 34$	$D = 86 \quad 47$	
	Berechnet.	Beobachtet.
$p : p \text{ an } a =$		$*66^\circ 30'$
$- b =$	$113^\circ 30'$	$113 \quad 30$
$p : a =$	$123 \quad 15$	
$p : c =$		$*94 \quad 8$
$p^2 : p^2 \text{ an } a =$	$105 \quad 20$	
$- b =$	$74 \quad 40$	
$p^2 : a =$	$142 \quad 40$	
$p^2 : c =$	$96 \quad 0$	
$p^2 : p =$	$160 \quad 35$	$160 \quad 20$
$a : c =$	$97 \quad 33$	$97 \quad 22$
$r' : c =$	$130 \quad 3$	$130 \quad 20$
$r' : a' =$	$132 \quad 24$	
$q : q \text{ an } c =$		$*103 \quad 20$
$- b =$	$76 \quad 40$	
$q : c =$	$141 \quad 40$	$141 \quad 22$
$o' : o' =$	$106 \quad 48$	
$o' : a =$	$107 \quad 58$	
$o' : c =$	$134 \quad 40$	$134 \quad 48$
$o' : p =$	$131 \quad 12$	

Die Krystalle sind theils kurz und dick, oben und unten ausgebildet, theils in der Richtung der Hauptaxe verlängert, und dann meist mit undeutlichen Endflächen.

Die Flächen sind glatt, aber nicht sehr glänzend, daher die Messungen nicht ganz genau.

Trithionsaures Kali.

Die Krystalle dieses Salzes, welche ich zu beobachten Gelegenheit hatte, waren Combinationen des Prismas p^2 , der Abstumpfung der stumpfen Seitenkanten a , welche durch ihre Ausdehnung die Krystalle dünn tafelförmig machte, der Abstumpfung der scharfen Seitenkanten b , sehr untergeordnet, und des zweiten Paares q , als Zuschärfung auf b aufgesetzt.

$$\begin{aligned} a &= a : \infty b : \infty c \\ b &= b : \infty a : \infty c \end{aligned}$$

Ich fand:

$$\begin{aligned} p^2 : p^2 \text{ an } b &= 38^\circ 35' \\ p^2 : a &= 160 \quad 16 \\ p^2 : b &= 109 \quad 50 \\ q : q \text{ an } c &= 134 \quad 13 \\ q : b &= 113 \quad 8 \end{aligned}$$

$a : b$ und $a : q$ fanden sich $= 90^\circ$.

Pentathionsaures Kali. 1)



Zwei- und eingliedrig. $a : b : c = 0,9285 : 1 : 1,2639$
 $\alpha = 78^\circ 45'$. R.

Ein rhombisches Prisma p, mit Abstumpfung der stumpfen Seitenkanten a, vierflächig zugespitzt durch ein zwei- und eingliedriges Oktaeder, bestehend aus dem vorderen Augitpaar o und dem hinteren o'. Die Seitenkanten dieses Oktaeders werden durch sein erstes zugehöriges Paar p abgestumpft. Ausserdem finden sich die seitlichen Endkanten oo' zugeschärft durch ein anderes Oktaeder, oder durch ein vorderes Augitpaar 3o und ein hinteres 3o'. Selten ist die Zuschärfung der scharfen Seitenkanten von p durch das dreifach schärfere Prisma 3p, auf welches 3o und 3o' gerade aufgesetzt sind. Fig. 26. 27.

26



27



$$\begin{array}{lll}
 o = a : b : c & p = a : b : \infty c & a = a : \infty b : \infty c \\
 o' = a' : b : c & 3p = 3a : b : \infty c & \\
 3o = 3a : b : c & & \\
 3o' = 3a' : b : c & &
 \end{array}$$

		Berechnet.	Beobachtet.
o, o' }	A =		*101° 38'
	B =		*112 12
	C =	99° 0'	98 55
	D =	123 16	123 30

1) Die Säure dieses Salzes wurde aus Schwefelwasserstoff und schwefliger Säure dargestellt. Die Analyse führte zu obenstehender Formel.

	Berechnet.	Beobachtet.
${}^3o, {}^3o'$	A = 78° 38'	78° 21'
	B = 87 14	87 15
	C = 148 27	148 0
	D = 105 34	
p : p an a	= 95 24	95 42
- b	= 84 36	
p : a	= 137 42	137 45
${}^3p : {}^3p$ an a	= 40 10	
- b	= 139 50	
${}^3p : a$	= 110 5	109 54
${}^3p : p$	= 152 23	151 53
o : a	= 134 40	134 30
o : p	= 153 34	154 0 ungef.
o' : a	=	*126 20
o' : p	= 149 42	149 48
${}^3o : a$	= 112 27	112 55
${}^3o : {}^3p$	= 144 13	
${}^3o' : a$	= 99 6	99 12
${}^3o' : {}^3p$	= 141 21	
${}^3o : o$	= 157 47	158 15 ungef.
${}^3o : o'$	= 121 13	
${}^3o' : o'$	= 152 46	152 44
${}^3o' : o$	= 148 27	148 ungef.

Die Krystalle sind immer mit a aufgewachsen, welches sehr ausgedehnt ist, und erscheinen gleichsam als Hälften. Fig. 28.

28



Sie sind farblos und durchsichtig, glasglänzend.
Die Flächen der Horizontalzone sind oft vertical gestreift.

Unterschwefelsaurer Baryt.

1) Mit 2 At. Wasser. (S. 72.)¹⁾

Zweigliedrig. a : b : c = 0,7161 : 1 : 0,7912. R.
(0,7199 : 1 : 0,6920. *Sénarmont.*)

Sénarmont beobachtete Combinationen von a, b, dem Oktaeder o, den zweifach stumpfere zweiten und dritten Paaren $q/2$ und $r/2$, und der Endfläche c. Fig. 29.

1) Einige Druckfehler sind hier verbessert.



$$q'_2 = 2b : c : \infty a$$

$$r'_2 = 2a : c : \infty b$$

	2 A	2 B	2 C.
o	= 124° 4'	98° 12'	107° 18'
o' ₂	= 141 48	125 38	68 24

Berechnet.

Beobachtet.

R.

Sénarmont.

$q'_2 : q'_2$ an c	= 136° 50'		
- b	= 43 10		
$q_2 : c$	= 158 25		160° 30' ungef.
$q'_2 : b$	= 111 35		
$r'_2 : r'_2$ an c	= 122 10		
- a	= 57 50		
$r'_2 : c$	= 151 5		154 15
$r'_2 : a$	= 118 55		
o : a	=	*130° 54'	128 20
o : b	= 117 58	118 30	116 40
o : c	= 126 21		130 10

Die von *Sénarmont* gefundenen Werthe o : a und o : c zum Grunde gelegt, ergibt sich das oben angegebene Axenverhältniss, wonach $c = \frac{9}{10}c$ des von mir angenommenen. Die Flächen a und b sind nach *S.* vertical gestreift; die Krystalle nach b sehr vollkommen, nach c unvollkommen spaltbar.

Privatmittheilung.

2) Mit 4 At. Wasser. (S. 73.)

Zwei- und eingliedrig. a : b : c = 1,2215 : 1 : 1,1272
o = 85° 44'. *Marignac.*

Combinations eines zwei- und eingliedrigen Oktaeders oo' mit dem ersten Paar p, dem zweiten q, den Hexaidflächen a und c, der vorderen schiefen Endfläche r, und dem hintern Augitpaar o'₂. Fig. 30.



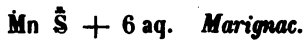
$$\begin{array}{lll}
 o & = a : b : c & p = a : b : \infty c & a = a : \infty b : \infty c \\
 o' & = a' : b : c & q = b : c : \infty a & c = c : \infty a : \infty b \\
 o'_{1/2} & = a' : b : 1/2 c & r = a : c : \infty b &
 \end{array}$$

Berechnet.

Beobachtet.

		<i>Marignac.</i>	<i>Heeren.</i>
o, o'	A =	98° 44'	98° 46'
	B =	102 54	102 54
	C =	116 59	117 14
	D =	110 58	102° 0'
p	: p an a =	*78 46	
	- b =	101 14	
p	: a =	129 23	
p	: c =	92 42	92 43
q	: q an c =	83 18	
	- b =	96 42	
q	: c =	131 39	
a	: c =		*94 16
a	: r =	135 0	
c	: r =		*139 16
o	: a =	123 34	
o	: c =	126 21	126 20
o	: p =	150 21	
o'	: a =	119 27	
o'	: c =	122 41	122 44
o'	: p =	144 37	145 0
o'_{1/2}	: o'_{1/2} =	124 34	124 34
o'_{1/2}	: a =	108 41	
o'_{1/2}	: c =	143 3	143 5
o'_{1/2}	: p =	124 15	
o'	: o'_{1/2} =	159 38	

Unterschwefelsaures Manganoxydul.



Eingliedrig. $a : b : c = 0,6941 : 1 : 1,0307.$ *Marignac.*

$$\begin{array}{ll}
 A = 88^\circ 43' & \alpha = 86^\circ 32' \\
 B = 117 14 & \beta = 117 24 \\
 C = 93 55 & \gamma = 95 4
 \end{array}$$

Rhomboidische Prismen pp' mit schiefer Abstumpfung der scharfen Seitenkanten b, und einer schiefen Endzuschärfung durch die Flächen c und r'. Fig. 31.

31



$$\begin{array}{ll}
 p = a : b : \infty c & b = b : \infty a : \infty c \\
 p' = a : b' : \infty c & c = c : \infty a : \infty b \\
 r' = a' : c : \infty b
 \end{array}$$

	Berechnet.	Beobachtet.
(a : b)	= 93° 55'	
b : p	=	*124° 30'
b' : p'	=	*118 50
p : p' an a	= 116 41	
b' : c	=	*91 17
(a : c)	= 117 14	
c : r'	=	*103 30
(a' : r')	= 139 16	
p : c	= 111 31	113 ungef.
p' : c	= 114 28	113 „
r' : b'	= 95 14	93 20
r' : p	= 130 58	130 40
r' : p'		*129 20

Die Krystalle sind meist sehr klein und ohne Endflächen.

Unterschwefelsaures Bleioxyd und unterschwefelsaurer Strontian.

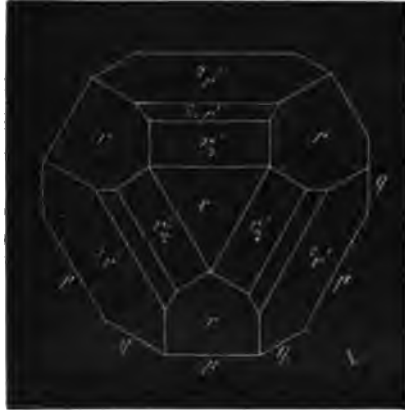


Sechsgliedrig-rhomboedrisch. $a : c = 0,66667 : 1$
 $= 1 : 1,5.$

Sénarmont.

Combinations eines Rhomboeders r mit dem ersten stumpferen $r'/_2$ und dem ersten schärferen ${}^2r'$, so wie dem ${}^{2/3}$ fach stumpferen zweiter Ordnung ${}^{2/3}r'$, dem ersten Prisma p , dem zweiten q und der Endfläche c . Fig. 32.

32



$$\begin{aligned}
 r &= a : a : \infty a : c & p &= a : a : \infty a : \infty c \\
 r'/_2 &= a' : a' : \infty a : \frac{1}{2}c & q &= a : \frac{1}{2}a : a : \infty c \\
 {}^{2/3}r' &= a' : a' : \infty a : \frac{2}{3}c & c &= c : \infty a : \infty a : \infty a \\
 {}^2r' &= a' : a' : \infty a : 2c
 \end{aligned}$$

	2A	α	γ
r	$82^\circ 50'$	$49^\circ 7'$	$30^\circ 0'$
$r'/_2$	$110 56$	$66 35$	$49 7$
${}^{2/3}r'$	$98 14$	$60 0$	$40 54^1)$
${}^2r'$	$67 22$	$30 0$	$16 6$

	Berechnet.	Beobachtet.
$r : c$	$=$	$*120^\circ 0'$
$r : p$	$= 150^\circ 0'$	
$r : q$	$= 138 35$	
$r'/_2 : c$	$= 139 7$	$139 50$
$r'/_2 : p$	$= 124 32$	
$r'/_2 : q$	$= 130 54$	
$r : r'/_2$	$= 131 25$	
${}^{2/3}r' : c$	$= 130 54$	$130 55$
${}^{2/3}r' : p$	$= 130 54$	
${}^{2/3}r' : q$	$= 139 6$	
${}^2r' : r'/_2$	$= 171 47$	
${}^2r' : c$	$= 106 6$	$105 50$
${}^2r' : p$	$= 146 19$	

1) Bei diesem Rhomboeder ist $a : c$ fast $= 1 : 1$.

Berechnet.		
${}^2r'$:	$q = 163^\circ 54'$
${}^2r'$:	${}^2r' = 155 12$
${}^2r'$:	$r'/_2 = 146 59$
${}^2r'$:	$r = 123 41$

Demnach ist auch das Strontiumsals rhomboedrisch, und sein Dihexaeder d gleich dem Hauptrhomboeder r und dem Gegenrhomboeder r'.
Privatmitteilung.

Schwefelsaures Kali.

a) Einfach. $K \bar{S}$.

Rhomboedrische Form. (S. 80.)

Senarmont beobachtete grünliche Krystalle, die bei der Darstellung von chromsaurem Kali erhalten waren, bestehend aus dem sechsseitigen Prisma p, der Endfläche c und der Abstumpfung sämtlicher Endkanten durch r und r' als Dihexaeder. Er fand r oder r' : c = 126° 37'. Die Krystalle waren optisch einaxig.

Nach *Penny* wäre indessen dieses Salz (wenigstens das aus Kelp erhaltene) kein schwefelsaures Kali, sondern schwefelsaures Natron-Kali, $Na\bar{S} + 3K\bar{S}$. (Vgl. Handb. S. 85.) Es zeigt nach ihm die schon von *H. Rose* beobachtete Lichterscheinung beim Krystallisiren.
Senarmont: Privatmitteilung.
Penny: Phil. Mag. X. 401. J. f. pr. Chem. 67, 216.

b) Zweifach. $K\bar{S} + \frac{1}{2}H\bar{S}$. (S. 80.)

Zweigliedrig. a : b : c = 0,8611 : 1 : 1,9347. *Maignac*.

Combinationen eines Rhombenoktaeders o mit der Endfläche c, dem dritten Paar r und dem zweifach stumpferen r'.

Durch Ausdehnung von c dünn tafelfartig.

$$o = a : b : c \quad r = a : c : \infty b \quad c = c : \infty a : \infty b$$

$$r'_2 = a : \frac{1}{2}c : \infty b$$

Berechnet.			Beobachtet.
o	}	$2 A = 103^\circ 36'$	
		$2 B =$	*88° 12'
		$2 C = 142 44$	
$r : r$	$\text{an } c = 48 0$		
	$- a = 132 0$		
$r : c$	$= 114 0$		114 0
$r'_2 : r'_2$	$\text{an } c = 83 22$		
	$- \frac{1}{2}a = 96 38$		
$r'_2 : c$	$= 131 41$		131 30
$r : r'_2$	$= 162 19$		
$o : c$	$=$		*108 38
$o : r$	$= 141 48$		

Schwefelsaures Natron.

Mit 10 At. Wasser. (Glaubersalz.) (S. 83.)

Die mitgetheilten Winkelmessungen, aus denen die Berechnung abgeleitet ist, rühren nicht von *Brooke*, sondern von *Haidinger* her.

Einige Irrthümer in den berechneten Grössen werden hier berichtigt, und zugleich *Brooke's* Messungen beigefügt.

	Berechnet.	Haidinger.	Beobachtet. <i>Brooke.</i>
p : p an a	— 86° 31'		
— b		*93° 29'	
p : a	— 133 15		133° 18'
p : b	— 136 45		
p : ² p	— 160 27		
q : q an c	— 80 36	80 24	80 24
q : b	— 139 42		139 48
q : q ²	— 162 40		162 38
a : c	—	*107 45	107 44
a : r'	—	*130 10	130 45

Haidinger: Mohs Grundriss der Mineralogie.

Schwefelsaures Lithion.¹⁾

Li Š.

Sechsgliedrig. a : c = 0,5953 : 1 = 1 : 1,6803. *Schabus*.

Sechseckige Prismen p mit sechsflächiger Zuspitzung durch ein Dihexaeder d und Abstumpfung der Ecken durch die Endfläche c.

d = a : a : ∞ a : c p = a : a : ∞ a : ∞ c c = c : ∞ a : ∞ a : ∞ a

	Berechnet.	Beobachtet.
d } 2 A	= 127° 14'	127° 15'
d } 2 C	= 125 28	
	α = 30 46	
d : d über c	= 54 32	
d : c	=	*117 16
d : p	= 152 44	

Die Krystalle sind meist dick, tafelartig durch Verkürzung der Hauptaxe, seltener prismatisch durch Herrschen von p.

Spaltbar nicht sehr vollkommen nach c.

Schabus: S. 15.

Schwefelsaures Lithion-Kali.

Li Š + 2 K Š. *Knobloch*.

Isomorph mit dem schwefelsauren Lithion.

Schabus fand:

1) Nach der Untersuchung wasserfrei.

$$d : c = 117^{\circ} 17'$$

$$d : p = 152 43.$$

Leicht spaltbar nach c. Optisch einaxig.

Schabus: S. 16.

Vielleicht ist das wasserfreie schwefelsaure Lithion isomorph mit dem rhomboidrischen schwefelsauren Kali. Bei gleichen a verhalten sich die Hauptaxen c des Kali- und Lithionsalzes = 1,2840 : 1,6803, d. h. nahe = 3 : 4. Dann wäre das schwefelsaure Lithion-Kali eine isomorphe Mischung beider Salze.

Schwefelsaure Talkerde.

b) Mit 6 At. Wasser. $Mg \bar{S} + 6 aq.$ *Marignac.*

Zwei- und eingliedrig. $a : b : c = 1,4039 : 1 : 1,6623$
 $\alpha = 81^{\circ} 26'.$ *Marignac.*

33

Rhombische Prismen p mit Abstumpfung der scharfen Seitenkanten a, auf welche die basische schiefe Endfläche c aufgesetzt ist. Eine hintere schiefe Endfläche r' und deren zweifach schärfere $\frac{1}{2}r'$. Ausserdem ein vorderes Augitpaar o, so wie zwei hintere $\frac{1}{2}o'$ und $o'/_2$, ersteres aus der Diagonalzone von $\frac{1}{2}r'$. Fig. 33.



$$\begin{array}{lll} o & = a : b : c & p = a : b : \infty c & a = a : \infty b : \infty c \\ \frac{1}{2}o' & = a' : b : 2c & r' = a' : c : \infty b & c = c : \infty a : \infty b \\ o'/_2 & = a' : b : \frac{1}{2}c & \frac{1}{2}r' = a' : 2c : \infty b & \end{array}$$

An dem aus o und einem entsprechenden hinteren Augitpaar o' bestehenden Hauptoktaeder ist:

$$\begin{array}{ll} A = 81^{\circ} 2' & C = 116^{\circ} 51' \\ B = 89 28 & D = 128 8 \end{array}$$

	Berechnet.	Beobachtet.
p : p an a =		*71° 32'
- b = 108° 28'		
p : a = 144 14		
p : c =		*95 0
a : c = 98 34		98 20
c : r' = 125 8		124 30
a : $\frac{1}{2}r'$ = 136 18		
c : $\frac{1}{2}r'$ = 105 27		104 50
a : $\frac{1}{2}r'$ = 155 59		
r' : $\frac{1}{2}r'$ = 160 19		
o : a = 124 48		

	Berechnet.	Beobachtet.
o : c	—	* 119° 55'
o : p	— 155° 5'	
² o' : ² o'	— 71 54	
² o' : a	— 122 58	
² o' : c	— 99 0	98 45
² o' : p	— 166 0	
² o' : r'	— 125 57	
o ^{1/2} : o ^{1/2}	— 104 40	104 54
o ^{1/2} : a	— 108 58	
o ^{1/2} : c	— 131 48	131 30
o ^{1/2} : p	— 133 12	
o ^{1/2} : ² o'	— 147 12	

Schwefelsaures Ceroxydul. (S. 90.)



Die von *Marignac* beobachteten Krystalle waren Combinationen von o und o², zu denen untergeordnet und nicht immer die Hexaidfläche b und das vierfach schärfere zweite Paar q⁴ traten. Zwischen o und o² fanden sich als schmale Abstumpfungen noch andere Rhombenoktaeder, von denen o^{4/3} und o^{5/3} sich messen liessen.

o^{4/3} — a : b : ⁴/ac q⁴ — b : 4c : ∞ a b — b : ∞ a : ∞ c
o^{5/3} — a : b : ⁵/ac

	Berechnet.	Beobachtet.
o	2 A —	* 114° 12'
	2 B —	* 111 10
	2 C — 103° 16'	103 10
o ²	2 A — 99 48	99 47
	2 B — 95 48	95 56
	2 C — 136 48	
o ^{4/3}	2 A — 106 52	
	2 B — 103 20	
	2 C — 118 36	
o ^{5/3}	2 A — 102 32	
	2 B — 98 44	
	2 C — 129 10	
q ⁴ : q ⁴ an c	— 31 54	31 40
- b	— 148 6	
q ⁴ : b	— 164 3	
o : b	— 122 54	
o ² : b	— 130 6	
o ^{4/3} : b	— 126 34	
o ^{5/3} : b	— 128 44	
o : o ²	— 163 14	163 5
o : o ^{4/3}	— 172 20	172 10
o : o ^{5/3}	— 167 2	167 10
o ² : o ^{4/3}	— 170 54	

Berechnet.

$$\begin{aligned} o^2 &: o^{2/3} &= 176^\circ 11' \\ o^{2/3} &: o^{2/3} &= 174 \quad 43 \end{aligned}$$

Schwefelsaures Lanthanoxyd. (S. 90.)



Die zweigliedrigen sehr kleinen Krystalle sehen sechsgliedrigen sehr ähnlich, indem die Flächen o und q² eine sechsflächige Zuspitzung auf dem aus p und b bestehenden sechsseitigen Prisma bilden.

Wie schon beim Chlorlanthan bemerkt, hat *Marignac* darauf aufmerksam gemacht, dass die angeblichen von *Schabus* gemessenen und nach ihm sechsgliedrigen Krystalle desselben ohne Zweifel schwefelsaures Lanthanoxyd waren.

Beobachtet.

	<i>Marignac.</i>	<i>Schabus</i>
p : p	— 119° 30'	120° 0'
o : o (2 A)	— 142 0	
(2 B)	— 112 0	
(2 C)	— 80 30	80 32 (2 C an d)
q ² : q ² an c	— 99 0	
o : q ²	— 142 20	
q ² : b	— (ber. 130 28)	130 16 (d : p)
o : p	— (ber. 130 16)	

Schwefelsaures Didymoxyd. (S. 91.)



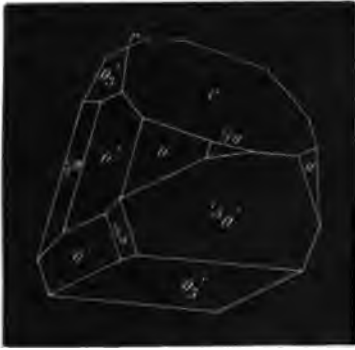
Zwei- und eingliedrig. a : b : c = 2,9686 : 1 : 2,0065
o = 61° 52'. *Marignac.*

Combinations eines zwei- und eingliedrigen Oktaeders o, o' und eines anderen 1/2o, 1/2o', deren ersteres die seitlichen Endkanten von diesem zugeshärft, nebst den Hexaidflächen a und c, und den schiefen Endflächen r und r' aus der Diagonalzone von o und o'. Ausserdem zwei hintere Augitpaare, nämlich 1/2o', welches mit a und den Flächen beider Oktaeder in eine Zone fällt, so wie o'₃, in einer Zone mit der basischen Endfläche c und 1/2o' liegend, so wie zugleich mit o' und r' eine solche bildend. Fig. 34. 35.

An den Krystallen herrscht gewöhnlich das Augitpaar 1/2o' vor, welches nebst c ihren Habitus bedingt.

$$\begin{aligned} o &= a : b : c & r &= a : c : \infty b & a &= a : \infty b : \infty c \\ o' &= a' : b : c & r' &= a' : c : \infty b & c &= c : \infty a : \infty b \\ 1/2o &= 1/2a : b : c \\ 1/2o' &= 1/2a' : b : c \\ 1/2o' &= 1/2a' : b : c \\ o'_3 &= a' : 3b : c \end{aligned}$$

34



35



Berechnet.

Beobachtet.

				<i>Maignac.</i>		<i>R.</i>
o, o'	}	A =		*54° 12'		
		B =	78° 12'	78 50		
		C =	143 59			
		D =	124 43			
$\frac{1}{2}o, \frac{1}{2}o'$	}	A =	70 18	70 0		
		B =	97 44			
		C =	113 19			
		D =	132 51			
$a : c$		=		*118 8	118° 30'	
$r : c$		=	155 40	155 38		
$r : a$		=	142 27			
$r' : c$		=	138 49	138 40	138 30	
$r' : a$		=	103 3		103 12	
$r : r'$	an c	=	114 30			
$o : a$		=	120 7	120 10		
$o : c$		=	125 14	125 10		
$o : r$		=	129 6			
$o' : a$		=	95 54	95 52	95 55	
$o' : c$		=		*110 3		
$o' : r'$		=	117 6	117 6		
$\frac{1}{2}o : a$		=	132 41			
$\frac{1}{2}o : c$		=	127 30	127 50		
$\frac{1}{2}o : o$		=	167 26			
$\frac{1}{2}o' : a$		=	114 0	113 50	113 55	
$\frac{1}{2}o' : c$		=	99 39	99 50	99 45	
$\frac{1}{2}o' : o'$		=	161 54			
$\frac{1}{2}o' : \frac{1}{2}o'$		=	90 38	90 45		
$\frac{1}{2}o' : a$		=	128 12	128 14	127 0	

		Berechnet.	Beobachtet.	
			<i>Marignac.</i>	R.
$\frac{1}{2}o'$: c	— 91° 0'		
$\frac{1}{2}o'$: o'	— 147 42		
$\frac{1}{2}o'$: $\frac{1}{2}o'$	— 151 27		149° 48'
o'_3	: o'_3	— 113 50	113° 40'	
o'_3	: a	— 100 54		
o'_3	: c	— 129 5	129 0	
o'_3	: r'	— 146 55	147 0	
o'_3	: o'	— 150 11		

Häufig sind Zwillinge. Zwillingsebene ist a. Aneinanderwachsungen, wobei die Flächen o' beider Individuen einspringende Winkel bilden. Fig. 36.

36



Die Flächen c und $\frac{1}{2}o'$ sind gestreift parallel ihren Combinationenkanten mit a.

Spaltbar sehr vollkommen nach c.

Vgl. Chlorldym nach *Schabus*.

Schwefelsaures Manganoxydul.

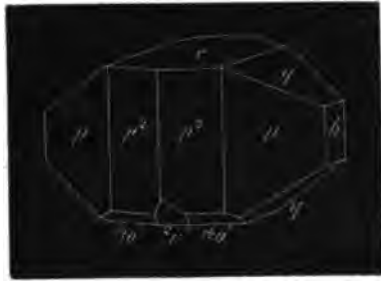
a) Mit 4 At. Wasser. (*Marignac.*)

Zwei- und eingliedrig. $a : b : c = 0,8643 : 1 : 0,5871$
 $\alpha = 89^\circ 7'$. *Sénarmont.*

Combinationen eines rhombischen Prismas p, seines zweifach stumpferen p^2 und der Hexaidfläche b, welche deren scharfe Kanten abstumpft. In der Endigung die basische Endfläche c, in deren Diagonalzone ein zweites Paar q, auch ein schärferes nicht bestimmbares. Ferner eine hintere schiefe Endfläche r' , und in ihrer Diagonalzone ein Augitpaar $\frac{1}{2}o'$. Fig. 37.

Marignac beobachtete eine ähnliche Combination p, p^2 , q, c, r' , an welcher eine vordere schiefe Endfläche r sich fand, die, gleichwie p' und q jedoch sehr klein war. Fig. 38.

37



38



$$\begin{aligned}
 \frac{1}{2}a' &= \frac{1}{2}a' : b : c & p &= a : b : \infty c & b &= b : \infty a : \infty c \\
 & & p^2 &= a : 2b : \infty c & c &= c : \infty a : \infty b \\
 & & q &= b : c : \infty a & & \\
 & & {}^2r &= a : 2c : \infty b & & \\
 & & {}^2r' &= a' : 2c : \infty b & &
 \end{aligned}$$

An der Grundform ist:

$$\begin{aligned}
 A &= 127^\circ 52' \\
 B &= 128 \quad 30
 \end{aligned}$$

$$\begin{aligned}
 C &= 119^\circ 16' \\
 D &= 83 \quad 51
 \end{aligned}$$

Berechnet.

Beobachtet.

$$\begin{aligned}
 p : p \text{ an } a &= 98^\circ 20' \\
 & \quad b = 81 \quad 40 \\
 p : b &= \\
 p : c &= \\
 p^2 : p^2 \text{ an } a &= 133 \quad 16 \\
 & \quad - b = 46 \quad 44 \\
 p^2 : b &= 113 \quad 22 \\
 p^2 : c &= 90 \quad 48 \\
 p : p^2 &= 162 \quad 32 \\
 q : q \text{ an } c &= 119 \quad 10 \\
 & \quad - b = 60 \quad 50
 \end{aligned}$$

Sénarmont.

Marignac.

$$\begin{aligned}
 *130^\circ 50' \\
 *90 \quad 40
 \end{aligned}$$

$$98^\circ 20'$$

$$\begin{aligned}
 90 \quad 43 \\
 133 \quad 17
 \end{aligned}$$

$$113 \quad 29$$

$$90 \quad 48$$

$$119 \quad 36$$

		Berechnet.	Beobachtet.	
			<i>Sénarmont.</i>	<i>Marignac.</i>
q	: c	= 149° 35'		149° 48'
q	: b	=	* 120° 25'	
² r	: c	= 126 56		127 11
² r'	: c	= 125 47	126 30 pp.	126 pp.
² r	: ² r' an c	= 72 43		
¹ / ₂₀ '	: ¹ / ₂₀ '	= 141 22		
¹ / ₂₀ '	: b	= 109 19		
¹ / ₂₀ '	: c	= 123 30		
¹ / ₂₀ '	: p	= 145 42	146 30 pp.	
¹ / ₂₀ '	: ² r'	= 160 41		

Die Krystalle dieses Hydrats wurden durch Verdampfen einer Auflösung bei 30—40° erhalten. Sie verwittern und zerfallen langsam an der Luft.

b) Mit 5 At. Wasser. (*Marignac.*)

Eingliedrig. a : b : c = 0,5449 : 1 : 0,5268. *Marignac.*

A	= 116° 10'	α	= 126° 39'
B	= 113 40	β	= 125 3
C	= 103 10	γ	= 119 30

Combinationen des eingliedrigen Hexaids a, b, c mit dem ersten Paar p, p', der Fläche q des zweiten, der zweifach und dreifach schärferen links q'₂ und q'₃, und der hinteren Hälfte des dritten Pairs r'. Fig. 39.

39



p	= a : b : ∞ c	a	= a : ∞ b : ∞ c
p'	= a : b' : ∞ c	b	= b : ∞ a : ∞ c
q	= b : c : ∞ a	c	= c : ∞ a : ∞ b
q' ₂	= b' : 2c : ∞ a		
q' ₃	= b' : 3c : ∞ a		
r'	= a' : c : ∞ b		

	Berechnet.	Beobachtet.	
a : b	— 102° 58'	103° 10'	
b : p	—	*128 50	
b' : p'	—	*109 0	
p : p'	— 122 10	122 10	
p : c	— 121 6	121 30	
p' : c	—	*98 30	
b : c	—	*116 10	
b : q	— 159 52	158	ungef.
b' : q' ₂	— 121 43	123	"
b' : q' ₃	— 139 33	139 22	"
a : c	— 113 32	113 40	
a : r'	—	*118 8	
p : q	— 129 39		
p : r'	— 105 50	105 45	
p' : r'	— 125 43	125 37	
a : q	— 98 17		
a : q' ₂	— 99 36		
a : q' ₃	— 92 39	92 15	
p' : q' ₃	— 117 17	117 18	
p : q' ₃	— 107 40	107 25	
b : r'	— 103 25	103 12	

Isomorph mit dem Kupfervitriol.

Unvollkommen spaltbar nach c.

Schwefelsaures Eisenoxydul. (S. 92.)

Eisenvitriol. $\text{Fe S} + 7 \text{ aq.}$

In Betreff der Note (S. 96) ist zu bemerken, dass die bei *Mohs* sich findende Verwechslung in der Neigung der vorderen und hinteren schiefen Endfläche r und r' gegen die Axe später von *G. Rose* erkannt und mir mitgetheilt wurde, als ich mit der Messung der Krystalle beschäftigt war, und bei dieser Gelegenheit denn auch von jenem Irrthume mich überzeugen konnte.

Schwefelsaures Nickeloxyd. (S. 99.)

Marignac hat gefunden, dass eine Auflösung dieses Salzes bei 15—20° zweigliedrige Krystalle giebt, isomorph mit dem Bittersalz und dem Zinkvitriol, also mit 7 At. Wasser; dass sie aber bei 30—40° viergliedrige Krystalle liefert. Auch in diesem Salze hatte man bisher 7 At. Wasser vorausgesetzt, *Marignac* hat aber durch Berechnung von *Mitscherlich's* Analyse so wie durch eigene Versuche dargethan, dass es nur 6 At. sind. Endlich entstehen bei 50—70° zwei- und eingliedrige Krystalle, welche gleichfalls 6 At. Wasser enthalten und mit dem entsprechenden Talkerdesalz (S. 36) isomorph sind.

Wir haben also nun

Schwefelsaures Nickeloxyd.

1) Mit 6 At. Wasser. Ni S + 6 aq.

Dimorph.

A. Viergliedrig.

B. Zwei- und eingliedrig. $a : b : c = 1,3723 : 1 : 1,6749$
 $\alpha = 81^\circ 43'$. *Marignac.*

Die Krystalle zeigen dieselben Flächen wie das entsprechende Talk-
 erdesalz (S. 36). Ausserdem aber findet man auch das hintere Augit-
 paar o' , ferner ein Oktaeder $\frac{2}{3}o$ $\frac{2}{3}o'$, so wie die schiefen Endflächen
 r und r' der vorderen und $\frac{2}{3}r'$ der hinteren Seite.

$o = a : b : c$	$p = a : b : \infty c$	$a = a : \infty b : \infty c$
$o' = a' : b : c$	$r = a : c : \infty b$	$c = c : \infty a : \infty b$
$\frac{2}{3}o = a : b : \frac{2}{3}c$	$r' = a' : c : \infty b$	
$\frac{2}{3}o' = a' : b : \frac{2}{3}c$	$\frac{2}{3}r = a : 2c : \infty b$	
$o'/2 = a' : b : \frac{1}{2}c$	$\frac{2}{3}r' = a' : 2c : \infty b$	
$\frac{2}{3}o' = a' : b : 2c$	$\frac{2}{3}r' = a' : \frac{2}{3}c : \infty b$	

		Berechnet.	Beobachtet.
o, o'	}	A = $82^\circ 50'$	$82^\circ 40'$
		B = 90 58	91 18
		C = 115 37	
		D = 128 17	
$\frac{2}{3}o, \frac{2}{3}o'$	}	A = 94 28	94 40
		B = 102 30	
		C = 122 51	
		D = 107 54	
p :	p an a	—	*72 44
	- b	107 16	
p :	a	126 22	126 20
p :	c	—	*94 54
a :	c	98 17	98 25
a :	r	144 3	
c :	r	134 14	134 13
a :	r'	137 24	
c :	r'	124 19	124 13
r :	r' an c	78 33	
a :	$\frac{2}{3}r$	159 3	
c :	$\frac{2}{3}r$	119 11	119 5
a :	$\frac{2}{3}r'$	156 42	
c :	$\frac{2}{3}r'$	105 1	104 45
r :	$\frac{2}{3}r$	165 0	
r' :	$\frac{2}{3}r'$	160 42	
a :	$\frac{2}{3}r'$	149 36	
c :	$\frac{2}{3}r'$	112 7	113
r' :	$\frac{2}{3}r'$	167 48	ungef.
$\frac{2}{3}r'$:	$\frac{2}{3}r'$	172 54	
p :	r	118 41	

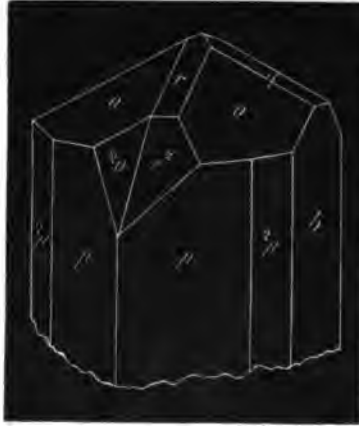
	Berechnet.	Beobachtet.
p : r'	= 115° 53'	115° 42'
p : r	= 123 38	
p : r'	= 123 0	122 55
o : a	= 125 15	125 30
o : c	=	*119 49
o : p	= 155 5	
o : r	= 135 29	
o' : a	= 119 8	
o' : c	= 111 54	112 0
o' : p	= 153 12	
o' : r'	= 131 25	
² / ₃₀ : a	= 122 51	
² / ₃₀ : c	= 129 15	129 10
² / ₃₀ : p	= 145 44	
² / ₃₀ : o	= 170 34	
² / ₃₀ ' : a	= 114 18	
² / ₃₀ ' : c	= 122 51	122 48
² / ₃₀ ' : p	= 142 15	
² / ₃₀ ' : o'	= 169 3	
o'/ ₂ : o'/ ₂	= 105 42	105 43
o'/ ₂ : a	= 109 51	109 30
o'/ ₂ : c	= 131 39	131 38
o'/ ₂ : p	= 133 27	
o'/ ₂ : o'	= 160 15	
o'/ ₂ : ² / ₃₀ '	= 171 12	
² / ₀ ' : ² / ₀ '	= 74 4	73 59
² / ₀ ' : a	= 123 34	123 50
² / ₀ ' : c	= 98 59	98 45
² / ₀ ' : p	= 166 7	
² / ₀ ' : r'	= 127 2	
² / ₀ ' : o'	= 167 5	
² / ₀ ' : ² / ₃₀ '	= 156 8	
² / ₀ ' : o'/ ₂	= 147 20	

2) Mit 7 At. Wasser. Ni S̄ + 7aq.

Zweigliedrig. a : b : c = 0,9815 : 1 : 0,5656. *Marignac.*

Isomorph mit dem Bittersalz u. s. w. *Marignac* beobachtete das erste Paar p, das zweifach schärfere ²p, die Hexaidfläche b, das Hauptoktaeder o, das zweite Paar q, das dritte r, das zweifach schärfere desselben r² und ein Oktaeder ¹/₂₀, dieses jedoch nur auf einer Seite. Fig. 40.

$$\begin{array}{l}
 o = a : b : c \quad p = a : b : \infty c \quad b = b : \infty a : \infty c \\
 \frac{1}{20} = \frac{1}{2a} : b : c \quad \frac{2}{p} = 2a : b : \infty c \\
 \quad \quad \quad q = b : c : \infty a \\
 \quad \quad \quad r = a : c : \infty b \\
 \quad \quad \quad r^2 = a : 2c : \infty b
 \end{array}$$



	Berechnet.	Beobachtet.
o	2 A = 127° 48'	127° 50'
	2 B =	* 126 44
	2 C = 77 50	
1/2 o	2 A = 139 20	
	2 B = 89 50	
	2 C = 104 10	
p : p an a =		* 91 4
- b = 88 56		
p : b = 134 28		
²p : ²p an a = 54 0		53 ungef.
- b = 126 0		
²p : b = 153 0		
²p : p = 161 28		
q : q an c = 121 2		121 20
- b = 58 58		
q : b = 119 29		119 20
r : r an c = 120 6		
- a = 59 54		
r : a = 119 57		
r² : r² an c = 81 54		
- a = 98 6		
r² : a = 139 3		
r² : r = 160 54		160 50
p : q = 110 10		110 15
p : r = 110 52		110 30
p : r² = 122 37		
q : r = 138 58		
o : b = 116 6		
o : p = 128 55		128 57

	Berechnet.	Beobachtet.
o : q	= 153° 22'	153° 22'
o : r	= 153 54	
$\frac{1}{2}o$: b	= 110 20	110 23
$\frac{1}{2}o$: q	= 134 55	134 52
$\frac{1}{2}o$: r ²	= 159 40	
$\frac{1}{2}o$: o	= 161 33	

Schwefelsaures Kobaltoxyd. (S. 101.)

1) Mit 6 At. Wasser. $\text{CoS} + 6 \text{aq. Marignac.}$

Zwei- und eingliedrig.

Isomorph mit den entsprechenden Sulfaten von Nickeloxyd und von Talkerde.

Marignac fand:

p : p an a	= 71° 52'	$o'_{\frac{1}{2}} : o'_{\frac{1}{2}}$	= 105° 10'
p : a	= 126 0		
p : c	= 95 6		
a : c	= 98 41		
c : r'	= 124 10		
c : ² r'	= 105 0		
o : o	= 90 22		
o : c	= 120 0		

Dieses Hydrat krystallisirt bei 40—50°.

2) Mit 7 At. Wasser. $\text{CoS} + 7 \text{aq.}$

Marignac fand ausser den von *Brooke* angegebenen Flächen p, q, r, r', c noch b, das vordere Augitpaar o, und ein Oktaeder, bestehend aus den beiden Augitpaaren $o_{\frac{1}{2}}$ und $o'_{\frac{1}{2}}$, von denen ersteres mit o, b und r, so wie mit p, q, r' in einer Zone liegt, letzteres aber mit p, q, r eine solche bildet. Ausserdem die vordere schiefe Endfläche $r_{\frac{1}{2}}$. Fig. 41.

41



$$\begin{aligned}
 o &= a : b : c & r/2 &= a : 1/2c : \infty b & b &= b : \infty a : \infty c \\
 o_{1/2} &= a : 1/2b : c \\
 o'_{1/2} &= a' : 1/2b : c
 \end{aligned}$$

		Berechnet.	Beobachtet.
		A = 51° 30'	51° 22'
o ^{1/2} o' ^{1/2} }		B = 63 52	
		C = 135 11	
		D = 145 0	
p : p	an a	= 82 20	82 22
	- b	= 97 40	
p	: b	= 138 50	138 49
p	: c	= 99 45	99 36
r	: c	= 137 19	136 40
r'	: c	= 118 53	118 11
r/2	: c	= 159 49	159 24
r	: r/2	= 157 30	
q : q	an c	= 69 18	68 2
	- b	= 110 42	
q	: c	= 124 39	124 0
q	: b	= 145 21	
o	: o	= 102 30	102 0
o	: b	= 128 45	129 10
o	: c	= 124 59	124 20
o	: p	= 152 46	152 31
o	: r	= 141 15	
o _{1/2}	: b	= 148 4	148 20
o _{1/2}	: c	= 112 53	112 30
o _{1/2}	: o	= 160 41	
o' _{1/2}	: b	= 154 15	
o' _{1/2}	: c	= 102 7	102 0
o' _{1/2}	: p	= 158 8	
o' _{1/2}	: r'	= 115 45	115 40
p	: r	= 123 46	123 56
p	: r'	= 118 22	118 51

Schwefelsaures Zinkoxyd. (S. 102.)

1) Mit 6 At. Wasser. $Zn\bar{S} + 6aq.$ *Maignac*.

Zwei- und eingliedrig.

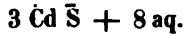
Isomorph mit den analogen Salzen von Talkerde, Nickel- und Kobaltoxyd.

Maignac fand:

p : p = 73° 14'	o : c = 119° 0'
p : a = 126 40	o' : c = 99 0
p : c = 94 30	o'/2 : c = 132 0
a : c = 98 35	

Dieses Hydrat bildet sich, wenn die Auflösung bei 50—55° krystallisirt.

Schwefelsaures Kadmiumoxyd. (S. 103.)



Die Angabe *Stromeyers*, dass das Salz 4 At. Wasser = 25,7 p. C. enthalte, ist später von Niemand bestätigt worden. *Weber* fand (Pogg. Ann. 85, 304) 18,16—18,33 p. C. Wasser v. *Hauer*; (Wien. Akad. Ber. Januar 1855) 18,78—18,86—18,90—19,05 p. C., und ich 19,03—19,27 p. C. Wasser (Pogg. Ann. 94, 513). Demnach giebt ihm *Weber* die Formel $2 \text{ Cd } \bar{\text{S}} + 5 \text{ aq.}$ mit 17,81 p. C., v. *Hauer* $3 \text{ Cd } \bar{\text{S}} + 8 \text{ aq.}$ mit 18,75 p. C., und ich habe $\text{Cd } \bar{\text{S}} + 3 \text{ aq.}$ mit 20,64 p. C. Wasser angenommen.

In der That scheint v. *Hauers* Formel die richtige zu sein, denn sie stimmt nicht blos mit der Analyse am besten, sondern sie wird auch durch die Isomorphie des Salzes mit dem schwefelsauren Didymoxyd bestätigt, welches zwar früher von *Marignac* als $\text{Di } \bar{\text{S}} + 3 \text{ aq.}$ beschrieben, später jedoch auch als $3 \text{ Di } \bar{\text{S}} + 8 \text{ aq.}$ erkannt ist.

Es ist also noch zu entscheiden, ob es mehr als ein gut krystallisirendes Hydrat des Salzes giebt; ich habe immer nur eine und dieselbe Form beobachtet.

An den von v. *Hauer* analysirten Krystallen beobachtete ich das vordere Augitpaar $o = a : b : c$, als sehr schmale Abstumpfung der stumpfen Kanten zwischen p und c.

Berechnet.	Beobachtet.	
$o : b = 110^\circ 52'$		
$o : c = 145 \quad 12$	145°	} ungefähr.
$o : p = 147 \quad 20$	147	

Schwefelsaures Kupferoxyd. (S. 105.)



In der gegebenen Krystallbeschreibung sind einige Irrthümer enthalten, daher sie durch folgende zu ersetzen ist:

Eingliedrig. $a : b : c = 0,5656 : 1 : 0,5499$. *Kupffer*.

A = 94° 22'	$\alpha = 97^\circ 39'$
B = 105 38	$\beta = 106 \quad 49$
C = 79 19	$\gamma = 77 \quad 37$

Die Krystalle des Kupfervitriols zeigen einen ziemlichen Flächenreichtum. Fig. 42—44 (125—127) und eine Projection Fig. 45 (128).

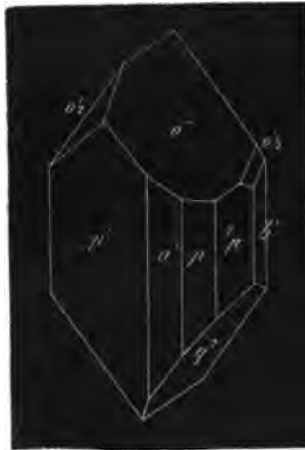
42 (125)



43 (126)



44 (127)



45 (128)



Die Flächen a, b, c werden am zweckmässigsten als das eingliedrige Hexaid betrachtet, dessen Kanten die Lage der Axen, und dessen Flächen die der Axenebenen bestimmen. Alsdann sind die p und q Dodekaidflächen, die o dagegen Oktaidflächen.

$$\begin{array}{llll}
 o''' = a' : b' : c & p = a : b : \infty c & a = a : \infty b : \infty c \\
 o^{1/2} = a' : \frac{1}{2}b' : c & p' = a : b' : \infty c & b = b : \infty a : \infty c \\
 o'^{1/2} = a' : \frac{1}{2}b' : c & {}^2p = 2a : b : \infty c & c = c : \infty a : \infty b \\
 o'^{1/3} = a' : \frac{1}{3}b' : c & p'_2 = a : 2b' : \infty c & \\
 & q = b : c : \infty a & \\
 & q' = b' : c : \infty a & \\
 & q^2 = b : 2c : \infty a & \\
 & q'_2 = b' : 2c : \infty a &
 \end{array}$$

An dem eingliedrigen Hauptoktaeder, von welchem indessen nur die linke hintere Fläche o''' beobachtet ist, würde die Neigung der Flächen sein

in den Kanten	ac = 142° 28'
	a'c = 132 20
	bc = 99 53
	b'c = 96 34
	ab = 91 57
	ab' = 100 59

		Berechnet.	Beobachtet.	
			<i>Kupfer.</i>	<i>Miller.</i>
a	: b'	=	*100° 41'	
a	: p	= 149° 9'		148° 47'
a	: p'	= 152 1		
b	: p	=	*110 10	110 38
b'	: p'	= 126 41	126 40	
p	: p'	=	*123 10	
a	: {}^2p	= 156 37		
b	: {}^2p	= 132 43		
p	: {}^2p	= 157 27		
b	: c	=	*94 22	
b	: q	=	*121 40	
b'	: q'	= 114 54	114 57	
c	: q	= 152 42		
c	: q'	= 150 44		
q	: q'	= 123 26		
b	: q^2	= 139 9	139 43	
b'	: q'_2	= 135 8		
c	: q^2	= 135 11		
c	: q'_2	= 130 30		
q^2	: q'_2	= 85 43		
q	: q^2	= 162 31		
q'	: q'_2	= 159 46		
a	: c	=	*105 38	
p	: c	= 107 17		

		Berechnet.	Beobachtet.	
			Kupffer.	Miller.
p'	: c	= 100° 43'		
² p	: c	= 105 17		
q	: a	= 98 19		
q'	: a	= 109 38	109° 38'	
q ²	: a	= 92 37	92 26	
q' ₂	: a	= 109 24		
o'''	: a'	= 120 48		120° 50'
o'''	: b'	= 103 26	103 27	
o'''	: c	= 125 6		
o'''	: p	= 127 37	127 40	
o'''	: q'	= 129 34		129 31
o ^{1/2}	: o ^{1/2}	= 97 19		
o ^{1/2}	: a'	= 121 3		
o ^{1/2}	: b	= 138 45		
o ^{1/2}	: c	= 117 20		
o ^{1/2}	: o'''	= 117 49		
o ^{1/2}	: a'	= 111 12		
o ^{1/2}	: b'	= 123 56		
o ^{1/2}	: c	= 117 8		
o ^{1/2}	: o'''	= 159 30		
o ^{1/2}	: a'	= 103 27		
o ^{1/2}	: b'	= 139 11		
o ^{1/2}	: c	= 109 55		
o ^{1/2}	: o'''	= 144 15		
o ^{1/2}	: o ^{1/2}	= 164 45		
o ^{1/2}	: ² p	= 137 37		
o ^{1/2}	: q ²	= 146 20		
o ^{1/2}	: q' ₂	= 139 24		

Spaltbar sehr unvollkommen nach o''' und p.

Salpetersaure Salze.

Salpetersaures Kali.

Salpetersaures Ammoniak. (S. 116.)

Frankenheim hat Beobachtungen über das Krystallisiren beider Salze unter dem Mikroskop mitgetheilt.

Poggend. Ann. 92, 354. 93, 14.

Salpetersaurer Strontian.

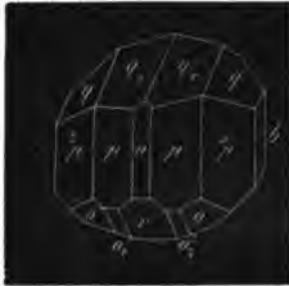
Wasserhaltig. $\text{Sr N} + 4\text{aq. } ^1)$

Zwei- und eingliedrig. a : b : c = 0,6547 : 1 : 0,8976
o = 88° 50'. *Sénarmont.*

1) Nach neueren Untersuchungen von *Souchay* und *Leussen* ist die bisherige Annahme von 5 At. Wasser unrichtig.

Gewöhnlich Combinationen eines rhombischen Prismas p und des dreifach schärferen 3p , mit einer auf die stumpfen Kanten von 3p aufgesetzten schiefen Zuschärfung q_2 . An grösseren Krystallen finden sich die stumpfen Kanten von p durch a , die von 3p durch b gerade abgestumpft; ferner beobachtet man die zweifach schärfere Zuschärfung q , eine hintere schiefe Endfläche r' und in ihrer Diagonalzone zwei Augitpaare, von denen das eine o' mit a und q in eine Zone fällt, das andere o'_2 mit p und q'_2 in einer Zone liegt. Fig. 46.

46



$$\begin{array}{lll}
 o' = a' : b : c & p = a : b : \infty c & a = a : \infty b : \infty c \\
 o'_2 = a' : 2b : c & {}^3p = 3a : b : \infty c & b = b : \infty a : \infty c \\
 & q = b : c : \infty a & \\
 & q'_2 = 2b : c : \infty a & \\
 & r' = a' : c : \infty b &
 \end{array}$$

An dem aus o' und einem supponirten vorderen Augitpaar $o = a : b : c$ zusammengesetzten Hauptoktaeder ist:

$$\begin{array}{ll}
 A = 123^\circ 48' & C = 88^\circ 51' \\
 B = 124 \quad 42 & D = 117 \quad 14
 \end{array}$$

	Berechnet.	Beobachtet.		
		<i>Sénarmont.</i>	<i>R.</i>	<i>Brooke.</i>
$p : p$ an $a =$				
$- b =$	66° 25'	* 113° 35'	113° 30'	66° 20'
$p : a =$	146 48			
$p : b =$	123 12			
${}^3p : {}^3p$ an $a =$	53 58	54 0		
$- b =$	126 2		125 40	
${}^3p : a =$	116 59			
${}^3p : b =$	153 1			
${}^3p : p =$	150 11		150 8	150 10
$q : q$ an $c =$	96 12	96 0		
$- b =$	83 48			
$q : b =$	131 54			
$q : a =$	90 52			
$q'_2 : q'_2$ an $c =$		* 131 40		131 46
$- b =$	48 20			

	Berechnet.	Beobachtet.	
		<i>Sénarmont.</i>	R.
$q'_{1/2} : b$	= 114° 10'		
$q'_{1/2} : a$	= 91 4		
$q'_{1/2} : q$	= 162 16		
$a : r'$	=	*143° 20'	
$p : r'$	= 132 16	132 20	
$p : q'_{1/2}$	= $\left. \begin{array}{l} 103 \ 52 \\ 102 \ 3 \end{array} \right\}$	$\left. \begin{array}{l} 103 \ 52 \\ 102 \ 4 \end{array} \right\}$	$\left. \begin{array}{l} 103^\circ \ 10' \\ 101 \ 40 \end{array} \right\}$
${}^2p : q'_{1/2}$	= $\left. \begin{array}{l} 111 \ 55 \\ 110 \ 53 \end{array} \right\}$	$\left. \begin{array}{l} 111 \ 58 \\ 110 \ 56 \end{array} \right\}$	
$o' : a$	= 135 9		
$o' : b$	= 118 6		
$o' : p$	= 148 21	148 40	
$o' : q$	= 133 59		
$o' : r'$	= 151 54	151 45	
$o'_{1/2} : o'_{1/2}$	= 150 6		
$o'_{1/2} : a$	= 140 57		
$o'_{1/2} : b$	= 104 57		
$o'_{1/2} : q'_{1/2}$	= 127 59		
$o'_{1/2} : r'$	= 165 3		
$o'_{1/2} : o'$	= 166 51	166 50	

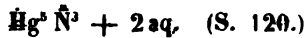
Ich hatte schon vor einiger Zeit durch einige Messungen gefunden, dass die nach *Brooke's* Angaben mit c und $r'_{1/2}$ bezeichneten Flächen gleichwerthig und ungleich gegen die Flächen der Horizontalzone geneigt sind. Die Untersuchungen von *Sénarmont*, welche mir später bekannt wurden, und an flächenreicheren Krystallen angestellt sind, haben jene Thatsache bestätigt, und es müssen demnach in den Fig. 134 und 135 die Flächen

$$\begin{array}{l} p_{1/3} \text{ mit } p \\ p \quad \quad \quad {}^2p \\ c \text{ und } r'_{1/2} \quad \quad q'_{1/2} \end{array}$$

bezeichnet werden.

Sénarmont: Ann. Chim. Phys. III. Sér. XLI. 326.

Salpetersaures Quecksilberoxydul.



Die Formel ist $5 \text{Hg}^2 \text{O.} \ 3 \text{NO}^3 + 2 \text{aq.} = \text{Hg}^5 \text{N}^3 + 2 \text{aq.}$

Die Fläche $o'_{1/2}$ ist ${}^{1/2}o' = {}^{1/2}a : b' : c$.

Die Fläche $o'''_{1/2}$ ist $= a' : b' : {}^{1/2}c$.

Die Berechnung ist folgendermassen zu berichtigen:

Eingliedrig.

$$\begin{array}{ll} A = 98^\circ \ 30' & \alpha = 94^\circ \ 5' \\ B = 111 \ 2 & \beta = 109 \ 43 \\ C = 103 \ 25 & \gamma = 101 \ 11 \end{array}$$

An dem eingliedrigen Hauptoktaeder o ist die Neigung der Flächen

in den Kanten

ac	=	o	:	o'	=	108°	55'
a'c	=	o''	:	o'''	=	87	20
bc	=	o	:	o''	=	122	46
b'c	=	o'	:	o'''	=	113	13
ab	=	o	:	o'''	=	118	7
ab'	=	o'	:	o''	=	104	42

			Berechnet.	Beobachtet.
a	:	b	=	*103° 25'
a	:	p	= 136° 57'	136 57
a	:	p'	= 120 41	
b	:	p	=	*146 28
b'	:	p'	= 135 51	135 44
p	:	p' an a	= 77 41	77 48
a	:	p'/ ₂	= 144 56	
b'	:	p'/ ₂	= 111 39	111 26
p'	:	p'/ ₂	= 155 48	
b	:	c	=	*98 30
b	:	q	= 142 33	
c	:	q	=	*135 57
c	:	q'	= 125 52	126 24
b'	:	q'	= 135 13	
b'	:	q'/ ₂	= 113 18	
c	:	q'/ ₂	= 148 17	
q'	:	q'/ ₂	= 157 35	
a	:	c	=	*111 2
a	:	r	= 144 0	
a'	:	r'	= 131 15	
c	:	r	= 147 2	147 3
c	:	r'	= 127 43	127 34
a	:	r ²	= 157 6	
a'	:	r' ²	= 147 58	
c	:	r ²	= 133 56	134 0
c	:	r' ²	= 101 1	101 0
r	:	r ²	= 166 54	
r'	:	r' ²	= 163 17	
a	:	r ³	= 163 25	
c	:	r ³	= 127 37	127 ungef.
r	:	r ³	= 160 35	
r ²	:	r ³	= 173 41	
a'	:	r'/ ₂	= 96 20	
c	:	r'/ ₂	= 152 38	152 38
r'	:	r'/ ₂	= 145 5	
r' ²	:	r'/ ₂	= 128 22	
p	:	c	= 107 55	107 49
p'	:	c	= 97 13	97 18
p'/ ₂	:	c	= 104 48	104 48

		Berechnet.	Beobachtet.
q	: a	= 112° 32'	112° 35'
q'	: a	= 93 36	93 38
q' ₂	: a	= 102 18	
r	: b	= 103 12	103 18
r'	: b	= 86 29	86 25
r ²	: b	= 103 56	
r ²	: b	= 80 48	80 25
r ²	: b	= 104 1	
r' ₂	: b	= 92 28	92 29
o	: a	= 135 54	136 2
-	: b	= 134 16	134 3
-	: c	= 134 4	133 52
-	: p	= 153 51	
-	: q	= 156 38	
-	: r	= 148 56	
o'	: a	= 126 3	125 55
-	: b	= 116 49	116 38
-	: c	= 132 11	132 14
-	: p'	= 145 2	
-	: q'	= 147 33	
-	: r	= 139 59	
o''	: a'	= 101 20	101 22
-	: b	= 134 40	
-	: c	= 123 7	123 4
-	: p'	= 139 40	
-	: q	= 146 8	
-	: r'	= 131 49	
o'''	: a'	= 120 44	121 3
-	: b'	= 138 0	138 0
-	: c	= 107 49	108 4
-	: p	= 144 16	
-	: q'	= 145 40	
-	: r'	= 135 31	
¹ / ₂₀ '	: a	= 144 14	145 7
-	: b'	= 103 40	
-	: c	= 128 36	128 40
-	: q'	= 129 22	
-	: r ²	= 152 24	
-	: o'	= 161 49	
o''' ₂	: a'	= 102 40	
-	: b'	= 119 38	
-	: c	= 134 0	134 2
-	: p	= 118 5	
-	: q' ₂	= 145 1	
-	: r' ₂	= 148 0	
-	: o'''	= 153 49	

Salpetersaures Quecksilberoxyd.



Zweigliedrig. $a : b : c = 0,6975 : 1 : 0,5187.$ *Marnagnac.*

47

Rechtwinklig vierseitige Tafeln des zweigliedrigen Hexaids a, b, c, von dessen Flächen b sehr vorherrscht und die Tafelform bedingt. Aus der Horizontalzone das erste Paar p und sein zweifach schärferes 2p ; ausserdem das zweite Paar q und dessen zweifach stumpferes $q_{1/2}$. Untergeordnet treten drei Rhombenoktaeder auf, nämlich das Hauptoktaeder o; ferner $o^{1/2}$, auf 2p gerade aufgesetzt, d. h. mit 2p und c, und mit o und b in eine Zone fallend, so wie $^{1/2}o$, welches einerseits mit a, q und zweien o, andererseits mit einem p und einem $o^{1/2}$ eine Zone bildet. Fig. 47.



$o = a : b : c$	$p = a : b : \infty c$	$a = a : \infty b : \infty c$
$o^{1/2} = a : \frac{1}{2}b : c$	$^2p = 2a : b : \infty c$	$b = b : \infty a : \infty c$
$^{1/2}o = \frac{1}{2}a : b : c$	$q = b : c : \infty a$	$c = c : \infty a : \infty b$
	$q_{1/2} = 2b : c : \infty a$	

	2 A.	2 B.	2 C.
$o =$	134° 48'	113° 8'	84° 24'
$o^{1/2} =$	100 26	123 34	103 50
$^{1/2}o =$	147 42	74 18	115 10
	Berechnet.		Beobachtet.
$p : p \text{ an } a =$	110° 12'		
- b =	69 48		
$p : a =$	145 6		
$p : b =$	124 54		124° 50'
$^2p : ^2p \text{ an } a =$	70 16		
- b =	109 44		
$^2p : a =$	125 8		
$^2p : b =$			* 144 22
$^2p : p =$	160 2		
$q : q \text{ an } c =$	125 10		
- b =	54 50		
$q : c =$	152 35		152 47
$q : b =$	117 25		
$q_{1/2} : q_{1/2} \text{ an } c =$	150 56		
- b =	29 4		
$q_{1/2} : c =$	165 28		165 40
$q_{1/2} : b =$	104 32		

	Berechnet.	Beobachtet.
$q'_2 : q$	= 167' 7'	
$o : a$	= 123 26	
$o : b$	= 112 36	112° 40'
$o : c$	= 137 48	137 51
$o : p$	= 132 12	
$o : q$	= 146 34	
$o^{1/2} : a$	= 118 13	
$o^{1/2} : b$	= 129 47	129 43
$o^{1/2} : c$	=	* 128 5
$o^{1/2} : p$	= 141 55	
$o^{1/2} : o$	= 162 49	
$^{1/2}o : a$	= 142 51	
$^{1/2}o : b$	= 106 9	105 54
$^{1/2}o : c$	= 122 25	122 45
$^{1/2}o : q$	= 127 9	
$^{1/2}o : o$	= 160 36	

Sehr vollkommen spaltbar nach b, weniger nach a, noch weniger nach p.

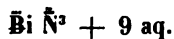
Salpetersaures Uranoxyd.

Dieses Salz ist neuerlich von Schabus gemessen worden, und auch ich habe einige Winkel bestimmt.

	Schabus.	R.
$o \left\{ \begin{array}{l} 2 A \\ 2 B \end{array} \right.$	= 127° 6' = 118 5	117° 44'
$q : q \text{ an } c$	= 117 25,5	
$q : b$	= 121 17	
$o : a$	= 120 57,5	120 48
$o : b$	= 116 27	
$o : q$	= 149 2,5	149 11

Schabus: S. 40.

Salpetersaures Wismuthoxyd.



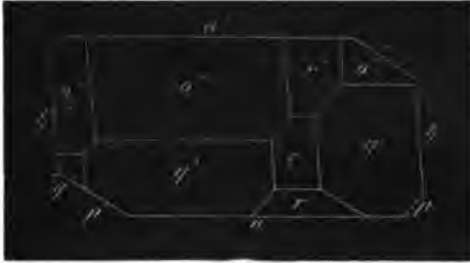
Eingliedrig. $a : b : c = 0,8053 : 1 : 0,6172.$ R.

A = 96° 40'	$\alpha = 99° 4'$
B = 103 5	$\beta = 104 26$
C = 81 0	$\gamma = 79 6$

Die Krystalle sind ziemlich flächenreich. Am besten geht man (Fig. 48) von dem eingliedrigen Hexaid a, b, c aus, welches durch Vorherrschen von a meist dünn tafelförmig erscheint. Die Flächen p, p', q, q' und q'_2, sowie r und r' sind Dodekaidflächen, o'' und o''' sind Oktaidflächen der hinteren Seite, für die p, q, r die zugehörigen Paare

sind, während die Oktaidfläche o''' , mit p und q' , und mit o'' , r' , o''' und b in eine Zone fällt. Allein fast nie findet man alle diese Flächen an einem und demselben Krystall. Die Fig. 49—53 stellen einige häufiger vorkommende Combinationen dar.

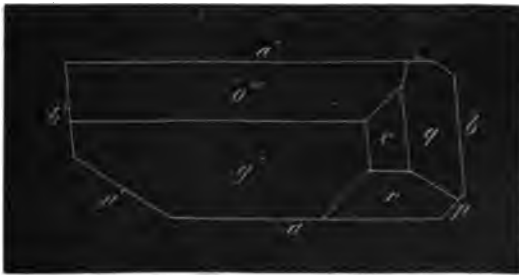
48



49

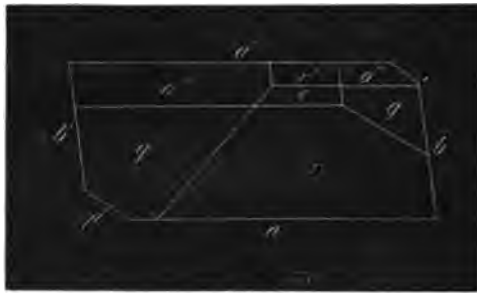


50



51





$$\begin{array}{lll}
 o'' & = a' : b : c & p = a : b : \infty c \quad a = a : \infty b : \infty c \\
 o''' & = a' : b' : c & p' = a : b' : \infty c \quad b = b : \infty a : \infty c \\
 o'''/2 & = a' : 1/2b' : c & q = b : c : \infty a \quad c = c : \infty a : \infty b \\
 & & q' = b' : c : \infty a \\
 & & q'_2 = b' : 2c : \infty a \\
 & & r = a : c : \infty b \\
 & & r' = a' : c : \infty b
 \end{array}$$

Supponirt man, um das eingliedrige Hauptoktaeder zu vervollständigen, die fehlenden vorderen Flächen $o = a : b : c$ und $o' = a : b' : c$, so ist an jenem die Neigung der Flächen in den Kanten

ac	oder σ	:	o'	=	132° 49'
a'c	„	o''	:	o'''	= 123 20
bc	„	o	:	o''	= 115 56
b'c	„	o'	:	o'''	= 111 12
ab	„	o	:	o'''	= 84 1
ab'	„	o'	:	o''	= 93 3

Berechnet.

Beobachtet.

		<i>R.</i>		<i>Schabus.</i>
$a : b' =$		*99° 0'		99° 10'
$a : p =$		*138 20		

Berechnet.			Beobachtet.		
			R.	<i>Schabus.</i>	
a	: p'	= 145° 14'	145° 16'	145° 3'	
b	: p	= 122 40	122 40		
b	: p'	= 133 46	133 44		
p	: p'	= 103 34	103 37		
b	: c	=	*96 40		
b	: q	= 126 7	126 7		
b'	: q'	= 116 23	116 26	115	50
c	: q	=	*150 33		
c	: q'	= 146 57	146 58	147	5
q	: q'	= 117 30	117 30	118	9
b'	: q' ₂	= 137 58	137 53		
c	: q' ₂	= 125 22			
q'	: q' ₂	= 158 25	158 30		
a	: c	=	*103 5		
a	: r	= 135 41	135 49		
a'	: r'	= 119 11	119 30		
c	: r	= 147 25	147 15		
c	: r'	= 137 43	138 15		
r	: r'	= 105 8	105 20		
p	: c	= 105 44			
p'	: c	= 95 39			
q	: a	= 96 9	96 15		
q'	: a	= 106 51	106 48	107	3
r	: b	= 90 11	90 26		
r'	: b	= 102 15			
o''	: a'	= 117 38			
o''	: b	= 127 48	128 0		
o''	: c	= 130 30			
o''	: p'	= 133 51	133 54		
o''	: q	= 146 13			
o''	: r'	= 154 27	154 8		
o'''	: a'	= 112 58	112 44	112	18
o'''	: b'	= 108 52	108 53	108	35
o'''	: c	= 130 56	131 18		
o'''	: p	= 123 20			
o'''	: q'	= 140 11	140 11		
o'''	: r'	= 148 53	149 12		
o''' ₂	: a'	= 103 58			
o''' ₂	: b'	= 131 58	131 48		
o''' ₂	: c	= 122 34			
o''' ₂	: q' ₂	= 149 42			
o''' ₂	: r' ₂	= 125 47			
o''' ₂	: o'''	= 156 54	156 55		

Vollkommen spaltbar nach a.

Unterphosphorigsaure Salze.

Unterphosphorigsaurer Kalk.



Zwei- und eingliedrig. $a : b : c = 1,1967 : 1 : 1,3857$.
 $o = 75 \text{ } 12'$. *Schabus.*

Combinationsen eines rhombischen Prismas p , der basischen Endfläche c , einem zweiten Paar q^2 , einer vorderen schiefen Endfläche r und einem vorderen Augitpaar o aus der Diagonalzone von jenem. Fig. 54.

54



$$\begin{aligned} o &= a : b : c & p &= a : b : \infty c & c &= c : \infty a : \infty b \\ q^2 &= b : 2c : \infty a \\ r &= a : c : \infty b \end{aligned}$$

An dem aus o und einem entsprechenden hinteren Augitpaar o' bestehenden Hauptoktaeder ist

$$\begin{aligned} A &= 89^\circ 16' & C &= 110^\circ 48' \\ B &= 103 \text{ } 56 & D &= 121 \text{ } 26 \end{aligned}$$

Berechnet.

Beobachtet.

$$\begin{aligned} p : p \text{ an } a &= 81^\circ 40' \\ &- b = 98 \text{ } 20 \\ p : c &= & *99^\circ 37' \\ q^2 : q^2 \text{ an } c &= 40 \text{ } 56 \\ &- b = 139 \text{ } 4 \\ q^2 : c &= 110 \text{ } 28 \\ o : o &= & 110 \text{ } \text{ungef. } 1) \\ o : c &= & *103 \text{ } 56 \\ o : p &= 153 \text{ } 2 \\ o : r &= 141 \text{ } 58 \\ & & *126 \text{ } 35 \end{aligned}$$

Die Krystalle sind meist tafelfartig durch Ausdehnung von c . Die Flächen c und q^2 sind gekrümmt, nur o ist glänzend und eben. Glasglanz, auf c Perlmutterglanz.

Vollkommen spaltbar nach c .

Schabus : S. 100.

1) Ausserdem $109^\circ 48'$ — $110^\circ 48'$ gefunden.

Chlorsaure Salze.

Chlorsaures Natron. (S. 139.)

Die Flächen des Gegentetraeders sind (Hdbch. S. 139) irrtümlich als beobachtet angegeben.

Marbach hat die entgegengesetzte Circularpolarisation an den Krystallen dieses Salzes nachgewiesen.

Pogg. Ann. 91, 482. 94, 412.

Chlorsaures Bleioxyd.

Pb Cl. + aq.

Zwei- und eingliedrig. $a : b : c = 1,1385 : 1 : 0,9486$.
 $\alpha = 87^\circ 0'$. *Marignac*.

Rhombische Prismen p mit Abstumpfung der scharfen Kanten a und der stumpfen b, der auf erstere aufgesetzten basischen Endfläche c und der vorderen r. Gewöhnlich besteht die Combination nur aus p und c, zuweilen treten a und b hinzu, noch seltener ist r.

$$\begin{aligned} p &= a : b : \infty c & a &= a : \infty b : \infty c \\ r &= a : c : \infty b & b &= b : \infty a : \infty c \\ & & c &= c : \infty a : \infty b \end{aligned}$$

An dem zum Grunde liegenden Hauptoktaeder ist

$$\begin{aligned} A &= 106^\circ 28' & C &= 117^\circ 41' \\ B &= 109 \quad 16 & D &= 103 \quad 11 \end{aligned}$$

	Beobachtet.	Berechnet.
p : p an a =		*82° 40'
- b =	97° 20'	
p : a =	131 20	131 10
p : b =	138 40	138 50
p : c =	92 0	92 0
a : c =	=	*93 0
a : r =	131 34	
c : r =	=	*141 26

Die Krystalle sind weiss und halten sich ziemlich gut an trockner Luft.

Sie sind offenbar isomorph mit denen des Barytsalzes, denn die Axen a sind gleich, und die c verhalten sich = 4 : 5.

Chlorsaures Silberoxyd. (S. 140.)

Ag Cl.

Viergliedrig. $a : c = 1 : 0,9325 = 1,0724 : 1$. *Marignac*.

Combinationen eines Quadratoktaeders d, der beiden quadratischen Prismen a und p, der Endfläche c und eines Vierkantners $\sqrt{1/2}$ aus der Endkantenzone von d, zwischen d und p liegend. Fig. 55.



$$v^{1/2} = a : \frac{1}{2}a : c \quad d = a : c : \infty a \quad a = a : \infty a : \infty c$$

$$p = a : a : \infty c \quad c = c : \infty a : \infty a$$

	2 A.	2 C.	α .
d	*122° 20'	86° 0'	56° 36'

Für $v^{1/2}$ ist die Neigung der Flächen

in den Endkanten ac	= 132° 26'
„ „ „ sc	= 93 40
„ „ „ Seitenkanten	= 128 46

	Berechnet.	Beobachtet.
d : a	= 133° 0'	
d : c	= 137 0	
d : p	= 118 50	
$v^{1/2}$: a	= 143 45	
$v^{1/2}$: c	= 115 37	
$v^{1/2}$: d	= 150 2	150° 0'
$v^{1/2}$: p	= 148 48	

Das von *Wächter* beobachtete Oktaeder (Hdbch. S. 140) o wäre hiernach $d^4 = a : 4c : \infty a$.

	2 A.	2 C.	α .
d^4	93° 50'	150° 0'	20° 44'
	(beob. 93 50)		

Marignac nimmt an, dass das Salz mit dem Natronsalz isomorph sei, obwohl dies regulär krystallirt, weil das viergliedrige System des Silbersalzes dem regulären sehr nahe steht. Die Flächen d und p würden dem Granatoeder, a und c dem Würfel, $v^{1/2}$ dem Leucitoeder (zu Zweidrittel vorhanden) entsprechen. Die Neigungen 2 A : d, und d : p müssten = 120°, 2 C an d = 90°, und d : a gleichwie d : c = 135° sein.

Ueberchlorsaure Baryt.



Sechsgliedrig. $a : c = 1 : 0,6623 = 1,5099 : 1. \text{ Marignac.}$

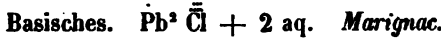
Sechseitige Prismen mit sechsflächiger Zuspitzung durch ein Dihexaeder d , wenn das Salz aus Alkohol krystallisirt, oder durch das zweifach schärfere d^2 , wenn es aus Wasser krystallisirt.

$d = a : a : \infty a : c \quad p = a : a : \infty a : \infty c$

$d^2 = a : a : \infty a : 2c$

	2 A.	2 C.	$\alpha.$
d	$= 144^\circ 38'$	$74^\circ 50'$	$56^\circ 29'$
d^2	$= 130 \quad 32$	$113 \quad 36$	$37 \quad 3$
	Berechnet.		Beobachtet.
$d : d$ über c	$= 105^\circ 10'$		
$d^2 : d^2$ „ „	$= 66 \quad 24$		
$d : p$	$=$		$*127^\circ 25'$
$d^2 : p$	$= 146 \quad 48$		$147 \quad 0$
$d : d^2$	$= 160 \quad 37$		

Ueberchlorsaures Bleioxyd.



Dimorph.

A. Zwei- und eingliedrig. $a : b : c = 1,5483 : 1 : 1,9038.$
 $o = 63^\circ 5'. \text{ Marignac.}$

Rhomboederähnliche Combinationen des rhombischen Prismas p und der auf seine scharfen Kanten aufgesetzten basischen Endfläche c . Sehr untergeordnet tritt oft die schiefe Endfläche r' , zuweilen auch die zweifach schärfere $^2r'$ und ein Augitpaar $^{1/2}o'$ aus deren Diagonalzone hinzu.

$^{1/2}o' = ^{1/2}a' : b : c \quad p = a : b : \infty c \quad c = c : \infty a : \infty b$
 $r' = a' : c : \infty b$
 $^2r' = a' : 2c : \infty b$

An der Grundform ist:

$A = 69^\circ 44' \quad C = 116^\circ 40'$
 $B = 96 \quad 34 \quad D = 130 \quad 1$

		Berechnet.	Beobachtet.
$p : p$ an a	$=$		$*71^\circ 50'$
	$- b = 108^\circ 10'$		
$p : c$	$=$		$*105 \quad 24$
$p : r'$	$=$		$*112 \quad 40$
$p : ^2r'$	$= 122 \quad 25$		$122 \quad 30$
$c : r'$	$= 112 \quad 1$		$112 \quad 10$
$c : ^2r'$	$= 87 \quad 2$		$87 \quad 7$
$r' : ^2r'$	$= 156 \quad 1$		
$^{1/2}o' : ^{1/2}o'$	$= 104 \quad 34$		$104 \quad 32$
$^{1/2}o' : c$	$= 92 \quad 21$		$92 \quad 25$
$^{1/2}o' : ^2r'$	$= 142 \quad 17$		$142 \quad 14$

B. Zwei- und eingliedrig. $a : b : c = 0,9965 : 1 : 0,6645$.
 $o = 86^\circ 51'$. *Marignac*.

Fast rechtwinklige rhombische Prismen p, vierflächig zugespitzt durch ein zweites Paar q und die schiefen Endflächen r und r', vollständige zwei- und eingliedrige Dodekaide bildend, zu denen untergeordnet ein hinteres Augitpaar $o'_{1/2}$ hinzutritt, welches mit p, q und r in eine Zone und zugleich in die Diagonalzone von r' fällt.

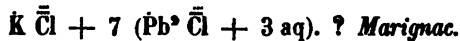
$$\begin{aligned} o'_{1/2} &= a' : \frac{1}{2}b : c & p &= a : b : \infty c \\ & & q &= b : c : \infty a \\ & & r &= a : c : \infty b \\ & & r' &= a' : c : \infty b \end{aligned}$$

	Berechnet.	Beobachtet.
p : p an a =		*90° 17'
- b =	89° 43'	
q : q - c =		*113 2
- b =	66 58	
p : q =	114 50	114 50
r : r' an c =	112 39	112 50
p : r =	114 32	114 25
p : r' =		*111 44
q : r =	134 30	134 25
q : r' =	133 24	133 24
$o'_{1/2} : o'_{1/2}$ =	82 52	83 0'
$o'_{1/2} : r'$ =	131 26	131 48

Diese beiden nicht wohl zu vereinbarenden Formen bilden sich gleichzeitig in der Auflösung des Salzes. *Marignac* konnte beide, jedoch nicht immer nach Willkür, in einander überführen. Die Krystalle A verwandelten sich beim Umkrystallisiren oft in B, und umgekehrt. Die ersteren sind vollkommen durchsichtig und luftbeständig; die letzteren, obwohl ursprünglich stark glänzend, verlieren bald einen Theil des Glanzes und der Durchsichtigkeit, auch lösen sie sich in Wasser nicht vollkommen klar auf.

A n h a n g.

Kalihaltiges überchlorsaures Bleioxyd.



Zweigliedrig. $a : b : c = 0,7706 : 1 : 0,9605$. *Marignac*.

Rhombenoktaeder o mit Abstumpfung der Seitenkanten durch das erste Paar p, der schärferen Seitenecken durch die Hexaiddfläche b und der Ecken durch c. Ausserdem das zweifach schärfere des zweiten zugehörigen Paares, q^2 , mit p und o in eine Zone fallend, so wie untergeordnet das zweifach stumpfere Oktaeder $o'_{1/2}$ zwischen o und c.

$$\begin{aligned} o &= a : b : c & p &= a : b : \infty c & b &= b : \infty a : \infty c \\ o'_{1/2} &= a : b : \frac{1}{2}c & q^2 &= b : 2c : \infty a & o &= c : \infty a : \infty b \end{aligned}$$

	Berechnet.	Beobachtet.
o	2 A = 118° 0'	118° 10'
	2 B = 96 4	96 15
	2 C = 115 18	
o' ₂	2 A = 135 40	136 0
	2 B = 121 20	
	2 C = 76 24	
p : p	an a =	*104 46
	- b = 75 14	
p : b	= 127 37	
q ² : q ²	an c =	*55 0'
	- b = 125 0	
q ² : c	= 117 30	
q ² : b	= 152 30	
o : b	= 121 0	121 4
o : c	= 122 26	122 28
o : p	= 147 34	
o' ₂ : b	= 112 10	
o' ₂ : c	= 141 48	141 52
o' ₂ : p	= 128 12	
o' ₂ : o	= 160 38	

Die Krystalle sind sehr klein, jedoch scharf und glänzend.

Nach *Marignac* sind sie isomorph mit denen des Kalisalzes, denn die Axen a sind nahe gleich, und die c verhalten sich = 3 : 2.

Die Zusammensetzung steht nicht ganz fest, doch ist der Kaligehalt der Krystalle wesentlich und bleibt beim Umkrystallisiren derselbe.

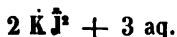
Jodsaure Salze.

Jodsaures Kali. (S. 145.)

a) Zweifach.

A.

Ich habe dieses Salz als wasserfrei bezeichnet, was indessen nicht richtig ist, weil seine Krystalle an der Luft aufbewahrt opalisirend werden, also etwas verwittern. Es gab in zwei Versuchen 11,90 und 11,95 p. C. Kali, und, als es zuvor bei 110° getrocknet worden, 12,47 p. C. Kali. Hiernach muss man die Formel



annehmen.

Es ist nicht ganz leicht, die Menge des Wassers genau festzustellen, da dessen Menge sehr gering ist, wie die Berechnung folgender drei Formeln zeigt:

	Wasserfrei.	Wasserhaltig.	
	KJ^2	$2 KJ^2 + 3 aq.$	$KJ^2 + aq.$
Kali	12,38	11,95	12,07
Jodsäure	87,62	84,62	85,62
Wasser		3,43	2,31
	100	100	100

Millon erhielt ¹⁾ aus dem Salze 57,47 p. C. Jodkalium = 16,32 Kali; andererseits 2,3 p. C. Wasser. Die erste Angabe beruht gewiss auf einem Irrthum, denn er nimmt ein At. Wasser im Salze an.

Schabus beschreibt die Krystalle dieses Salzes folgendermassen:

Zwei- und eingliedrig. $a : b : c = 2,5262 : 1 : 1,1591.$
 $\alpha = 87' 16'.$

Es sind Combinationen eines zwei- und eingliedrigen Oktaeders oo' , mit einem ersten Paar p^2 , einem zweiten $q/2$, der hinteren Hälfte eines dritten $2/2r'$, und den Hexaidflächen a und c . Durch Vorherrschen der Verticalzone und der Fläche a erscheinen die Krystalle als breite un-symmetrische Prismen, aus a , der basischen schiefen Endfläche c (welche gegen a fast rechtwinklig geneigt ist) und der hinteren Endfläche $2/2r'$ gebildet, an welchen die Flächen p eine auf a , die $q/2$ dagegen eine auf c gerade aufgesetzte Zuschärfung bilden, während o und o' als Zuspitzungsflächen auftreten.

56



$$\begin{array}{lll}
 o = a : b : c & p^2 = a : 2b : \infty c & a = a : \infty b : \infty c \\
 o' = a' : b : c & q/2 = 2b : c : \infty a & c = c : \infty a : \infty b \\
 & 2/2r' = a' : 2/2c : \infty b &
 \end{array}$$

	Berechnet.	Beobachtet.
o, o'	$\left\{ \begin{array}{l} A = 86^\circ 2' \\ B = 88 \quad 6 \\ C = 146 \quad 37 \\ D = 102 \quad 28 \end{array} \right.$	$147^\circ 30'$

1) Ann. Chlm. Phys. 1843. Decbr.

	Berechnet.	Beobachtet.
$p^2 : p^2$ an a	= 76 48	
- b	= 103 12	
$p^2 : a$	= 128 24	129 0
$p^2 : c$	= 91 42	
a : c	=	*92 44
$q^1_2 : q^1_2$ an a	= 119 52	
- b	= 60 8	
$q^1_2 : c$	=	*149 56
$q^1_3 : a$	= 92 22	
$^{2/3}p^1 : a$	= 104 30	103 ungefähr. 1)
$^{2/3}p^1 : c$	= 162 46	
$^{2/3}p^1 : p^2$	= 98 57	
o : a	= 108 20	108 0
o : c	=	*129 22
o' : a	= 105 3	
o' : c	= 128 10	128 20

Die Krystalle erscheinen stets als Zwillinge.

Zwillingsebene ist eine hintere schiefe Endfläche $a' : \frac{1}{4}c : \infty b$, welche für sich nicht beobachtet ist; die Zwillingensaxe steht senkrecht auf derselben. Durcheinanderwachsungen, bei denen die Flächen a beider Individuen einen Winkel von $132^\circ 22'$ (beob. 130° Schabus) bilden. Oft verschwinden die einspringenden Winkel. Fig. 57. 58.

57



58



Selten sind Zwillinge, bei denen die Fläche a die Zwillingsebene ist.

1) Im Original steht 130° , wohl ein Druckfehler.

Dies sind also die von mir beschriebenen Krystalle, deren Flächen sich folgendermassen vergleichen:

Schabus. *R.* (Handb. Fig. 174.)

$$\begin{array}{l} a = b \\ c = c \\ o = o'_{\frac{1}{2}} \\ p^2 = p \\ q'_{\frac{1}{2}} = r'_{\frac{1}{2}} \end{array}$$

Während ich $a : c$ (mein $b : c$) rechtwinklig genommen habe, beträgt der Neigungswinkel nach *Schabus* $92^{\circ}\frac{3}{4}'$.

Schabus: S. 94.

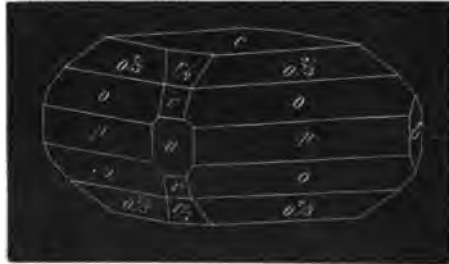
B.

$$K\tilde{J}^3 + aq (?).^1)$$

Zweigliedrig. $a : b : c = 0,8714 : 1 : 1,1145$. *Schabus.*

Combinations eines Rhombenoktaeders o mit dem ersten und dritten zugehörigen Paar p und r und den Hexaidflächen a , b und c , dem zweifach stumpferen dritten Paar $r'_{\frac{1}{2}}$ und dem $\frac{2}{3}$ fach stumpferen Oktaeder $o^{\frac{2}{3}}$. Fig. 59.

59



$$\begin{array}{lll} o = a : b : c & p = a : b : \infty c & a = a : \infty b : \infty c \\ o^{\frac{2}{3}} = a : b : \frac{2}{3}ac & r = a : c : \infty b & b = b : \infty a : \infty c \\ & r'_{\frac{1}{2}} = 2a : c : \infty b & c = c : \infty a : \infty b \end{array}$$

Für die beiden Rhombenoktaeder ist

2 A.	2 B.	2 C.
$o = 111^{\circ} 4'$	$99^{\circ} 0'$	$118^{\circ} 58'$
$o^{\frac{2}{3}} = 121^{\circ} 2'$	$111^{\circ} 14'$	$97^{\circ} 2'$

Berechnet.

Beobachtet.

$$\begin{array}{l} p : p \text{ an } a = \\ \quad - b = 82^{\circ} 4' \end{array}$$

$$+ 97^{\circ} 56'$$

1) Die Formel scheint von *Schabus* ohne Analyse des Salzes nur angenommen zu sein.

	Berechnet.	Beobachtet.
p : a	= 138° 58'	
p : b	= 131 2	
r : r an c	= 76 2	
- a	= 103 58	
r : a	= 141 59	
r : c	= 128 1	128° 5'
r ₂ : r ₂ an c	= 114 48	
- a	= 65 12	
r ₂ : a	= 122 36	
r ₂ : c	= 147 24	147 20
r ₂ : r	= 160 37	
o : a	= 130 30	
o : b	= 124 28	
o : c	= 120 31	120 30
o : p	= 149 29	
o : r	= 145 32	
o ^{2/3} : a	= 124 23	
o ^{2/3} : b	= 119 29	
o ^{2/3} : c	=	* 131 29
o ^{2/3} : p	= 138 31	
o ^{2/3} : o	= 169 2	

Die Krystalle erscheinen dick tafelartig durch Ausdehnung von c und Zurücktreten der Horizontalzone. Die Flächen r und r₂ treten untergeordnet auf, ebenso o^{2/3}, welches zuweilen fehlt.

Sie sind sehr klein, aber glatt und glänzend.

Diamantartiger Glasglanz. Unvollkommen spaltbar nach c.

Schabus : S. 36.

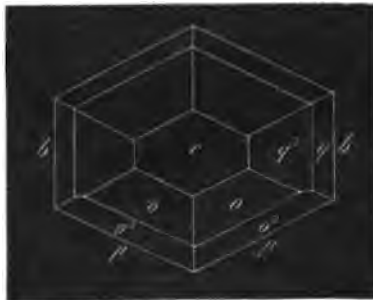
Jodsaurer Kalk.

(Aus einer Auflösung in Salpetersäure krystallisiert. Der krystalinische Niederschlag aus jodsaurem Natron und Kalksalzen ist nach meinen Versuchen $\text{Ca J} + 5 \text{ aq.}$)

Zweigliedrig. a : b : c = 0,4357 : 1 : 0,5231. *Sénarmont.*

60

Rhombische Prismen p mit Abstumpfung der scharfen Seitenkanten b, einem Rhombenoktaeder o und dessen dreifach schärferen o³, sowie den zweiten Paaren q³ und q¹ und der Endfläche c. Fig. 60.



$$\begin{array}{lll}
 o = a : b : c & p = a : b : \infty c & b = b : \infty a : \infty c \\
 o^2 = a : b : 3c & q^2 = b : 3c : \infty a & c = c : \infty a : \infty b \\
 & q^1 = b : 4c : \infty a &
 \end{array}$$

	Berechnet.	Beobachtet.
o	$\left. \begin{array}{l} 2 A = 143^{\circ} 0' \\ 2 B = 86 \quad 28 \\ 2 C = 105 \quad 16 \end{array} \right\}$	142° 58'
o ²	$\left. \begin{array}{l} 2 A = 134 \quad 26 \\ 2 B = 125 \quad 20 \\ 2 C = 151 \quad 26 \end{array} \right\}$	
p : p	an a =	* 132 55
	- b = 47 5	
p : b	= 113 32	
q ² : q ²	an c = 65 0	
	- b = 115 0	
q ² : c	= 122 30	122 29
q ² : b	= 147 30	
q ¹ : q ¹	an c = 51 6	
	- b = 128 54	
q ¹ : c	= 115 33	115 30
q ¹ : b	= 154 27	
q ² : q ¹	= 173 3	
o : b	= 108 30	
o : c	=	* 127 22
o : p	= 142 38	
o ² : b	= 112 47	
o ² : c	= 104 17	104 20
o ² : p	= 165 43	
o ² : q ²	= 152 40	
o : o ¹	= 156 55	

Privatmitteilung.

Ueberjodsaure Salze.

Ueberjodsaures Natron.

Wasserfrei. Na \bar{J} R.¹⁾

Viergliedrig. a : c = 1 : 1,59 = 0,6289 : 1. R.

Combinations eines Quadratoktaeders o und seines ersten stumpferen d, gewöhnlich unsymmetrisch, durch Ausdehnung zweier Flächen des letzteren. Fig. 61. 62.

$$o = a : a : c \quad d = a : c : \infty a$$

1) Durch Umkrystallisiren des Hydrats aus Wasser erhalten.

61



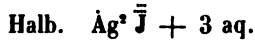
62



	Berechnet.	Beobachtet.
o	2 A = 99° 30'	99° 30'
	2 C = 132 4	132 10
	α = 32 10	
d	2 A = 106 28	106 34
	2 C = 115 40	115 42
	α = 41 39	
o : o über c	= 47 56	
d : d - c	= 64 20	64 20
o : d	=	*139 45

Die Krystalle sind farblos, durchsichtig und glattflächig.

Ueberjodsaures Silberoxyd.



Sechsgliedrig-rhomboedrisch. $a : c = 0,4842 : 1$
 $= 1 : 2,0653. R.$

Ein scharfes Rhomboeder r, dessen Endkanten durch das erste stumpfere $r'/_2$, und dessen Ecken durch die Endfläche c abgestumpft sind.

$$r = a : a : \infty a : c \quad c = c : \infty a : \infty a : \infty a$$

$$r'/_2 = a' : a' : \infty a : 1/2c$$

	Berechnet.	Beobachtet.
r	2 A =	*74° 0'
	2 C = 106° 0'	106 0
	α = 39 59	
r'/ ₂	γ = 22 45	
	2 A = 96 52	
	2 C = 83 8	
	α = 59 12	
	γ = 39 59	

	Berechnet.	Beobachtet.
$r : c$	$= 112^\circ 45'$	$112^\circ 34'$
$r'_2 : c$	$= 129 59$	$129 45$
$r : r'_2$	$= 127 0$	$127 9$

Die Krystalle sind häufig unsymmetrisch, von zwei- und eingliedrigem Ansehen. Die Flächen r'_2 sind sehr klein. Sie haben eine hellgelbe Farbe, die jedoch am Lichte dunkel wird, und einen lebhaften Glanz.

Kohlensaure Salze.

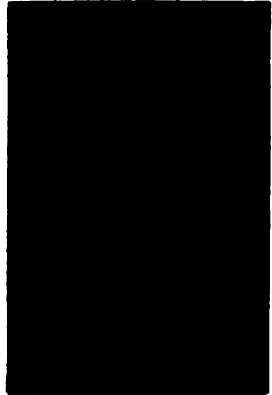
Kohlensaures Kali.

Einfach, wasserhaltig. $K\bar{C} + 2 \text{ aq. } R.$

Zwei- und eingliedrig. $a : b : c = 0,9931 : 1 : 0,8540$
 $\alpha = 68^\circ 36'. R.$

63

Combinationsen eines zwei- und eingliedrigen Oktaeders bestehend aus dem vorderen Augitpaar o und dem hinteren o' , der Abstumpfung seiner Seitenkanten durch das rhombische Prisma (erste Paar) p , der Seitenecken durch die Hexaidfläche h , der seitlichen Endkanten durch das zweite Paar q , und der hinteren Endkanten durch r' . Fig. 63.



$$\begin{array}{lll}
 o = a : b : c & p = a : b : \infty c & h = b : \infty a : \infty c \\
 o' = a' : b : c & q = b : c : \infty a & \\
 & r' = a' : c : \infty b &
 \end{array}$$

	Berechnet.	Beobachtet.
o, o'	$A =$	$* 106^\circ 0' (o' : o')$
	$B = 125^\circ 20'$	$125 9 (o : o)$
	$C = 112 59$	
	$D = 99 21$	$(o : o')$
$p : p \text{ an } a$	$=$	$* 96 30$
$- b$	$= 83 30$	$83 30$
$p : b$	$= 131 45$	$131 45$
$q : q \text{ an } c$	$= 103 2$	
$- b$	$= 76 58$	

	Berechnet.	Beobachtet.
q : b	= 128° 29'	
p : r'	=	* 110° 30'
o : b	=	* 117 20
o : p	= 146 27	146 30
o : q	= 151 36	
o' : b	= 127 0	127 0
o' : p	= 132 54	133—134° ungef.
o' : q	= 141 23	140 45
o' : r'	= 143 0	143 0

Die Krystalle dieses Salzes, welche bei der Darstellung von zinn-saurem Kali aus einer alkalischen Auflösung erhalten wurden, sind zerfiesslich, daher nicht sehr genau zu messen. Sie sind farblos und durchsichtig, und meistens etwas unsymmetrisch, indem sich die Flächen o' zu einem Prisma ausdehnen, dessen stumpfe Kanten durch r' schwach, dessen scharfe durch b stark abgestumpft sind. Die Flächen q und r' bilden schmale Abstumpfungen und fehlen zuweilen.

Kohlensaures Natron. (S. 154.)

1) Einfach.

β. Mit 10 At. Wasser.

De Sénarmont beobachtete an der Combination h, p, o', deren Kanten durch a und r' schmal abgestumpft waren:

$$\begin{aligned} a : r &= 121^\circ 8' \\ p : p &= 79 41 \\ o' : o' &= 76 28 \end{aligned}$$

Privatmittheilung.

γ. Mit 7 At. Wasser. Na C̄ + 7 aq. R.

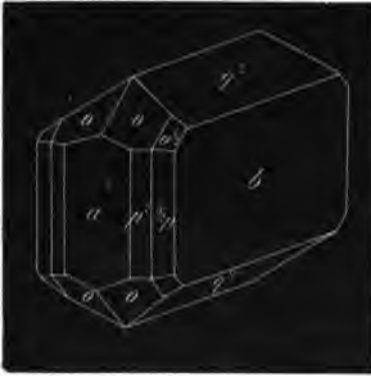
Zweigliedrig. a : b : c = 0,7509 : 1 : 0,3604. R.

Rechtwinklig vierseitige Tafeln, deren Ränder einerseits durch a abgestumpft, andererseits durch q² zugeschärft sind, Combinationen zweier rhombischen Prismen p² und ²/₂p und der Hexaidflächen a und b; in der Endigung herrschend ein zweites Paar q²; ausserdem ein Rhombenoktaeder o und ein anderes o¹/₂, welches mit o und b in eine Zone und zugleich in die Diagonalzone von q² fällt. Fig. 64. 65.

Offenbar identisch mit diesen Krystallen sind die von Haidinger beschriebenen, welche nach ihm dem Hydrat mit 1 At. Wasser angehören sollen.¹⁾ Auf die oben gewählte Stellung bezogen, wird (in Fig. 183) r = q², c = b, q = ²/₂p und das auf ²/₂p gerade aufgesetzte Rhombenoktaeder ¹/₂o ist dann ²/₂o. Fig. 66. 67.

1) Handbuch S. 153.

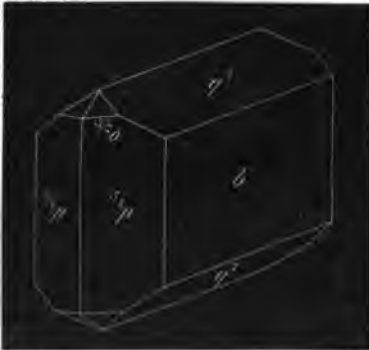
64



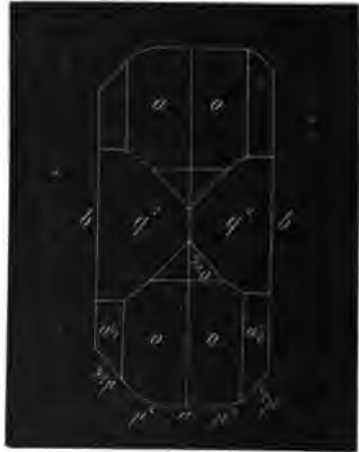
65



66



67



$$\begin{array}{lll}
 o & = & a : b : c \\
 o^{1/2} & = & a : \frac{1}{2}b : c \\
 o^{3/4} & = & \frac{3}{4}a : b : c
 \end{array}
 \quad
 \begin{array}{lll}
 p^2 & = & a : 2b : \infty c \\
 \frac{3}{2}p & = & \frac{3}{2}a : b : \infty c \\
 q^2 & = & b : 2c : \infty a
 \end{array}
 \quad
 \begin{array}{lll}
 a & = & a : \infty b : \infty c \\
 b & = & b : \infty a : \infty c
 \end{array}$$

Berechnet.

Beobachtet.

R.

o	}	2 A = 144° 0'
		2 B = 131 24
		2 C = 61 56
o ^{1/2}	}	2 A = 113 58
		2 B = 137 28
		2 C = 81 48

144° 0'
131 0

		Berechnet.	Beobachtet.	
			R.	Haidinger.
$\frac{3}{2}o$	}	2 A = 142° 6'		
		2 B = 146 30		
p^2	:	p^2 an a = 138 50		
		- b = 41 10		
p^2	:	a = 159 25		
p^2	:	b = 110 35	110° 30'	
$\frac{3}{2}p$:	$\frac{3}{2}p$ an a = 83 12		83° 50'
		- b = 96 48		
$\frac{3}{2}p$:	a = 131 36	131 35	
$\frac{3}{2}p$:	b =	*138 24	
$\frac{3}{2}p$:	p^2 = 152 11	152 12	
q^2	:	q^2 an c =	*108 26	107 50
		- b = 71 34	71 35	
q^2	:	b = 125 47	125 45	
o	:	a = 114 18		
o	:	b = 108 0	107 48	
$o^{1/2}$:	a = 111 16		
$o^{1/2}$:	b = 123 1	123 0	
$o^{1/2}$:	q^2 = 158 44		
$o^{1/2}$:	o = 164 59		
$o^{1/2}$:	o = 128 59 ¹⁾	128 50	
$\frac{3}{2}o$:	a = 106 45		
$\frac{3}{2}o$:	b = 108 57		
$\frac{3}{2}o$:	$\frac{3}{2}p$ = 115 44		
$\frac{3}{2}o$:	o = 172 27		

Die von mir beobachteten Krystalle waren theils durch Schmelzen des gewöhnlichen Hydrats mit 10 At. Wasser und langsames Abkühlen, theils zufällig aus der Mutterlauge von jodsaurem Natron erhalten worden. Sie enthalten 54 p. C. Wasser. *Haidinger* fand in den seinigen 17³/₄ p. C. Wasser, was etwas mehr als 1 At. ausmachen würde.

2) Zweifach. Na \bar{C}^2 + aq.

Zwei- und eingliedrig. a : b : c = 1,5291 : 1 : 0,7164
o = 86° 41'. *Schabus*.

Ein rhombisches Prisma p^2 , dessen scharfe Seitenkanten durch b stark abgestumpft sind, während die Abstumpfung a der stumpfen untergeordnet ist. In der Endigung ein auf das Prisma gerade aufgesetztes zwei- und eingliedriges Oktaeder, bestehend aus dem vorderen Augitpaar o_2 und dem hinteren o'_2 , sowie einem vorderen o, welches mit o_2 und b in eine Zone fällt, und der vorderen schiefen Endfläche r, welche

1) o links : $o^{1/2}$ rechts.

die Kanten von o_2 abstumpft. Zwischen o_2 und p^2 tritt noch ein nicht bestimmbares Augitpaar auf. Fig. 68. 69.

68



69



$$\begin{array}{lll}
 o = a : b : c & p^2 = a : 2b : \infty c & a = a : \infty b : \infty c \\
 o_2 = a : 2b : c & r = a : c : \infty b & b = b : \infty a : \infty c \\
 o'_2 = a' : 2b : c & &
 \end{array}$$

Für das aus o und einem entsprechenden hinteren Augitpaar bestehende Hauptoktaeder, sowie für das Oktaeder o_2 , o'_2 ist:

	A.	B.	C.	D.
o, o'	112° 56'	115° 16'	138° 22'	81° 4'
o_2, o'_2	142 20	144 50	132 30	61 0
		Berechnet.		Beobachtet.
$p^2 : p^2$ an a		= 104° 56'		
- b		= 75 4		75° 12'
$p^2 : a$		= 142 28		
$p^2 : b$		=		* 127 32
a : r		=		* 117 48
o : o		= 115 16		
o : a		= 113 8		
o : b		=		* 122 22
o : r		= 147 38		
$o_2 : o_2$		= 144 50		
$o_2 : a$		= 116 20		
$o_2 : b$		= 107 35		107 30
$o_2 : r$		= 162 25		
$o_2 : o$		= 165 13		
$o'_2 : o'_2$		= 143 20		

	Berechnet.	Beobachtet.
$o'_2 : a$	$= 111^\circ 10'$	
$o'_2 : b$	$=$	$*108^\circ 18'$

Die Krystalle sind meist tafelförmig durch Ausdehnung von b.

Zwillinge: Zwillingsene ist eine Fläche der Verticalzone, welche senkrecht auf r steht; die Zwillingsaxe ist parallel der Kante rb, liegt also in jener Ebene.

Die Flächen sind gewöhnlich unvollkommen ausgebildet und gestreift, nur b, o und r sind glatt und glänzend.

Spaltbar vollkommen nach r, weniger nach o.

Schabus: S. 97.

Kohlensaure Talkerde. (S. 156.)

Einfach. 1) Mit 3 At. Wasser. $Mg \bar{C} + 3 aq.$ *Marignac.*

Zweigligedrig.

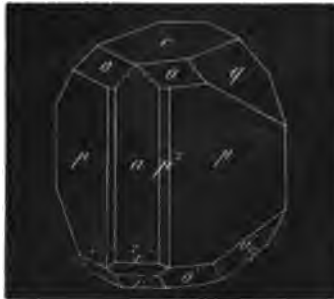
Kleine sechsseitige Prismen, Combinationen eines rhombischen Prismas von etwa 116° und der Abstumpfung der scharfen Seitenkanten. Meist sind sie nur von der Endfläche begrenzt, doch findet sich zuweilen ein zweites Paar mit einem Zuschärfungswinkel von 133° , gegen die Endfläche unter $156^\circ 30'$ geneigt.

Die Krystalle sind sehr klein, strahlig zusammengelagert, ziemlich glänzend, auf den Prismenflächen jedoch stark vertical gestreift, so dass sie sich nicht genau messen lassen.

2) Mit 4 At. Wasser. $Mg \bar{C} + 4 aq.$ *Marignac.*

Zwei- und eingliedrig. $a : b : c = 1,6366 : 1 : 0,9654$
 $o = 78^\circ 27'.$ *Marignac.*

Combinationen eines zwei- und eingliedrigen Oktaeders o o' mit dem ersten und zweiten zugehörigen Paar p und q, den Hexaidflächen a und c, von denen jene die scharfen Kanten von p abstumpft. Ausserdem die hinteren schiefen Endflächen r' und r', sowie in der Horizontalzone, nach welcher die Krystalle prismatisch sind, das zweifach stumpfere Paar p². Seltener ist ein hinteres Augitpaar o'_{1/2}, mit o' und r', und mit p und q in eine Zone fallend, deren Kante es abstumpft.



$o = a : b : c$	$p = a : b : \infty c$	$a = a : \infty b : \infty c$
$o' = a' : b : c$	$p^2 = a : 2b : \infty c$	$c = c : \infty a : \infty b$
$o'_{1/2} = a' : \frac{1}{2}b : c$	$q = b : c : \infty a$	
	$r' = a' : c : \infty b$	
	$^2r' = a' : 2c : \infty b$	

	Berechnet.	Beobachtet.
o, o'	$\left. \begin{array}{l} A = 96^\circ 14' \\ B = 106 10. \\ C = 134 35 \\ D = 96 14 \end{array} \right\}$	$\begin{array}{l} 96^\circ 12' \\ 106 18 \\ 133 47 \end{array}$
$p : p \text{ an } a$	$=$	$*63 54$
	$- b = 116 6$	
$p : a$	$= 121 57$	$121 57$
$p : c$	$=$	$*96 5$
$p^2 : p^2 \text{ an } a$	$= 102 34$	
	$- b = 77 26$	
$p^2 : a$	$= 141 17$	$141 15$
$p^2 : p$	$= 160 40$	
$q : q \text{ an } c$	$= 93 12$	
	$- b = 86 48$	
$q : c$	$= 136 36$	$136 42$
$q : a$	$= 98 22$	$98 25$
$a : c$	$= 101 33$	$101 40$
$a : r'$	$= 111 41$	
$a : ^2r'$	$= 135 0$	
$c : r'$	$= 146 46$	$146 50$
$c : ^2r'$	$= 123 27$	$123 40$
$r' : ^2r'$	$= 156 41$	
$o : a$	$= 119 42$	$120 9$
$o : c$	$=$	$*135 15$
$o : p$	$= 140 50$	
$o : q$	$= 158 40$	
$o' : a$	$= 105 43$	$105 40$
$o' : c$	$= 128 31$	$128 37$
$o' : p$	$= 135 24$	
$o' : q$	$= 155 55$	
$o' : r'$	$= 138 7$	$138 6$
$o'_{1/2} : o'_{1/2}$	$= 58 16$	
$o'_{1/2} : a$	$= 100 22$	
$o'_{1/2} : c$	$= 114 2$	$113 40$
$o'_{1/2} : r'$	$= 119 8$	$119 12$
$o'_{1/2} : o'$	$= 161 1$	

Die Krystalle sind stark glänzend, verwittern jedoch an der Luft.

Oxalsaure Salze.

Oxalsaures Kali.

Zweifach.

a) Mit 1 At. Wasser. $K_2C_2O_4 + aq.$ ¹⁾ (S. 159.)

Die gezwungene Deutung der zweigliedrigen Form dieses Salzes, welche sich aus meinen Messungen zu ergeben schien, wird durch die Beobachtung von *Marignac* beseitigt, wonach die Krystalle zwei- und eingliedrig sind.

Zwei- und eingliedrig. $a : b : c = 0,3360 : 1 : 0,8011$
 $\alpha = 46^\circ 31'$. *Marignac*.

71

Rhombische Prismen p , mit Abstumpfung der stumpfen Seitenkanten a und der scharfen b , letztere vorherrschend. Eine basische Endfläche c , und in ihrer Diagonalzone die zweiten Paare q und q^2 . Eine hintere schiefe Endfläche $r'_{\frac{1}{2}}$. Ein hinteres Augitpaar o' , die scharfen Kanten p c abstumpfend, sowie ein anderes $o'_{\frac{1}{2}}$, welches mit beiden o' und b in eine Zone fällt, zugleich aber auch mit einem p und q verschiedener Seiten (auch mit q^2 und a , sowie ferner mit dem anderen q^2 und $r'_{\frac{1}{2}}$). Fig. 71.



$$\begin{array}{llll} o' & = a' : b : c (o^2)^2 & p & = a : b : \infty c (q^2) & a & = a : \infty b : \infty c (b) \\ o'_{\frac{1}{2}} & = a' : \frac{1}{2}b : c (o) & q & = b : c : \infty a (o^2) & b & = b : \infty a : \infty c (c) \\ & & q^2 & = b : 2c : \infty a (o) & c & = c : \infty a : \infty b (p) \\ & & r'_{\frac{1}{2}} & = a' : \frac{1}{2}c : \infty b & & \end{array}$$

An dem Hauptoktaeder ist:

$$\begin{array}{ll} A = 145^\circ 2' & C = 100^\circ 27' \\ B = 159^\circ 8' & D = 105^\circ 17' \end{array}$$

	Berechnet.	Beobachtet.
$p : p$	$a n a =$	$* 152^\circ 36'$
	$- b = 27^\circ 24'$	
$p : a$	$= 166^\circ 18'$	
$p : b$	$= 103^\circ 42'$	
$p : c$	$= 131^\circ 57'$	$131^\circ 54'$

1) Neuerlich hat *Marignac* gefunden, dass dies Salz nur 1 At. Wasser enthält, während ich auf 2 At. Salz 3 At. Wasser angenommen hatte. Jenes macht 36,76 p. C., letzteres 35,54 p. C. Kali aus; *Marignac* fand 36,35 und ich 35,66 p. C. desselben.

2) Die eingeklammerten Buchstaben sind die der Fig. 188 - 190 im Hdbch.

	Berechnet.	Beobachtet.
q : q an c	= 119° 40	119° 36'
- b	= 60 20	
q : c	= 149 50	
q : b	= 120 10	120 16
q : a	= 126 30	
q ² : q ² an c	=	*81 24
- b	= 98 36	
q ² : c	= 130 42	
q ² : b	= 139 18	139 17
q ² : a	= 116 40	116 50
q : q ²	= 160 52	
a : c	=	*133 29
a : r' _{1/2}	= 124 47	
c : r' _{1/2}	= 101 44	102 15
o' : a	= 151 16	151 17
o' : b	= 107 29	107 26
o' : c	= 109 20	109 ungef.
o' : p	= 118 43	
o' : q	= 82 14	
o' ^{1/2} : o' ^{1/2}	= 115 34	
o' ^{1/2} : a	= 141 4	141 10
o' ^{1/2} : b	= 122 13	122 15
o' ^{1/2} : c	= 107 5	106 55
o' ^{1/2} : o'	= 165 16	165 11

Spaltbar sehr vollkommen nach a, weniger nach b.

Vierfach. $K\bar{C}' + 7aq'$)

Eingliedrig. a : b : c = 0,6001 : 1 : 0,6649. R.

A = 84° 20'	$\alpha = 86° 33'$
B = 101 10	$\beta = 100 14$
C = 77 46	$\gamma = 78 37$

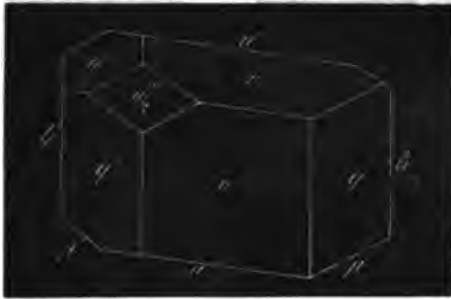
Das eingliedrige Hexaid wird durch die Flächen a, b, c gebildet (welche die Lage der Axen bezeichnen). Die Flächen p p', q q' und r' sind Dodekaidflächen; o''' ist die linke hintere Oktaidfläche, für welche jene zugehörig sind, o''₂ ist eine stumpfere, die mit o''', p, c und mit p', q', r' in eine Zone fällt. Fig. 72—76.

De la Provostaye beobachtete ausserdem noch zwei Flächen des Hauptoktaeders, nämlich o' und o'', sowie o'₂, gleichfalls links hinten liegend, ferner das zweite Paar q₂ und q'₂, und eine Fläche der Ho-

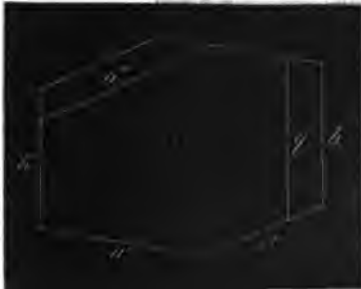
1) Wiederholte Beobachtungen an den Krystallen dieses Salzes haben zur folgenden verbesserten Stellung und Berechnung derselben geführt.

horizontalzone h' . Fig. 77. 78. Eine Projection sämmtlicher Flächen
 giebt Fig. 79.

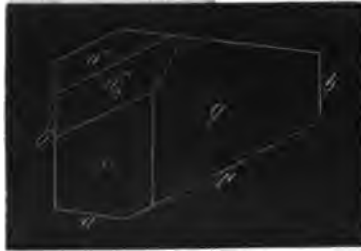
72



73



74



75



76



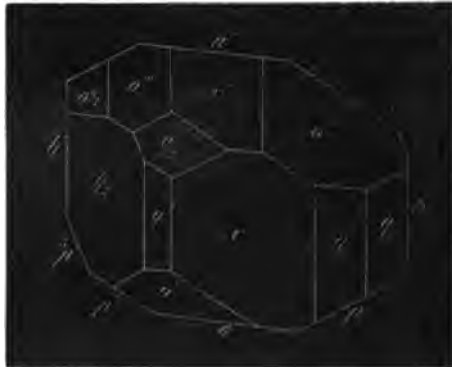
77



78



79



o'	$= a : b' : c$	p	$= a : b : \infty c$	a	$= a : \infty b : \infty c$
o''	$= a' : b : c$	p'	$= a : b' : \infty c$	b	$= b : \infty a : \infty c$
o'''	$= a' : b' : c$	$^3p'$	$= 3a : b' : \infty c$	c	$= c : \infty a : \infty b$
$o'''/_2$	$= a' : b' : \frac{1}{2}c$	q	$= b : c : \infty a$		
$o^{1/2}$	$= a' : \frac{1}{2}b' : c$	q'	$= b' : c : \infty a$		
		q_2	$= b : 2c : \infty a$		
		q'_2	$= b' : 2c : \infty a$		
		r'	$= a' : c : \infty b$		

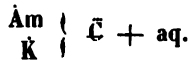
Ergänzt man $o = a : b : c$, so ist an dem vollständigen eingliederigen Hauptoktaeder die Neigung der Flächen in den Kanten

ac	oder $o : o' = 136^\circ 28'$
$a'c$	„ $o'' : o''' = 127 41$
bc	„ $o : o'' = 86 24$
$b'c$	„ $o' : o''' = 100 55$
ab	„ $o : o''' = 101 36$
ab'	„ $o' : o'' = 108 24$

Berechnet.		Beobachtet.	
		<i>R.</i>	<i>De la Prev.</i>
a : b' —		*102° 14'	102° 7'
a : b —	77° 46'	77 43	
a : p —	146 32	146 25	146 33
a : p' —	152 48		152 48
a : ² p' —	128 25		
b : p —		*111 14	111 20
b' : p' —	129 26		
b' : ² p' —	153 49		
p : p' —	119 20		
p' : ² p' —	155 37		
b' : c —		*95 40	
b : q —	119 45	119 50	119 25
b' : q' —	127 37	127 31	127 55
c : q —		*144 35	144 30
c : q' —	148 4	148 8	148 10
q : q' —	112 38	112 40	
b : q ₂ —	141 10		
b' : q' ₂ —	145 14	145 20	145 20
c : q ₂ —	123 10		123 0
c : q' ₂ —	130 25	130 0	
q ₂ : q' ₂ —	73 36.		
q : q ₂ —	158 35		158 30
q' : q' ₂ —	162 23	162 0	162 35
a : c —		*101 10	
a' : r' —	133 37	133 35	
c : r' —	125 13	125 16	
b' : r' —	95 56	96 25	
p : c —	97 24	97 14	97 30
p' : c —	101 30		
² p' : c —	99 35		
q : a —	92 37		
q' : a —	105 28		
q ₂ : a —	93 13		
q' ₂ : a —	105 52		
o' : a —	135 51		
o' : b' —	101 34		101 40
o' : c —	134 30		
o' : p' —	147 0		
o' : q' —	118 41		
o'' : a' —	133 12		
o'' : b —	120 57		
o'' : c —	117 6		
o'' : p' —	141 24		
o'' : q —	134 11		
o'' : r' —	143 7		

Berechnet.	Beobachtet.	
	R.	De la Prov.
$o''' : a' = 123^\circ 14'$		
$o''' : b' = 111 22$	111° 1'	111° 50'
$o''' : c = 125 50$		125 24
$o''' : p = 136 46$	136 45	136 40
$o''' : q' = 131 18$		131 26
$o''' : r' = 164 34$		
$o'''_{1/2} : a' = 105 55$		
$o'''_{1/2} : b' = 106 38$		107 0
$o'''_{1/2} : c = 147 36$	147 34	147 30
$o'''_{1/2} : p = 115 0$	115 6	
$o'''_{1/2} : o''' = 158 14$		158 15
$o^{1/2} : a' = 111 15$		
$o^{1/2} : b' = 131 33$		132 0
$o^{1/2} : c = 120 28$		
$o^{1/2} : r' = 144 23$		
$o^{1/2} : o''' = 159 49$		159 50
$o^{1/2} : q'_2 = 142 53$		142 57

Oxalsaures Kali - Ammoniak.



Von der Form des einfach oxalsauren Ammoniaks.

Schabus beobachtete ausser den früher bekannten Flächen noch 2p und 3p in der Horizontalzone; sowie ein zweites Paar q'_2 .

$${}^2p = 2a : b : \infty c \quad q'_2 = 2b : c : \infty a$$

$${}^3p = 3a : b : \infty c$$

	Berechnet.	Beobachtet.
$p : p \text{ an } b = 75^\circ 54'$		76° 16'
${}^2p : {}^2p \text{ an } a = 65 20$		
$- b = 114 40$		
${}^2p : a = 122 40$		
${}^2p : b = 147 20$		
${}^2p : p = 160 37$		160 50
${}^3p : {}^3p \text{ an } a = 46 16$		
$- b = 133 44$		
${}^3p : a = 113 8$		
${}^3p : b = 156 52$		
${}^3p : p = 151 5$		
${}^3p : {}^2p = 170 28$		170 20
$q : q \text{ an } c = 107 0$		107 40
$q'_2 : q'_2 \text{ an } c = 139 24$		140 2
$- b = 40 36$		
$q'_2 : c = 159 42$		

Berechnet.

$$q_2 : b = 110^\circ 18'$$

$$q_2 : q = 163 \ 48$$

Die Flächen q und q_2 sind von *Schabus* an sehr kleinen Krystallen beobachtet, jedoch nach seiner Angabe als dritte Paare. Indessen scheint hier eine Verwechslung stattgefunden zu haben, da die Fläche $r = a : c : \infty b$ unter $46^\circ 30'$ gegen die Hauptaxe geneigt sein würde, mithin $r : r = 93^\circ$ und 87° .

Wahrscheinlich sind diese Krystalle wesentlich oxalsaures Ammoniak. ¹⁾

Oxalsaurer Kalk. (S. 163.)

Nach *E. Schmid* enthalten die in Pflanzen vorkommenden viergliederigen Krystalle drei At. Wasser, die aus der Auflösung von oxalsaurem Kalk in Chlorwasserstoffsäure oder Salpetersäure sich abscheidenden dagegen nur ein At. Wasser, und haben die Form des *Whewellit*s oder des natürlichen oxalsauren Kalks.

E. Schmid: Ann. d. Chem. u. Pharm. 97, 225.

Borsaure Salze.

Borsaures Kali.

1. Einfach. K.B. ²⁾

Zwei- und eingliedrig. $a : b : c = 2,7439 : 1 : 2,6759$
 $\alpha = 86^\circ 8'$. *Schabus*.

80



Combination eines zwei- und eingliederigen Oktaeders oder des vorderen Augitpaars o und des hinteren o' mit den Hexaidflächen a und c und der hinteren schiefen Endfläche r' . Durch Ausdehnung von a erscheinen die Krystalle tafelartig. Fig. 80.

1) S. meine Versuche in Pogg. Ann. Bd. 93. S. 30.

2) Durch Zusammenschmelzen gleicher Atg. Borsaure und kohlensauren Kalis und Verdampfen der Auflösung im Vacuo Eine Analyse ist nicht angegeben.

$$o = a : b : c \quad r' = a' : c : \infty b \quad a = a : \infty b : \infty c$$

$$o' = a' : b : c \quad c = c : \infty a : \infty b$$

An dem Oktaeder ist

A = 53° 36'	C 142° 12'
B = 56 46	D 141 16
Berechnet.	Beobachtet.
a : c =	*93° 52'
a : r' = 132° 18'	132 25
c : r' =	*133 50
o : a = 110 7	
o : c = 110 32	
o' : a = 107 41	
o' : c =	*108 12
o' : r' = 116 48	117 0

Die Flächen sind glänzend, aber selten eben, die Messungen daher nicht ganz genau.

Zuweilen sind die Krystalle prismatisch durch Ausdehnung von c und vier in einer Zone liegenden Oktaederflächen.

Schabus: S. 92.

2. Fünffach. $K\bar{B}^5 + 8 \text{ aq. } R.$ ¹⁾

Zweigliedrig. $a : b : c = 0,9707 : 1 : 0,8054. R.$

Rhombenoktaeder o, mit Abstumpfung der Seitenecken durch die Hexaidflächen a und b. Fig. 81. Fast immer in der Richtung der schärferen Endkanten prismatisch verlängert, so dass vier Flächen von o mit heiden a ein sechsseitiges Prisma bilden, an welchem die beiden anderen o und b als dreiflächige Zuspitzung erscheinen. Fig. 82.

81



82



1) Aus einer mit Borsäure heiss gesättigten Kaliauffösung.

$$o = a : b : c \quad a = a : \infty b : \infty c$$

$$b = b : \infty a : \infty c$$

	Berechnet.	Beobachtet.
o	2 A =	*116° 24'
	2 B =	*114 16
	2 C = 98° 18'	
	o : a = 122 52	
	o : b = 121 48	121 30

Die Krystalle sind in der Richtung des herrschenden Prismas aufgewachsen. Die drei obren Flächen sind gekrümmt, die unteren, so weit sie sichtbar sind, eben und glatt.

Rammelsberg: Pogg. Ann. 95. 199.

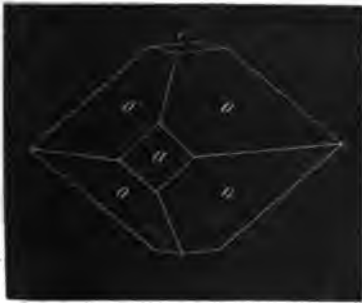
Borsaures Ammoniak.

Fünffach. $\text{Am } \bar{B}^5 + 8 \text{ aq. } R. ^1)$

Zweigliedrig. $a : b : c = 0,9827 : 1 : 0,8101. R.$

Ein Rhombenoktaeder o, mit Abstumpfung der stumpferen Seiten-ecken und der Endecken durch die Hexaidflächen a und c. Fig. 83. Durch Ausdehnung von vier in einer Zone liegenden o und den beiden a entstehen prismatische Formen. Fig. 84. Schabus beobachtete ausserdem das zweite zugehörige Paar q.

83



84



$$o = a : b : c \quad q = b : c : \infty a \quad a = a : \infty b : \infty c$$

$$c = c : \infty a : \infty b$$

	Berechnet.	R.	Beobachtet.
o	2 A =	*116° 0'	115° 58'
	2 B = 114° 44'	114 39	114 33
	2 C = 98 15		98 28
			Schabus.

1) Dies ist die Zusammensetzung des im Handbuch S. 170 beschriebenen Salzes, dessen Form hier berichtigt ist.

	Berechnet.	Beobachtet.	
		R.	Schabus.
$\rho : o$ über $c =$		$*81^{\circ} 45'$	
$o : a =$	$122^{\circ} 38'$	$122 \quad 24$	$122^{\circ} 1'$
$o : c =$	$130 \quad 52$	$131 \quad 0$	$130 \quad 46$
$q : q$ an $c =$	$101 \quad 58$		$100 \quad 44$
- $b =$	$78 \quad 2$		$79 \quad 16$
$q : c =$	$140 \quad 59$		

Stets Zwillinge. Zwillingsebene ist das zweite Paar q ; die Zwillingensaxe steht senkrecht darauf. Beide Individuen sind aneinandergewachsen, und fallen die a von beiden in eine Ebene. Projection Fig. 85. Gewöhnlich dehnen sich die beiden oberen o und o aus und verdrängen die beiden unteren. Fig. 86 zeigt die Projection des Zwillinges, so weit er in der Regel frei ist. Die Axen b bilden einen Winkel von $101^{\circ} 58'$, und die Neigung von $q : q$ würde $= 156^{\circ} 4'$ sein.

85



86



Das Salz ist isomorph mit dem entsprechenden Kalisalz.

Rammelsberg: Pogg. Ann. 95, 199.
Schabus: S. 31.

Borsaures Natron.

Zweifach. Mit 10 At. Wasser.
(Borax). S. 171.

De Sénarmont fand:

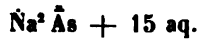
$p : p$ an	$=$	$87^{\circ} 0'$
$p : a$	$=$	$133 \quad 30$
$p : b$	$=$	$136 \quad 30$

$$\begin{aligned} a : c &= 106^\circ 25' \\ o' : c &= 139 30. \end{aligned}$$

Privatmittheilung.

Arseniksaure Salze.

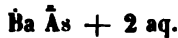
Arseniksaures Natron.



Ist isomorph mit



Arseniksaurer Baryt.



Zwei- und eingliedrig. $a : b : c = 1,159 : 1 : 0,625$
 $o = 71^\circ 26'$. *Schabus.*

Combinationen eines ersten und zweiten Paars p und q und der Hexaidfläche b. Durch Vorherrschen der letzteren sind die Krystalle tafelartig, rhombische Tafeln mit zugeschärften Rändern.

$$\begin{aligned} p &= a : b : \infty c & b &= b : \infty a : \infty c \\ q &= b : c : \infty a \end{aligned}$$

	Berechnet.	Beobachtet.
p : p an a	=	*84° 36'
- b	= 95° 24'	
p : b	= 132 18	
q : q an c	= 116 0	
- b	= 64 0	
q : b	=	*122 0
p : q	=	*125 0

Zwillinge. Zwillingsenebene ist die Hexaidfläche a; die Zwillingsaxe steht senkrecht darauf.

Die Krystalle sind zu genauen Messungen nicht geeignet, sie sind in der Regel nur Segmente, an denen b stark gewölbt ist.

Schabus: S. 112.

Chromsaure Salze.

Chromsaurer Kali.

a) Einfach. (S. 184.)

Aus einer kohleensaures Natron enthaltenden Auflösung krystallisiert nach *Sénarmont* das Salz zuweilen in sechseckigen optisch einaxigen Tafeln.

Privatmittheilung.

b) Zweifach. $\bar{K}\bar{C}r^2$. (S. 185.)

Die Berechnung (Handbuch, S. 185) ist folgendermassen zu berichtigen:

Eingliedrig.

$$\begin{array}{ll} A = 81^\circ 51' & \alpha = 82^\circ 0' \\ B = 91 \cdot 45 & \beta = 90 \ 51,5 \\ C = 83 \ 36 & \gamma = 83 \ 47 \end{array}$$

Werden die beobachteten Oktaidflächen o und o'' durch $o' = a : b' : c$ und $o''' = a' : b' : c$ ergänzt, so sind an dem vollständigen eingliedrigen Hauptoktaeder die Winkel in den Kanten

$$\begin{array}{ll} ac \text{ oder } o : o' & = 137^\circ 56' \\ a'c \text{ ,, } o'' : o''' & = 136 \ 17 \\ bc \text{ ,, } o : o'' & = 94 \ 54 \\ b'c \text{ ,, } o' : o''' & = 101 \ 47 \\ ab \text{ ,, } o : o''' & = 94 \ 8 \\ ab' \text{ ,, } o' : o'' & = 99 \ 35 \end{array}$$

	Berechnet.	Beobachtet.
a : b	= 83° 36'	
a : b'	= 96 24	
a : p	= 149 11	149° 11'
a : p'	=	* 152 14
b : p	= 114 26	114 25
b' : p'	=	* 124 10
p : p'	= 121 24	
¹ p' : a	= 115 10	
² p' : b'	= 161 15	161 6
p' : ³ p'	= 142 55	
b : c	= 81 51	81 51
b' : c	=	* 98 9
b : q	=	* 112 37,5
b' : q'	= 125 6	125 6
c : q	= 149 13,5	149 14
c : q'	= 153 2	153 3
q : q'	= 122 17	
b' : q' ₃	= 141 37	141 35
c : q' ₂	= 136 31	
q' : q' ₂	= 163 29	
b : q ^{3/2}	= 141 29	141 20
c : q ^{5/2}	= 120 22	
q : q ^{3/2}	= 151 8,5	
b : q ¹	= 154 30	154 29
c : q ¹	= 107 22	
q : q ¹	= 138 7,5	
q ^{3/2} : q ¹	= 166 59	
a : c	=	* 91 45

	Berechnet.	Beobachtet.
a : r	= 135° 26'	135° 27'
a' : r'	= 133 40	133 42,5
c : r	= 136 19	136 18
c : r'	= 135 36	134 32,5
r : r'	= 90 54	
p : c	= 92 35	
p' : c	= 95 16	95 17
p' : c	= 97 58	
q : a	= 91 41	91 43
q' : a	= 94 22	
q ^{1/2} : a	= 95 33	
q ^{3/2} : a	= 94 29	
q' : a	= 95 24	
r : b'	= 100 10	100 11
r' : b'	= 91 30	91 20
o : a	= 131 39	
o : b	= 102 11	102 9
o : c	= 131 33	
o : p	= 141 2	
o : q	= 136 40	136 41,5
o : r	= 157 39	157 40
o'' : a'	= 133 27	
o'' : b	= 110 43	110 42
o'' : c	= 127 8	127 5
o'' : p'	= 137 36	137 38
o'' : q	= 134 52	
o'' : r'	= 157 47	157 58

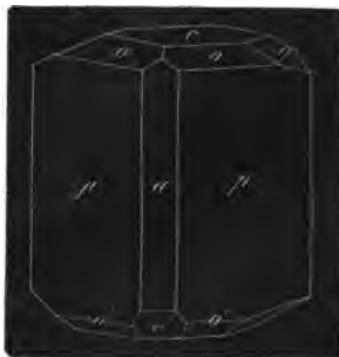
Chromsaures Ammoniak.

Am³Cr⁴ (?).

Zwei- und eingliedrig. a : b : c = 0,7459 : 1 : 0,4955
o = 73° 45'. Schabus.

87

Combinations eines zwei- und eingliedrigen Oktaeders, bestehend aus den beiden Augitpaaren o und o' mit dem ersten und zweiten zugehörigen Paar p und q, der hinteren schiefen Endfläche r' und den drei Hexaidflächen a, b und c. Fig. 87.



$$\begin{array}{lll}
 o = a : b : c & p = a : b : \infty c & a = a : \infty b : \infty c \\
 o' = a' : b : c & q = b : c : \infty a & b = b : \infty a : \infty c \\
 & r' = a' : c : \infty b & c = c : \infty a : \infty b
 \end{array}$$

An dem Hauptoktaeder ist

$$\begin{array}{ll}
 A = 130^\circ 36' & C = 118^\circ 51',5 \\
 B = 141 \quad 5 & D = 78 \quad 12,5
 \end{array}$$

	Berechnet.	Beobachtet.
p : p an a	= 108° 48'	
- b	=	*71° 12'
p : a	= 144 24	144 24
p : b	= 125 36	
p : c	=	*103 9
q : q an c	= 129 6	
- b	= 50 54	
q : c	= 154 33	
q : b	= 115 27	
q : a	= 104 38	
a : c	= 106 15	106 8
a : r'	= 111 50	
c : r'	= 141 55	
o : a	= 131 23	
o : b	= 109 27	
o : c	= 146 8	146 10
o : p	= 151 46	
o : q	= 153 15	
o' : a	= 109 45	
o' : b	= 114 42	
o' : c	=	*135 39
o' : p	= 121 12	
o' : q	= 145 37	
o' : r'	= 155 18	

Die Krystalle sind durch Vorherrschen von p prismatisch.
Sie sind gelb, durchsichtig und glattflächig.

Schabus: S 110.

Chromsaures Silberoxyd.

Zweifach. Ag Cr_2 .

Eingliedrig. a : b : c = 1,5330 : 1 : 1,0545. Schabus.

$$\begin{array}{ll}
 A = 101^\circ 39',5 & \alpha = 91^\circ 35' \\
 B = 122 \quad 49 & \beta = 120 \quad 56 \\
 C = 109 \quad 25,5 & \gamma = 105 \quad 43
 \end{array}$$

Ein eingliedriges Oktaeder, aus den Einzelflächen o, o', o'', o''' bestehend, mit dem Hexaid a, b, c und den zugehörigen Dodekaidflächen p', q', r'. Fig. 88. 89.

88



89



$$\begin{array}{lll}
 o = a : b : c & p' = a : b' : \infty c & a = a : \infty b : \infty c \\
 o' = a : b' : c & q' = b' : c : \infty a & b = b : \infty a : \infty c \\
 o'' = a' : b : c & r' = a' : c : \infty b & c = c : \infty a : \infty b \\
 o''' = a' : b' : c & &
 \end{array}$$

An dem Oktaeder sind die Winkel in den Kanten

$$\begin{array}{ll}
 ac \text{ oder } o : o' = 117^\circ 15' \\
 a'c \text{ ,, } o'' : o''' = 84 \quad 42 \\
 bc \text{ ,, } c : o'' = 134 \quad 44 \\
 b'c \text{ ,, } o' : o''' = 120 \quad 0 \\
 ab \text{ ,, } o : o''' = 108 \quad 54 \\
 ab' \text{ ,, } o' : o'' = 88 \quad 23
 \end{array}$$

Berechnet.

Beobachtet.

	Sch.	Teschemacher.
a : b =	*109° 25',5	110° 5'
a : p' =	*114 23,5	
b' : p' = 136° 11'		
b : c =	*101 39,5	101 5
b' : q' = 126 59		
c : q' = 131 22		
a : c =	*122 49	123 0
a' : r' = 101 29		
c : r' =	*135 36	
p' : c = 101 42		
q' : a = 100 48		

	Berechnet.	Beobachtet.
$r' : b$	$= 92^\circ 18'$	Sch.
$o : a$	$= 141 44$	$141^\circ 43',5$
$o : b$	$= 133 39$	$133 38,5$
$o : c$	$= 142 6$	
$o' : a$	$= 128 5$	$128 7$
$o' : b'$	$= 109 7$	$108 56$
$o' : c$	$= 141 29$	$141 31$
$o' : p'$	$= 140 13$	
$o' : q'$	$= 152 43$	
$o'' : a'$	$= 83 34$	$83 35$
$o'' : b$	$= 136 32$	
$o'' : c$	$= 130 8$	
$o'' : p'$	$= 128 10$	
$o'' : r'$	$= 135 46$	
$o''' : a'$	$= 111 56$	$111 46$
$o''' : b'$	$= 138 40$	
$o''' : c$	$= 109 0$	
$o''' : q'$	$= 147 16$	
$o''' : r'$	$= 129 2$	

Die Krystalle sind tafelförmig durch Vorherrschen der Flächen a, oder prismatisch, indem sich a, o, o'' ausdehnen.

Sie haben eine schwarzrothe Farbe, geben ein hellrothes Pulver, sind durchscheinend und zeigen glasartigen Diamantglanz.

Schabus: S 185.

Molybdänsäure Salze.

Molybdänsaures Ammoniak. (S. 191.)

1) Einfach. Am Mo. *Maignac.*

Zwei- und eingliedrig. $a : b : c = 2,2967 : 1 : 1,2066$
 $o = 48^\circ 57'$. *Maignac.*

Rhombische Prismen p mit Abstumpfung der scharfen Seitenkanten a, auf welche die basische Endfläche c aufgesetzt ist. Ein hinteres Augitpaar o' als Abstumpfung der scharfen Kanten p c, und eine hintere schiefe Endfläche r'. Die Krystalle sind durch Ausdehnung von c niedrig tafelförmig. Fig. 90.



$$o' = a' : b : c \quad p = a : b : \infty c \quad a = a : \infty b : \infty c$$

$$r' = a' : 2c : \infty b \quad c = c : \infty a : \infty b$$

	Berechnet.	Beobachtet.
p : p an a =		*60° 0'
- b = 120° 0'		
p : a =	120 0	120 0
p : c =		*109 10
a : c =	131 3	131 0
a' : r' =		*117 35
c : r' =	111 22	111 35
p : r' =	103 23	103 0
o' : o' =	80 10	
o' : c =	123 26	123 30

Dieses Salz verwittert rasch an der Luft durch Verlust von Ammoniak.

Aus einer freien Ammoniak enthaltenden Auflösung erhielt ich Krystalle von noch nicht näher untersuchter Zusammensetzung, deren Form folgende ist.

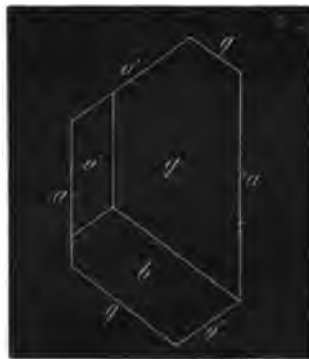
Zwei- und eingliedrig. $a : b : c = 1,084 : 1 : 1,254$
 $\alpha = 71^\circ 52' \quad R.$

Rechtwinklig vierseitige Prismen aus den Hexaidflächen a und b. In der Endigung die basische schiefe Endfläche c, ein zweites Paar q aus ihrer Diagonalzone, und ein hinteres Augitpaar o'. Fig. 91. Meist tafelartig durch Vorherrschen von a. Grössere Krystalle zeigen einen prismatischen Charakter, indem a mit den o' und q der einen Seite sich ausdehnt. Fig. 92.

91



92



$$o' = a' : b : c \quad q = b : c : \infty a \quad a = a : \infty b : \infty c$$

$$b = b : \infty a : \infty c$$

$$c = c : \infty a : \infty b$$

	Berechnet.	Beobachtet.
q : q an c	= 80° 0'	80° 40'
- b	= 100 0	
q : c	=	*130 0
q : b	= 140 0	140
q : a	= 101 30	101 45
a : c	=	*108 8
o' : o'	= 93 44	
o' : a	=	*119 0
o' : b	= 133 8	133
o' : c	= 113 34	113 30
o' : q	= 139 30	

Die Krystalle werden an der Luft durch Verlust von Ammoniak (und Wasser) sehr schnell trübe und matt, daher die Messungen nur approximativ sind.

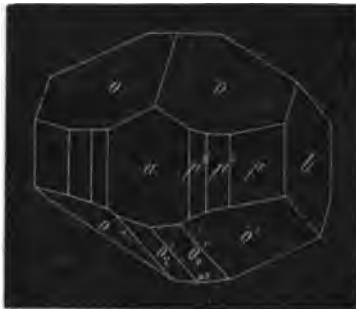
2) Zweifach. $\text{Am Mo}^2 + \text{aq.}$

Zwei- und eingliedrig. $a : b : c = 0,7285 : 1 : 0,5040.$
 $\alpha = 77^\circ 26'.$ *Haidinger.*

Combinationen eines zwei- und eingliedrigen Oktaeders oder der beiden Augitpaare o und o' mit dem ersten Paar oder rhombischen Prisma, und der Hexaflächen a und b. In der Horizontalzone finden sich ausserdem das vierfach- und das sechsfach stumpfere Paar p' und p⁶, und es erscheint ein hinteres Augitpaar o'₂, welches die Kante von o' zuschärft. Fig. 93. 94.

Marignac beobachtete auch das entsprechende vordere Augitpaar o², sowie ein hinteres o'_{2/2}, welches die Kante zwischen o' und o'₂ abstumpft.

93



94



o	= a : b : c	p	= a : b : ∞ c	a	= a : ∞ b : ∞ c
o'	= a' : b : c	p'	= a : 4b : ∞ c	b	= b : ∞ a : ∞ c
o ²	= a : 2b : c	p ⁶	= a : 6b : ∞ c		
o' ₂	= a' : 2b : c				
o' _{2/2}	= a' : 1/2 b : c				

		Berechnet.	Beobachtet.	
			<i>Haidinger.</i>	<i>Marignac.</i>
o, o'	}	A =	*127° 26'	
		B =	*133 18	
		C = 116° 47'		
		D = 80 54		
o ² , o' ₂	}	A = 154 28		150° 24'
		B = 159 6		
		C = 112 40		115 59
		D = 72 14		
Und ferner ist:				
p	:	p an a =	*109 10	
		- b = 70 50		
p	:	a = 144 35		
p	:	b = 125 25		122—123°
p ¹	:	p ¹ an a = 159 50	159 50	
		- b = 20 10		
p ¹	:	a = 169 55		
p ¹	:	b = 100 5		99° 0'
p ¹	:	p = 154 40		
p ⁰	:	p ⁰ an a = 166 30	166 28	
		- b = 13 30		
p ⁰	:	a = 173 15		
p ⁰	:	b = 96 46		91—93°
p ⁰	:	p = 151 21		
p ⁰	:	p ¹ = 176 41		
o	:	a = 129 46		
o	:	b = 113 21		113° 45'
o	:	p = 136 35		137 10
o'	:	a = 113 27		
o'	:	b = 116 17		117—118°
o'	:	p = 124 19		
o ²	:	o ² = 159 6		
o ²	:	a = 132 6		
o ²	:	b = 100 27		102° 0'
o ²	:	o = 167 6		
o' ₂	:	o' ₂ = 154 28	152 16	150 24
o' ₂	:	a = 115 14		
o' ₂	:	b = 102 46		104 48
o' ₂	:	o' = 166 29		
o' _{2/2}	:	o' _{2/2} = 133 6		
o' _{2/2}	:	a = 114 44		
o' _{2/2}	:	b = 113 27		110—112°
o' _{2/2}	:	o' = 177 10		
o' _{2/2}	:	o' ₂ = 169 19		

Die Flächen der Horizontalzone sind stark vertical gestreift; dasselbe gilt von den Augitpaaren, von o jedoch am wenigsten.

Spaltbar sehr vollkommen nach b, sehr wenig nach a.
Glasglanz, auf b Perlmutterglanz. Von doppelter Strahlenbrechung.

Haidinger: Edinb. J. of Sc. 1. 100.

Wolframsaure Salze.

Wolframsaures Ammoniak. (S. 193.)



Zweigliedrig. a : b : c = 0,7995 : 1 : 0,4582. *Schabus*.

Combinationsen eines Rhombenoktaeders o mit Abstumpfung der Seitenecken durch die Hexaidflächen a und b, und der rhombischen Prismen p³, p⁷ und p¹⁶ der Horizontalzone.

$$\begin{array}{l} o = a : b : c \quad p^3 = a : 3b : \infty c \quad a = a : \infty b : \infty c \\ \quad \quad \quad \quad p^7 = a : 7b : \infty c \quad b = b : \infty a : \infty c \\ \quad \quad \quad \quad p^{16} = a : 16b : \infty c \end{array}$$

	Berechnet.	Beobachtet.
o	$\left. \begin{array}{l} 2 A = \\ 2 B = \\ 2 C = 72^\circ 32' \end{array} \right\}$	$\begin{array}{l} *136^\circ 38' \\ *124 58 \end{array}$
p ³ : p ³	$\begin{array}{l} \text{an a} = 150 10 \\ - b = 29 50 \end{array}$	
p ³ : a	= 165 5	
p ³ : b	= 104 55	104 50
p ⁷ : p ⁷	$\begin{array}{l} \text{an a} = 166 58 \\ - b = 13 2 \end{array}$	
p ⁷ : a	= 173 29	
p ⁷ : b	= 96 31	96 40
p ⁷ : p ³	= 171 36	
p ¹⁶ : p ¹⁶	$\begin{array}{l} \text{an a} = 174 16 \\ - b = 5 44 \end{array}$	
p ¹⁶ : a	= 177 8	
p ¹⁶ : b	= 92 52	93 0
p ¹⁶ : p ³	= 167 57	
p ¹⁶ : p ⁷	= 176 21	
o : a	= 117 31	
o : b	= 111 41	

Die Krystalle sind immer sehr dünne feine Nadeln, an denen b häufig gekrümmt, und die Horizontalzone gestreift ist.

Schabus: S. 38.

1) Nach der Analyse von *Lotz*. Früher allgemein für $\text{ \AA m } \bar{W}^2 + \text{ aq. } \text{ gehalten.}$

Mangan- und übermangansaures Kali.

(Ein Doppelsalz von unbekannter Zusammensetzung.)

Zwei- und eingliedrig. $a : b : c = 1,7176 : 1 : 1,3571$.

$\alpha = 65^\circ 21'$. *Sénarmont.*

Combinations eines rhombischen Prismas p und der basischen schiefen Endfläche c , durch deren Ausdehnung die Krystalle tafelfartig erscheinen. Eine vordere schiefe Endfläche r , so wie drei hintere Endflächen, nämlich r' , deren zweifach stumpfere r'' und zweifach schärfere r''' , und zwei hintere Augitpaare, die scharfe Kante p c abstumpfend, o' aus der Diagonalzone von r' , und o'_2 und der von r'' .
Fig. 95.

95



$$\begin{array}{llll}
 o' = a' : b : c & p = a : b : \infty c & c = c : \infty a : \infty b \\
 o'_2 = a' : b : \frac{1}{2}c & r' = a' : c : \infty b & & \\
 & r'' = a : 2c : \infty b & & \\
 & r''' = a' : 2c : \infty b & & \\
 & r''_2 = a' : \frac{1}{2}c : \infty b & &
 \end{array}$$

An dem Hauptoktaeder, aus o' und einem entsprechenden vorderen Augitpaar $a : b : c$ bestehend, ist:

$$\begin{array}{ll}
 A = 77^\circ 4' & C = 128^\circ 5' \\
 B = 101 32 & D = 111 54
 \end{array}$$

	Berechnet.	Beobachtet.
$p : p \text{ an } a$	=	*65° 17'
$- b$	= 114° 43'	
$p : c$	=	*103 0
$c : r'$	=	*133 2
$c : r''$	= 139 7	139 15
$c : r'''$	= 103 22	103 45
$r' : r''$ über c	= 62 29	
$c : r''_2$	= 153 58	153 51
$r' : r''_2$	= 150 20	
$r' : r''_2$	= 159 4	
$o' : o'_2$	= 77 4	
$o' : c$	= 115 9	115 8
$o' : p$	= 141 51	
$o' : r'$	= 128 32	
$o'_2 : o''_2$	= 110 6	

	Berechnet.	Beobachtet.
$\sigma'/_2 : c$	= 138° 27'	139° 45'
$\sigma'/_2 : p$	= 118 33	
$\sigma'/_2 : \sigma'/_2$	= 156 42	

rivatmittheilung.

Schwefelsalze.

Natriumsulfantimoniat. (S. 201.)

Die Natur der dreiflächigen (nicht sechsfächigen) Zuspitzung ist noch nicht ganz sicher, da sie sehr untergeordnet auftritt, und die Krystalle an der Luft schnell matt werden. Indessen fand ich die Neigung des Granatoeders zu einer dieser Flächen = $161\frac{1}{2}^\circ$, und die von zweien über $d = 142^\circ - 143^\circ$, wonach es allerdings das Pyritoeder $a : 2a : \infty a$ sein könnte, für welches jene Grössen = $161^\circ 34'$ und $143^\circ 8'$ sein müssen. Die Neigung der Granatoeder- und Tetraederfläche ergab sich = $144^\circ 30'$ (berechnet = $144^\circ 44'$), die der Granatoederflächen unter sich = 120° .

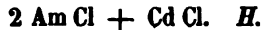
VI. Doppelsalze.

Haloidsalze.

Kalium - Kadmiumchlorid.



Ammonium - Kadmiumchlorid.



Regulär. *R.*

Granatoeder. Immer nach einer rhomboedriscen Axe verkürzt, wodurch die Krystalle theils sechsgliedrig, wie die Combinationen eines Rhomboeders mit dem zweiten Prisma, theils zwei- und eingliedrig aussehen, d. h. einem rhombischen Prisma mit Abstumpfung der scharfen Seitenkanten, einer schiefen Endfläche und einem hinteren Augitpaar gleichen. ¹⁾

1) Nach einer Mittheilung *Haidingers* sind die Krystalle in der That sechsgliedrig.

	Berechnet.	Beobachtet.
$o : p$	$= 134 \ 54$	$134 \ 45$
$o' : a$	$= 108 \ 29$	
$o' : b$	$= 115 \ 39$	
$o' : c$	$=$	$* 137 \ 44$
$o' : p$	$= 121 \ 16$	$121 \ 20$

Die Flächen sind wenig glänzend, c ist häufig gewölbt.

Die Neigung von c zu dem linken p fand sich mehrfach bis 104° ; ebenso b : c zuweilen $= 92-93^\circ$. Es bleibt zu untersuchen, ob diese Differenzen von der Unvollkommenheit der Flächen herrühren, oder ob das System diklinoedrisch oder eingliedrig ist.

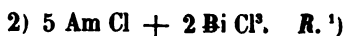
Ammonium - Wismuthchlorid. (S. 214.)



Zweigliedrig.

Neuere Messungen gaben mir:

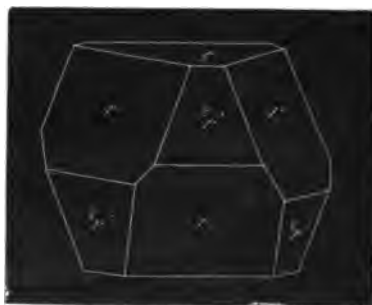
für o	$2 \text{ A} = 115^\circ \ 38'$
	$2 \text{ B} = 76 \ 30$
	$2 \text{ C} = 145 \ 0$
	$o : c = 107 \ 20$
	$q : q = 122 \ 0$



Sechsgliedrig — rhomboedrisch. $a : c = 0,5069 : 1$
 $= 1 : 1,9728. \text{ R.}$

Combinationen eines Rhomboeders r, des ersten schärferen r' und der Endfläche c. Letztere herrscht oft vor, so dass die Krystalle dünn, tafelförmig werden. Fig. 98.

98



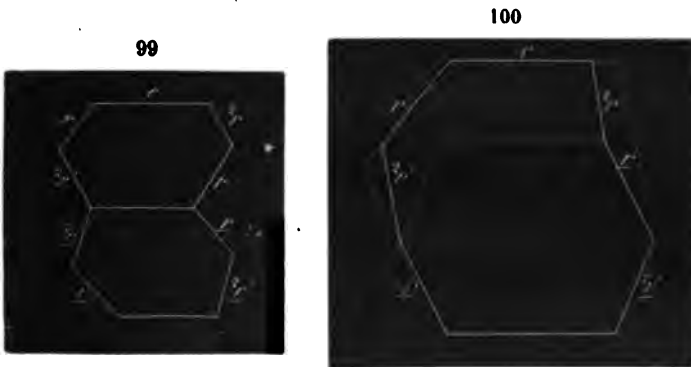
$$r = a : a : \infty a : c \quad c = c : \infty a : \infty a : \infty a$$

$$r' = a' : a' : \infty a : 2c$$

1) Aus der Mutterlauge des vorigen erhalten.

	Berechnet.	Beobachtet.
r	2 A = 75° 4'	
	α = 41 17	
	γ = 23 42	
r'	2 A = 64 28	64° 18'
	α = 23 42	
	γ = 12 22	
r : c	= 113 42	113 32
r' : c	=	*102 22
r : r'	= 122 14	122 18 in den Endk.
	= 143 56	144 0 in den Seitk.
	= 36 4	35 55 über c.

Die Krystalle scheinen stets Zwillinge zu sein, wiewohl das zweite Individuum oft nur ein dünnes Blättchen bildet. Zwillingsene ist c nach dem gewöhnlichen Gesetz des Systems. Der Hauptschnitt des Zwillinges ist Fig. 99. Auf der einen Seite bilden beide r, auf der anderen beide r' einspringende Winkel. Allein meist sind beide Individuen gleichsam nur zur Hälfte vorhanden. Fig. 100. Alsdann liegen auf der einen Seite r, r' und r, auf der anderen r', r und r' untereinander. Ja die Flächen r und r und r' und r' wachsen über die Mittelfläche fort (durch die punktirten Linien angedeutet). In diesem Fall sind die Winkel



	Berechnet.	Beobachtet.
r : r	= 132° 36'	132° 12'
r' : r'	= 155 16	155 15.

Natrium - Goldchlorid.



Zweigliedrig. a : b : c = 0,7002 : 1 : 0,5460. *Marignac.*

Rhombenoktaeder o mit dem ersten Paar p, dem zweifach schärferen q² des zweiten und der Hexaidfläche b. Letztere ist ausgedehnt,

		Berechnet.	Beobachtet.
r'	}	2 A = 78° 18'	78° 23'
		α = 44 50	
		γ = 26 26	
		r : c =	*134 50
		r' : c = 116 26	116 30
		r : r' = 129 9	129 12

Dieses Salz bildet grosse schwarze, mit braunrother Farbe durchscheinende Krystalle.

Nitroprussidnatrium. (S. 226.)

Sénarmont fand an diesem Salze das zweifach schärfere r^2 des dritten Paars.

$$r^2 = a : 2c : \infty b$$

		Berechnet.	Beobachtet.
p : p	an a =		105° 20'
q : q	- c =		135 40
r : r	- c =		123 50
r^2 : r^2	- c =	85° 50	86 15
	- a =	94 10	
r^2 : a	=	137 5	
r^2 : r	=	161 5	
o'_2 (2 C)	=		108 40

Privatmittheilung.

Lithium-Platincyantur.



Zweigliedrig. $a : b : c = 0,7166 : 1 : 0,4416$. *Schabus*.

Oblongoktaeder oder Combinationen eines ersten und zweiten Paars p und q, und der Hexaidfläche b, welche die scharfen Seitenkanten von p abstumpft, und worauf q gerade aufgesetzt ist.

$$p = a : b : \infty c \quad b = b : \infty a : \infty c$$

$$q = b : c : \infty a$$

An dem Hauptoktaeder würde:

$$2 A = 138^\circ 48'; \quad 2 B = 121^\circ 10'; \quad 2^\circ C = 74^\circ 20'.$$

		Berechnet.	Beobachtet.
p : p	an a =		*108° 45'
	- b =	71° 15'	
p : b	=	125 38	
q : q	an c =		*132 20
	- b =	47 40	
q : b	=	113 50	
q : p	=	103 37	

Prismatisch nach p. Oft fehlt b.
Unvollkommen spaltbar nach der Endfläche c.
Die Farbe ist roth; das Pulver ist orangefarbig.
Glasglanz. Trichroismus.

Schabus: S. 43.

Baryumplatincyantür. (S. 231.)

(Ba Cy + Pt Cy) + 4 aq.)

Sénarmont fand:

p : a	=	140°	0'
p : b	=	130	0
q : q an c	=	130	15
q : b	=	114	56

Privatmittheilung.

Sauerstoffsalze.

Schwefelsaures Ceroxydoxydul.

Schabus beobachtete an diesem Salze ausser den (Hdbch. S. 239) angeführten Flächen das achtfach schärfere Dihexaeder erster Ordnung d^o, welches die Kanten d p abstumpft.

	Berechnet.	Beobachtet.	R. (später)
		Schabus.	
d ^o {	2 A = 120° 4'		
	2 C = 175 52		
	α = 3 2		
d	2 A =	123° 47'	
d : c	=	109 29,5	110° 0'
d ^o : c	= 92 34	92 30	
d ^o : p	= 177 26		
d ^o : d	= 162 19		

Dichroismus.

Schabus: S. 17.

Schwefelsaures Ceroxydoxydul-Ammoniak.

Zwei- und eingliedrig. a : b : c = 0,8144 : 1 : 0,6877
o = 83° 29'. Schabus.

Combinationen eines zwei- und eingliedrigen Oktaeders, bestehend aus den Augitpaaren o und o', mit seinem zugehörigen Hexaid a, b, und c als Abstumpfung der Ecken, und dem zweiten Paar q. Durch

1) Nach der Untersuchung von Schafarik.

Vorherrschen von a und b sind es breite rechtwinklig vierseitige Prismen, an denen c eine schiefe Endfläche bildet, die Oktaederflächen die Ecken abstumpfen, und q, in der Diagonalzone von c liegend, die Kanten bc und o o' abstumpft. Fig. 102.

102



$$\begin{array}{lll}
 o = a : b : c & q = b : c : \infty a & a = a : \infty b : \infty c \\
 o' = a' : b : c & & b = b : \infty a : \infty c \\
 & & c = c : \infty a : \infty b
 \end{array}$$

Berechnet.

Beobachtet.

		<i>Sch.</i>		<i>R.</i>	
o, o' }	A =	*122°	2'	122°	5'
	B =				
	C =			111	30
	D =				
a : c	=	*96	31	96	30
q : q an c	= 111 18				
- b	= 68 42				
q : c	= 145 39			146	17
q : b	= 124 21			124	30
q : a	= 95 22				
o : a	= 128 28			128	30
o : b	= 116 20			116	2
o : c	= 135 22	135	25	136	0
o : q	= 146 54			147	26
o' : a	= 121 14			121	30
o' : b	= 118 59			118	30
o' : c	=	*129	53		
o' : q	= 143 24			144	5

Zwillinge: Zwillingsebene ist die hintere schiefe Endfläche $a' : c : \infty b$, auf welcher die Zwillingssaxe senkrecht steht.

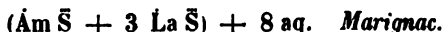
Die Flächen o, o', c sind glatt, a und b öfters gebogen.

Sehr vollkommen spaltbar nach b .

Glasglanz, auf b perlmutterartig. Gelbroth, durchsichtig. Trichromatisch.

Schabus: S. 103.

Schwefelsaures Lanthanoxyd-Ammoniak.



Zwei- und eingliedrig.

103

Sehr kleine Krystalle, Combinationen eines Prismas p und seines zweifach stumpferen p^2 , der Abstumpfung b der scharfen Seitenkanten, der basischen Endfläche c und der zweiten Paare q und q' , aus ihrer Diagonalzone. Alle Flächen sind parallel ihren Kanten mit b stark gestreift, daher sie nur approximativ gemessen werden können. Fig. 103.



$$\begin{aligned} p &= a : b : \infty c & b &= b : \infty a : \infty c \\ p^2 &= a : 2b : \infty c & c &= c : \infty a : \infty b \\ q &= b : c : \infty a \\ q' &= b : \frac{1}{4}c : \infty a \end{aligned}$$

Marniac fand:

$$\begin{aligned} p : b &= 129-132^\circ & p : c &= 96^\circ \\ p^2 : b &= 112-114 & p : q &= 108 \\ q : b &= 108-110 & p' : q &= 96\frac{1}{2} \\ q' : b &= 94-96 \end{aligned}$$

Schwefelsaures Nickeloxyd-Ammoniak. (S. 242.)

Marniac fand:

$$\begin{aligned} p : p \text{ an } a &= 109^\circ 20' \\ p : c &= 103 \quad 0 \\ q : q \text{ an } c &= 129 \quad 40 \\ q : c &= 154 \quad 50 \\ c : {}^2r' &= 116 \quad 0 \\ p : {}^2r' &= 127 \quad 30 \\ o' : o' &= 129 \quad 30 \\ o' : c &= 136 \quad 0 \\ o' : q &= 147 \quad 30 \end{aligned}$$

Schwefelsaures Kobaltoxyd-Ammoniak. (S. 243.)

Zwei- und eingliedrig. $a : b : c = 0,7392 : 1 : 0,4985$
 $o = 73^\circ 4'$. *Marignac.*

Die Krystalle sind Combinationen von p, q, a, c, o, o', r', gleich denen der isomorphen Salze.

	Berechnet.	Beobachtet.
o, o' }	A = 130° 20'	130° 20'
	B = 141 20	141 21
	C = 118 12	
	D = 78 47	
p : p an a	=	*109 28
- b	= 70 32	
p : a	= 144 44	
p : c	= 103 45	103 46
q : q an c	= 129 0	129 30
- b	= 51 0	
q : c	= 154 30	
q : a	= 105 14	
a : c	=	*106 56
a : r'	= 137 52	
c : r'	=	*115 12
p : r'	= 127 16	127 20
o : a	= 132 5	
o : c	= 146 10	
o : p	= 137 35	
o : q	= 153 9	153 13
o' : a	= 109 43	
o' : c	= 135 3	135 6
o' : p	= 121 12	
o' : q	= 145 2	145 5

Schwefelsaures Kadmiumoxyd-Kali.

$(K\bar{S} + Cd\bar{S}) + 6 aq.$

Isomorph mit dem folgenden.

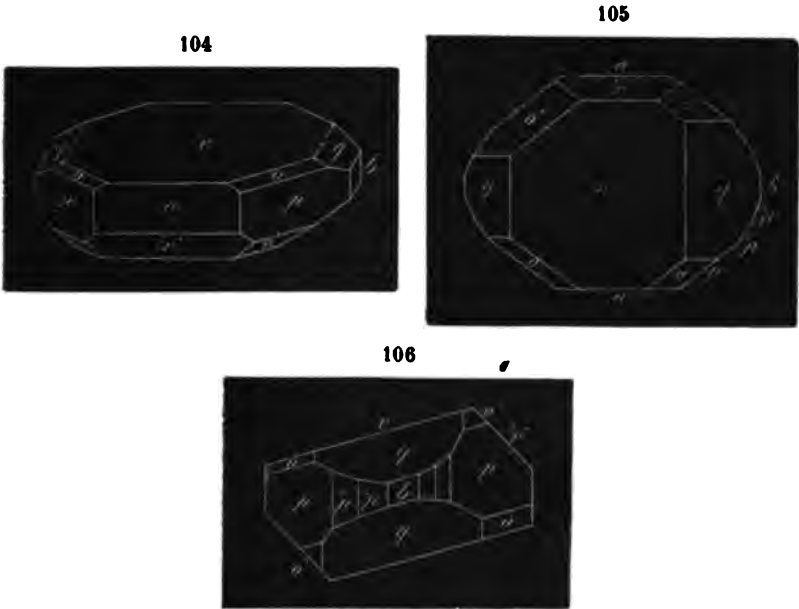
Schwefelsaures Kadmiumoxyd-Ammoniak.

$(Am\bar{S} + Cd\bar{S}) + 6 aq.$ *Hauer.*

Zwei- und eingliedrig. $a : b : c = 0,7431 : 1 : 0,4945$
 $o = 72^\circ 19'$. *R.*

Combinationen eines rhombischen Prismas p mit der Abstumpfung der stumpfen Seitenkanten a und der scharfen b, und des zweifach und dreifach schärferen ²p und ³p. In der Endigung herrschend die basische Endfläche c; in ihrer Diagonalzone das zweite Paar q, und untergeordnet das Hauptoktaeder in Gestalt der beiden Augitpaare o und

o', sowie die hintere schiefe Endfläche r', welche mit o und p in einer Zone liegt. Fig. 104. 105. 106.



$$\begin{array}{lll}
 o = a : b : c & p = a : b : \infty c & a = a : \infty b : \infty c \\
 o' = a' : b : c & {}^2p = 2a : b : \infty c & b = b : \infty a : \infty c \\
 & {}^3p = 3a : b : \infty c & c = c : \infty a : \infty b \\
 & q = b : c : \infty a & \\
 & {}^1r' = a' : 2c : \infty b &
 \end{array}$$

An dem Hauptoktaeder ist

$$\begin{array}{ll}
 A = 130^\circ 24' & C = 118^\circ 52' \\
 B = 141 \quad 46 & D = 78 \quad 0
 \end{array}$$

	Berechnet.	Beobachtet.
p : p an a	—	* 109° 24'
- b	70° 36'	
p : a	144 42	144 47
p : b	125 18	125 18
p : c	104 21	104 33
² p : ² p an a	70 28	
- b	109 32	
² p : a	125 14	125 20
² p : b	144 46	144 37
² p : p	160 32	160 32
³ p : ² p an a	50 26	
- b	129 34	129 38

	Berechnet.	Beobachtet.
${}^3p : a$	= 115° 13'	115° 18'
${}^3p : b$	= 154 47	154 42
${}^3p : p$	= 150 31	150 30
${}^3p : {}^2p$	= 170 0	170 0
$a : c$	= 107 41	107 23
$a : {}^2r'$	= 137 9	137 20
$c : {}^2r'$	= 115 10	115 10
$p : {}^2r'$	= 126 45	
$q : q \text{ an } c$	= 129 34	
- b	= 50 26	
$q : c$	= 154 47	154 49
$q : b$	= 115 13	115 23
$q : a$	= 105 57	105 15
$o : a$	= 132 21	
$o : b$	= 109 7	
$o : c$	= 146 42	146 30
$o : p$	= 137 39	137 15
$o : q$	= 153 36	
$o' : a$	= 108 47	
$o' : b$	= 114 48	
$o' : c$	=	* 135 18
$o' : p$	=	* 120 21
$o' : q$	= 145 16	145 25

Das Prisma p ist niedrig, und durch Vorherrschen von c werden die Krystalle tafelfartig. o und 2p sind oft nicht vollzählig vorhanden.

Isomorph mit den übrigen Doppelsalzen von analoger Zusammensetzung.

Jodsaure Salze.

Jodsaures Kali-Chlorkalium.



Zweigliedrig. $a : b : c = 0,8713 : 1 : 0,7709. R.$

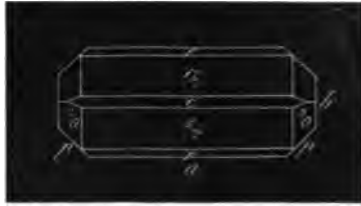
Combinationen eines rhombischen Prismas p, dessen stumpfe Seitenkanten durch a, dessen scharfe durch b abgestumpft sind, mit den auf a aufgesetzten dritten Paaren r und $r/2$, der Endfläche c, und einem Rhombenoktaeder 2o , welches die Kante $r/2$ b abstumpft. Fig. 107. 108. Oester sind die Krystalle nach der Zone der dritten Paare prismatisch, wobei $r/2$ und a herrschen. Zuweilen fehlt eine Fläche von r, sowie das Prisma p unsymmetrisch erscheint. Fig. 109.

$$\begin{array}{lll}
 {}^2o = 2a : b : c & p = a : b : \infty c & a = a : \infty b : \infty c \\
 & r = a : c : \infty b & b = b : \infty a : \infty c \\
 & r/2 = 2a : c : \infty b & c = c : \infty a : \infty b
 \end{array}$$

107



108



109



Für das Hauptoktaeder $o = a : b : c$ und für 2o sind die Kantenwinkel

	2 A.	2 B.	2 C.
o	$120^\circ 0'$	$109^\circ 58'$	$99^\circ 8'$
2o	$109 38$	$141 24$	$83 16$
		beob. 141 45	

	Berechnet.	Beobachtet.
$p : p$ an a	$= 97^\circ 52'$	$97^\circ 53'$
- b	$= 82 8$	$82 6$
$p : a$	$=$	* $138 56$
$p : b$	$= 131 4$	$131 34$
$r : r$ an c	$= 97 0$	
- a	$= 83 0$	
$r : c$	$= 138 30$	
$r : a$	$=$	* $130 30$
$r/2 : r/2$ an c	$= 132 16$	$132 10$
- a	$= 47 44$	$47 30$
$r/2 : c$	$= 156 8$	$156 18$
$r/2 : a$	$= 113 52$	$114 0$
$r/2 : r$	$= 162 22$	$162 26$
$p : r$	$= 119 58$	
$p : r/2$	$= 107 46$	
${}^2o : a$	$= 109 18$	
${}^2o : b$	$= 125 11$	
${}^2o : c$	$= 138 22$	
${}^2o : r/2$	$= 144 49$	

Die Krystalle sind, obwohl klein, doch vollständig ausgebildet, farblos und durchsichtig.

Jod - schwefelsaures Kali.



Zweigliedrig. $a : b : c = 0,4388 : 1 : 0,5521. R.$

Die Krystalle dieses Doppelsalzes stellen sich unter zweifacher Form dar. Entweder sind es rhombische Tafeln, gebildet aus dem Rhombenoktaeder o mit starker Abstumpfung der schärferen Seitenecken durch die Hexaidflächen b , während a die stumpferen abstumpft, und q als zweites zugehöriges Paar die schärferen Endkanten ersetzt, gleichzeitig aber ein erstes Paar 2p und ein drittes r^2 , sowie ein Rhombenoktaeder $o^{1/2}$ hinzutritt, welches mit o und b in einer Zone liegt. Fig. 110. 111. Oder es sind rechtwinklig vierseitige Tafeln, gebildet von den Hexaidflächen b und c , erstere vorwaltend, an denen von den schon angeführten Flächen sich nur noch o , a und 2p finden, wogegen hier noch das erste zugehörige Paar p , und das zweifach schärfere q^2 des zweiten hinzukommen. Fig. 112.

$$\begin{array}{llll} o & = a : b : c & p & = a : b : \infty c & a & = a : \infty b : \infty c \\ o^{1/2} & = a : \frac{1}{2}b : c & ^2p & = 2a : b : \infty c & b & = b : \infty a : \infty c \\ & & q & = b : c : \infty a & c & = c : \infty a : \infty b \\ & & q^2 & = b : 2c : \infty a & & \\ & & r^2 & = a : 2c : \infty b & & \end{array}$$

Die Kantenwinkel beider Rhombenoktaeder sind:

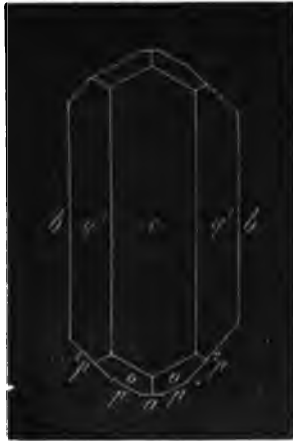
	2 A.	2 B.	2 C.
$o =$	$142^\circ 4'$	$84^\circ 24'$	$107^\circ 54'$
(beob. 142 30)			
$o^{1/2} =$	88 16	113 54	128 38

110



111





		Berechnet.	Beobachtet.
p	: p	an a = 132° 36'	132° 41'
		- b = 47 24	
p	: a	= 156 18	
p	: b	= 113 42	113 25
² p	: ² p	an a = 97 28	97 25
		- b = 82 32	
² p	: a	= 138 44	138 24
² p	: b	=	*131 16
² p	: p	= 162 26	162 30
q	: q	an c = 122 12	
		- b = 57 48	
q	: b	= 118 54	
q	: c	= 151 6	
q ²	: q ²	an c = 84 20	84 15
		- b = 95 40	
q ²	: b	= 137 50	137 52
q ²	: c	=	*132 10
q ²	: q	= 161 4	
r ²	: r ²	an c = 43 20	
		- a = 136 40	
r ²	: a	= 158 20	158 ungef.
r ²	: c	= 111 40	
o	: a	= 137 46	
o	: b	= 108 58	108 30
o	: c	= 126 3	
o	: p	= 143 57	143 30
o	: q	= 132 14	
o ^{1/2}	: a	= 123 3	
o ^{1/2}	: b	= 135 52	136 ungef.

	Berechnet.	Beobachtet.
$o^{1/2} : c$	= 115° 41'	
$o^{1/2} : o$	= 153 6	153° 24'

Die Flächen $o^{1/2}$, p, q, r² und a sind meist sehr klein.
Die Krystalle sind farblos, durchsichtig, jedoch nicht sehr glänzend. 1)

Kohlensaures Kupferoxyd-Natron. (S. 251.)

Sénarmont hat die richtige Beschreibung der Krystallform dieses Salzes mitgeteilt.

Zwei- und eingliedrig. $a : b : c = 1,5827 : 1 : 2,2665$
 $o = 88° 8'$. *Sénarmont*.

Es sind Combinationen, in welchen das rhombische Prisma p und besonders die auf dessen scharfe Kanten aufgesetzte basische Endfläche c vorherrschen. In der Verticalzone finden sich die Flächen a, r und r'. Untergeordnet erscheinen die Oktaidflächen, nämlich das Hauptoktaeder $o o'$, sowie die hinteren Augitpaare $o^{1/2}$ und $o^{1/6}$, sämtlich aus der ersten Kantenzone, gleichwie ein anderes, die Kante p r' abstumpfend, vielleicht $1/2a' : b : c$. Fig. 113.

113



$o = a : b : c$	$p = a : b : \infty c$	$a = a : \infty b : \infty c$
$o' = a' : b : c$	$r = a : c : \infty b$	$c = c : \infty a : \infty b$
$o^{1/2} = a' : b : 1/2c$	$r' = a' : c : \infty b$	
$o^{1/6} = a' : b : 1/6c$		

An dem Hauptoktaeder ist:

A = 74° 24'	C = 119° 56'
B = 76 6	D = 139 5

	Berechnet.	Beobachtet.
p : p an a =		* 64° 35'
- b =	115° 25'	
p : a =	112 18	
p : c =	=	* 91 0
a : c =	= 91 52	91 35
a : r =	= 145 41	

1) S. Poggend. Ann. 97, 92.

	Berechnet.	Beobachtet.
a : r'	= 144° 28'	
c : r	= 126 11	126° 0'
c' : r'	=	*123 40
r : r' an c	= 69 51	
p : r	= 116 11	
p : r'	= 115 46	115 30
o : a	= 120 36	
o : c	= 111 20	111 10
o : p	= 159 40	
o : r	= 128 3	
o' : a	= 119 28	
o' : c	= 109 35	109 20
o' : p	= 159 25	
o' : r'	= 127 12	
o'/ ₃ : o'/ ₂	= 110 48	
o'/ ₃ : a	= 109 33	
o'/ ₃ : c	= 137 47	136 50
o'/ ₃ : p	= 131 13	
o'/ ₃ : o'	= 151 48	
o'/ ₆ : o'/ ₆	= 139 24	
o'/ ₆ : a	= 100 55	
o'/ ₆ : c	= 155 46	
o'/ ₆ : p	= 113 14	
o'/ ₆ : o'	= 133 49	
o'/ ₆ : o'/ ₃	= 162 1	

Die Messungen sind nicht ganz scharf.

Privatmittheilung.

Oxalsaure Salze.

Oxalsaures Beryllerde-Ammoniak.



Zweigliedrig. a : b : c = 0,8759 : 1 : 1,7413. *Sénarmont.*

Rhombenoktaeder o mit den drei zugehörigen Paaren p, q, r und dem Hexaid a, b, c, von dessen Flächen b vorherrscht. Noch mehr tritt das zweifach schärfere Oktaeder o² mit seinem dritten Paar r² hervor, und auch das vierfach schärfere dritte Paar r¹ kommt vor. Fig. 114.

o = a : b : c	p = a : b : ∞ c	a = a : ∞ b : ∞ c
o ² = a : b : 2c	q = b : c : ∞ a	b = b : ∞ a : ∞ c
	r = a : c : ∞ b	c = c : ∞ a : ∞ b
	r ² = a : 2c : ∞ b	
	r ¹ = a : 4c : ∞ b	
	2 A.	2 B.
o = 121° 0'	111° 34'	96° 44'
o ² = 105 56	93 10	132 4



Berechnet.		Beobachtet.
p : p	an a == 97° 34'	
	- b == 82 26	
p : a	== 138 47	
p : b	== 131 13	131° 10'
q : q	an c == 106 54	
	- b == 73 6	
q : c	== 143 27	
q : b	== 126 33	128 ungef.
r : r	an c == 99 30	
	- a == 80 30	
r : c	==	* 139 45
r : a	== 130 15	
r ² : r ²	an c == 61 10	
	- a == 118 50	
r ² : c	== 120 35	120 25
r ² : a	== 149 25	
r ¹ : r ¹	an c == 32 56	
	- a == 147 4	
r ¹ : c	== 106 28	106 40
r ¹ : a	== 163 32	
r : r ²	== 160 50	
r : r ¹	== 146 43	
r ² : r ¹	== 165 53	
o : a	== 124 13	
o : b	==	* 119 30
o : c	== 131 38	
o : p	== 138 22	
o : q	== 145 47	
o : r	== 150 30	

	Berechnet.	Beobachtet.
$o^2 : a$	= 133° 25'	
$o^2 : b$	= 127 2	126° 20'
$o^2 : c$	= 113 58	
$o^2 : p$	= 156 2	
$o^2 : r^2$	= 142 58	
$o : o^2$	= 162 20	

Die Ebene der optischen Axen ist die Axenebene $b c$; ihre Halbrichtungslinie ist b .

Privatmittheilung.

Oxalsaures Eisenoxyd-Kali. (S. 254.)

Schabus fand:

A	= 139° 56'
B	= 141 6
$p : p$	= 90 56
$o : r'$	= 133 40

Trichromatisch.

Schabus: S. 118.

Oxalsaures Eisenoxyd-Ammoniak. (S. 255.)

Nach Schabus ist:

A	= 140° 0'
B	= 140 55
$p : p$	= 90 12
$^2p : ^2p$	= 126 44
$^2p : a$	= 116 38

Trichromatisch.

S. 119.

Oxalsaures Eisenoxyd-Natron. (S. 256.)

Nach Schabus ist:

$a : c$	= 100° 51'	$o : a$	= 124° 25'
$p : c$	= 96 30	$o : c$	= 128 46
		$o : p$	= 143—144°

Trichromatisch.

S. 120.

Oxalsaures Chromoxyd-Kali. (S. 258.)

1) Blaues. $(3 K \bar{C} + \bar{C}r \bar{C}^2) + 6 aq.$

Schabus fand ausser den (Hdbch. S. 258) angegebenen Flächen noch

o'_3	= $a' : 3b : c$ (x)	p	= $a : b : \infty c$ (N)
$o'_{3/4}$	= $a' : 3/4b : c$ (w)		

		Berechnet.		Beobachtet.
p	:	p an b	= 90° 12'	90° 15'
³ / ₂ p	:	³ / ₂ p - -	= 112 48	112 37
³ / ₂ p	:	p	= 168 42	
o	:	o	= 140 16	140 54
o'	:	o'	= (139 6)	139 40
o'	:	r'	= 159 33	159 50
o' ₃	:	o' ₃	= 165 36	166 10
o' ₃	:	o'	= 166 45	
o' ₃	:	b	= 97 12	
o' ₃	:	r'	= 172 48	
o' ³ / ₄	:	o' ³ / ₄	= 146 16	147 15
o' ³ / ₄	:	o'	= 166 25	
o' ³ / ₄	:	o' ₃	= 170 20	
o' ³ / ₄	:	r'	= 163 8	
o' ³ / ₄	:	b	= 106 52	

Die Messungen liessen sich nicht genau anstellen. An kleinen Krystallen ist ³/₂p stark gebogen, r' häufig gekrümmt. An grossen Krystallen findet man p und ³/₂p eben, o'₃, o'³/₄ und r' stark gestreift.

Trichromatisch.

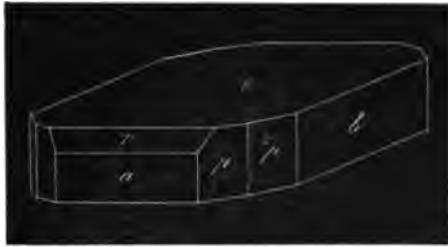
Schubus: S. 114.

2) Roth's. (K \bar{C} + \bar{C} r \bar{C} ^s) + 8 aq.

Zwei- und eingliedrig. a : b : c = 1,2356 : 1 : 1,3840
o = 70° 33'. Schubus.

Combinations eines niedrigen rhombischen Prismas ³/₂p und der basischen Endfläche c. Untergeordnet die Abstumpfung der scharfen Seitenkanten a des Prismas, auf welche c gerade aufgesetzt ist. Eine vordere schiefe Endfläche r stumpft die Kante a c ab. Hierzu tritt oft in der Horizontalzone das Prisma p, und die Hexaidfläche b, und auch die hintere schiefe Endfläche r' kommt vor. Fig. 115. 116. Miller, welcher zuerst die Form dieses Salzes beschrieben hat, beobachtete ausserdem das vordere Augitpaar o, das hintere o' und das zweite Paar q aus der Diagonalzone von c.





$$\begin{array}{lll}
 o = a : b : c & p = a : b : \infty c & a = a : \infty b : \infty c \\
 o' = a' : b : c & {}^2p = 2a : b : \infty c & b = b : \infty a : \infty c \\
 & q = b : c : \infty a & c = c : \infty a : \infty b \\
 & r = a : c : \infty b & \\
 & r' = a' : c : \infty b &
 \end{array}$$

An dem zwei- und eingliedigen Hauptoktaeder, zu dem p, r, r' zugehörige Dodekaidflächen sind, ist:

$$\begin{array}{ll}
 A = 86^\circ 32' & C = 111^\circ 51' \\
 B = 106 \quad 0 & D = 120 \quad 15
 \end{array}$$

Berechnet.

Beobachtet.

		<i>Schabus.</i>	<i>Miller.</i>
p : p an a	= 81° 17'		
- b	= 98 43	98° 40'	
p : a	=	*130 38,5	130° 55'
p : b	= 139 21,5		
² p : ² p an a	= 46 27,5	133 33	
- b	= 133 32,5	113 13,5	
² p : a	= 113 14		
² p : b	= 156 46		
² p : p	= 162 35		
a : c	=	*109 27	109 15
a : r	=	*147 1,5	146 58
a : r'	= 129 51,5		
c : r	= 142 25,5		142 17
c : r'	= 120 41,5	120 36	120 44
r : r'	= 83 7		
p : c	= 102 31,5		102 28
² p : c	= 97 33		
p : r	= 123 7		
p : r'	= 114 40		
² p : r	= 109 20		
² p : r'	= 104 38		
q : q an c	= 74 56		
- b	= 105 4		
q : c	= 127 28		

	Berechnet.	Beobachtet. <i>Miller.</i>
q : b	= 142° 32'	142° 20'
q : a	= 101 48	
o : a	= 132 5	132 11
o : b	= 127 0	126 47
o : c	= 129 16	129 20
o : p	= 153 15,5	
o : q	= 149 43	
o : r	= 143 0	
o' : a	= 116 4	116 10
o' : b	= 136 44	
o' : c	= 110 29	
o' : p	= 146 59,5	
o' : q	= 142 8	
o' : r'	= 133 16	

Nach *Schabus* kommen in der Verticalzone noch einige andere schiefe Endflächen vor; so

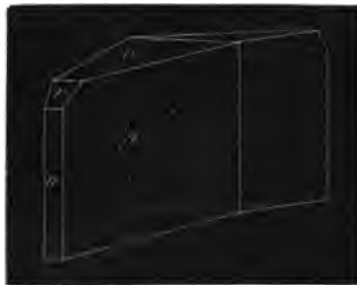
$$\begin{aligned}
 w &= a : \frac{7}{5}c : \infty b \\
 x &= a : \frac{1}{6}c : \infty b \\
 y &= a : \frac{22}{13}c : \infty b \\
 z &= a : \frac{13}{22}c : \infty b
 \end{aligned}$$

Beobachtet.

$$\begin{aligned}
 c : w &= 108^\circ 0' \\
 c : x &= 169 15 \\
 c : y &= 101 40 \\
 c : z &= 141 20
 \end{aligned}$$

Die Krystalle sind meist *Zwillinge*. *Zwillingsebene* ist a, worauf die *Zwillingsaxe* senkrecht steht. Fig. 117.

117



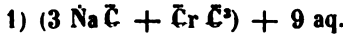
Die Fläche c ist häufig gekrümmt; ebenso p und b an grösseren Krystallen, während diese an kleineren eben sind.

Ausgezeichnet trichromatisch.

Schabus: S. 122.

Miller: Phil. Mag. XXI. 201.

Oxalsaures Chromoxyd-Natron. (S. 259.)



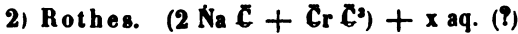
Zwei- und eingliedrig.

Schabus fand:

$a : c = 100^\circ 40'$	$o : a = 124^\circ 30'$
$p : c = 96 \quad 20$	$o : c = 128 \quad 12$
$p : p = 72 \quad 40$	$o' : c = 120 \quad \text{ungef.}$

Vollkommen spaltbar nach c.

S. 127.



Eingliedrig.

Rhombische Prismen pp' mit schiefer Abstumpfung b der scharfen Seitenkanten, und einer schiefen Endfläche c.

$p = a : b : \infty c$	$b = b : \infty a : \infty c$
$p' = a : b' : \infty c$	$c = c : \infty a : \infty b$

Schabus fand:

$p : p' = 124^\circ 32'$	$p : c = 101^\circ 15'$
$p' : b' = 84 \quad 35$	$p' : c = 107 \quad 54$

Die Krystalle sind immer dünne Blättchen durch Vorherrschen von b. Unvollkommen spaltbar nach c. Trichromatisch.

Sie verwittern an der Luft sehr bald.

Schabus: S. 189.

Oxalsaures Antimonoxyd-Kali.



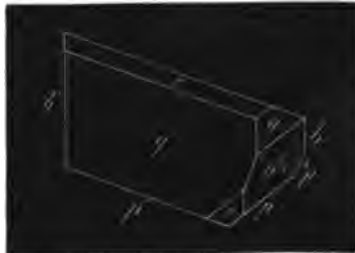
Eingliedrig.

Prismatisch nach p, p', p und b, von denen fast immer die Parallele von p fehlt. In der Endigung eine auf b aufgesetzte Zuschärfung q, q', und eine auf die Kante p p' aufgesetzte r, r', sowie die Fläche o'/2, welche mit p und q, und mit b und r in einer Zone liegt. Fig. 118. 119.

118



119



$$\begin{array}{l}
 o^{1/2} = a : \frac{1}{2}b : c \quad p = a : b : \infty c \quad b = b \cdot \infty a : \infty c \\
 p' = a : b' : \infty c \\
 {}^3p = 3a : b : \infty c \\
 q = b : c : \infty a \\
 q' = b' : c : \infty a \\
 r = a : c : \infty b \\
 r' = a' : c : \infty b
 \end{array}$$

Beobachtet:

$$\begin{array}{ll}
 p : p' = 129^\circ 10' & q : q' = 152^\circ 54' \\
 p : b = 117 \quad 8 & q' : b' = 119 \quad 33 \\
 p' : b' = 113 \quad 15 & q' : o^{1/2} = 121 \quad 7 \\
 p : {}^3p = 151-152^\circ &
 \end{array}$$

Dieses Salz wurde nur selten und in geringer Menge beobachtet, und bedarf deshalb einer vollständigeren Untersuchung.

Rammelsberg: Pogg. Ann. 93, 62.

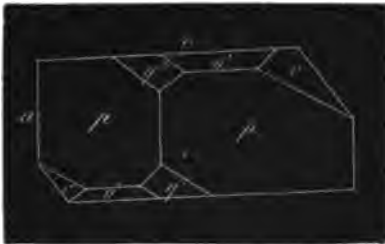
Oxalsaures Antimonoxyd-Natron.



Zwei- und eingliedrig. $a : b : c = 1,5036 : 1 : 0,8947$
 $o = 88^\circ 44'.$ *R.*

Rhombische Prismen *p* mit schwacher Abstumpfung der scharfen Seitenkanten *a* und einer auf diese gerade aufgesetzten schiefen (basischen) Endfläche *c*. Untergeordnet ein zweites Paar *q*² aus der Diagonalzone von *c*, ein hinteres Augitpaar *o'*, welches die scharfen Kanten *p* *c* abstumpft, und mit *p* und *q*² in eine Zone fällt; endlich noch ein Augitpaar *v* derselben Seite, mit *p*, dem unteren *q*² und *o'* in einer Zone liegend. Fig. 120. 121.

120



121



$$\begin{array}{lll}
 o' = a' : b : c & p = a : b : \infty c & a = a' \cdot \infty b : \infty c \\
 v = \frac{1}{2}a' : b : 2c & q^2 = b : 2c : \infty a & c = c : \infty a : \infty b
 \end{array}$$

An dem aus o' und einem supponirten vorderen Augitpaar $o = a : b : c$ bestehenden Hauptoktaeder ist:

$$\begin{array}{ll}
 A = 104^\circ 22' & C = 132^\circ 10' \\
 B = 105 26 & D = 94 5
 \end{array}$$

	Berechnet.	Beobachtet.
$p : p \text{ an } a$	= 67° 16'	67° 30'
$- b$	= 112 44	112 42
$p : a$	=	*123 38
$p : c$	=	*90 42
$a : c$	= 91 16	91 0
$q^2 : q^2 \text{ an } c$	= 58 24	
b	= 121 36	
$q^2 : c$	= 119 12	119 20
$q^2 : a$	= 90 37	90 40
$o' : o'$	= 104 22	104 40
$o' : a$	= 113 8	
$o' : c$	=	*132 35
$o' : p$	= 136 43	136 53
$o' : q^2$	= 156 15	
$v : v$	= 110 8	110 13
$v : a$	= 139 0	
$v : c$	= 107 39	107 30
$v : q^2$	= 130 23	

Das Prisma p ist niedrig, c herrscht vor, die Augitpaare und q^2 treten nur untergeordnet auf, und oft ist ein p , mit dessen Parallelen die Krystalle aufgewachsen sind, sehr ausgedehnt.

Die Flächen p und c sind leicht gekrümmt.

Rammelsberg: Pogg. Ann. 95, 181.

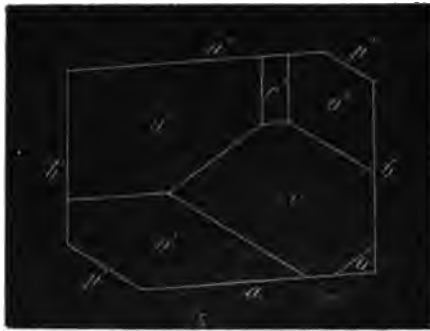
Oxalsaures Kupferoxyd - Kali.



Eingliedrig. $a : b : c = 0,7222 : 1 : 0,6143.$ $R.$

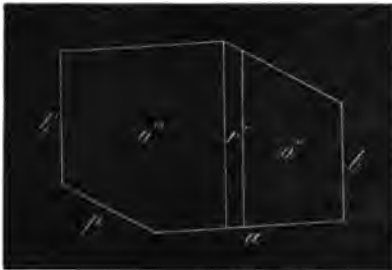
$$\begin{array}{ll}
 A = 104^\circ 0' & \alpha = 103^\circ 19' \\
 B = 105 0 & \beta = 104 22 \\
 C = 94 26 & \gamma = 90 54
 \end{array}$$

Der Habitus der Krystalle ist verschieden. 1) Die Flächen a und b , welche sich unter $94^\circ 26'$ schneiden, sowie die Abstumpfung p' der stumpfen Kanten beider bilden die herrschende Zone. In der Endigung erscheinen vier Flächen o , welche zusammen das Hauptoktaeder bilden, sowie die Fläche c , welche mit a und b das zugehörige Hexaid ausmacht, während p' und die Fläche r' Dodekaidflächen sind. Fig. 122. 123. 124.



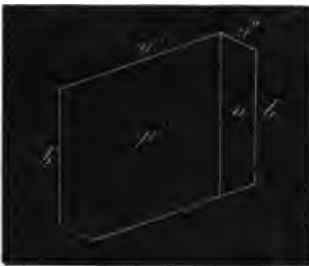
124

123

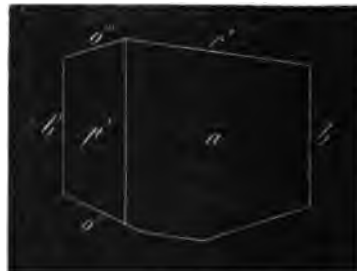


2) Die Diagonalzone der hinteren schiefen Endfläche dehnt sich aus und bedingt den prismatischen Habitus. Fig. 125. 126.

125



126



$o = a : b : c$	$p' = a : b' : \infty c$	$a = a : \infty b : \infty c$
$o' = a : b' : c$	$r' = a' : c : \infty b$	$b = b : \infty a : \infty c$
$o'' = a' : b : c$		$c = c : \infty a : \infty b$
$o''' = a' : b' : c$		

An dem eingliedrigten Hauptoktaeder sind die Winkel

in den Kanten	Berechnet.	Beobachtet.
ac oder o : o' —	136° 8'	
a'c „ o'' : o''' —	125 24	125° 37'
bc „ o : o'' —	114 55	
b'c „ o' : o''' —	102 50	103 35
ab „ o : o''' —	93 21	
ab' „ o' : o'' —	88 57	

Ferner ist:

	Berechnet.	Beobachtet.
a : b —		*94° 26'
a : p' —		*142 48
b' : p' —	122° 46'	122 40
b : c —		*104 0
a : c —		*105 0
a' : r' —	120 30	120 30
c : r' —		*134 30
p' : c —	94 6	
r' : b —	99 8	
o : a —	132 18	
o : b —	122 22	
o : c —	143 48	
o' : a —	135 50	136 30
o' : b' —	101 31	
o' : c —	137 33	
o' : p' —	136 33	
o'' : a' —	112 47	113 20
o'' : b —	123 57	
o'' : c —	133 30	
o'' : p' —	132 24	
o'' : r' —	155 11	154 42
o''' : a' —	121 20	
o''' : b' —	110 39	110 10
o''' : c —	122 51	
o''' : r' —	150 13	150 12

Fast nie beobachtet man sämtliche Flächen an einem Krystall.
 Von den Oktaidflächen ist o''' allein immer vorhanden.

Die Krystalle sind klein, die Flächen häufig uneben.

Rammelsberg: Pogg. Ann. 95, 184.

Oxalsaures Kupferoxyd - Ammoniak.



Eingliedrig. a : b : c — 0,6948 : 1 : 0,6060. R.

A —	105° 35'	α —	105° 2'
B —	105 30	β —	104 57
C —	94 10	γ —	90 18

Rammelsberg, kryst.-chem. Forsch.

Das Salz ist isomorph mit dem vorhergehenden, obwohl die Krystalle in der Regel ein etwas verschiedenes Ansehen haben. Es ist nämlich die Verticalzone herrschend, d. h. die Hexaidflächen a und c dehnen sich zu einem Prisma aus, dessen schärfere Kanten durch r' abgestumpft sind. In der Horizontalzone findet sich hier auch p, den scharfen Winkel a b abstumpfend. Von den Oktaidflächen fehlt o', wogegen o''' auch hier herrschend ist. Fig. 127. Häufig bestimmt aber auch die Diagonalzone von r' den prismatischen Charakter. Fig. 128. Ausserdem findet sich eine vordere schiefe Endfläche r₂ zwischen a und c, und eine hintere r'₂ zwischen r' und c.

127



128



$$\begin{array}{lll}
 o & = & a : b : c \\
 o'' & = & a' : b : c \\
 o''' & = & a' : b' : c \\
 p & = & a : b : \infty c \\
 p' & = & a : b' : \infty c \\
 r' & = & a' : c : \infty b \\
 r'_2 & = & 2a : c : \infty b \\
 r''_2 & = & 2a' : c : \infty b
 \end{array}
 \quad
 \begin{array}{lll}
 a & = & a : \infty b : \infty c \\
 b & = & b : \infty a : \infty c \\
 c & = & c : \infty a : \infty b
 \end{array}$$

Ergänzt man das fehlende o', so ist an dem Hauptoktaeder die Neigung

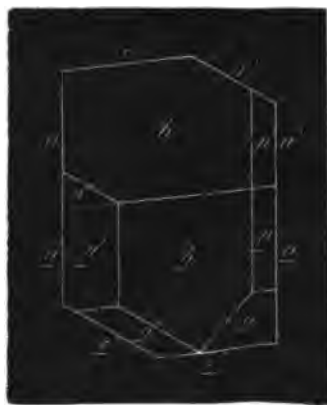
in den Kanten

ac	oder o	: o'	=	137° 14'
a'c	„	o''	: o'''	= 125 20
bc	„	o	: o''	= 114 15
b'c	„	o'	: o'''	= 100 45
ab	„	o	: o'''	= 93 42
ab'	„	o'	: o''	= 89 21
		Berechnet.		Beobachtet.
a	: b	=		*94° 10'
a	: p	=	146° 24'	146 47
b	: p	=	127 43	127 41
a	: p'	=		*143 52

	Berechnet.	Beobachtet.
b' : p' =	121° 58'	121° 46'
p : p' =	110 19	
b : c =		*105 35
a : c =		*105 30
r' : c =		*133 40
r' : a' =	120 50	120 42
r ₂ : c =	160 0	160 30
r ₂ : a =	125 32	
r ₂ : r' =	113 38	
r ₂ : c =	155 25	154 ungef.
r ₂ : a' =	99 5	
r ₂ : r' =	158 15	
p : c =	111 9	
p' : c =	93 55	
r' : b =	100 40	99 50
r ₂ : b =	104 41	
r ₂ : b =	104 4	
o : a =	132 42	
o : b =	122 38	
o : c =	144 23	
o : p =	146 46	
o'' : a' =	113 3	
o'' : b =	125 35	
o'' : c =	133 22	
o'' : p' =	132 43	
o'' : r' =	155 5	155 40
o''' : a' =	122 5	
o''' : b' =	109 5	109 5
o''' : c =	121 55	122 0
o''' : p =	127 56	127 30
o''' : r' =	150 15	

129

Zwillinge. Zwillingsebene ist die Fläche c; beide Individuen verwachsen mit ihren ungleichnamigen c; die Flächen a und r' beider sind parallel, während beide b (an dem freien Ende) einen ausspringenden Winkel von 148° 50' bilden. Die Zwillingsgrenze verläuft auf a deutlich. Fig. 129.

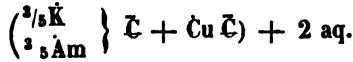


g*

Die meisten Flächen sind glänzend und eben, nur r' , o''' , b sind gekrümmt, und geben Doppelbilder.

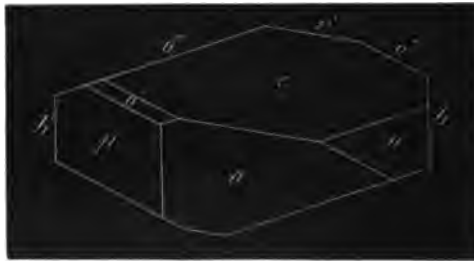
Rammelsberg: Pogg. Ann. 95, 188.

Oxalsaures Kupferoxyd - Kali - Ammoniak.



Isomorphe Mischung beider Salze, prismatisch durch Ausdehnung der Diagonalzone von r' . Fig. 130.

130



Ich fand:

$a : p' = 143^\circ 30'$	$o'' : o''' = 125^\circ 10'$
$p' : b' = 122 \quad 28$	$o''' : b' = 110 \quad 5$
$o'' : b = 126 \quad 30$	$o''' : c = 123 \quad 8$

Rammelsberg: A. a. O. S. 191.

Oxalsaures Zinnoxidul - Kali.



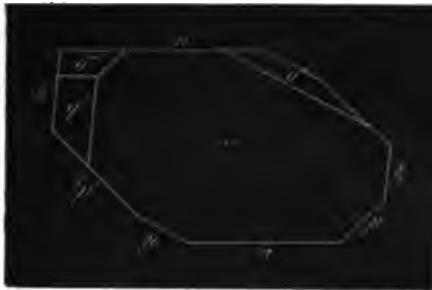
Eingliedrig. $a : b : c = 0,5490 : 1 : 0,5349$. R.

A = $94^\circ 51'$	$\alpha = 93^\circ 30',5$
B = $102 \quad 48$	$\beta = 102 \quad 22$
C = $96 \quad 33$	$\gamma = 95 \quad 38$

Ein eingliedriges Hexaid a, b, c , dessen scharfe Kante ab' ungleich zugeschärft wird durch p' und ${}^2p'$, seltener die stumpfe abgestumpft durch p , deren Parallele gewöhnlich fehlt. Die scharfe Kante $b'c$ stumpft $q'ab$; eine Oktaidfläche o'' , welche mit c und p' in eine Zone fällt, und eine andere o''' , welche mit a und q' und mit c und p gleichfalls eine Zone bildet, gehören dem Hauptoktaeder an. Fig. 131. 132.

Zuweilen sind die Krystalle tafelförmig durch Ausdehnung von a .

$o'' = a' : b : c$	$p = a : b : \infty c$	$a = a : \infty b : \infty c$
$o''' = a' : b' : c$	$p' = a : b' : \infty c$	$b = b : \infty a : \infty c$
	${}^2p' = 2a : b' : \infty c$	$c = c : \infty a : \infty b$
	$q' = b' : c : \infty a$	



Ergänzt man für das Hauptoktaeder die fehlenden vorderen Flächen o und o' , so ist die Neigung

in den Kanten

ac	oder	o	:	o'	=	142° 40'
a'c	„	o''	:	o'''	=	133 53
bc	„	o	:	o''	=	100 27
b'c	„	o'	:	o'''	=	96 16
ab	„	o	:	o'''	=	98 44
ab'	„	o'	:	o''	=	93 7

	Berechnet.	Beobachtet.
a : b	=	*96° 33'
a : p	=	*153 18
b : p	= 123° 15'	123 22
a : p'	= 150 23	150 10
b : p'	= 113 4	
p : p'	= 123 41	
a : ² p'	= 129 25	129 35
b' : ² p'	= 134 6	134 17
p' : ² p'	= 159 2	159 0
p : c	= 102 59	
p' : c	= 99 23	99 46
² p' : c	= 95 26	

	Berechnet.	Beobachtet.
b : c =		*94° 51'
q' : c =		*151 18
q' : b' = 113° 51'		113 45
q' : a = 98 32		98 15
a : c =		*102 48
o'' : a' = 121 33		
o'' : b = 112 1		
o'' : c = 128 29		128 16
o'' : p' = 132 8		132 6
o''' : a' = 127 8		
o''' : b' = 114 6		
o''' : c = 123 10		
o''' : p = 133 51		
o''' : q' = 134 20		

Kleine farblose, durchsichtige Krystalle.

Rammelsberg: Pogg. Ann. 95, 193.

Chromsaurer Kalkerde - Kali.

Berechnung der Form. S. Hdbch. S. 268.

Eingliedrig. a : b : c = 1,3025 : 1 : 1,1568. R.

A = 84° 40'	α = 85° 19'
B = 94 45	β = 94 0
C = 81 14	γ = 81 37

An dem eingliedrigen Oktaeder, für welches p, q, r das zugehörige Dodekaid, a, b, c das Hexaid ist, wäre die Neigung in den Kanten

ac oder o : o' =	100° 22'
a'c „ o'' : o''' =	95 34
bc „ o : o'' =	117 11
b'c „ o' : o''' =	122 5
ab „ o : o''' =	107 14
ab' „ o' : o'' =	115 18

Die Fläche r n ist $r^{5/2} = a : \frac{5}{2}c : \infty b$.

	Berechnet.	Beobachtet.
a : b =		*81° 14'
a : p = 121° 38'		
b : p = 139 36		
a : p' =		*132° 56
b' : p' = 145 50		145 47
p : p' = 74 49		
p : c = 91 16		
p' : c = 96 40		
b' : c =		*95 20
q : c = 127 31		127 44

	Berechnet.	Beobachtet.
q : b	= 137° 9'	
q : a	= 93 43	
q' : c	= 133 40	
q' : b'	= 141 40	
q' : a	= 99 20	
q : q'	= 81 11	
a : c	=	*94° 45'
a : r	= 134 27	134 27
c : r	=	*140 18
a' : r'	= 129 11	129 3
c : r'	= 136 4	136 11
r : r'	= 96 22	96 18
a : r ^{1/2}	= 156 45	
c : r ^{1/2}	= 118 0	
r : r ^{1/2}	= 156 45	157 6
b' : r	= 99 27	
b : r'	= 91 57	
b' : r ^{1/2}	= 99 53	

Organische Verbindungen.

I. Organische Säuren.

A. Stickstofffreie Säuren.

Untercetyligsaures Ammoniak.

(Aldehyd-Ammoniak.)

Bei späteren Untersuchungen fand sich, jedoch sehr untergeordnet, die Endfläche c und das zweite Prisma q.

$$q = a : \frac{1}{2}a : a : \infty c \quad c = c : \infty a : \infty a : \infty a$$

R.

Heusser.

$$r (2 C) = 84^\circ 22'$$

44

48

54

85 8

87° 6'

$$r : r'_{1/2} = 132 22$$

(in d. Endk.) 24

	<i>R.</i>	<i>Heusser.</i>
	132° 34'	132° 20'
r : r' ₂ =	97 15	97 36
(über c)		

Heusser hält die Krystalle für zwei- und eingliedrig.

Heusser: Pogg. Ann. 94, 635.

Essigsäures Lithion.

Li Ac + 4 aq.

Zweigliedrig. a : b = 0,626 : 1. *Schabus.*

Rhombische Prismen p mit Abstumpfung a der stumpfen Seitenkanten und der Endfläche c.

$$p = a : b : \infty c \quad a = a : \infty b : \infty c$$

$$c = c : \infty a : \infty b.$$

Berechnet. Beobachtet.

p : p an a =	*115° 54'
b = 64° 6'	64 6
p : a = 147 57	147 57

Gewöhnlich Zwillinge. Zwillingssebene ist p, auf welcher die Zwillingsaxe senkrecht steht.

Die Krystalle sind niedrige Prismen mit glatten Flächen.

Vollkommen spaltbar nach p.

Schabus: S. 45.

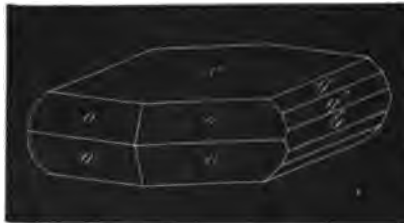
Essigsäures Manganoxydul. (S. 289.)

Zwei- und eingliedrig. a : b : c = 0,5205 : 1 : 1,1084.

o = 85° 2'. *Marignac.*

Zwei- und eingliedrige Oktaeder oo' mit Abstumpfung der Endecken durch c, welches vorherrscht, und den Krystallen ein dünnes tafelfartiges Ansehen giebt, der Seitenecken durch b, und den zweiten Paaren q und q² aus der Diagonalzone von c. Fig. 133.

133

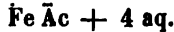


o = a : b : c	q = b : c : ∞ a	b = b : ∞ a : ∞ c
o' = a' : b : c	q ² = b : 2c : ∞ a	c = c : ∞ a : ∞ b.

		Berechnet.	Beobachtet.
o, o'	}	A = 128° 10'	128° 20'
		B =	*131 6
		C = 69 54	69 38
		D = 134 50	
q : q	an c = 84 20		
	- b = 95 40		
q : c	= 132 10	132 0	
q : b	= 137 50		
q² : q²	an c = 48 44		
	- b = 131 16		
q² : c	= 114 22	114 30	
q² : b	= 155 38		
q : q²	= 162 12		
o : b	= 114 27		
o : c	=	*116 20	
o' : b	= 115 55		
o' : c	=	*108 50.	

Vollkommen spaltbar nach c.

Essigsaures Eisenoxydul.



Zwei- und eingliedrig. a : b : c = 0,7061 : 1 : 0,8608.
o = 85° 43'. *Marignac.*

Sehr kleine rhombische Prismen p mit der auf die stumpfen Kanten aufgesetzten basischen Endfläche c und einer Abstumpfung der scharfen Kanten p c durch das hintere Augitpaar o'.

$$o' = a' : b : c \quad p = a : b : \infty c \quad c = c : \infty a : \infty b.$$

An dem aus o' und einem entsprechenden vorderen Paar o = a : b : c bestehenden Hauptoktaeder ist:

$$\begin{array}{ll} A = 121^\circ 2' & C = 94^\circ 28' \\ B = 124 32 & D = 112 21 \end{array}$$

		Berechnet.	Beobachtet.
p : p	an a =		*109° 42'
	- b = 70° 18'		
p : c	=		*93 30
o' : o'	= 121 2		
o' : o	=		*121 25
o' : p	= 145 5.		

Essigsaures Nickeloxyd. (S. 290.)

Schabus fand:

$$\begin{array}{ll} p : p = 108^\circ 36' \\ p : c = 93 37,5 \end{array}$$

$$q : q = 136^\circ 20'$$

$$o' : o' = 140^\circ 14'$$

Spaltbar vollkommen nach p.

S. 144.

Essigsaures Kupferoxyd. (S. 296.)

Mit 1 At. Wasser. $\text{Cu}\bar{\text{Ac}} + \text{aq.}$

Neuerlich von *Schabus* untersucht, wodurch die älteren Angaben berichtigt werden.

$$a : b : c = 1,5320 : 1 : 0,8108. \quad \text{Schabus.}$$

$$o = 63^\circ 34'.$$

Die Flächen sind die schon von *Brooke* angeführten. Fig. 134. 135.

134



135



An dem Hauptoktaeder ist

$$A = 102^\circ 10',5$$

$$B = 122 \quad 30$$

$$C = 135^\circ 37'$$

$$D = 83 \quad 39,5$$

	Berechnet.	Beobachtet.
$p : p \text{ an } a =$		* $72^\circ 11'$
$- b =$	$107^\circ 49'$	
$p : a =$	$126 \quad 5$	
$p : c =$	$105 \quad 12$	$105 \quad 14$
$p : 2r' =$	$=$	* $109 \quad 26,5$
$c : 2r' =$	$=$	* $119 \quad 10$
$a : c =$	$116 \quad 26$	$116 \quad 30$
$a : 2r' =$	$124 \quad 24$	
$o : a =$	$130 \quad 13$	
$o : c =$	$144 \quad 57$	
$o : p =$	$140 \quad 15$	
$o' : a =$	$94 \quad 10$	
$o' : c =$	$134 \quad 24$	
$o' : p =$	$123 \quad 24$	

Zwillinge: Zwillingsebene ist r' , worauf die Zwillingssaxe senkrecht steht.

o fand sich selten und o' ist nur sehr klein.

Spaltbar nach c , weniger gut nach p .

Trichromatisch.

Schabus: S. 147.

Essigsaures Chromoxyd.



Sechsgliedrig.

Nach Schabus dünne sechsseitige Tafeln von dunkelgrüner Farbe, spaltbar nach den Prismenflächen.

S. 20.

Essigsaures Uranoxyd.

1) Mit 2 At. Wasser. $\bar{U} \bar{A}c + 2 aq.$

Zweigliedrig. $a : b : c = 0,7817 : 1 : 0,3554.$ Schabus.

Combinations eines ersten Paares p und eines dritten r mit der Hexaidfläche a . Fig. 136. Häufig tritt das zweifach schärfere 2p und die Hexaidfläche b hinzu. Fig. 137.

136



137



$$\begin{array}{ll} p = a : b : \infty c & a = a : \infty b : \infty c \\ ^2p = 2a : b : \infty c & b = b : \infty a : \infty c \\ r = a : c : \infty b & \end{array}$$

An dem Hauptoktaeder, für welches p und r zugehörige Paare sind, ist

$$2 A = 144^\circ 8'; \quad 2 B = 133^\circ 37'; \quad 2 C = 59^\circ 58'.$$

Berechnet.

Beobachtet.

$$\begin{array}{l} p : p \text{ an } a = \\ \quad \quad \quad - b = 76^\circ \quad 1',5 \end{array}$$

$$* 103^\circ 58',5$$

	Berechnet.	Beobachtet.
p : a	= 141° 59',5	141° 59',5
p : b	= 128 1	
¹ p : ¹ p an a	= 65 12	
- b	= 114 48	114 38
² p : a	= 122 36	122 41
² p : b	= 147 24	
² p : p	= 160 37	
r : r an c	=	*131 6
- a	= 48 54	
r : a	= 114 27	114 27
p : r	= 109 2	
¹ p : r	= 102 53	

Die herrschenden Flächen sind a und p; selten sind die Krystalle durch Ausdehnung von b tafelförmig.

Gelb ins Grüne, von hellgelbem Pulver und Glasglanz. Trichromatisch.

Leicht spaltbar nach ¹p, weniger nach p; ziemlich vollkommen auch nach a und b, unvollkommen nach der Endfläche c.

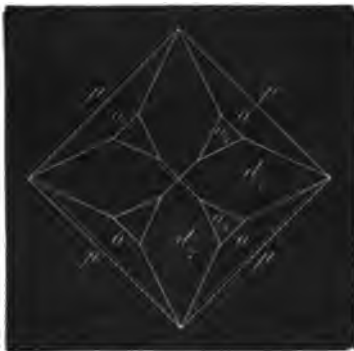
Schabus: S. 46.

2) Mit 3 At. Wasser. $\bar{U}\bar{A}c + 3 aq.$

Viergliedrig. a : c = 0,7159 : 1 = 1 : 1,3968. R.

Combinationen eines Quadratoktaeders o mit dem ersten Prisma p, wozu häufig das dreifach stumpfere o_{1/2} und seltener das dritte stumpfere d_{1/2} treten, welches mit den abwechselnden beiden ersten in eine Zone fällt. Fig. 138. Schabus beobachtete statt dessen das erste stumpfere d. Fig. 139.

138



139



<p>o = a : a : c</p> <p>o_{1/2} = a : a : 1/2c</p>	<p>d = a : c : ∞ a</p> <p>d_{1/2} = 2a : c : ∞ a</p> <p>p = a : a : ∞ c</p>
--	---

		Berechnet.	Beobachtet.		
			R.	Schabus.	
o	}	2 A — 101° 46'	101° 30'	101° 39'	
		2 C — 126 20			
		α — 35 36			
o/2	}	2 A — 134 14		134 1	
		2 C — 66 44			
		α — 65 2			
d	}	2 A — 109 48			
		2 C — 108 48			
		α — 45 21			
d/2	}	2 A — 132 14	132 0		
		2 C — 69 52			
		α — 63 43			
o	:	o über c	—	53 40	53 41
o/2	:	o/2	„ „	— 113 16	
d	:	d	„ „	— 71 12	
d/2	:	d/2	„ „	— 110 8	
o	:	p		—	*153 10
o/2	:	p		— 123 22	123 0
o	:	o/2		— 150 12	150 10
o	:	d		— 140 53	140 50
p	:	d		— 125 6	
p	:	d/2		— 113 53	

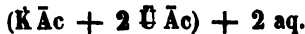
Das Prisma ist gewöhnlich durch Ausdehnung einer Fläche breit tafelförmig.

Sehr vollkommen spaltbar nach p.

Schwach dichromatisch.

Schabus: S. 23.

Essigsäures Uranoxyd-Kali. (S. 298.)



Schabus beobachtete untergeordnet das zweifach stumpfere Oktaeder $o/2 = a : a : 1/2c$.

Er fand

o	}	2 A — 103° 28'
		2 C — 122 17
o	:	p — 151 8
o	:	o/2 — 161 4,5

Die Flächen des Hauptoktaeders sind vollkommen glatt; p ist zart gestreift parallel den Kanten mit o.

Spaltbar sehr vollkommen nach p, unvollkommen nach der Endfläche c.

S. 25.

Essigsäure Uranoxyd-Talkerde.



Zweigliedrig. $a : b : c = 0,7399 : 1 : 0,5146. R.$

Breite sechsseitige Prismen, bestehend aus dem rhombischen Prisma p mit starker Abstumpfung der scharfen Seitenkanten b . In der Endigung eine auf p gerade aufgesetzte vierflächige Zuspitzung durch das Rhombenoktaeder o , dessen stumpfere Endkanten durch das dritte Paar r abgestumpft sind.

$$\begin{array}{l} o = a : b : c \quad p = a : b : \infty c \quad b = b : \infty a : \infty c \\ \quad \quad \quad \quad r = a : c : \infty b \end{array}$$

An dem Hauptoktaeder o ist:

$$2 A = 134^\circ 12'; \quad 2 B = 116^\circ 32'; \quad 2 C = 81^\circ 44'.$$

	Berechnet.	Beobachtet.
$p : p \text{ an } a$	= $107^\circ 0'$	
$- b$	= $73 \quad 0$	$73^\circ 0'$
$p : b$	=	* $126 \quad 30$
$r : r \text{ an } c$	= $110 \quad 22$	
$- a$	= $69 \quad 38$	
$o : b$	=	* $112 \quad 54$
$o : p$	= $130 \quad 52$	

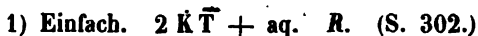
Die Krystalle sind sehr klein, platt nadelförmig, die Oktaederflächen unsymmetrisch und nicht immer vollzählig; r bildet ganz schmale Abstumpfungen.

Weinsteinsäure.

Die gewöhnliche und die aus Traubensäure erhaltene Rechtsweinsteinsäure, welche für sich und in ihren Salzen optisch rechtsdrehend ist, zeigt in letzteren stets linke Hemiedrie. Die in optischer Beziehung entgegengesetzte Linkswinsteinsäure bildet dagegen Salze, deren hemiedrische Flächen rechts liegen.

Hiernach sind mehrere Angaben des Handbuches zu berichtigen, die aus den Angaben *Pastours* entnommen sind, welcher, um den optischen und krystallographischen Charakter gleichnamig zu erhalten, die Krystalle in der ungewöhnlichen Art betrachtet hat, dass er die Endpunkte der Axe a , und nicht der Axe b , als rechts und links ansah.

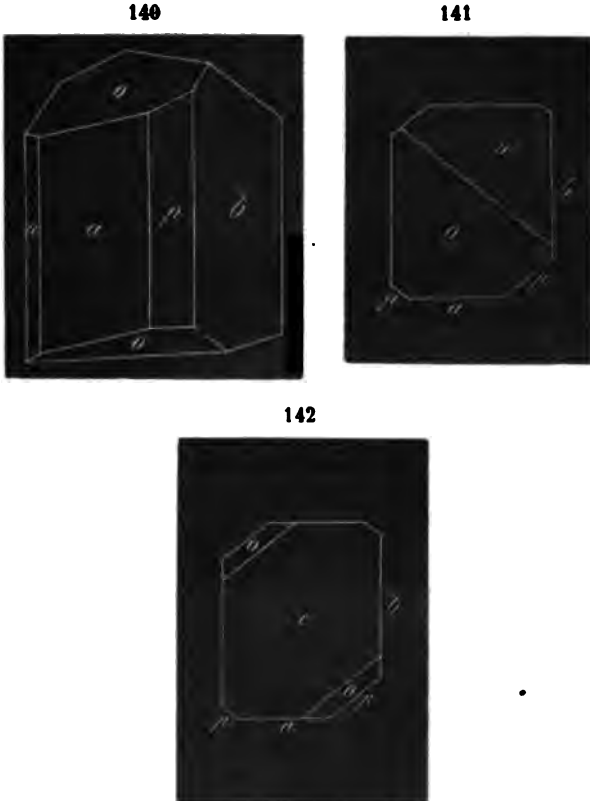
Weinsteinsaures Kali.



Zweigliedrig. $a : b : c = 0,7719 : 1 : 0,2505. R.$

Rhombische Prismen p mit Abstumpfung der Kanten durch die Hexaidflächen a und b . Die Krystalle sind links-hemiedrisch und hemimorph, denn am oberen Ende (dem antilogen Pol nach *Haukel*) erscheinen zwei auf p gerade aufgesetzte Flächen eines Rhombenoktae-

ders o, am untern Ende herrscht die Endfläche c, und neben ihr erscheinen die beiden o, welche mit den oberen ein Rhombentetraeder bilden. Fig. 140. 141. 142.



$$o = a : b : c \quad p = a : b : \infty c \quad a = a : \infty b : \infty c$$

$$b = b : \infty a : \infty c$$

$$c = c : \infty a : \infty b$$

An dem Oktaeder:

$$2 A = 153^\circ 12'$$

$$2 B = 145 \quad 2$$

$$2 C = 44 \quad 35$$

Berechnet.

$$p : p \text{ an } a = 104^\circ 40'$$

$$- b = 75 \quad 20$$

$$p : a = -$$

an dem Tetraeder:

$$26^\circ 48'$$

$$34 \quad 58$$

$$135 \quad 25$$

Beobachtet.

R. *Hankel. Brooke. De la Prov.*

$$*142^\circ 20' \quad 143^\circ \quad 142^\circ 13' \quad 142^\circ 13'$$

	Berechnet.	Beobachtet.			
		R.	Hankel.	Brooke.	De la Prov.
p : b	= 127° 40'	127° 40'	127°	127° 17'	127° 17'
o : o an c	=	* 135 25	135		134 50
o : a	= 107 29	107 38	108		
o : b	= 103 24	103 40		103 40	103 35
o : c	= 157 42	158 0			
o : p	= 112 18	112 20	112 1/2		

Meine Beobachtungen, nach denen $a : b = 90^\circ$, bestätigen die Annahme *Hankels*, dass das System ein zweigliedriges sei.

Die Flächen a und b herrschen vor, p tritt untergeordnet auf, und von ihm fehlt oft die linksliegende Fläche allein oder sammt ihrer Parallelen. Seltener sind die Krystalle nach der Axe c verkürzt und tafelartig.

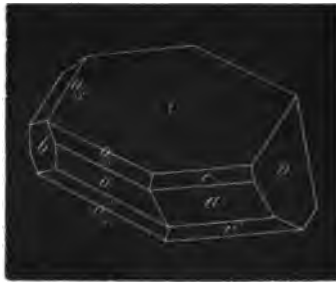
Spaltbar nach a und b.

Die Flächen sind ziemlich glatt, b ist immer glänzender als a.

Rammelsberg: Pogg. Ann. 96, 18.

Maignac sucht dagegen zu beweisen, dass die frühere Annahme, das Salz krystallisire zwei- und eingliedrig, die richtige sei. Er fand nämlich die Neigung der beiden Spaltungsflächen $= 90^\circ 50'$, sowie auch diejenige unseres p gegen eine derselben nach beiden Seiten hin nicht gleich gross. Fig. 143 stellt die von ihm beobachteten Krystalle dar.

143



o	= a : b : c	r	= a : c : ∞ b	a	= a : ∞ b : ∞ c
o'	= a' : b : c	r'	= a' : c : ∞ b	b	= b : ∞ a : ∞ c
o _{1/2}	= a : b : 1/2 c			c	= c : ∞ a : ∞ b.
o' _{1/2}	= a' : b : 1/2 c				

Es sind dann die Flächen

Fig. 143 (*Maignac*) Fig. 140 (R.)

o, o'	—	o
a	—	a
b	—	b
c	—	c
r, r'	—	r

Die von mir nicht beobachteten o'_3 und o''_3 würden $= a : \frac{1}{2}b : c$ sein.

Wie die Figur zeigt, herrscht Hemimorphismus, und zwar ist die rechte und linke Seite verschieden. Auf jener zeigt sich nur o , auf dieser entweder nur o' , oder auch o'_3 , o''_3 und b .

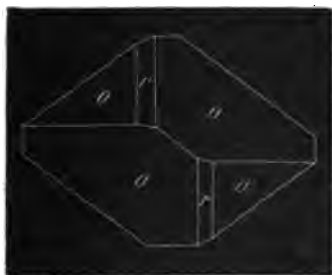
Die beobachteten Werthe (die von mir gefundenen in Parenthese beigefügt) sind:

a	:	c	=	90° 50'	(a : b = 90° 0')
a	:	r'	=	141 57	(a : p = 142 20)
r	:	c	=	128 15	} (b : p = 127 40)
r'	:	c	=	127 0	
o	:	c	=	104 0	} (o : b = 103 40)
o'	:	c	=	103 7	
o	:	a	=	107 52	} (o : a = 107 38)
o'	:	a	=	107 15	
o'	:	b	=	157 49	(o : c = 158 0)
o	:	o	=	134 52	} (o : o = 135 25)
o'	:	o'	=	135 41	
o	:	r	=	112 34	} (o : p = 112 20)
o'	:	r'	=	112 11	
o'_3	:	o_3	=	101 3	
o'_3	:	a	=	105 0	
o'_3	:	b	=	140 25	
o'_3	:	c	=	125 45	
o''_3	:	a	=	104 25	
o''_3	:	b	=	140 55	
o''_3	:	c	=	124 20	
o_3	:	o'_3	=	150 48	

2) Zweifach. $\overline{KT}^2 + aq$.

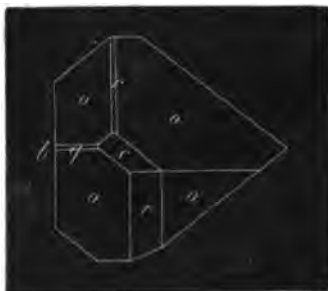
Ich beobachtete ziemlich grosse vollkommen durchsichtige Krystalle, Combinationen des Hauptoktaeders o mit dem dritten Paar r . Fig. 144. Oder mit der linken Fläche des zweiten Paares, der linken Hexaidfläche b und der Endfläche c . Fig. 145. Immer waren die Oktaederflächen an Grösse in der Art verschieden, dass sie zwei Tetraeder bildeten, von denen das linke vorherrschte.

144



Rammelsberg, kryst.-chem. Forsch.

145



$$c = c : \infty \cdot a : \infty \cdot b$$

Beobachtet.

$$o \left\{ \begin{array}{l} 2 A = 125^\circ 40' \\ 2 B = 100 \quad 30 \\ 2 C = 103 \quad 32 \\ o : b = 117 \quad 28 \\ o : r = 153 \quad 2 \end{array} \right.$$

Weinsteinsaures Ammoniak.

Einfach. $\text{Am}\bar{\text{T}}$. R. (S. 306.)

Zwei- und eingliedrig. $a : b : c = 1,1493 : 1 : 1,4291$
 $o = 87^\circ 35'$. R.

Epidotähnliche Combinationen, deren prismatischer Habitus durch die Flächen der Verticalzone bedingt wird. Diese letztern bilden ein Prisma $a r'$, dessen scharfe Kanten durch c schief abgestumpft sind. Ein zweites Paar q erscheint als Zuschärfung, auf c gerade aufgesetzt, und ein hinteres Augitpaar o' tritt in gleicher Art über r' auf. Fig. 146. 147.

146



147



$$o' = a' : b : c \quad q = b : c : \infty a \quad a = a : \infty b : \infty c$$

$$r' = a' : c : \infty b \quad c = c : \infty a : \infty b.$$

An dem aus o' und einem entsprechenden vorderen Augitpaar o bestehenden Hauptoktaeder ist

$$A = 95^\circ 10' \quad C = 109^\circ 0'$$

$$B = 97 \quad 30 \quad D = 124 \quad 21$$

Berechnet.

Beobachtet.

		R.	Neumann.	De la Prov.
$a : c$	=	*92° 25'	92° 26'	91° 51'
$r' : c$	=	*127 20	127 24	
$a' : r'$	=	140 12		140 29

	Berechnet.		R.		Beobachtet.	
					<i>Newmann.</i>	<i>De la Prov.</i>
q : q an c	=	70° 0'	70°	24'		
- b	=		*110	0	110° 40'	110° 10'
q : c	=	125 0	125	8		
q : a	=	91 23	91	30		
o' : r'	=	137 35	137	30		
o' : a'	=	124 35	124	50		
o' : c	=	116 35	116	52		
o' : q	=	144 2	144	11		

Nach *De la Provostaye* kommt auch das vordere Augitpaar o vor. (Hdbuch. Fig. 321.)

Nach *Pasteur* kommt o' nur am einen Ende der Axe b vor; ich habe es indessen zuweilen an beiden Enden beobachtet. Die Parallele von c fehlt bisweilen.

Spaltbar vollkommen nach c.

Rammelsberg: Pogg. Ann. 96, 18.

Weinsteinsaures Kali-Ammoniak.



Zweigliedrig. a : b : c = 0,7757 : 1 : 0,2487. R.

Isomorph mit dem Kalisalze, und von gleicher Form, nur fehlt die Endfläche c.

Am Oktaeder.		Am Tetraeder.			
2 A	= 153° 22'		26° 38'		
2 B	= 145 26		34 34		
2 C	= 44 10		135 50		
Berechnet.		Beobachtet.			
p : p an a	= 104° 24'				
- b	= 75 36				
p : a	=		*142° 12'		
p : b	= 127 48		127 55		
o : o an c	=		*135 50		
o : a	= 107 17		107 18		
o : b	= 103 19		103 25		
o : p	= 112 5		112 10		

Rammelsberg: Pogg. Ann. 96, 18.

Weinsteinsaures Natron. (S. 310.)

Einfach.

Schabus beobachtete ausser den angeführten Flächen auch das

¹⁾ Ich fand 2 At. Kali gegen 3 At. Ammoniak. Andere haben in dieser isomorphen Mischung gleiche Atome beider Basen gefunden.

zweite Paar q und das zweifach schärfere q^2 , sowie das zweifach schärfere r^2 des dritten. Fig. 148.

148



$a : b : c = 0,7789 : 1 : 0,3354$. *Schabus.*

$$\begin{aligned} q &= b : c : \infty a \\ q^2 &= b : 2c : \infty a \\ r^2 &= a : 2c : \infty b \end{aligned}$$

Für das Hauptoktaeder ist:

$2 A = 145^\circ 45'$; $2 B = 135^\circ 36'$; $2 C = 57^\circ 15'$.

	Berechnet.	Beobachtet.
$p : p \text{ an } a$	$= 104^\circ 10'$	$104^\circ 10'$
$- b$	$= 75 50$	$75 50,5$
$p : a$	$= 142 5$	
$p : b$	$=$	$*127 54,5$
$q : q \text{ an } c$	$= 142 55$	
$- b$	$= 37 5$	
$q : b$	$= 108 32,5$	$108 37$
$q^2 : q^2 \text{ an } c$	$= 112 17$	$112 14$
$- b$	$= 67 43$	
$q^2 : b$	$= 123 51,5$	$123 53$
$q^2 : q$	$= 164 41$	$164 40$
$r : r \text{ an } c$	$= 133 24$	
$- b$	$= 46 36$	
$r : a$	$=$	$*113 18$
$r^2 : r^2 \text{ an } c$	$= 98 32$	
$- a$	$= 81 28$	
$r^2 : a$	$= 130 44$	$130 47,5$
$r^2 : r$	$= 162 34$	$162 30,5$
$p : q$	$= 101 16$	
$p : q^2$	$= 110 1$	
$p : r$	$= 108 11$	
$p : r^2$	$= 120 59$	

	Berechnet.
$q : r$	= 150° 33'
$q : r^2$	= 135 55
$q^2 : r$	= 139 42
$q^2 : r^2$	= 128 0

Die Flächen sind glatt, nur p ist meist vertical gestreift.
Unvollkommen spaltbar nach p.

Schabus: S. 63.

Rechts-Weinsteinsaures Kali-Natron. (S. 311.)

Seignettesalz.

Zweigliedrig, links hemiedrisch. $a : b : c = 0,8317 : 1 : 0,4296$. R.

In der Horizontalzone erscheint neben p das zweifach stumpfere p^2 ($p/2$ des Handbuchs) und das zweifach schärfere Prisma p . Auch das auf a aufgesetzte dritte Paar r kommt vor. Ausserdem finden sich zwei Rhombenoktaeder, nämlich das Hauptoktaeder o, welches auf p, und ein anderes v, welches auf p^2 gerade aufgesetzt ist. Jenes fällt gleichfalls in die Diagonalzone von q und von r, dieses nur in die von q. Fig. 149.

Von o kommt stets nur das linke Tetraeder vor; v erscheint meistens als rechtes Tetraeder, doch findet es sich auch vollzählig. q^2 findet man nur auf der linken Seite. Fig. 150—53.

Die Flächen p, p^2 und b sind am meisten ausgebildet, q und q^2 fehlen oft, noch seltener ist r. Die Oktaederflächen treten nur unter noch nicht bekannten Bedingungen auf; an den gewöhnlichen grossen Krystallen fehlen sie.

Manche Krystalle erscheinen gleichsam als linke Hälften, nach der Axenebene ac; dies ist indessen nicht der Fall; die Flächen der rechten Hälfte sind nur sehr schmal und die rechte Fläche b ist herrschend.

Die Krystalle sind bald mit c, bald mit dem rechten b, bald mit

149



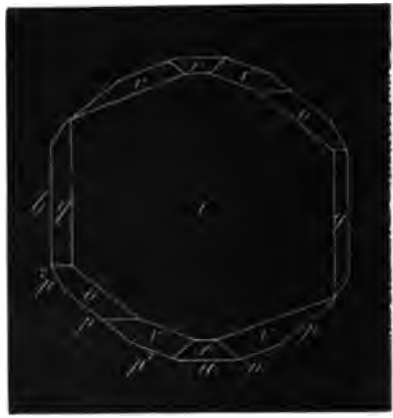
150



151



152



153



einer p-Fläche aufgewachsen. Ist das untere c frei, so wird die tetraedrische Hemiedrie der Oktaeder deutlich.

Die aus Anschüssen von traubensaurem Kali-Natron ausgesuchten Krystalle, welche sich optisch rechtsdrehend verhalten, sind in der That mit den ebenbeschriebenen des Seignettesalzes identisch. Auch sie zeigen das Hauptoktaeder o nur als linkes Tetraeder, während v theils rechts, theils vollzählig auftritt. Das dritte Paar r fehlt indessen.

$o = a : b : c$	$p = a : b : \infty c$	$a = a : \infty b : \infty c$
$v = \frac{1}{2}a : b : c$	$p^2 = a : 2b : \infty c$	$b = b : \infty a : \infty c$
	$^2p = 2a : b : \infty c$	$c = c : \infty a : \infty b.$
	$q = b : c : \infty a$	
	$q^2 = b : 2c : \infty a$	
	$r = a : c : \infty b$	

Die Kantenwinkel der beiden Oktaeder sind:

	o.	v.
2 A	— 138° 14'	146° 44'
2 B	— 129 14	93 0
2 C	— 67 48	96 24

		Berechnet.		Beobachtet.	
				A.	B. 1)
p : p	an a	— 100° 30'			100° 30'
	- b	— 97 30		79° 33'	
p : a		— 140 15			140 0
p : b		—		* 129 45	129 20
p ² : p ²	an a	— 134 50			135 0
	- b	— 45 10			
p ² : a		— 157 25	157 30		157 43
p ² : b		— 112 25	112 30		112 20
p : p ²		— 162 50	163 15		162 48
² p : ² p	an a	— 62 2			
	- b	— 117 58			
² p : a		— 121 1			120 43
² p : b		— 148 59	148 54		
p : ² p		— 160 46	160 50		160 42
p ² : ² p		— 143 36			143 38
q : q	an c	— 133 30			
	- b	— 46 30			
q : b		— 113 15	113 40		113 38
q : c		—	* 156 45		156 45
q ² : q ²	an c	— 98 40			
	- b	— 81 20			
q ² : b		— 130 40	131 5		
q ² : c		— 139 20	139 20		139 20
q : q ²		— 162 35	162 50		162 45
r : r	an a	— 54 38			
	- c	— 125 22			
r : a		— 117 19	117 10		
r : c		— 152 41	152 30		
p : q		— 104 37			
p : r		— 110 40			
q : r		— 144 43			
o : a		— 115 23			
o : b		— 110 53			
o : c		— 146 6	146 10		145 48
o : p		— 123 54	123 45		
o : q		— 154 37	154 30		
o : r		— 159 7			

1) A sind Messungen an gewöhnlichem Seignettesalz, B an Krystallen von traubensaurem Kali-Natron.

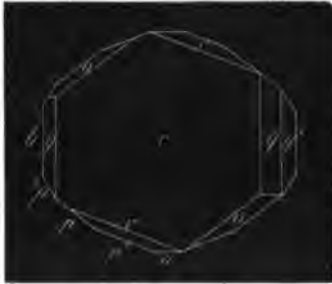
	Berechnet.	Beobachtet.	
		A.	B.
v : a	= 133° 30'		
v : b	= 106 38		
v : c	= 131 48	131° 30'	131° 30'
v : p ²	= 138 12	138 15	138 35
v : q	= 136 30		
v : o	= 161 53		

Links - weinsteinsaures Kali - Natron.

Isomorph mit dem vorigen.

Die aus Anschüssen von traubensaurem Kali-Natron ausgesuchten Krystalle, welche optisch links drehend sind, zeigen die Flächen des Seignettesalzes. Allein das Hauptoktaeder o erscheint stets als rechtes Tetraeder; v findet sich theils rechts, theils links. Fig. 154. 155.

154



155



Weinsteinsaures Ammoniak - Natron

a) Rechts-weinsteinsaures. (S. 313.)

Zweigliedrig. a : b : c = 0,8233 : 1 : 0,4200. R.

Isomorph mit dem Seignettesalz und von ganz gleicher Ausbildung. Die Krystalle, vermittelt gewöhnlicher Weinsteinsäure, und die aus einer Auflösung von traubensaurem Ammoniak-Natron erhaltenen optisch rechts-drehenden sind identisch. Das Hauptoktaeder o ist als linkes Tetraeder vorhanden; v gleichfalls als linkes Tetraeder oder vollflächig. Fig. 156. 157.

	o.	v.
2 A	= 138° 58'	147° 14'
2 B	= 129 36	93 32
2 C	= 66 56	95 40.

156



157



Berechnet.

Beobachtet.

A.

B. (Aus Traubensäure.)

p	:	p	an	a	=	101°	4'
		-	b		=	78	56
p	:	a			=	140	32
p	:	b			=		
p ²	:	p ²	an	a	=	135	16
		-	b		=	44	44
p ²	:	a			=	157	38
p ²	:	b			=	112	22
p	:	p ²			=	162	54
² p	:	² p	an	a	=	62	32
		-	b		=	117	28
² p	:	a			=	121	16
² p	:	b			=	148	44
p	:	² p			=	160	44
p ²	:	² p			=	143	38
q	:	q	an	b	=	45	34
		-	c		=	134	26
q	:	b			=	112	47
q	:	c			=	157	13
q ²	:	q ²	an	b	=	80	4
		-	c		=	99	56
q ²	:	b			=	130	2
q ²	:	c			=	139	58
q	:	q ²			=	162	45
r	:	r	an	a	=	54	4
		-	c		=	125	56
r	:	a			=	117	2
r	:	c			=	152	58
p	:	q			=	104	15
p	:	r			=	110	32
q	:	r			=	145	12

				140°	6'
*129°	28'			129	50
135	0			134	48
				157	15
112	45			112	40
162	37			162	50
148	50			149	18
112	50			113	30
157	12			156	30
130	22				
139	30				
162	30			162	47
				117	30
				152	30

	Berechnet.	Beobachtet.	
		A.	B. (Aus Traubensäure.)
o : a	= 115° 12'		
o : b	= 110 31		
o : c	=	* 146° 32'	145° 50'
o : p	= 123 28	123 25	124 10
o : q	= 154 48	155 0	154 45
o : r	= 159 29		
v : a	= 133 14		
v : b	= 106 23		
v : c	= 132 10	132 20	131 44
v : p ²	= 137 50	137 54	138 18
v : q	= 136 46		
v : o	= 161 58		

Sehr untergeordnet finden sich $\frac{1}{2}p = \frac{1}{2}a : b : \infty c$, ferner $q^{1/2} = b : \frac{1}{2}c : \infty a$ und anscheinend auch $a : 2b : c$.

b) Links-weinsteinsäures.

Die aus traubensäurem Ammoniak-Natron ausgesuchten Krystalle, welche optisch links drehend sich verhalten, zeigen rechte Hemiedrie in Bezug auf o, und gleichen ganz denen des links-weinsteinsäuren Kali-Natrons.

Rammelsberg: Pogg. Ann. 96, 28.

Weinsteinsäures Lithion.

Zweifach. $Li \bar{T}^3 + 3 aq.$

Zweigliedrig. $a : b : c = 0,5407 : 1 : 0,4320$. *Schabus.*

Rechtwinklig vierseitige Tafeln, Combination eines ersten Paares p und eines zweiten q mit der herrschenden Hexaidfläche b. Untergeordnet treten die Endfläche c und die zweifach schärferen Paare ²p und q² hinzu.

$$\begin{aligned}
 p &= a : b : \infty c & b &= b : \infty a : \infty c \\
 {}^2p &= 2a : b : \infty c & c &= c : \infty a : \infty b \\
 q &= b : c : \infty a \\
 q^2 &= b : 2c : \infty a
 \end{aligned}$$

An dem Hauptoktaeder, für welches p und q die zugehörigen Paare sind, ist

$$2 A = 142^\circ 42'; \quad 2 B = 107^\circ 30'; \quad 2 C = 84^\circ 30'.$$

	Berechnet.	Beobachtet.
p : p an a	=	* 123° 12'
- b	= 56° 48'	
p : b	= 118 24	118 12
² p : ² p an a	= 85 32	
- b	= 94 28	
² p : b	= 137 14	137 8
² p : p	= 161 10	

	Berechnet.	Beobachtet.
q : q an c	= 133° 16'	
- b	= 46 44	
q : c	= 156 38	
q : b	=	* 113° 22'
q ² : q ² an c	= 98 20	
- b	= 81 40	
q ² : c	= 139 10	
q ² : b	= 130 50	131 0
q ² : q	= 162 32	
p : q	= 100 52	
p : q ²	= 108 7	
² p : q	= 106 56	
² p : q ²	= 118 41	

An den sehr kleinen Krystallen ist b glatt, p zuweilen gebogen.
Spaltbar nach c.

Schabus: S 65.

Weinsteinsaures Manganoxydul-Kali.

Zusammensetzung unbekannt.

Zweigliedrig. a : b : c = 0,7283 : 1 : 0,7481. *Schabus.*

Combination eines Rhombenoktaeders o mit dem ersten und dritten zugehörigen Paar p und r und den Hexaidflächen a, b und c. Selten ist das zweite zugehörige Paar q und das dreifach schärfere ²p des ersten. Die Krystalle sind durch Vorherrschen von b tafelförmig; die Oktaederflächen untergeordnet. Fig. 158.

158



$$\begin{array}{lll}
 o = a : b : c & p = a : b : \infty c & a = a : \infty b : \infty c \\
 & {}^2p = 3a : b : \infty c & b = b : \infty a : \infty c \\
 & q = b : c : \infty a & c = c : \infty a : \infty b \\
 & r = a : c : \infty b &
 \end{array}$$

An o ist:

$$2 A = 124^\circ 54'; \quad 2 B = 101^\circ 8'; \quad 2 C = 103^\circ 36'.$$

	Berechnet.	Beobachtet.
p : p an a	= 107° 52'	
- b	= 72 8	
p : a	= 143 56	
p : b	=	* 126° 4'
² p : ² p an a	= 49 12	
- b	= 130 48	
² p : a	= 114 36	
² p : b	= 155 24	155 30
³ p : p	= 150 40	
q : q an c	= 106 24	106 0 approx.
- b	= 73 36	
q : c	= 143 12	
q : b	= 126 48	
r : r an c	=	* 88 28
- a	= 91 32	
r : c	= 134 14	134 20
r : a	= 135 46	
p : q	= 110 39	
p : r	= 125 24	
q : r	= 123 58	
o : a	= 129 26	
o : b	= 117 33	
o : c	= 128 12	
o : p	= 141 48	
o : q	= 140 34	
o : r	= 152 27	

Die Flächen o und q sind am seltensten, und es scheint, als ob o tetraedrisch aufträte. Die Krystalle sind sehr klein und daher nicht ganz genau messbar. Sie erscheinen nadel- und tafelförmig. p, ²p, b sind zuweilen gebogen.

Schubus: S. 67.

Traubensäure.

Im Folgenden ist die Berechnung (Hdbuch. S. 322) berichtigt, und sind eigene Messungen hinzugefügt.

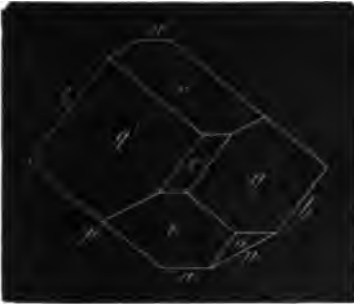
Eingliedrig. a : b : c = 0,8017 : 1 : 0,4911. *De la Prov:*

$$\begin{array}{ll}
 A = 77^\circ 33' & \alpha = 75^\circ 16' \\
 B = 90 42 & \beta = 97 59 \\
 C = 119 24 & \gamma = 120 22
 \end{array}$$

Eine Projection sämtlicher Flächen ist Fig. 159.

Die von mir untersuchten Krystalle waren rhomboidische Prismen bp' , an denen die scharfen Kanten durch a und p ungleich zugeschärft sind. In der Endigung liessen sich nur q' , r , r' beobachten, von denen die erstere immer vorherrscht. Fig. 160. 161.

159



160



161



Berechnet.

Beobachtet.

	Berechnet.	<i>De la Prov.</i>	<i>R.</i>
$a : b =$		*119° 24'	119° 35'
$a : p =$	153° 0'	152 54	152 50
$a : p' =$	129 51	129 51	129 51
$b : p =$	146 34	146 30	146 37
$b' : p' =$		*110 45	110 46
$p : p' =$	102 41		102 40
$b : c =$		*77 33	
$b : q =$	109 37		
$b' : q' =$	128 35		128 30
$c : q =$		*147 56	
$c : q' =$	153 50		
$q : q' =$	121 48		
$a : c =$		*90 42	
$a : r =$	124 57	123 32	123 20

Berechnet.	Beobachtet.	
	De la Prov.	R.
a' : r' = 124° 0'		
c : r = 145 45	145° 46'	
c : r' = 145 18		
r : r' = 111 3	111 57	111° 0'
p : c = 96 2		
p' : c = 101 43		
q : a = 106 11		
q' : a = 102 13		
r : b' = 95 43		95 30
r' : b' = 117 16		
o : a = 134 25	133 5	
o : b = 119 27		
o : c = 129 31		
o : p = 146 31		
o : q = 151 46		
o : r = 156 16	156 7	

Die Flächen p' fand ich gestreift, r rauh.

Rommelsberg: Pogg. Ann. 96, 28.

Citronensaures Ammoniak.

Dreifach. $\text{Am } \bar{\text{C}}^3 + \text{aq.}$

In der Fig. 340 (Hdbch. S. 339) setze man:

a statt b
p „ p'
b „ a'
q „ r'

Eingliedrig. a : b : c = 0,7144 : 1 : 1,2469. *Heuser.*

A = 73° 34'	$\alpha = 78° 58'$
B = 110 5	$\beta = 106 2$
C = 70 44	$\gamma = 75 1$

An dem eingliedrigen Hauptoktaeder ist die Neigung der Flächen in den Kanten

ac oder o : o' = 125° 40'
a'c „ o'' : o''' = 108 22
bc „ o : o'' = 74 47
b'c „ o' : o''' = 90 57
ab „ o : o''' = 122 6
ab' „ o' : o'' = 138 21.

Berechnet.	Beobachtet.	
a : b' =	*109° 16'	
a : p =	*139 21	
b : p = 111° 23'		
c : p = 98 15		
b' : c =	*106 26	

	Berechnet.	Beobachtet.
b : q	— 132° 22'	
c : q	—	*121° 12'
a : q	— 92 48	
a : c	—	*110 5.

Citronensaures Natron.

Mit 3 At. Wasser. $\text{Na}\bar{\text{C}} + 3 \text{ aq.}$ (S. 333.)

Schabus beobachtete ausser dem Rhombenoktaeder $o^{1/2}$ noch $o^{3/2}$, gerade aufgesetzt auf $p^{3/2}$.

$$o^{3/2} - a : 2/b : c$$

An $o^{3/2}$ ist:

$$2 A - 142^\circ 2'; \quad 2 B - 139^\circ 30'; \quad 2 C - 56^\circ 44'.$$

	Berechnet.	Beobachtet.
p : b	—	122° 10'
$p^{3/2} : b$	—	133 30
r : r	—	138 20
r : a	—	110 52
$o^{1/2} : o^{3/2}$	— (2 B)	145 30
$o^{1/2} : b$	—	124 0,5
$o^{3/2} : a$	— 110° 15'	
$o^{3/2} : b$	— 108 59	108 44
$o^{3/2} : p^{3/2}$	— 118 22	
$o^{3/2} : r$	— 161 1	

Die Flächen sind meist gestreift, die der Horizontalzone parallel der Zonenaxe.

Schabus: S. 58.

Itaconsäure. (S. 334.)



Zweigliedrig. a : b : c — 0,5900 : 1 : 1,2807. Schabus.

Schabus beobachtete statt a die Hexaidfläche b.

$$b - b : \infty a : \infty c.$$

	Berechnet.	Beobachtet.
o {	2 A — 123° 38'	123° 30'
	2 B — 73 38	73 35
	2 C —	*136 43
p : p an a	— 118 55	
- b	— 61 5	
p : b	—	*120 32,5
o : b	— 118 11	
o : c	— 111 39	
o : p	— 158 21.	

An den Krystallen aus wässriger Lösung herrscht das Oktaeder o,

zu welchem die Endfläche sehr untergeordnet hinzutritt. Die Krystalle aus alkoholischer Lösung haben ein prismatisches oder tafelfartiges Ansehen, indem c sich ausdehnt, p und b niedrige Prismen bilden, und o als Abstumpfung der Kanten p c erscheint.

Die Flächen b und c sind eben und glatt, o und p häufig gebogen, jenes besonders an Krystallen der ersten Art.

Vollkommen spaltbar nach b, unvollkommen nach p.

Schabus: S. 61.

Itaconanilsäure.



Zwei- und eingliedrig. $a : b : c = 0,5289 : 1 : 1,8940$
 $o = 72^\circ 29'$. Schabus.

Combinationsen des rhombischen Prismas p, der Abstumpfung der scharfen Seitenkanten b, des auf letztere aufgesetzten zweiten Paares q, eines vorderen Augitpaares o^2 und eines hinteren v.

$$\begin{aligned} o^2 &= a : b : 2c & p &= a : b : \infty c & b &= b : \infty a : \infty c \\ v &= a' : \frac{2}{3}b : \frac{1}{6}c & q &= b : c : \infty a \end{aligned}$$

An dem zum Grunde liegenden Hauptoktaeder $o = a : b : c$ und $o' = a' : b : c$ ist die Neigung der Flächen:

$$\begin{aligned} A &= 124^\circ 16' & C &= 59^\circ 40' \\ B &= 131 \quad 22 & D &= 150 \quad 35 \end{aligned}$$

	Berechnet.	Beobachtet.
p : p an a	=	*126° 28'
- b	= 53° 32'	
p : b	= 116 46	
q : q an c	= 57 56	
- b	= 122 4	
q : b	=	*151 2
p : q	=	*105 18
$o^2 : o^2$	= 128 42	
$o^2 : b$	= 115 39	121 28 (!)
$o^2 : p$	= 173 22	
v : v	= 131 20	128 51 (!)
v : b	= 114 20	

Die Krystalle sind feine Nadeln, die durch Vorherrschen von b oft tafelfartig werden. Die Flächen v sind glatt, o^2 , p und q oft gebogen, o^2 ausserdem gestreift parallel der Kante mit p.

Farblos, glasglänzend.

Schabus: S. 158.

Citrobianil.



Zwei- und eingliedrig. $a : b : c = 1,5425 : 1 : 1,5798$.
 $o = 83^\circ 19'$. Schabus.

Combinations des rhombischen Prismas p, der auf die scharfen Seitenkanten desselben gerade aufgesetzten basischen Endfläche c, des vorderen Augitpaars o und der beiden schiefen Endflächen 2r und ${}^2r'$. Durch Vorherrschen von c entstehen sechseckige Tafeln, deren Ränder durch o und p und durch 2r und ${}^2r'$ zugeschärft sind. Fig. 162.

162



$$\begin{aligned}
 o &= a : b : c & p &= a : b : \infty c & c &= c : \infty a : \infty b. \\
 {}^2r &= a : 2c : \infty b \\
 {}^2r' &= a' : 2c : \infty b
 \end{aligned}$$

Für das aus o und einem hinteren Augitpaar o' bestehende Hauptoktaeder ist:

A = 81° 14'	C = 122° 23'	
B = 87 54	D = 123 52	
	Beréchnet.	*Beobachtet.
p : p an a	= 66° 16'	
- b	=	*113° 44'
p : c	=	*93 39
2r : c	= 121 20	121 15
${}^2r'$: c	= 110 32	110 32
2r : ${}^2r'$ an c	= 51 52	
o : o	= 87 54	
o : c	=	*120 54
o : p	= 152 45	
2r : p	= 119 47	
${}^2r'$: p	= 119 5	

Die Krystalle bilden dünne Blättchen, deren Flächen gekrümmt sind, weshalb die Messungen zuweilen um 1—2° differiren.

Wenig spaltbar nach c.

Schabus : S. 156.

Propionsaurer Baryt.



Isomorph mit dem Kupfersalze.

Schabus hat gezeigt, dass die Messungen von *De la Provostaye* und *Nicklés* eine Isomorphie beider Salze im höchsten Grade wahrscheinlich machen.

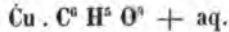
	<i>De la Prov.</i>	<i>Nicklés.</i>
p : p =	97° 30'	97° 30'
p : b =	131 15	131 30

Rammelsberg, kryst.-chem. Forsch.

	<i>De la Prov.</i>	<i>Nickles.</i>
q : c =	136° 4'	137° 0'
u.	136 32	
q : b =	133 0	
u.	133 35.	

De la Provostaye: Compt. rend. XXV. 781.
Schabus: S. 153.

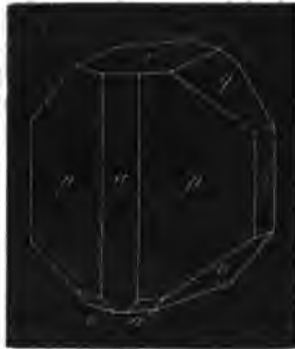
Propionsaures Kupferoxyd.



Zwei- und eingliedrig. a : b : c = 0,8739 : 1 : 0,8860.
 o = 85° 38'. *Schabus.*

Rhombische Prismen p mit Abstumpfung der stumpfen und scharfen Seitenkanten durch a und b, einer auf jene aufgesetzten schiefen (basischen) Endfläche c, einem zweiten Paar q aus deren Diagonalzone und einem hinteren Augitpaar o', welches die scharfen Kanten p c abstumpft. Fig. 163.

163



$o' = a' : b : c$	$p = a : b : \infty c$	$a = a : \infty b : \infty c$
	$q = b : c : \infty a$	$b = b : \infty a : \infty c$
		$c = c : \infty a : \infty b$

An dem Hauptoktaeder, welches aus o' und einem vorderen Augitpaar o = a : b : c bestehen würde, ist:

A = 114° 20'	C = 105° 34'
B = 118 14	D = 106 46

	Berechnet.	Beobachtet.
p : p an a =		*97° 51',5
- b =	82° 8',5	
p : a =	138 56	138 54
p : b =	131 4	131f 4
p : c =	=	*93 17,5

	Berechnet.	Beobachtet.
q : q an c	= 97° 5'	97° 5'
- b	= 82 55	
q : c	=	* 138 32,5
q : b	= 131 27,5	131 27,5
q : a	= 93 16	
a : c	= 94 22	
o' : a	= 125 9	
o' : b	= 122 50	
o' : c	= 124 30	124 32
o' : p	= 142 12,5	
o' : q	= 141 35	

Die Krystalle sind stets prismatisch, und p ist herrschend. Zuweilen nur dehnt sich eine Fläche von p mit ϵ 40 aus, dass die Krystalle nach der ersten Kantenzone prismatisch werden. Die Flächen a' und o' sind selten.

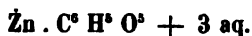
Die Flächen sind glatt und eben.

Unvollkommen spaltbar nach c.

Glasglänzend, schwach trichromatisch.

Schabus: S. 151.

Milchsaures Zinkoxyd.



Zweigliedrig. b : c = 1 : 0,2946. Schabus.

Rechtwinklig vierseitige Prismen aus den Hexaidflächen a und b, mit einer auf b gerade aufgesetzten Zuschärfung q, deren Kante zuweilen durch die Endfläche c abgestampft wird.

$$\begin{aligned} q &= b : c : \infty a & a &= a : \infty b : \infty c \\ & & b &= b : \infty a : \infty c \\ & & c &= c : \infty a : \infty b. \end{aligned}$$

	Berechnet.	Beobachtet.
q : q an c	= 147° 10'	147° 10'
- b	= 32 50	
q : b	=	* 106 25
q : c	= 163 35	

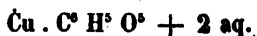
Die Krystalle sind sehr klein, nur an einem Ende ausgebildet. Sie könnten daher möglicherweise viergliedrig hemiedrisch sein. Schabus ist indess geneigt, sie wegen der Aehnlichkeit mit denen des Kupfersalzes für zweigliedrig zu halten.

Frühere Beobachtungen von C. Schmidt würden die Form dieses Salzes vollkommen bestimmen, wenn sich nachweisen liesse, dass sie an einem und demselben Krystall Geltung hätten.

Schabus: S. 51.

Schmidt: Krystallonom. Unters. S. 78.

Milchsaures Kupferoxyd.



Zweigliedrig. $a : b : c = 0,5673 : 1 : 0,3055$. *Schabus.*

Combinationsen eines rhombischen Prismas (ersten Paares) p mit starker Abstumpfung der scharfen Seitenkanten b, einer auf die stumpfen aufgesetzten Zuschärfung durch das dritte Paar r und eines Rhombenoktaeders $o^{1/2}$, welches in die Diagonalzone von r und zugleich mit p und dem anderen r in eine Zone fällt.

$$o^{1/2} = a : \frac{1}{2}b : c \quad p = a : b : \infty c \quad b = b : \infty a : \infty c$$

$$r = a : c : \infty b$$

Die Kantenwinkel des Hauptoktaeders $o = a : b : c$, für welches p und r zugehörige Paare sein würden, und des beobachteten sind:

	2 A.	2 B.	2 C.
o	$= 149^\circ 54'$	$125^\circ 30'$	$63^\circ 32'$
$o^{1/2}$	$= 123 \quad 26$	$130 \quad 38$	$78 \quad 18$
	Berechnet.		Beobachtet.
p : p an a	$= 120^\circ 52'$		
- b	$= 59 \quad 8$		
p : b	$=$		$* 119^\circ 34'$
r : r an c	$=$		$* 123 \quad 24$
- a	$= 56 \quad 36$		
r : pp	$= 118 \quad 18$		$118 \quad 0$
r : p	$= 114 \quad 21$		
$o^{1/2} : b$	$= 118 \quad 17$		$118 \quad 20$
$o^{1/2} : r$	$= 151 \quad 43$		

Die Krystalle sind sehr klein und unvollkommen ausgebildet, daher die Messungen nicht genau. Auf der hinteren Seite fehlen meistens beide Oktaederflächen, während auf der vorderen r vorherrscht, so dass auch hier ein $o^{1/2}$ sehr klein ist oder gleichfalls fehlt. Es ist daher durch fernere Beobachtungen zu ermitteln, ob sie etwa zwei- und eingliedrig sind.

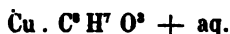
Trotz des ungleichen Wassergehaltes in diesem und dem Zinksalze stimmt die Form der Krystalle doch insofern nahe überein, als das Axenverhältniss $b : c$ fast ganz gleich ist.

Die Flächen b und r sind sehr oft, $o^{1/2}$ ist zuweilen gekrümmt. Durch Vorherrschen von b sind die Krystalle tafelförmig.

Spaltbar sehr vollkommen nach b.

Schabus: S. 52.

Buttersaures Kupferoxyd.



Eingliedrig. $a : b : c = 1,6421 : 1 : 1,8986$. *Schabus.*

A	$= 87^\circ 39'$	α	$= 88^\circ 55'$
B	$= 123 \quad 54$	β	$= 123 \quad 51$
C	$= 87 \quad 23$	γ	$= 88 \quad 25$

Die Krystalle sind rhomboidische Prismen pp' , deren scharfe Seitenkanten durch a , deren stumpfe durch b schief abgestumpft sind. In der Endigung herrscht die schiefe Endfläche c , aus deren Diagonalzone die Fläche q' vorhanden ist. Die vordere schiefe Endfläche r und die hintere r' fallen mit a und c in eine Zone. Die stumpfe Kante $p c$ stumpft die Fläche $o/2$ so ab, dass sie mit p' und r in eine Zone fällt, die scharfe dagegen $o'''/2$, welches mit p' , q' , r' eine Zone bildet. Fig. 164. 165.

Die Flächen a, b, c sind als eingliedriges Hexaid gewählt, so dass sie die Lage der Axenebenen, ihre Kanten die der Axen selbst bezeichnen.

164



165



$$\begin{array}{llll}
 o/2 & = & a : b : \frac{1}{2}c & p & = & a : b : \infty c & a & = & a : \infty b : \infty c \\
 o'''/2 & = & a' : b' : \frac{1}{2}c & p' & = & a : b' : \infty c & b & = & b : \infty a : \infty c \\
 & & & q' & = & b' : c : \infty a & c & = & c : \infty a : \infty b \\
 & & & r & = & a : c : \infty b & & & \\
 & & & r' & = & a' : c : \infty b & & &
 \end{array}$$

An dem eingliedrigen Hauptoktaeder o würde die Neigung der Flächen in den Kanten

ac	oder	$o : o' = 100^\circ 33'$
a'c	„	$o'' : o''' = 65 55$
bc	„	$o : o'' = 116 20$
b'c	„	$o' : o''' = 118 55$
ab	„	$o : o''' = 126 6$
ab'	„	$o' : o'' = 128 43$

	Berechnet.	Beobachtet.
$a : b'$	=	$*92^\circ 37'$
$a : p$	=	$124 40$
$a : p'$	=	$*127 56$
$b : p$	=	$142 52$

	Berechnet.	Beobachtet.
b' : p'	— 144° 41'	
p : p' an a	— 72 27	
p : c	— 107 40	107° 39'
p' : c	— 110 49	
b' : c	—	*92 21
b' : q'	— 148 19	148 19
c : q'	— 124 3	124 2
a : q'	— 109 21	
a : c	—	*123 54
a : r	—	*153 59
b' : r	— 92 49	
c : r	— 149 45	149 45
a' : r'	— 125 47	
b' : r'	— 90 40	
c : r'	— 110 19	110 15
r : r' an c	— 80 14	
o ₂ : a	— 134 7	
o ₂ : b	— 117 11	
o ₂ : c	— 144 45	144 43
o ₂ : p	— 142 55	142 54
o''' ₂ : a'	— 89 12	
o''' ₂ : b'	— 134 3	
o''' ₂ : c	— 127 57	127 50
o''' ₂ : p	— 124 23	124 31
o ₂ : o''' ₂ üb. c	— 92 42	

Ausserdem findet sich seltener und untergeordnet eine Oktaidfläche — $\frac{1}{2}a' : b' : \frac{1}{2}c$.

Meist Zwillinge. Zwillingsenebene ist p, worauf die Zwillingsaxe senkrecht steht.

Die Krystalle sind kurz prismatisch. Ihre Flächen sind eben und glatt.

Glasglänzend. Trichromatisch.

Schabus: S. 190.

Valeriansaures Kupferoxyd.



Zwei- und eingliedrig. a : b : c = 1,8715 : 1 : 2,0016
o = 57° 53'. Schabus.

Rhombische Prismen p mit Abstumpfung der stumpfen Seitenkanten b, einer auf die scharfen aufgesetzten vorderen (basischen) schiefen Endfläche c, einer hinteren r' und der zweifach stumpferen r₂'. Fig. 166.

$$\begin{aligned} p &= a : b : \infty c & b &= b : \infty a : \infty c \\ r' &= a' : c : \infty b & c &= c : \infty a : \infty b \\ r'_{2} &= 2a' : c : \infty b \end{aligned}$$



	Berechnet.	Beobachtet.
$p : p \text{ an } a$	$=$	$*64^{\circ} 30'$
$- b$	$= 115^{\circ} 30'$	
$p : b$	$= 147 45$	
$p : c$	$=$	$*106 29$
$p : r'$	$= 105 0$	
$p : r'/2$	$= 122 13$	
$c : r'$	$= 118 53$	
$c : r'/2$	$=$	$*150 0$
$r' : r'/2$	$= 148 53$	

Die Krystalle sind stets Zwillinge. Zwillingsene ist c, auf welcher die Zwillingsaxe senkrecht steht. Zuweilen Durchwachsungen. Fig. 167. 168.

167



168



Bernsteinsaures Natron. (S. 343.)

Zweifach. Mit 1 At. Wasser.

Ältere Messungen von *Brooke* scheinen sich auf dieses Salz zu beziehen. Die Krystalle stellten unsymmetrische sechsseitige Prismen dar, aus den Flächen M, T und K gebildet. Auf T waren zwei andere, h und P, aufgesetzt; auf P die Fläche b.

$$\begin{array}{ll}
 M : T = 117^\circ 6' & P : M = 128^\circ 0' \\
 T : K = 133 20 & P : b' = 99 30 \\
 P : T = 140 50 & M : b = 115 8 \\
 P : h = 169 55 & T : b = 108 7
 \end{array}$$

Brooke: Ann. of Phil. XXII. 286.

Benzoesaurer Kalk.



Zweigliedrig. $a : b : c = 0,6269 : 1 : 0,2949$. *Schabus*.

Combinations eines rhombischen Prismas p mit Abstumpfung der stumpfen Seitenkanten a und der scharfen b, und einer auf letztere aufgesetzten Zuschärfung durch ein zweites Paar q.

$$\begin{array}{ll}
 p = a : b : \infty c & a = a : \infty b : \infty c \\
 q = b : c : \infty a & b = b : \infty a : \infty c
 \end{array}$$

An dem Hauptoktaeder, für welches p und q zugehörige Paare sein würden, ist:

$$2 A = 150^\circ 6'; \quad 2 B = 131^\circ 24'; \quad 2 C = 58^\circ 6'.$$

	Berechnet.	Beobachtet.
p : p an a	= 115° 50'	
- b	= 64 10	
p : a	= 147 55	
p : b	=	* 122° 5'
q : q an c	= 147 8	
- b	= 32 52	
q : b	=	* 106 26
q : p	= 98 38	

Die Krystalle bilden sehr zarte Nadeln oder Blättchen durch Vorherrschen von b.

Beide q liessen sich nur an einem Krystalle wahrnehmen, und hier nur an einem Ende, wobei sich $q : b = 106^\circ 42'$ und $q' : b' = 106^\circ 10'$ fand, was auf zwei- und eingliedrige Formen deutet. Doch sind die Messungen überhaupt unsicher.

Spaltbar anscheinend rechtwinklig auf a und b.

Schabus: S. 55.

1) Die Krystalle verwittern, sind also wohl wasserhaltig.

Benzoesaures Phenyl oxyd.

(Benzoe-Phensäure.)



Zwei- und eingliedrig. $a : b = 0,8434 : 1$. *Dauber.*
 $\alpha = 78^\circ 46'$.

Rhombische Prismen p mit einer auf die stumpfen Kanten aufgesetzten schiefen Endfläche c .

$$p = a : b : \infty c \quad c = c : \infty a : \infty b.$$

Beobachtet.

$$p : p \text{ an } a = 100^\circ 48'$$

$$p : c = 98 \quad 38$$

Dauber: Ann. d. Chem. u. Pharm. 90, 192.

Mandelsäure.



Zweigliedrig. $a : b : c = 0,7673 : 1 : 0,8713$. *Heusser.*

Combinations dreier zusammengehöriger Paare p, q, r , der Hexaidfläche b , des zweifach stumpferen ersten Paares p^2 , und des zweifach stumpferen zweiten $q/2$. Die Krystalle sind rechtwinklig vierseitige Tafeln durch Ausdehnung von b , an denen die ersten und zweiten Paare Zuschärfungen der Ränder, das dritte Paar r Abstumpfungen der Ecken bildet. Fig. 169.



$$\begin{aligned}
 p &= a : b : \infty c & b &= b : \infty a : \infty c \\
 p^2 &= a : 2b : \infty c \\
 q &= b : c : \infty a \\
 q/2 &= 2b : c : \infty a \\
 r &= a : c : \infty b
 \end{aligned}$$

An dem Hauptoktaeder würde:

$$2 A = 120^\circ 8'; \quad 2 B = 98^\circ 52'; \quad 2 C = 110^\circ 8'.$$

	Berechnet.	Beobachtet.
p : p an a	= 105° 0'	
- b	= 75 0	
p : b	=	*127° 30'
p ² : p ² an a	= 138 2	
- b	= 41 58	
p ² : b	= 110 59	
p ² : p	= 163 29	
q : q an c	= 97 52	
- b	= 82 8	
q : b	=	*131 4
q _{1/2} : q _{1/2} an c	= 132 56	
- b	= 47 4	
q _{1/2} : b	= 113 82	113 0
q _{1/2} : q	= 162 28	
r : r an o	= 82 44	
- a	= 97 16	
p : q	= 113 34	
p : r	= 126 33	
q : r	= 119 53	

Anscheinend spaltbar nach b.

Hessner: Pogg. Ann. 94, 637.

Salicylsäure.



Zwei- und eingliedrig. a : b : c = 1,3631 : 1 : 0,4344
o = 49° 3'. *Maignac*.

Fast rechtwinklig rhombische Prismen p, mit Abstumpfung der scharfen Kanten a, auf welche die basische Endfläche c aufgesetzt ist, in deren Diagonalzone ein zweites Paar q erscheint, während die scharfen Kanten p c durch ein hinteres Augitpaar o' abgestumpft sind. Sehr untergeordnet tritt eine hintere schiefe Endfläche ²r' auf.

$$\begin{array}{l}
 o' = a' : b : c \quad p = a : b : \infty c \quad a = a : \infty b : \infty c \\
 \quad \quad \quad \quad q = b : c : \infty a \quad c = c : \infty a : \infty b. \\
 \quad \quad \quad \quad {}^2r' = a' : 2c : \infty b
 \end{array}$$

An dem Hauptoktaeder ist:

$$\begin{array}{ll}
 A = 136^\circ 42' & C = 107^\circ 59' \\
 B = 150 10 & D = 45 51
 \end{array}$$

	Berechnet.	Beobachtet.
p : p an a	=	*88° 20'
- b	= 91° 40'	
p : a	= 134 10	134 10

	Berechnet.	Beobachtet.
p : c	—	*117° 10'
a : c	— 130° 57'	131 4
a : r'	— 88 38	
c : r'	— 140 25	140 10
q : q an c	— 143 40	143 50
- b	— 36 20	
q : c	—	*161 50
o' : o'	— 136 42	136 40
o' : a	— 112 14	112 26
o' : c	— 152 46	152 54
o' : p	— 90 4	

Die Krystalle sind gewöhnlich nadelförmige stark verlängerte Prismen p mit der Endfläche c.

Salicylsaures Ammoniak.



Zwei- und eingliedrig. a : b : c = 0,7620 : 1 : 0,5931
o = 52° 56'. *Marignac.*

Rhombische Prismen p mit Abstumpfung der scharfen Seitenkanten b, der auf die stumpfen aufgesetzten basischen Endfläche c und dem hinteren Augitpaar o' aus der ersten Kantenzone. Die Krystalle sind in der Richtung der Axe b verkürzt, durch Ausdehnung der Fläche b tafelartig.

$$o' = a' : b : c \quad p = a : b : \infty c \quad b = b : \infty a : \infty c$$

$$c = c : \infty a : \infty b.$$

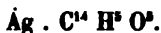
An dem Hauptoktaeder ist:

$$A = 119^\circ 50' \quad C = 113^\circ 9'$$

$$B = 146 56 \quad D = 83 48$$

	Berechnet.	Beobachtet.
p : p an a	—	*117° 24'
- b	— 62° 36'	
p : b	— 121 18	
p : c	—	*121 0
o' : o'	— 119 50	119 40
o' : b	— 120 5	
o' : c	—	*124 12
o' : p	— 114 48	

Salicylsaures Silberoxyd.



Aus der ammoniakalischen Auflösung des Salzes erhielt *Marignac* lange Prismen von 81° 44' mit einer auf die scharfen Kanten aufge-

setzten schiefen Endfläche, welche gegen die Prismenfläche unter $103^{\circ} 40'$ geneigt ist.

Zimmtsäure. (S. 346.)

Hier sind die früheren Messungen *G. Rose's* übersehen, welcher fand:

$$p : p \text{ an } a = 98^{\circ} 44' \text{ und } 97^{\circ} 0'$$

$$q : q \text{ an } c = 146 \quad 0$$

Auch die basische Endfläche *c* kommt zuweilen vor. Die Flächen *q* sind gestreift parallel ihren Kanten unter sich.

G. Rose: Ann. d. Pharm. 31, 269. 270. 274.

Zuckersaures Kali.

Zweifach. $K. 2 C^{\circ} H^{\circ} O^{\circ} + aq.$

Zweigliedrig. $a : b : c = 0,7893 : 1 : 0,4477.$ *Schabus.*

Combinationen zweier Paare *p* und *q*, und der Hexaidflächen *a* und *b*, welche die Kanten von *p* abstumpfen. Durch Vorherrschen von *a* breite achtseitige Prismen, auf deren schmale Flächen *b* die Zuschärfung *q* aufgesetzt ist.

$$p = a : b : \infty c \quad a = a : \infty b : \infty c$$

$$q = b : c : \infty a \quad b = b : \infty a : \infty c$$

An dem Hauptoktaeder, für welches *p* das erste, *q* das zweite zugehörige Paar ist, würde:

$$2 A = 137^{\circ} 28'; \quad 2 B = 125^{\circ} 16'; \quad 2 C = 71^{\circ} 42'.$$

	Berechnet.	Beobachtet.
$p : p \text{ an } a = 103^{\circ} 26'$		
$- b = 76 \quad 34$		$76^{\circ} 34'$
$p : a =$		* 141 43
$p : b = 128 \quad 17$		
$q : q \text{ an } c =$		* 131 46
$- b = 48 \quad 14$		
$q : b = 114 \quad 7$		114 0
$q : p = 104 \quad 40.$		

Die Krystalle bilden meist dünne Tafeln und sind sehr klein. Ihre Flächen sind sehr glänzend und glatt, nur *a* ist zuweilen gekrümmt.

Sehr gut spaltbar nach *a*.

Glasglanz, auf *b* perlmutterartig.

Schabus: S. 56.

Stickstoffhaltige Säuren.

Cyanursäure.

Hydrat. $C^{\circ} N^{\circ} H. O^{\circ} + 2 H + 4 aq.$

Zwei- und eingliedrig. $a : b : c = 1,3138 : 1 : 1,7456$
 $o = 73^{\circ} 48'.$ *Schabus.*

Rhombische Prismen p, mit Abstumpfung der scharfen Seitenkanten a, einer auf diese aufgesetzten (basischen) schiefen Endfläche c, einer vorderen schiefen Endfläche r, der zweifach stumpferen $r/2$, selten einer noch stumpferen $r/6$.

$$\begin{aligned} p &= a : b : \infty c & a &= a : \infty b : \infty c. \\ r &= a : c : \infty b & c &= c : \infty a : \infty b. \\ r/2 &= 2a : c : \infty b \\ r/6 &= 6a : c : \infty b \end{aligned}$$

An dem zum Grunde liegenden zwei- und eingliedigen Hauptoktaeder würde

$$\begin{aligned} A &= 80^\circ 38' & C &= 111^\circ 43' \\ B &= 96 20 & D &= 130 19. \end{aligned}$$

	Berechnet.	Beobachtet.
p : p an a	=	*76° 48'
- b	= 103° 12'	
p : a	= 128 24	
p : c	= 99 59	100 2
a : c	=	*106 12
a : r	= 149 9	
a : $r/2$	= 134 29	
a : $r/6$	= 117 31	
c : r	=	*137 3
c : $r/2$	= 151 43	151 30
c : $r/6$	= 168 41	167 30 ungef.
r : $r/2$	= 165 20	
r : $r/6$	= 148 22	
$r/2$: $r/6$	= 163 2.	

Meistens Zwillinge. Zwei Individuen verwachsen nach einer auf r oder die Kante ac senkrechten Ebene (welche eine hintere schiefe Endfläche $= a' : 2/ac : \infty b$ ist), während die Zwillingeaxe jener Kante parallel ist.

Die Krystalle sind prismatisch nach p oder tafelartig durch Vorherrschen von c. An den letzteren sind die Flächen p und c meist uneben, a, r, $r/2$ sehr klein, aber glatt.

Ausgezeichnet spaltbar nach r, weniger nach c.

Schabus: S. 142.

Fulminursaures Kali.



Zwei- und eingliedrig. a : b : c = 1,8704 : 1 : 2,3113
o = 83° 32'. R.

Combinationen eines rhombischen Prismas p mit Abstumpfung der scharfen Kanten a, der auf diese aufgesetzten basischen schiefen Endfläche c, der vorderen schiefen Endfläche r und der hinteren r' . Die

stumpfen Kanten p c sind ausserdem abgestumpft durch ein vorderes Augitpaar o².

Die Krystalle sind prismatisch durch Ausdehnung der Flächen der Verticalzone.

Die unsymmetrischen Prismen werden oft nur von c und r' gebildet, deren scharfe Kanten durch a schief abgestumpft werden. In der Endigung dieser Prismen beobachtet man zuweilen die beiden Flächen p, welche eine auf a gerade aufgesetzte Zuschärfung bilden. Meist treten aber auch noch die beiden o² hinzu, von denen das eine viel ausgehnter als das andere zu sein pflegt. Fig. 170. 171. 172.

170



171



172



$$\begin{aligned}
 o^2 &= a : b : 2c & p &= a : b : \infty c & a &= a : \infty b : \infty c \\
 & & r &= a : c : \infty b & c &= c : \infty a : \infty b \\
 & & r' &= a' : c : \infty b & &
 \end{aligned}$$

An dem zum Grunde liegenden zwei- und eingliedrigen Hauptoktaeder ist

$$\begin{aligned}
 A &= 66^\circ 16' & C &= 120^\circ 45' \\
 B &= 72^\circ 12' & D &= 138^\circ 4'
 \end{aligned}$$

Berechnet.

Beobachtet.

	Berechnet.	R.	Gadolin.
p : p an a	= 56° 34'		56° 30'
- b	=	*123° 26'	
p : a	= 118 17	118 18	118 15
p : c	= 93 4	93 15	93 10
a : c	=	*96 28	96 42
a : r	= 143 37	143 38	
a' : r'	= 138 30	138 40	

Berechnet.		Beobachtet.	
		R.	Gadolín.
c : r	= 132° 51'	132° 50'	133° 5'
c : r'	=	*125 2	125 0
r : r' an a	= 102 7	101 56	
- c	= 77 53		
p : r	= 112 25	112 40	112 24
p : r'	= 110 47	110 28	110 42
o ² : o ² üb. c/r	= 62 10		
o ² : a	= 118 50		
o ² : c	= 103 47	103 55	
o ² : p	= 169 17	169 26	169 10.

Die Krystalle sind durchsichtig, farblos und glattflächig, und zeigen starkes Lichtbrechungs- und Zerstreuungsvermögen.

Sehr vollkommen spaltbar nach c.

Gadolín: Bull. de l'Acad. de Petersb. J. f. pr. Chem. 66, 369.

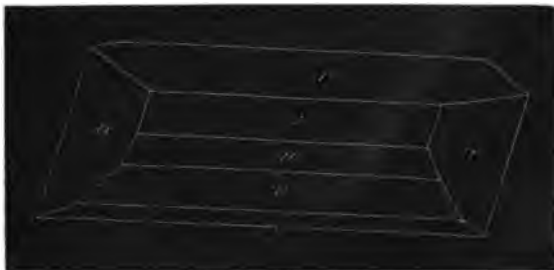
Rood: (Optisches Verhalten) Ann. d. Chem. u. Pharm. 95, 291.

Fuhrinersaures Ammoniak.



Zwei- und eingliedrig. a : b : c = 1,8205 : 1 : 2,4015
o = 79° 6'. R.

Die Krystalle sind, ähnlich denen des Kalisalzes, mit welchen sie isomorph sind, unsymmetrische Prismen, gebildet durch die Flächen der Verticalzone, nämlich die Hexaidflächen a und c und schiefen Endflächen r, r', r'₃. In der Endigung dieser Prismen findet sich oft nur eine Zuschärfung o, welche auf r gerade aufgesetzt, und ein vorderes Augitpaar ist. Meistens bemerkt man noch einige sehr kleine Flächen, welche von c aus aufgesetzt sind. (Gadolín fand darunter eine Fläche s, welche nach seiner Auffassung der Krystalle = b : ²/3c : ∞ a ist). Fig. 173. 174.





$$\begin{aligned}
 o = a : b : c & \quad r = a : c : \infty b & \quad a = a : \infty b : \infty c \\
 & \quad r' = a' : c : \infty b & \quad c = c : \infty a : \infty b. \\
 & \quad r'/3 = a' : 1/3c : \infty b
 \end{aligned}$$

An dem aus o und einem entsprechenden hinteren Augitpaar bestehenden Hauptoktaeder ist:

$$\begin{aligned}
 A &= 64^\circ 50' & C &= 121^\circ 47' \\
 B &= 74 \quad 42 & D &= 139 \quad 29
 \end{aligned}$$

Berechnet.		Beobachtet.	
		R.	Gadolin.
a : c	= 100° 54'	100° 45'	
a : r	=	*146 56	
a' : r'	=	*139 0	139° 0'
c : r	= 133 58	133 53	
c : r'	= 120 6	120 6	120 40
r : r' an a	= 105 56	105 55	106 0
- b	= 74 4	74 6	
a' : r'/3	= 104 19		104 10
c : r'/3	= 154 47	154 45	
r' : r'/3	= 145 19		
o : o an b	=	*105 18	105 13
o : a	= 122 37		
o : c	= 114 55		
o : r	= 127 21		

Die Krystalle haben im Uebrigen die Eigenschaften derer des Kalisalzes.

Gadolin: S. oben.

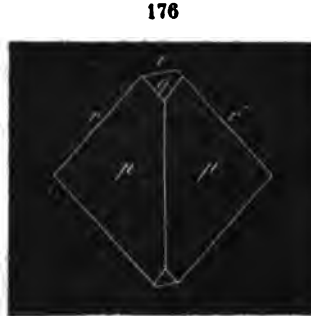
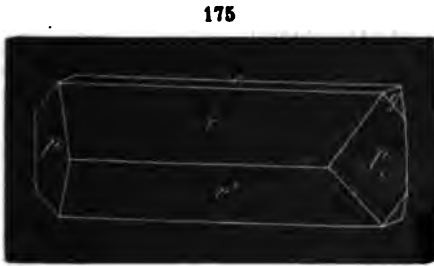
Fulminursaurer Baryt.



$$\begin{aligned}
 \text{Zwei- und eingliedrig. } a : b : c &= 2,032 : 1 : 2,348 \\
 o &= 72^\circ 27' \quad R.
 \end{aligned}$$

Ein zwei- und eingliedriges Dodekaid, bestehend aus dem ersten Paar p, dem zweiten q und dem dritten rr', nebst der Hexaidfläche c. Durch Vorherrschen der Verticalzone bilden die Krystalle rhombische Prismen rr', deren scharfe Kanten durch c schief abgestumpft sind.

In der Endigung erscheinen die p als herrschende Zuschärfung; untergeordnet treten in gleicher Art die q auf, welche auf c gerade aufgesetzt sind. Fig. 175. 176.



$$\begin{aligned}
 p &= a : b : \infty c & c &= c : \infty a : \infty b. \\
 q &= b : c : \infty a \\
 r &= a : c : \infty b \\
 r' &= a' : c : \infty b
 \end{aligned}$$

An dem zwei- und eingliedrigen Hauptoktaeder, für welches p, q, r die drei zugehörigen Paare sind, ist:

$$\begin{aligned}
 A &= 59^\circ 32' & C &= 129^\circ 45' \\
 B &= 75 \quad 46 & D &= 136 \quad 59.
 \end{aligned}$$

	Berechnet.	Beobachtet.
p : p an a	= 54° 36'	54° 35'
- b	=	*125 24
p : c	= 97 57	98 5
q : q an c	= 48 0	48 0
- b	= 132 0	132 10
q : c	=	*114 0
r : r' an a	= 98 39	98 34
- c	= 81 21	81 36
r : c	=	*140 45
r' : c	=	*120 36
p : r	= 112 34	112 20
p' : r'	= 107 49	
q : r	= 108 22	
q : r'	= 101 57	102 6

Die Krystalle sind farblos, durchsichtig bis durchscheinend, mit einer Fläche r' aufgewachsen, sonst vollständig ausgebildet. Die Flächen p, q, r, r' sind glänzend, c ist etwas matt.

Sie besitzen gleich denen des Kali- und Ammoniaksalzes starkes Lichtbrechungs- und Zerstreuungsvermögen.

Fulminursaurer Strontian.

Zwei- und eingliedrig. $a : b : c = 2,718 : 1 : 3,458$
 $o = 82^\circ 50'$. *R.*

Zwei- und eingliedrige Oktaeder oo' , mit starker Abstumpfung der Endecken durch die Hexaidfläche c , und schwacher Abstumpfung der schärferen Seitenecken durch die Hexaidfläche a .

Die kleinen Krystalle erscheinen als rhombische Tafeln, deren Ränder durch o und o' ungleich zugeschärft, und deren schärfere Ecken durch a schief abgestumpft sind.

$$o = a : b : c \quad a = a : \infty b : \infty c$$

$$o' = a' : b : c \quad c = c : \infty a : \infty b$$

	Berechnet.	Beobachtet.
o, o'	A = $47^\circ 42'$	
	B =	$*53^\circ 4'$
	C = 140 49	
	D = 149 28	150 ungef.
$a : c =$		$*97 10$
$o : a = 111 22$		111 20
$o : c =$		$*107 35$
$o' : a = 107 49$		107 45
$o' : c = 102 57$		102 20

Parabansäure.



Zwei- und eingliedrig. $a : b : c = 0,7331 : 1 : 1,1030$
 $o = 81^\circ 39'$. *Schabus.*

Zwei- und eingliedrige Oktaeder, bestehend aus den Augitpaaren o und o' mit der Abstumpfung der stumpferen Endkanten durch die beiden schiefen Endflächen r und r' , und den Hexaidflächen b und c . Fig. 177.

177



$$o = a : b : c \quad r = a : c : \infty b \quad b = b : \infty a : \infty c$$

$$o' = a' : b : c \quad r' = a' : c : \infty b \quad c = c : \infty a : \infty b.$$

	Berechnet.	Beobachtet.
o, o' }	A = 114° 2'	120° 52',5
	B = 120 52	
	C = 89 3	
	D = 123 37	
r : c	=	*129 18
r' : c	= 117 42	
r : r' an c	=	*67 0
o : b	=	*119 34
o : c	= 123 26	123 30
o : r	= 150 26	150 30
o' : b	= 122 59	
o' : c	= 112 57	
o' : r'	= 147 1	

Häufig sind die Krystalle durch Ausdehnung der Verticalzone r, r', c prismatisch; seltener tafelförmig durch Vorherrschen zweier Flächen o', oder oktaedrisch.

Die Flächen sind eben, nur o' ist bisweilen gebogen.

Spaltbar sehr vollkommen nach b.

Diamantartiger Glasglanz.

Schabus: S. 163.

Tolursäure. ¹⁾



Zweigliedrig. a : b : c = 0,7455 : 1 : 0,4641. *Kefenstein.*

Rhombische Prismen p mit starker Abstumpfung der scharfen Kanten b, dem auf diese aufgesetzten zweiten Paar q oder der Endfläche c.

$$p = a : b : \infty c \quad b = b : \infty a : \infty c$$

$$q = b : c : \infty a \quad c = c : \infty a : \infty b.$$

An dem Hauptoktaeder ist:

$$2 A = 137^\circ 0'; \quad 2 B = 121^\circ 5'; \quad 2 C = 75^\circ 40'.$$

	Berechnet.	Beobachtet.
p : p an a	=	*106° 36'
- b	= 73° 24'	
p : b	= 126 42	126 50
q : q an c	=	*130 12
- b	= 49 48	
q : c	= 155 6	
q : b	= 114 54	114 59
q : p	= 104 34.	

1) Eine aus Toluylsäure im Organismus entstehende und im Harn sich findende Säure.

Tafelartig durch Ausdehnung der Fläche b; zuweilen findet sich das Prisma p nur auf einer Seite ausgebildet.

Keferstein: Ann. d. Chem. u. Pharm. 98, 361.

Styphninsaures Ammoniak.

Oxypikrins. Ammoniak. $\text{Am} . \text{C}^{12} \text{H}^2 \text{N}^3 \text{O}^{15} + 2 \text{ aq.}$

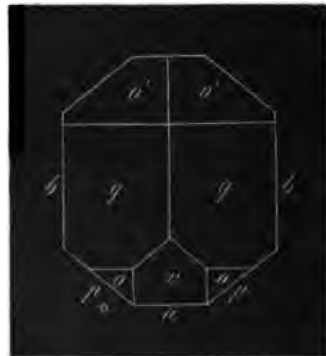
Zwei- und eingliedrig. $a : b : c = 0,7945 : 1 : 0,4784.$
 $\alpha = 76^\circ 52'.$ *Schabus.*

Combinationsen eines zwei- und eingliedrigen Oktaeders oder der beiden Augitpaare o und o' mit dem ersten und zweiten zugehörigen Paar p und q und der vorderen Hälfte r des dritten, so wie mit den Hexaidflächen a und b. Das rhombische Prisma p ist in den stumpfen Kanten durch a, in den scharfen durch b abgestumpft; q bildet an der Endigung die herrschende Zuschärfung, und r erscheint als vordere schiefe Endfläche, welche die Kante o o abstumpft. Fig. 178. 179.

178



179



$$\begin{aligned} o &= a : b : c & p &= a : b : \infty c & a &= a : \infty b : \infty c \\ o' &= a' : b : c & q &= b : c : \infty a & b &= b : \infty a : \infty c \\ & & r &= a : c : \infty b & & \end{aligned}$$

An dem Hauptoktaeder ist:

$$\begin{aligned} A &= 131^\circ 52' & C &= 123^\circ 19' \\ B &= 139 58 & D &= 74 20 \end{aligned}$$

	Berechnet.	Beobachtet.
p : p an a	= 104° 32'	104° 30'
- b	= 75 28	
p : a	= 142 16	

	Berechnet.	Beobachtet.
p : b	= 127° 44'	
q : q an c	=	*130° 2'
- b	= 49 58	
q : b	= 114 59	
q : a	= 101 53	
r : a	=	*130 25
r : p	= 120 51	
r : q	=	*143 40
o : a	= 127 32	
o : b	= 110 1	
o : p	= 133 43	
o : q	= 154 21	153 30
o : r	= 159 59	
o' : a	= 109 9	
o' : b	= 114 4	
o' : p	= 120 37	
o' : q	= 148 58	

Die Krystalle sind prismatisch nach der Horizontalzone, in welcher b vorherrscht; o' ist selten, auch o fehlt zuweilen.

Die Flächen sind eben, nur p ist gebogen.

Spaltbar nach a.

Gelb, mit blauer Oberflächenfarbe; trichromatisch; von zum Theil diamantähnlichem Glasglanz.

Schabus: S. 160.

Styphninsaures Kupferoxyd - Ammoniak.



Eingliedrig. a : b : c = 1,3441 : 1 : 1,4085. Schabus.

A = 73° 40'	α = 70° 51'
B = 108 32	β = 111 3
C = 95 10	γ = 101 22

Ein eingliedriges Hexaid a, b, c, an welchem die scharfe Kante b c durch die Fläche q, und die scharfe Kante a q durch o'' abgestumpft ist. Fig. 180.



$$o'' = a' : b : c \quad q = b : c : \infty a \quad a = a : \infty b : \infty c$$

$$b = b : \infty a : \infty c$$

$$c = c : \infty a : \infty b$$

Ergänzt man das eingliedrige Hauptoktaeder durch die fehlenden Flächen, so ist an ihm die Neigung

in den Kanten ac oder o	:	o'	=	101° 15'
a'c	„	o''	:	o''' = 82 0
bc	„	o	:	o'' = 110 26
b'c	„	o'	:	o''' = 123 44
ab	„	o	:	o''' = 120 30
ab'	„	o'	:	o'' = 118 33

	Berechnet.	Beobachtet.
a : b =		*95° 10'
b' : c =		*106 20
a : c =		*108 32
q : c =		*115 50
q : b =	137° 50'	
q : a =	107 53	
o'' : a =		*112 46
o'' : b =	131 2	
o'' : c =	101 50	
o'' : q =	139 21	

Die Krystalle sind tafelförmig durch Ausdehnung von a.

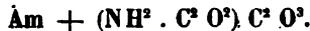
Zwillinge: Zwillingsebene ist a, worauf die Zwillingsaxe senkrecht steht.

Die Fläche a ist meist gebogen, und parallel den Kanten mit b zart gestreift, überhaupt sind die Flächen zur Messung mancher Winkel wenig geeignet.

Braun; trichromatisch.

Schabus: S. 194.

Oxaminsaures Ammoniak.



Zwei- und eingliedrig. a : b = 0,6489 : 1

o = 64° 23'. *Sénarmont.*

Combinationen eines rhombischen Prismas p, des zweifach schärferen ²p und der Hexaidfläche b, welche die scharfen Kanten von p, die stumpfen von ²p abstumpft, und einer schiefen Endfläche c, auf die stumpfen Kanten von p aufgesetzt.

$$p = a : b : \infty c \quad b = b : \infty a : \infty c$$

$$^2p = 2a : b : \infty c \quad c = c : \infty a : \infty b$$

	Berechnet.
p : p an a	= 119° 20'
- b	= 60 40

	Berechnet.	Beobachtet.
p : b	—	*120° 20'
p : c	—	*111 55
² p : ² p an a	— 81° 2'	
	- b — 98 58	
² p : b	— 139 29	139 30
² p : p	— 160 51.	

Privatmittheilung.

II. Amidverbindungen.

Oxamid.



Zwei- und eingliedrig. a : b : c = 0,7382 : 1 : 0,5604
o = 57° 15'. *Schabus.*

Rhombische Prismen p mit starker Abstumpfung der stumpfen Seitenkanten a, einer auf diese aufgesetzten (basischen) schiefen Endfläche c und einem hinteren Augitpaar o', welches die scharfen Kanten p c abstumpft, und auf p gerade aufgesetzt ist.

$$\begin{aligned} o' &= a' : b : c & p &= a : b : \infty c & a &= a : \infty b : \infty c \\ & & & & c &= c : \infty a : \infty b. \end{aligned}$$

An dem aus o' und einem entsprechenden vorderen Augitpaar o bestehenden Hauptoktaeder ist:

$$\begin{aligned} A &= 123^\circ 2' & C &= 113^\circ 48' \\ B &= 146 8 & D &= 82 46 \end{aligned}$$

	Berechnet.	Beobachtet.
p : p an a	— 116° 20'	
	- b — 63 40	
p : a	—	*148° 10'
p : c	— 117 22	117 22
a : c	—	*122 45
o' : a	—	*102 40
o' : c	— 126 36	
o' : p	— 116 2	

Zwillinge. Zwillingsebene ist a, worauf die Zwillingssaxe senkrecht steht.

Die Krystalle sind sehr klein, tafelartig nach a oder c. Die Flächen o' und c sind uneben, wenig glänzend, die Messungen daher nur annähernd.

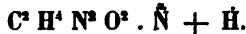
Schabus : S. 165.

Harnstoff. (S. 366.)

Schabus fand $o : p = 140^\circ 1'$, woraus $a : c = 1,1983 : 1 = 1 : 0,8345$ und für o' der Werth von $2 A = 114^\circ 24'$, von $2 C = 100^\circ 2'$ folgen würde.

Spaltbarkeit ist sehr vollkommen nach p , weniger nach c vorhanden.
Schabus: S. 28.

Salpetersaurer Harnstoff.



Zweigliedrig. $a : b : c = 0,5817 : 1 : 0,6724.$ *Marignac.*

Rhombenoktaeder o mit den Hexaidflächen a und b , welche letztere sich zu einem rechtwinklig vierseitigen Prisma ausdehnen, welches bald nach a , bald nach b dünn tafelförmig ist.

$$o = a : b : c \quad a = a : \infty b : \infty c$$

$$b = b : \infty a : \infty c$$

	Berechnet.	Beobachtet.
$o \left\{ \begin{array}{l} 2 A = \\ 2 B = \\ 2 C = 106^\circ 26' \end{array} \right.$		$* 132^\circ 30'$
$o : a = 133 \ 48$		$92 \ 24$
$o : b = 113 \ 45$		

Das Axenverhältniss und die Kantenwinkel des Oktaeders zeigen grosse Aehnlichkeit mit denen des Salpeters.

Stickstoffbenzid.



Zwei- und eingliedrig, $a : b : c = 2,1013 : 1 : 2,6172$
 $o = 67^\circ 19'.$ *Marignac.*

Zwei- und eingliedrige Oktaeder o, o' , mit den Hexaidflächen a und c , der hinteren schiefen Endfläche r' und der vorderen r .

Durch Vorherrschen von c sind die Krystalle dünne rhombische Tafeln, deren Ränder durch o und o' zugeschärft sind, und an deren scharfen Ecken die Flächen a, r und r' auftreten.

$$o = a : b : c \quad r = a : 2c : \infty b \quad a = a : \infty b : \infty c$$

$$o' = a' : b : c \quad r' = a' \cdot c : \infty b \quad c = c : \infty a : \infty b.$$

	Berechnet.	Beobachtet.
$o, o' \left\{ \begin{array}{l} A = \\ B = 75^\circ 38' \\ C = 129 \ 20 \\ D = 140 \ 2 \end{array} \right.$		$* 55^\circ 10'$
$a : c =$		$129 \ 30$
$a : r = 162 \ 13$		$* 112 \ 41$
$c : r = 130 \ 28$		$130 \ 20$
$a : r' = 132 \ 59$		

	Berechnet.	Beobachtet.
c : r'	= 114° 20'	114° 20'
² r : r' an c	= 64 48	
o : a	= 122 16	122 10
o : c	= 118 58	119 5
o' : a	= 108 24	108 20
o' : c	=	* 101 0
o' : r'	= 117 35	117 32

III. Organische Basen.

A. Sauerstofffreie.

Oxalsaures Anilin.



Eingliedrig. *Schabus*.

Rhomboidische Prismen p p' mit schiefer Abstumpfung der scharfen Seitenkanten b, und einer schiefen Endfläche c.

$$\begin{array}{l} p = a : b : \infty c \quad b = b : \infty a : \infty c \\ p' = a : b' : \infty c \quad c = c : \infty a : \infty b. \end{array}$$

Beobachtet.

$$\begin{array}{l} p : p' \text{ an } a = 99^\circ 10' \\ p : b = 132 20 \\ p' : b = 146 50 \\ b' : c = 100 40 \\ p : c = 98 56 \\ p' : c = 111 6. \end{array}$$

Die Flächen sind bis auf b glatt.

Aus Alkohol krystallisirt, erscheint das Salz in feinen schwach rothen Nadeln, von starkem Glasglanz, während aus Wasser grössere weisse Krystalle von perlmutterartigem Glasglanz erhalten werden.

Schabus: S. 196.

Dinitranilin.



Zwei- und eingliedrig. a : b : c = 0,9913 : 1 : 0,6985
o = 85° 1',5. *Schabus*.

Rechtwinklig vierseitige Prismen aus den Hexaidflächen a und b. Auf a ist die hintere schiefe Endfläche r', und auf die Kanten a b ist

die schiefe Zuschärfung durch das vordere Augitpaar o aufgesetzt. Die Krystalle bilden durch Ausdehnung von b stets dünne sechsseitige Tafeln, deren Ränder durch a und r' abgestumpft, durch o zugeschärft sind. Fig. 181.

181



$$o = a : b : c \quad r' = a' : c : \infty b \quad a = a : \infty b : \infty c$$

$$b = b : \infty a : \infty c$$

Ergänzt man zu o das hintere Augitpaar o', so ist an dem zwei- und eingliedrigen Hauptoktaeder:

A = 118° 2'	C = 119° 8'
B = 122 56	D = 83 55.
	Berechnet.
a : r' =	Beobachtet.
o : o = 122° 56'	* 122° 18'
o : a =	* 123 28
o : b =	* 118 32

Sehr vollkommen spaltbar nach a.
Grünlichgelb.

Die Messungen differiren innerhalb eines Grades.

Schabus: S. 169.

Thiosinnamin. (S. 374.)

Zwei- und eingliedrig. $a : b : c = 1,1281 : 1 : 1,6851$
 $o = 84° 48'$. Schabus.

Combinationsen eines vorderen Augitpaars o, der basischen Endfläche c, eines zweiten Paares q_2 aus der Diagonalzone von c, der hinteren schiefen Endfläche r' und der Hexaidfläche a. Die Flächen der Ver-

ticalzone a, c, r' bilden ein sechseitiges, durch Vorherrschen von c tafelartiges Prisma, an welchem o und q_{1/2} als vierflächige Zuspitzung erscheint. Fig. 182.



$$o = a : b : c \quad q'_{1/2} = 2b : c : \infty a \quad a = a : \infty b : \infty c$$

$$r' = a' : c : \infty b \quad c = c : \infty a : \infty b$$

Ergänzt man das hintere Augitpaar o' = a' : b : c, so ist an dem Hauptoktaeder o o':

$$A = 91^\circ 26' \quad C = 105^\circ 13'$$

$$B = 96 \ 14 \quad D = 132 \ 4$$

	Berechnet.	Beobachtet.
a : c	=	*95° 12'
r' : c	=	*120 10
r' : a	= 144° 38'	
q' _{1/2} : q' _{1/2} an c	= 100 0	
- b	= 80 0	
q' _{1/2} : c	=	*140 0
o : o	= 96 14	
o : a	= 129 4	
o : c	= 116 51	116 53

Zwillinge sind häufig, besonders an grösseren Krystallen. Zwillingsebene ist r', auf welcher die Zwillingsaxe senkrecht steht. Auch Durchwachsungen finden sich.

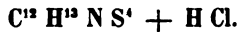
Die Krystalle, meist prismatisch in der Richtung der Axe b, sind seltener tafelartig durch Ausdehnung von c.

Spaltbar sehr vollkommen nach r' und c.

Glasglanz.

Schabus: S. 167.

Chlorwasserstoff-Thialdin.



Zweigliedrig. a : b : c = 0,9827 : 1 : 0,6432. R.

Rhombische Prismen p mit Abstumpfung der stumpfen Kanten a und der scharfen b, sowie einer auf letztere aufgesetzten Zuschärfung q.

$$p = a : b : \infty c \quad a = a : \infty b : \infty c$$

$$q = b : c : \infty a \quad b = b : \infty a : \infty c$$

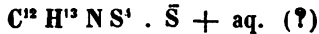
An dem Hauptoktaeder (dessen erstes zugehöriges Paar p, dessen zweites q ist) ist:

$$2 A = 123^\circ 26'; \quad 2 B = 122^\circ 20'; \quad 2 C = 85^\circ 6'.$$

	Berechnet.	Beobachtet.
p : p an a	= 91° 0'	91° 10'
- b	=	*89 0
p : a	= 135 30	135 ungef.
p : b	= 134 30	134 30
q : q an c	=	*114 30
- b	= 65 30	65 19
q : b	= 122 45	122 47
q : p	= 112 17	

An den allseitig ausgebildeten Krystallen ist die Fläche a herrschend; b fehlt zuweilen. Die Flächen p, q, b sind eben und glänzend, a ist matt und uneben.

Schwefelsaures Thialdin.



Zweigliedrig. a : b : c = 0,8214 : 1 : 0,6494. R.

Combinationen eines Rhombenoktaeders o mit dem ersten und zweiten zugehörigen Paar p und q, und den Hexaidflächen a und b.

Die Krystalle erscheinen als rhombische Prismen p mit starker Abstumpfung der scharfen Seitenkanten b, welche oft so vorherrscht, dass sie dünn tafelförmig werden. Die stumpfen Kanten sind durch a abgestumpft. In der Endigung vorherrschend die auf b aufgesetzte Zuschärfung q, und mehr untergeordnet die auf p gerade aufgesetzte vierflächige Zuspitzung o.

$$o = a : b : c \quad \begin{array}{l} p = a : b : \infty c \\ q = b : c : \infty a \end{array} \quad \begin{array}{l} a = a : \infty b : \infty c \\ b = b : \infty a : \infty c \end{array}$$

	Berechnet.	Beobachtet.
o	2 A = 126° 0'	126° 0'
	2 B = 112 54	112 50
	2 C = 91 20	91 0
p : p an a	= 101 12	101 5
- b	= 78 48	
p : a	= 140 36	
p : b	=	*129 24
q : q an c	= 114 0	114 12
- b	= 66 0	66 0
q : b	=	*123 0
p : q	= 110 13	
o : a	= 123 33	
o : b	= 117 0	117 20

	Berechnet.	Beobachtet.
$o : p$	$= 135^\circ 40'$	$135^\circ 40'$
$o : q$	$= 146 \quad 27$	$146 \quad 27$

Die Krystalle sind farblos, durchsichtig, an beiden Enden ausgebildet, die Flächen etwas matt.

Ohne deutliche Spaltbarkeit.

B. Sauerstoffhaltige.

Cinchonin.



Zwei- und eingliedrig. (?) $a : b = 1,492 : 1$. *Schabus.*
 $o = 72^\circ 41'$.

Rhombische Prismen p, deren scharfe Seitenkanten durch a abgestumpft sind, worauf die schiefe Endfläche c aufgesetzt ist.

$$p = a : b : \infty c \quad a = a : \infty b : \infty c \\ c = c : \infty a : \infty b.$$

Beobachtet.

$$p : p \text{ an } b = 109^\circ 51',5 \\ p : c = 100 \quad 5,5 \\ a : c = 107 \quad 19$$

Die Krystalle sind prismatisch durch Vorherrschen von a und c, waren jedoch nur an einer Seite (rechts oder links) ausgebildet, so dass sie möglicherweise zweigliedrig-hemiedrisch sein könnten, wo dann a und c die Flächen des ersten Paares, p aber Rhombentetraederflächen wären.

Spaltbar nach c, etwas weniger nach a (für das 2- und 1gliedrige System sprechend).

Schabus: S. 173.

Schwefelsaures Cinchonin. (S. 377.)



Zwei- und eingliedrig. $a : b = 2,4172 : 1$. *Schabus.*
 $o = 83^\circ 16',5$.

Combinationen eines rhombischen Prismas p, des fünffach schärferen 5p und der Hexaidfläche a, welche die scharfen Kanten jener beiden abstumpft. Auf a ist die schiefe Endfläche c aufgesetzt.

$$p = a : b : \infty c \quad a = a : \infty b : \infty c \\ ^5p = 5a : b : \infty c \quad c = c : \infty a : \infty b.$$

	Berechnet.	<i>Schabus.</i>	Beobachtet.	
			<i>Brooke.</i>	<i>Baup.</i>
a : c	—	*96° 43',5	96° 30'	97°
p : p an a	— 45° 14'			
- b	— 134 46			
p : a	—	*112 37		
p : c	— 92 35			
^t p : ^t p an a	— 9 30			
- b	— 170 30			
^t p : a	— 94 45	94 40	95 50	
^t p : p	— 161 8			
^t p : c	— 90 33		90 0	

Sehr vollkommen spaltbar nach a und c.

Schabus: S. 174.

Baup: Ann. Chim. Phys. XXVII. 323.

Cinchotin.

β Chinin. C²⁰H¹²NO².

Zwei- und eingliedrig. a : b : c = 2,1559 : 1 : 2,0748
o = 77° 20'. *Schabus.*

Zwei und eingliedrige Oktaeder, bestehend aus dem vorderen Augitpaar o, und dem hinteren o', mit den zugehörigen Hexaidflächen a und c, von denen jene die vorderen und hinteren Seitenecken, diese die Eendecken abstumpft. Fig. 183.

183



$$o = a : b : c \quad a = a : \infty b : \infty c$$

$$o' = a' : b : c \quad c = e : \infty a : \infty b.$$

	Berechnet.	Beobachtet.
o' : o' (A)	— 62° 24'	
o : o (B)	— 74 16	
o : o' (C)	— 133 58	
o' : o (D)	— 132 2	
o : a	— 117 44	
o : c	— 118 30	118° 30'
o' : a	—	*108 18
o' : c	—	*109 28
a : c	—	*102 40

Die Messungen sind bis auf die Neigung von $a : c$ nicht scharf.

Die Flächen a und c herrschen vor, nach letzterer sind die Krystalle oft tafelförmig. Die Flächen sind glatt und eben, die des Oktaeders aber wenig glänzend.

Schabus: S. 171.

Schwefelcyanwasserstoff-Chinin.

Formel unbekannt.

Zwei- und eingliedrig. $a : b : c = 0,6877 : 1 : 1,0199$
 $\alpha = 78^\circ 13'$. Schabus.

Rhombische Prismen p mit auf die stumpfen Seitenkanten aufgesetzter schiefer Endfläche c und der Abstumpfung der scharfen Kanten p durch das hintere Augitpaar o' .

$$o' = a' : b : c \quad p = a : b : \infty c \quad c = c : \infty a : \infty b.$$

Ergänzt man das Hauptoktaeder durch das vordere Augitpaar $o = a : b : c$, so ist

$$\begin{array}{ll} A = *116^\circ 24' & C = 87^\circ 12' \\ B = 125 48 & D = 121 56 \end{array}$$

	Berechnet.	Beobachtet.
$p : p$ an a	$= 112^\circ 6'$	$112^\circ 10'$
- b	$= 67 54$	
$p : c$	$=$	$*99 45$
$o' : o'$	$=$	$*116 24$
$o' : c$	$=$	$*111 35$
$o' : p$	$= 148 40.$	

Die Krystalle sind meist niedrige Prismen p , oder tafelförmig, indem c vorherrscht. Die Flächen sind gewöhnlich glatt und eben, doch ist c an grösseren Krystallen gebogen.

Halbdurchsichtig, gelblich, glasglänzend.

Schabus: S. 179.

Strychnin.



Zweigliedrig. $a : b : c = 0,9853 : 1 : 0,9255$. Schabus.

Zweigliedrige Dodekaeder oder Combinationen dreier zusammengehöriger Paare p , q , r , von denen das erste p vorherrscht, ein rhombisches, fast quadratisches Prisma bildend, an welchem die beiden anderen eine auf die Kanten aufgesetzte vierflächige Zuspitzung bilden.

$$\begin{array}{l} p = a : b : \infty c \\ q = b : c : \infty a \\ r = a : c : \infty b \end{array}$$

An dem Hauptoktaeder, oder demjenigen Rhombenoktaeder, dessen Kanten durch jene Flächen abgestumpft werden, ist:

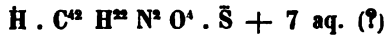
$$2 A = 111^\circ 59',5; \quad 2 B = 110^\circ 50'; \quad 2 C = 105^\circ 39'.$$

	Berechnet.	Beobachtet.	
		<i>Schabus.</i>	<i>Kenngott.</i>
p : p an a	=	*90° 51'	91° 12'
- b	= 89° 9'		
q : q an c	= 94 26	94 28	94 16
- b	= 85 34		
r : r an c	= 93 35	93 30	93 4
- a	= 86 25		
p : q	=	*118 28	
p : r	= 119 11		
q : r	= 122 20.		

Die Flächen sind vollkommen eben und glänzend.
Spaltbar nach p.

Kenngott: Pogg. Ann. 95, 613.
Schabus: S. 79.

Schwefelsaures Strychnin. (S. 380.)



Zweigliedrig. a : b : c = 0,6204 : 1 : 0,5514. *Schabus.*

Combinationen eines ersten Paares p mit starker Abstumpfung der scharfen Seitenkanten b und eines auf letztere aufgesetzten zweiten Paares q. Durch Vorherrschen von b entstehen rechtwinklig vierseitige Tafeln mit ungleicher Zuschärfung der Ränder. In der Horizontalzone erscheint das zweifach stumpfere Paar p², welches die stumpfen Kanten von p zuschärft, und in der Zone der zweiten Paare finden sich noch zwei andere, nämlich das zweifach schärfere q² und das dreifach stumpfere q₃.

$$\begin{aligned}
 p &= a : b : \infty c & b &= b : \infty a : \infty c \\
 p^2 &= a : 2b : \infty c \\
 q &= b : c : \infty a \\
 q^2 &= b : 2c : \infty a \\
 q_3 &= 3b : c : \infty a
 \end{aligned}$$

An dem Hauptoktaeder, für welches p und q zugehörige Paare sind, ist:

$$2 A = 135^\circ 18'; \quad 2 B = 104^\circ 10'; \quad 2 C = 92^\circ 26'.$$

	Berechnet.	Beobachtet.
p : p an a	= 116° 22'	
- b	= 63 38	
p : b	= 121 44	121° 45'
p ² : p ² an a	= 145 32	145 30
- b	= 34 28	
p ² : b	=	*107 14
p : p ²	= 165 25	
q : q an c	= 122 22	
- b	= 57 38	
q : b	= 118 49	118 40

	Berechnet.	Beobachtet.
$q^2 : q^2$ an c	= 84° 24'	
- b	= 95 36	
$q^2 : b$	=	* 137° 48'
$q : q^2$	= 161 1	
$q_{1/2} : q_{1/2}$ an c	= 159 10	
- b	= 20 50	
$q_{1/2} : b$	= 100 25	99 50
$q : q_{1/2}$	= 161 36	
$q^2 : q_{1/2}$	= 142 37	

Schabus nimmt $q_{1/2}$ als $q_{s/1/2}$ (Neigung gegen b berechnet 99° 45',5).

Die Krystalle sind tafelförmig nach b.

Zwei Parallellflächen von p fehlen bisweilen.

Die Flächen beider Paare sind gestreift parallel ihren Zonenachsen.

Glasglanz, auf b perlmutterartig.

Das von mir (Handbuch S. 380) beschriebene Salz ist wahrscheinlich das nämliche, obwohl die Zusammensetzung beider nicht untersucht ist. Die wegen mangelnden Glanzes nur annähernd gemessenen Winkel lassen glauben, dass die Endfläche $c = b$, $o = q_{1/2}$ und p^2 gewesen ist.

Schabus: S. 80.

Morphin. (S. 380.)

Zweigliedrig. $a : b : c = 0,4998 : 1 : 0,4645$. *Schabus*.

Combinationen eines ersten Paares p, eines zweiten q, und der Hexaidfläche b. *Brooke* beobachtete statt q das zweifach schärfere zweite Paar q^2 .

$$\begin{aligned}
 p &= a : b : \infty c & b &= b : \infty a : \infty c. \\
 q &= b : c : \infty a \\
 q^2 &= b : 2c : \infty a
 \end{aligned}$$

An dem zugehörigen Hauptoktaeder ist:

$$2 A = 142^\circ 25',5; \quad 2 B = 99^\circ 46',5; \quad 2 C = 92^\circ 9',5.$$

	Berechnet.	Beobachtet.	
		<i>Schabus</i> .	<i>Brooke</i> .
$p : p$ an a	= 126° 53'	126° 54'	127° 20'
- b	= 53 7		
$p : b$	=	* 116 33,5	
$q : q$ an c	=	* 130 11,5	
- b	= 49 48,5		
$q : b$	= 114 54	114 53	
$p : q$	= 100 51		
$q^2 : q^2$ an c	= 94 12		95 20
- b	= 85 48		
$q^2 : b$	= 132 54		

Nach *Schabus* wäre die von *Brooke* beobachtete Fläche q^2 dagegen das dritte zugehörige Paar $r = a : c : \infty b$. Die Winkelangabe ent-

scheidet nicht, da der Berechnung nach $r : r \text{ an } c = 91^\circ 14'$ sein müsste, d. h. ebenso gross, wie $q^2 : q^2 \text{ an } c$. Allein dann wäre dieses Paar nicht auf b, sondern auf die stumpfen Seitenkanten von p aufgesetzt.

Schabus : S. 74.

Codein. (S. 382.)

Sénarmont fand:

$$\begin{aligned} p & : p \text{ an } a = 91^\circ 40' \\ q & : q - c = 99 55 \\ q/2 & : q/2 - - = 134 45 \end{aligned}$$

Privatmittheilung.

Opianin.



Zweigliedrig. $a : b : c = 0,9512 : 1 : 0,4893$. Schabus.

Combinations eines Rhombenoktaeders o mit dem ersten zugehörigen Paar p, dem zweiten q, und den Hexaidflächen a und b, welche die Seitenkanten von p abstumpfen. In der Horizontalzone erscheinen ausserdem noch drei Prismen, nämlich zwischen a und p das achtfach stumpfere p²; zwischen b und p das 1/4fach schärfere 1/4p und das zwölfmal schärfere 12p.

Wenn die Flächen des Oktaeders vollzählig sind, so sind je vier ein Tetraeder bildende grösser als die übrigen. Gewöhnlich aber beobachtet man nur eine solche tetraedrische Hälfte. Fig. 184. 185. 186.

184



185





o = a : b : c

p = a : b : ∞ c
 p^s = a : 8b : ∞ c
^{3/4}p = ^{3/4}a : b : ∞ c
¹²p = 12a : b : ∞ c
 q = b : c : ∞ a

a = a : ∞ b : ∞ c
 b = b : ∞ a : ∞ c

Berechnet.

Beobachtet.

	o	{ 2 A = 132° 58'	
		2 B = 130 24	130° 24'
		2 C = 70 45	
	o : o über c	= 109 15	
	- b	= 47 2	
	- a	= 49 36	
	p : p an a	= 92 52	92 52
	- b	= 87 8	87 8
	p : a	= 136 26	
	p : b	= 133 34	
	^{3/4} p : ^{3/4} a	= 50 6	
	- b	= 129 54	
	^{3/4} p : a	= 115 3	
	^{3/4} p : b	= 154 57	155 12
	^{3/4} p : p	= 158 37	
	¹² p : ¹² p an a	= 10 0	
	- b	= 170 0	
	¹² p : a	= 95 0	
	¹² p : b	= 175 0	175 0
	¹² p : p	= 138 34	
	¹² p : ^{3/4} p	= 159 57	
	p ^s : p ^s an a	= 166 26	
	- b	= 13 34	
	p ^s : a	= 173 13	
	p ^s : b	= 96 47	96 50
			13*

		Berechnet.	Beobachtet.
p ^o :	p	= 143° 13'	
q :	q an c	=	* 127° 51'
	- b	= 52 9	
q :	b	= 116 4,5	116 4,5
p :	q	= 107 38	
o :	a	= 114 48	114 48
o :	b	= 113 31	
o :	p	= 125 22,5	
o :	q	=	* 155 12

Die Krystalle sind lang prismatisch oder nadelförmig durch Vorherrschen der Horizontalzone, in welcher sich b oft ausdehnt, und dadurch tafelfartige Formen bedingt.

Die ersten Paare, bisweilen auch b, sind vertical gestreift, die Flächen sonst eben.

Spaltbar vollkommen nach b, unvollkommen nach der Endfläche c. Diamantartiger Glasglanz.

Schabus : S. 76.

Narcotin.

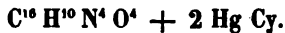


Alle von Schabus untersuchten Narcotinkrystalle hatten die Form des Opianins.

Es sind also entweder beide Verbindungen isomorph, oder das Narcotin war nichts als Opianin.

Schabus : S. 79.

Caffein - Quecksilbercyanid.



Zweigliedrig. a : b : c = 0,4695 : 1 : 0,5602. Schabus.

Rhombische Prismen p mit Abstumpfung der scharfen Seitenkanten b und einer vierflächigen auf die Kanten p b aufgesetzten Zuspitzung durch ein Rhombenoktaeder o⁴.

$$o^4 = a : 4b : c \quad p = a : b : \infty c \quad b = b : \infty a : \infty c$$

Für das Hauptoktaeder o = a : b : c und für das beobachtete ist:

	2 A	2 B	2 C
o =	140° 26'	87° 42'	105° 38'
o ⁴ =	169 44	80 30	* 100 36

	Berechnet.	Beobachtet.
p : p an a	= 129° 44'	129° 58'
- b	= 50 16	
p : b	=	* 115 8
o ⁴ : b	= 95 8	96 6

Die Krystalle sind nadelförmig, sehr klein und oft unvollkommen ausgebildet, die Messungen daher nicht scharf.

Schabus: S. 82.

Harmin.

$C^{27} H^{12} N^2 O^2$. 1)

Zwei- und eingliedrig. $a : b : c = 2,0594 : 1 : 0,6007$
 $\alpha = 73^\circ 9',5$. Schabus.

Rhombische Prismen p, auf deren scharfe Seitenkanten die basische Endfläche c und die vordere schiefe Endfläche r aufgesetzt sind. Ein hinteres Augitpaar o' stumpft die scharfen Kanten p c ab. Fig. 187. 188.

187



188



$$o' = a' : b : c \quad p = a : b : \infty c \quad c = c : \infty a : \infty b.$$

$$r = a : c : \infty b$$

An dem Hauptoktaeder, aus o' und einem vorderen Paar o = a : b : c bestehend, ist:

$$A = 118^\circ 0'$$

$$B = 125 40$$

$$C = 152^\circ 24'$$

$$D = 65 25$$

Berechnet.

Beobachtet.

$$p : p \text{ an } a =$$

$$- b = 126^\circ 12'$$

Schabus. Nordenskiöld.
 *53° 48' 55° 42'

1) Diese von Früssche gegebene Formel bedarf wegen der Zahl der Kohlenstoff-atome einer Correction.

	Berechnet.	Beobachtet.
p : c	—	<i>Schabus.</i> *97° 32'
r : c	— 165° 34'	165 32
r : p	— 103 35	
o' : o'	— 118 0	
o' : c	—	*145 5
o' : p	— 117 23	117 23

Die Krystalle sind nach p prismatisch; in der Endigung herrscht bald c, bald r.

Die Flächen sind glatt und eben.

Farblos, durchsichtig, diamantartiger Glasglanz.

Schabus: S. 175.

Nordenskiöld: *Bullet. de Petersb.* VI. 242.

Piperin. (S. 387.)

Zwei- und eingliedrig. a : b : c — 0,9657 : 1 : 0,5867
o — 70° 33'. *Schabus.*

Combinationsen eines zwei- und eingliedrigen Oktaeders, oder des vorderen Augitpaars o und des hinteren o' mit dem ersten zugehörigen Paar oder dem rhombischen Prisma p, und den Hexaidflächen b und c. Das Prisma p herrscht vor; an ihm stumpft b die scharfen Seitenkanten ab, und die basische Endfläche c ist auf die stumpfen aufgesetzt, während die Oktaederflächen schmale Abstumpfungen der Kanten p c bilden.

$$\begin{array}{l}
 o \text{ — } a : b : c \quad p \text{ — } a : b : \infty c \quad b \text{ — } b : \infty a : \infty c. \\
 o' \text{ — } a' : b : c \quad c \text{ — } c : \infty a : \infty b.
 \end{array}$$

An dem Oktaeder o o' ist:

$$\begin{array}{ll}
 A \text{ — } 121^\circ 12' & C \text{ — } 125^\circ 12' \\
 B \text{ — } 134 \quad 54 & D \text{ — } 78 \quad 28
 \end{array}$$

	Berechnet.	Beobachtet.			
		<i>Schabus.</i>	<i>Dauber.</i>	<i>Kopp.</i>	<i>Regnault.</i>
p : p an a	—	*95° 22'			
- b	— 84° 38'	84 38	84° 42'	84° 30'	85° 40'
p : b	— 132 19				
p : c	—	*104 15	104 30	104 10	
o : b	— 112 33				
o : c	— 146 29				
o : p	— 137 46				
o' : b	— 119 24				
o' : c	— 135 3				
o' : p	—	*120 42			

Die Oktaederflächen scheinen selten vorzukommen; o wurde von *Haidinger*, o' einmal von *Schabus* beobachtet.

Die Flächen p sind an grösseren Krystallen gekrümmt, auch c ist uneben.

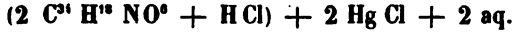
Die Krystalle sind gelblich, wenig glänzend, trichromatisch.

Schabus: S. 177.

Kopp: Einleitung in die Krystallogr.

Regnault: J. f. pr. Chem. 16, 288.

Chlorwasserstoff-Piperin-Quecksilberchlorid.



Eingliedrig. $a : b : c = 1,0002 : 1 : 0,8663$. Schabus.

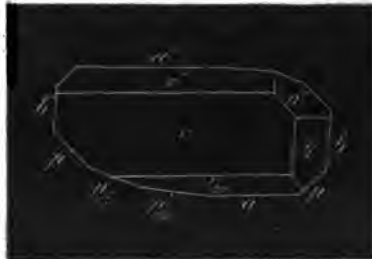
A = 102° 24'	$\alpha = 96° 46'$
B = 121 46,5	$\beta = 120 11$
C = 102 51,5	$\gamma = 97 35$

An den Krystallen dieser Verbindung stellen die Flächen a, b, c das eingliedrige Hexaid dar, dessen Kanten durch die Dodekaidflächen p, p', p'₅ und p'₃₂ als Hälften von ersten Paaren, durch q als Hälfte eines zweiten Paares, und durch r' und r'₂₀ als Hälften von dritten Paaren schief abgestumpft sind. Hierzu tritt die Oktaidfläche o'' als Abstumpfung einer Ecke. Fig. 189. 190.

189



190



$$o'' = a' : b : c$$

p	=	a :	b :	∞ c	a = a : ∞ b : ∞ c
p'	=	a :	b' :	∞ c	b = b : ∞ a : ∞ c
p' ₅	=	a :	5b' :	∞ c	c = c : ∞ a : ∞ b.
p' ₃₂	=	a :	32b' :	∞ c	
q	=	b :	c :	∞ a	
r' ₂₀	=	20a :	c :	∞ b	
r'	=	a' :	c :	∞ b	

Ergänzt man die drei fehlenden Oktaidflächen, so ist an dem vollständigen eingliedrigen Hauptoktaeder die Neigung der Flächen in den Kanten.

ac oder o	:	o'	=	131° 15'
a'c	„	o'' : o'''	=	100 59
bc	„	o : o''	=	119 0
b'c	„	o' : o'''	=	105 2
ab	„	o : o'''	=	105 30
ab'	„	o' : o''	=	90 56

Ferner ist:

	Berechnet.	Beobachtet.
a : b	=	*102° 51,5
a : p	= 144° 35'	
b : p	= 138 17	138 18
c : p	= 119 9	
a : p'	= 133 31	
b' : p'	=	*123 37
c : p'	= 106 51	
p : p' an a	= 98 6	
a : p' ₅	= 169 58	170 8,5
b' : p' ₅	= 87 10	87 0
c : p' ₅	= 120 4	
p' : p' ₅	= 143 33	
a : p' ₂₂	=	178 28,5
b' : p' ₂₂	=	101 20
b : c	=	*102 24
q : c	=	*147 35,5
q : b	= 134 49	
q : a	= 120 19	120 20
a : c	=	*121 46,5
r' : a'	= 111 52	
r' : b	= 91 22	
r' : c	= 126 21	
r' ₂₀ : a	=	123 51
o'' : a'	= 98 17	98 15
o'' : b	= 130 19	
o'' : c	= 125 59	
o'' : p'	= 127 10	125 57,5
o'' : q	= 141 26	141 24,5
o'' : r'	= 141 3	

Die Flächen p'₅ und p'₂₂ sind selten. Die Krystalle sind kurze Prismen nach den Hexaidflächen a und b.

Sie sind eben und glattflächig, nur b ist zuweilen gekrümmt.

Schwach glasglänzend, wenig trichromatisch.

Schabus: S. 198.

Glycin. (S. 390.)

Zwei- und eingliedrig. $a : b : c = 0,8426 : 1 : 0,4533$
 $\alpha = 68^\circ 20'$. *Schabus.*

Combinationsen des rhombischen Prismas p mit Abstumpfung der scharfen Seitenkanten b, auf welche ein zweites Paar q als schiefe Zuschärfung aufgesetzt ist. Die stumpfen Kanten von p werden durch das zweifach stumpfere p^2 zugespitzt. Selten und sehr schwach erscheint ein hinteres Augitpaar. Fig. 191.

191



$$\begin{aligned}
 p &= a : b : \infty c & b &= b : \infty a : \infty c \\
 p^2 &= a : 2b : \infty c \\
 q &= b : c : \infty a
 \end{aligned}$$

An dem zwei- und eingliedrigen Hauptoktaeder ist:

$$\begin{aligned}
 A &= 131^\circ 54' & C &= 128^\circ 58' \\
 B &= 144 \quad 2 & D &= 67 \quad 50
 \end{aligned}$$

	Berechnet.	Beobachtet.	
		<i>Schabus.</i>	<i>Kopp.</i>
$p : p \text{ an } a$	=	*103° 52'	
- b	= 77° 8'		66° 15' (?)
$p : b$	= 128 4	128 4	
$p^2 : p^2 \text{ an } a$	= 137 14		
- b	= 42 46		
$p^2 : b$	= 111 23	111 30	
$p^2 : p$	= 163 19		
$q : q \text{ an } c$	= 134 16		
- b	= 45 44		
$q : b$	=	*112 52	

Die Krystalle sind prismatisch nach der Horizontalzone.

Die Flächen p sind an grösseren Krystallen stark gebogen.
Ausgezeichnet spaltbar nach b. Glasglänzend.

Schabus: S. 181.

Chlorwasserstoff-Glycin. (S. 390.)

Zweigliedrig. $a : b : c = 0,2783 : 1 : 0,9004$. Schabus.

Combinationsen eines Rhombenoktaeders o mit dem ersten und zweiten zugehörigen Paar p und q, den Hexaidflächen a und b, wozu das zweifach schärfere erste Paar 2p und das zweifach stumpfere zweite Paar q' tritt. Die Krystalle erscheinen tafelartig durch Vorherrschen von b; die Flächen p und q bilden Zuschärfungen der Ränder an den rechtwinklig vierseitigen Tafeln. Die Oktaederflächen sind selten vollzählig, und wenn dies der Fall ist, erscheint die eine tetraedrische Hälfte grösser. Fig. 192. 193.

192



193



$o = a : b : c$	$p = a : b : \infty c$ $^2p = 2a : b : \infty c$ $q = b : c : \infty a$ $q' = 2b : c : \infty a$	$a = a : \infty b : \infty c$ $b = b : \infty a : \infty c$
-----------------	---	--

An dem Hauptoktaeder ist:

$2 A = 150^\circ 12'$; $2 B = 45^\circ 12'$; $2 C = 146^\circ 50'$.

	Berechnet.	Beobachtet.
$p : p \text{ an } a$	$= 148^\circ 54'$	$149^\circ 0'$
- b	$= 31 \quad 6$	
$p : a$	$= 164 \quad 27$	
$p : b$	$= 105 \quad 33$	$105 \quad 30$

	Berechnet.	Beobachtet.
${}^2p : {}^2p$ an a	— 171° 48'	
- b	— 58 12	58° 10'
${}^2p : a$	— 150 54	
${}^2p : b$	—	*119 6
${}^2p : p$	— 166 27	
q : q an c	— 96 0	95 52
- b	— 84 0	
q : b	— 132 0	132 4
$q'_{1/2} : q'_{1/2}$ an c	—	*131 32
- b	— 48 28	
$q'_{1/2} : b$	— 114 14	114 10
$q'_{1/2} : q$	— 162 14	
o : a	— 157 24	
o : b	— 104 54	
o : p	— 163 25	
o : q	— 112 36	

Die Flächen des rechten Tetraeders sind glatt, die der Prismen oft uneben, gebogen.

Ausgezeichnet spaltbar nach $q'_{1/2}$, weniger nach a und b.

Schabus: S. 83.

IV. Aethylverbindungen.

Aetherschwefelsaures Kali. (S. 392.)

Zwei- und eingliedrig. a : b : c — 1,0692 : 1 : 1,7387
o — 80° 28'. Schabus.

Combinationen eines rhombischen Prismas p, einer auf die scharfen Seitenkanten aufgesetzten schiefen Endfläche c und einer auf die stumpfen aufgesetzten Zuschärfung q aus der Diagonalzone von c. Meist sind die stumpfen Seitenkanten von p durch die Hexaidflächen b abgestumpft. Seltener ist das hintere Augitpaar o', welches die scharfen Kanten p c abstumpft.

Marignac beobachtete eine hintere schiefe Endfläche ${}^2r'$.

$$\begin{array}{lll}
 o' = a' : b : c & p = a : b : \infty c & b = b : \infty a : \infty c \\
 & q = b : c : \infty a & c = c : \infty a : \infty b \\
 & {}^2r' = a' : 2c : \infty b &
 \end{array}$$

An dem aus o' und einem entsprechenden vorderen Augitpaar o — a : b : c bestehenden Hauptoktaeder ist:

$$\begin{array}{ll}
 A = 91^\circ 34' & C = 101^\circ 24' \\
 B = 100 \quad 8 & D = 133 \quad 35
 \end{array}$$

Berechnet.		Beobachtet.		
		Schabus.	Marignac.	R.
p : p an a =		*86° 58'	86° 50'	86° 20'
- b =	93° 2'	93 2		93 14
p : b =	136 31			
p : c =		*96 33	97 14	96 52
q : q an c =	60 30			
- b =	119 30			
q : c =		*120 15	121 20	120 55
q : b =	149 45			
a : r' =	162 17			
c : r' =	98 11		98 20.	
o' : o' =	91 34			
o' : c =	107 17		107 52	107 5
o' : p =	156 10			155 10

Schabus fand die Neigung q : c 119°—121°,5, p : c = 96° 6'—97° 0', p : p = 86°,5—87°,5.

Genauere Messungen sind nicht möglich, da die Flächen nicht glänzend genug sind; ich habe die Krystalle deshalb früher für rhomboedrisch gehalten, wozu ihr Ansehen, sobald sie aus p und c allein bestehen, verleiten kann.

Vollkommen spaltbar nach c.

Schabus: S. 139.

Aetherschwefelsaurer Baryt. (S. 392.)

Zwei- und eingliedrig. a : b : c = 1,1897 : 1 : 1,2153
o = 84° 39'. Schabus.

Combinations eines rhombischen Prismas p, dessen scharfe Seitenkanten durch a, die stumpfen durch b abgestumpft werden, der basischen schiefen Endfläche c, der vorderen r_{1/2} und der hinteren r'_{1/2}. Untergeordnet tritt ein zweites Paar q aus der Diagonalzone von c, so wie ein hinteres Augitpaar o' auf, welches mit p und c, und mit a und q in eine Zone fällt.

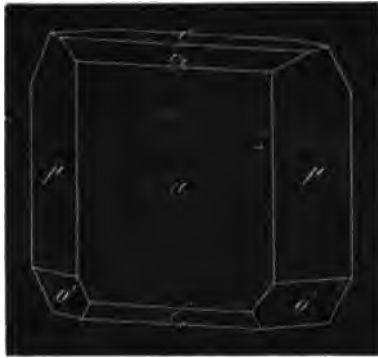
Die Krystalle sind immer tafelförmig durch Vorherrschen von a. Die Ränder der Tafel sind durch b gerade, durch c schief abgestumpft, und durch p und die beiden r_{1/2} ungleich zugeschärft, während die Flächen o' und q Zuschärfungen der Tafellecken bilden. Fig. 194—196.

$$\begin{aligned}
 o' = a' : b : c & \quad p = a : b : \infty c & \quad a = a : \infty b : \infty c \\
 & \quad q = b : c : \infty a & \quad b = b : \infty a : \infty c \\
 & \quad r'_{1/2} = 2a : c : \infty b & \quad c = c : \infty a : \infty b \\
 & \quad r'_{1/2} = 2a' : c : \infty b
 \end{aligned}$$

An dem aus o' und einem vorderen Augitpaar o = a : b : c zusammengesetzten Hauptoktaeder ist:

$$\begin{aligned}
 A &= 96^\circ 44' & C &= 113^\circ 57' \\
 B &= 102 \quad 2 & D &= 115 \quad 30
 \end{aligned}$$

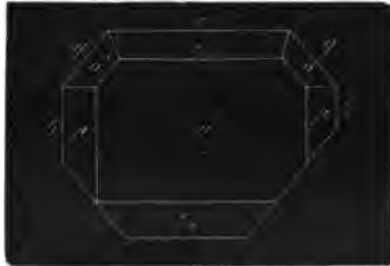
194



195



196



Berechnet.

Beobachtet.

p	:	p	an	a	—	80°	20'
			-	b	—	99	40
p	:	a			—		
p	:	b			—	139	50
p	:	c			—	93	27
q	:	q	an	c	—	79	8
			-	b	—	100	52
q	:	c			—	129	34

Schabus.

R.

*130° 10'

100° 0' appr.
130 20
140 36

		Berechnet.	Beobachtet.	
			Schabus.	A.
q	: b	— 140° 26'		
q	: a	— 93 24		
a	: c	—	*95° 21'	95° 50'
r ₂	: c	— 154 6		
r ₂	: a	— 121 15	121 18	120 54 appr.
r' ₂	: c	— 151 54		152 20
r' ₂	: a	—	*112 45	112 0
r ₂	: r' ₂ an c	— 126 0		
r ₂	: p	— 109 33		
r' ₂	: p	— 104 26		
o'	: o'	— 96 44		
o'	: a	— 120 38	120 40	120 30
o'	: b	— 131 38		
o'	: c	— 119 47	119 50	
o'	: p	— 146 46		
o'	: q	— 145 58		

Schabus giebt noch ein vorderes Augitpaar als schmale Abstumpfung der Kanten a q, jedoch ohne Messungen, an.

Die Messungen zeigten oft Differenzen, doch hält sie Schabus für hinlänglich zur Feststellung des Systems, welches ich früher als zweigliedrig nehmen zu müssen glaubte. In der Fig. 385 des Handbuchs wird nun c = a, r = p, a = b, ²/₇q = r₂ und r'₂, o = o', und das andere o wahrscheinlich — dem vorderen Augitpaar. Die später gemessenen Krystalle hatten die Flächen von Fig. 196.

Die Fläche c ist meist rauh.

Spaltbar sehr vollkommen nach a.

Perlmutterglanz auf a.

Wahrscheinlich isomorph mit dem methylschwefelsauren Baryt.

Schabus: S. 134.

Aetherschwefelsaurer Kalk.



Zwei- und eingliedrig.

Die Krystalle sind Combinationen eines rhombischen Prismas p, dessen scharfe Seitenkanten durch a abgestumpft sind, worauf eine schiefe Endfläche r aufgesetzt ist, während ein hinteres Augitpaar o' die scharfen Ecken p r a abstumpft.

Die Krystalle sind durch Vorherrschen von a tafelförmig, jedoch unvollkommen ausgebildet, mit unebenen, zum Theil gekrümmten Flächen.

Nach Schabus ist das Salz mit dem Barytsalz wahrscheinlich isomorph. Legt man dessen Dimensionen zum Grunde, so ist

$$\begin{aligned}
 p &= p \text{ des Barytsalzes, } & a &: b : \infty c \\
 r &= r/7 \text{ (annähernd)} & a &: r/7c : \infty b \\
 o' &= 2/10 o' & a' &: b : 2/4 c.
 \end{aligned}$$

Schabus fand:

p : p an a	— 80° 8'
p : a	— 130 4
r/7 : a	— 103 0 (ber. 103° 30')
² / ₄₀ ' : ² / ₄₀ '	— 92 0
² / ₄₀ ' : a	— 113 6
² / ₄₀ ' : r/7	— 119 56

Spaltbar nach a.

Schabus: S. 138.

Cyanursaures Aethyloxyd.



Zweigliedrig. a : b : c — 0,4877 : 1 : 0,9467. R.

Rhombische Prismen p mit Abstumpfung der scharfen Kanten b und einer auf diese aufgesetzten Zuschärfung q.

$$\begin{aligned} p &= a : b : \infty c & b &= b : \infty a : \infty c \\ q &= b : c : \infty a \end{aligned}$$

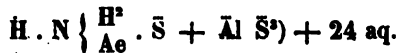
An dem Hauptoktaeder wäre:

$$2 A = 133^\circ 10'; \quad 2 B = 109^\circ 8'; \quad 2 C = 130^\circ 2'$$

	Berechnet.	Beobachtet.
p : p an a	— 128° 0'	128° 0'
- b	— 52 0	51 42
p : b	—	* 116 0
q : q an c	—	* 93 30
- b	— 86 30	86 30
q : b	— 133 15	133 6
p : q	— 107 29	107 40

Die Krystalle sind vollständig ausgebildet, doch sind oft die beiden an einer Seite der Axe b liegenden Flächen von p und die betreffende Fläche q sehr klein, während das b dieser Seite sich ausdehnt.

Aethylammin - Alaun.



Regulär. Oktaeder.

Schabus: S. 13.

Chlorwasserstoff - Aethylammin - Platinchlorid.



Sechsgliedrig — rhomboedrisch. a : c — 0,8358 : 1
— 1 : 1,1964.

Schabus.

Würfelförmliche Rhomboeder r mit der Endfläche c und dem ersten Prisma p , welches jedoch nur mit der Hälfte der Flächen vorkommt, die die abwechselnden Seitenecken von r abstumpfen.

$$r = a : a : \infty a : c \quad c = c : \infty a : \infty a : \infty a.$$

$$p = a : a : \infty a : \infty c$$

	Berechnet.	Beobachtet.
$r \left\{ \begin{array}{l} 2 A = \\ \alpha = 55^\circ 22' \\ \gamma = 35 \ 54 \\ r : c = 125 \ 54 \\ r : p = 144 \ 6 \end{array} \right.$		*90° 54'
		125 54

Sehr vollkommen spaltbar nach c .

Schabus: Ann. d. Chem. u. Pharm. 93, 272.

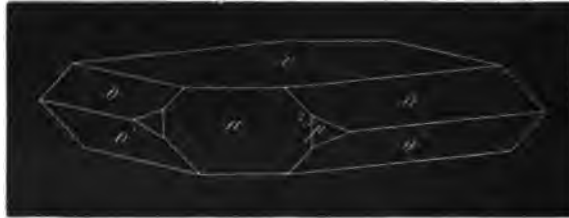
Chlorwasserstoff-Diäthylammin-Platinchlorid.



Zwei- und eingliedrig. $a : b : c = 1,3048 : 1 : 1,2203$
 $\alpha = 85^\circ 40'$. Schabus.

Zwei- und eingliedrige Oktaeder o o' mit den Hexaidflächen a und c und einem Prisma $\frac{2}{3}p$ der Horizontalzone. Fig. 197.

197



$$o = a : b : c \quad \frac{2}{3}p = \frac{2}{3}a : b : \infty c \quad a = a : \infty b : \infty c$$

$$o' = a' : b : c \quad b = b : \infty a : \infty c$$

	Berechnet.	Beobachtet.	
		Schabus.	Müller.
$o, o' \left\{ \begin{array}{l} A = 94^\circ 30' \\ B = 98 \ 48 \\ C = 118 \ 38 \\ D = 113 \ 50 \end{array} \right.$			
$a : c =$	$=$	*94° 20'	94° 12'
$o : a =$	$= 122 \ 44$	122 50	
$o : c =$	$= 124 \ 56$		
$o' : a =$	$=$	*118 38	118 25
$o' : c =$	$=$	*121 14	

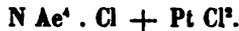
		Berechnet.	Beobachtet.	
			Schabus.	Müller.
$^{2/3}p$: $^{2/3}p$ an a	= 98° 8'		
	- b	= 81 52		
$^{2/3}p$: a	= 139 4	139° 0'	140° 30'

An den grossen orangerothen Krystallen herrscht die Endfläche c vor.

Schabus: Sitzber. d. Wiener Akad. 1855. Februar.

Müller: Ann. d. Chem. u. Pharm. 91, 40. (In dieser Mittheilung sind einige Irrthümer enthalten.)

Tetraethylammoniumchlorid - Platinchlorid.



Regulär. Müller.

Combinationsen von Würfel und Oktaeder.

$$o - a : a : a \quad h - a : \infty a : \infty a$$

	Berechnet.	Beobachtet.
$o : h$	= 125° 16'	.125° 15'

Viergliedrig. Schabus.

Schabus fand die Messungen wegen der Unebenheit der Flächen schwierig. Er erhielt $o : c$ ($c - h$) im Mittel = 124° 28', lässt es aber zweifelhaft, ob die Krystalle regulär seien.

Müller: Ann. d. Chem. u. Pharm. 93, 273.

Schabus: Sitzber. d. Wiener Akad. 1855. Februar.

Tetraethylammonium - Trijodid.



Viergliedrig. $a : c = 1,49 : 1 = 1 : 0,6711$. Haidinger.

Combinationsen eines Quadratoktaeders o mit dem ersten Prisma p und der Endfläche c. Zuweilen tritt das erste schärfere Oktaeder d^2 und das zweite Prisma a hinzu.

$$o - a : a : c \quad d^2 - a : 2c : \infty a \quad a - a : \infty a : \infty c$$

$$p - a : a : \infty c \quad c - c : \infty a : \infty a.$$

		Berechnet.	Beobachtet.
o	}	2 A = 121° 44'	121° 46'
		2 C =	*86 59
		$\alpha = 56 \quad 8$	
d^2	}	2 A = 110 54	
		2 C = 106 38	
		$\alpha = 46 \quad 30$	
		$o : p = 133 \quad 30$	
		$o : c = 136 \quad 30$	

Berechnet.

$$\begin{aligned} d^2 : a &= 143^\circ 19' \\ d^2 : c &= 126 41 \\ d^2 : o &= 145 27 \end{aligned}$$

Die bläulichschwarzen Krystalle sind meist tafelartig nach c. Oft herrscht eine Fläche von p vor.

Haidinger: Ann. d. Chem. u. Pharm. 91, 34.

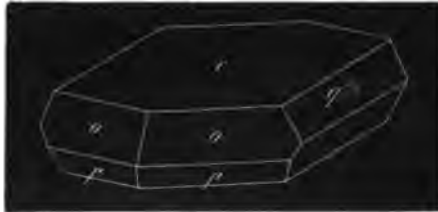
Methylschwefelsaures Kali.



Zwei- und eingliedrig. $a : b : c = 1,0505 : 1 : 1,5705$
 $\alpha = 86^\circ 51'.5$. Schabus.

Combinationsen eines fast rechtwinkligen rhombischen Prismas p mit der auf die scharfen Kanten aufgesetzten basischen Endfläche c, der Abstumpfung der stumpfen Combinationskanten beider durch ein vorderes Augitpaar o, und eines zweiten Paares $q^{5/2}$ aus der Diagonalzzone von c. Durch Vorherrschen von c sind die Krystalle tafelartig; die Flächen o und p einerseits, sowie $q^{5/2}$ bilden die Zuschärfungen der Ränder dieser sechsseitigen Tafeln. Fig. 198.

198



$$\begin{aligned} o &= a : b : c & p &= a : b : \infty c & c &= c : \infty a : \infty b. \\ q^{5/2} &= b : 5/2 c : \infty a \end{aligned}$$

An dem aus o und einem entsprechenden hinteren Augitpaar o' bestehenden Hauptoktaeder ist:

$$\begin{aligned} A &= 96^\circ 22' & C &= 102^\circ 25' \\ B &= 99 14 & D &= 130 31 \end{aligned}$$

	Berechnet.	Beobachtet.
p : p an a	=	*87° 16'
- b	= 92° 44'	
q ^{5/2} : q ^{5/2} an c	= 41 50	
- b	= 138 10	
q ^{5/2} : c	= 110 55	110 25
p : c	=	*92 10

		Berechnet.	Beobachtet.
o	: a	= 129° 49'	
o	: c	=	*116° 34'

Die Krystalle sind klein, und haben, besonders auf c, perlmutterartigen Glanz.

Schabus: S. 130.

Methylschwefelsaurer Baryt.



Zwei- und eingliedrig. a : b : c = 2,3147 : 1 : 1,2137
o = 83° 30'. Schabus.

Rhombische Prismen p mit Abstumpfung der scharfen Kanten durch a, der stumpfen durch b, einer auf a aufgesetzten (basischen) schiefen Endfläche c, und einem zweiten Paar q aus der Diagonalzone derselben. Durch Vorherrschen von a sind die Krystalle oft tafelfartig.

$$\begin{aligned} p &= a : b : \infty c & a &= a : \infty b : \infty c \\ q &= b : c : \infty a & b &= b : \infty a : \infty c \\ & & c &= c : \infty a : \infty b. \end{aligned}$$

An dem zum Grunde liegenden Hauptoktaeder, für welches p das erste, q das zweite zugehörige Paar ist, würde:

$$\begin{aligned} A &= 83^\circ 26' & C &= 143^\circ 3' \\ B &= 88 \quad 48 & D &= 105 \quad 31. \end{aligned}$$

		Berechnet.	Beobachtet.
a	: c	=	*96° 30'
p	: p an a	= 47° 0'	
	- b	= 133 0	
p	: a	=	*113 30
p	: b	= 156 30	
p	: c	= 92 35	
q	: q an c	= 79 20	
	- b	= 100 40	
q	: c	=	*129 40
q	: b	= 140 20	
q	: a	= 94 9	

Die Krystalle sind unvollkommen ausgebildet, die Messungen deswegen nicht scharf. Vom Prisma p findet man meist nur zwei Parallellflächen.

Spaltbar sehr vollkommen nach a.
Perlmutterglänzend auf a.

Schabus: S. 132.

Citronensaures Methyloxyd.



Eingliedrig.

Combination zweier Flächen eines ersten Paares p p', deren scharfe Kante durch b schief abgestumpft ist. Eine schiefe Endfläche c ist

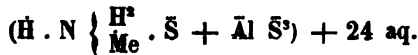
auf die stumpfe Kante pp' schief aufgesetzt, und gegen beide p ungleich geneigt.

Sénarmont fand:

$$\begin{aligned} p : p' &= 128^\circ 1' \text{ bis } 127^\circ 41' \\ p : b &= 115 38 \text{ ,, } 115 40 \\ p' : b &= 116 21 \text{ ,, } 116 41 \\ p : c &= 125 35 \\ p' : c &= 136 45 \end{aligned}$$

Privatmittheilung.

Methylammin - Alaun.



Regulär.

Oktaeder, selten mit den Würfelflächen.

Unvollkommen spaltbar nach den Oktaederflächen.

Schabus: S. 12.

Trimethylammin - Alaun.



Regulär.

Wie der vorige. Zuweilen Zwillinge.

Schabus: ebendas.

Chlorwasserstoff - Trimethylammin - Platinchlorid.



Regulär.

Oktaeder.

Schabus: S. 13.

Tetramethylammonium - Jodid.



Viergliedrig. $a : c = 1,3848 : 1 = 1 : 0,7221$. *Schabus*.

Quadratische Prismen a mit vierflächiger auf die Kanten aufgesetzter Zuspitzung durch das Quadratoktaeder o .

$$o = a : a : c \quad a = a : \infty a : \infty c.$$

	Berechnet.	Beobachtet.
$o \left\{ \begin{array}{l} 2 A = \\ 2 C = \\ \alpha = \end{array} \right.$	$91^\circ 14'$ $54 10$	$119^\circ 18'$ $91 12$
$o : a =$	$120 21$	$120 20$

Schabus: Ann. d. Chem. u. Pharm. 99, 20.

Tetramethylammonium - Trijodid.

N Me⁴. J³.

Zweigliedrig. a : b : c = 0,5918 : 1 : 0,7108. *Schabus.*

Rhombische Prismen p mit Abstumpfung der stumpfen Kanten a, der scharfen b, einer auf letztere aufgesetzten Zuschärfung q und der zweifach stumpferen q_{1/2}.

$$\begin{aligned} p &= a : b : \infty c & a &= a : \infty b : \infty c \\ q &= b : c : \infty a & b &= b : \infty a : \infty c \\ q_{1/2} &= 2b : c : \infty a \end{aligned}$$

An dem Hauptoktaeder ist

$$2 A = 131^\circ 2'; \quad 2 B = 91^\circ 8'; \quad 2 C = 108^\circ 52'.$$

	Berechnet.	Beobachtet.
p : p an a	= 118° 44'	
- b	= 61 16	61° 0'
p : a	=	*149 22
p : b	= 120 38	
q : q an b	=	*70 56
- c	= 109 4	
q : b	= 125 28	125 40
q _{1/2} : q _{1/2} an b	= 39 8	39 12
- c	= 140 52	
q _{1/2} : b	= 109 34	
q : q _{1/2}	= 164 6	
p : q	= 107 12	
p : q _{1/2}	= 99 50	

Die Krystalle sind durch Ausdehnung von a zuweilen tafelartig. Sie haben eine dunkel violette Farbe.

Schabus: Ann. d. Chem. u. Pharm. 99, 2.

Tetramethylammonium - Jodid - Bichlorid.

N Me⁴. (J, Cl²).

Viergliedrig. a : c = 1,508 : 1 = 1 : 0,66314. *Schabus.*

Quadratische Tafeln, Combinationen eines Quadratoktaeders o und der Endfläche c.

$$o = a : a : c \quad c = c : \infty a : \infty a.$$

	Berechnet.	Beobachtet.
o	2 A = 122° 8'	
	2 C = 86 20	
	α = 56 27	
o : c =		*136° 50'

Die Krystalle sind gelb, geruchlos, und selten gut ausgebildet.

Schabus: Ann. d. Chem. u. Pharm. 99, 11.

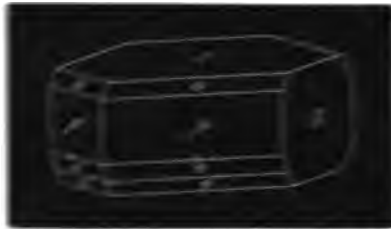
Tetramethylammonium-Pentagall.

§ 11. 3.

Zwei- und einseitige $a : b : c = 1,0000 : 1,0000 : 1,0000$
 $\alpha = 90^\circ 30' 30''$ Seiten.

Combinationen aus rhomboischen Prismen β mit Anstümpfung der scharfen Vertikanten β , der manchmal scharfen Kanten ϵ , eines vertikalen Augtpaars γ und zweier anderen γ' und γ'' , welche sämtlich die Kanten β abstumpfen. Fig. 114).

114



$$\begin{aligned} \alpha &= a : b : c & \beta &= a : b : \infty c & \gamma &= b : \infty a : \infty c \\ \alpha' &= a' : b : c & & & \epsilon &= c : \infty a : \infty b \\ {}^2\alpha' &= a' : b : 2c & & & & \end{aligned}$$

An dem aus α und α' bestehenden Hauptoktaeder ist:

$$\begin{aligned} A &= 117^\circ 0' & C &= 122^\circ 5' \\ B &= 120^\circ 35' & D &= 54^\circ 34' \end{aligned}$$

	Berechnet.	Beobachtet.
$p : p$ an $a =$		$93^\circ 32'$
$- b =$	$96^\circ 25'$	
$p : b$	$133^\circ 14'$	
$p : c$	$=$	$102^\circ 46'$
$\alpha : b$	$114^\circ 42'$	
$\alpha : c$	$=$	$143^\circ 30'$
$\alpha : p$	$139^\circ 16'$	
$\alpha' : b$	$121^\circ 30'$	
$\alpha' : c$	$131^\circ 56'$	$132^\circ 0'$
$\alpha' : p$	$125^\circ 18'$	
${}^2\alpha' : {}^2\alpha'$	$96^\circ 30'$	
${}^2\alpha' : b$	$131^\circ 45'$	
${}^2\alpha' : c$	$108^\circ 33'$	$108^\circ 30'$
${}^2\alpha' : p$	$148^\circ 41'$	
${}^2\alpha' : \alpha'$	$145^\circ 3'$	

Die sehr kleinen Krystalle sind niedrige Prismen oder Tafeln durch Vorherrschen von c .

Die Augtpaare treten sehr untergeordnet auf.

Rehnbau: Sitzungsb. d. Wiener Akad. 1855. Februar.

Methyluramin - Platinchlorid.

Sechsgliedrig — rhomboedrisch. $a : c = 1,2513 : 1$
 $= 1 : 0,7992.$

Sénarmont.

Rhomboeder r mit Abstumpfung der Seitenkanten durch das zweite Prisma q.

$$r = a : a : \infty a : c \quad q = 2a : a : 2a : \infty c.$$

		Berechnet.	Beobachtet.
r	}	2 A =	*108° 5'
		2 C =	71° 55'
		α =	65 14
		γ =	47 18
		r : q =	125 58

Formyltrijodid.

Jodoform. $C^2 H . J^3.$

Sechsgliedrig. $a : c = 0,9025 : 1.$ R.

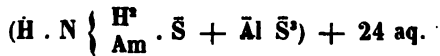
Sechsseitige Tafeln mit zugespitzten Rändern, oder Combination eines Dihexaeders d mit der Endfläche c.

$$d = a : a : \infty a : c \quad c = c : \infty a : \infty a : \infty a$$

		Berechnet.	Beobachtet.
d	}	2 A =	133° 36'
		2 C =	104 0
		α =	42 4
d : c	—	*128° 0'	
d : d über c	=	76 0	76 42

Die Messungen sind approximativ, da die Flächen ziemlich matt sind.

Amylammin - Alaun.

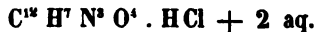


Regulär.

Den übrigen gleich.

Schabus: S. 13.

Chlorwasserstoff - Azophenylamin.



Zweigliedrig. $a : b : c = 0,7102 : 1 : 0,4568.$ *Schabus.*

Combinationen eines Rhombenoktaeders o mit den drei Hexaidflächen a, b und c und einem ersten Paar 2p , welches das zweifach schärfere des zugehörigen ist. Fig. 200.



o = a : b : c ²p = 2a : b : ∞ c a = a : ∞ b : ∞ c
 b = b : ∞ a : ∞ c
 c = c : ∞ a : ∞ b.

	Berechnet.	Beobachtet.
o {	2 A = 137° 58'	
	2 B = 119 21	
	2 C = 76 32	76° 30'
o : a	=	* 120 19,5
o : b	= 111 1	
o : c	=	* 141 44
² p : ² p an a	= 70 18	
- b	= 109 42	109 48
² p : a	= 125 9	
² p : b	= 144 51	

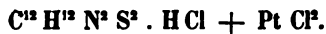
Oester fehlen zwei Flächen von o, wodurch die Krystalle scheinbar zwei- und eingliedrig werden.

Die Flächen sind sehr glänzend und eben, nur die des Prismas öfters gekrümmt.

Bräunlichroth, glasglänzend, nicht sehr vollkommen spaltbar nach c. Pleochromatisch.

Schabus: S. 71.

Chlorwasserstoff-Thiosinnäthylammin-Platinchlorid.



Zweigliedrig. a : b : c = 0,7341 : 1 : 0,3613. Schabus.

Combinationsen eines ersten Paares p, dessen stumpfe Seitenkanten durch a, dessen scharfe durch b abgestumpft sind, mit einem zweiten q.

$$p = a : b : \infty c \quad a = a : \infty b : \infty c$$

$$q = b : c : \infty a \quad b = b : \infty a : \infty c$$

An dem Hauptoktaeder, für welches p und q zugehörige Paare sind, ist:

$$2 A = 144^\circ 4'; \quad 2 B = 130^\circ 18'; \quad 2 C = 62^\circ 48'.$$

	Berechnet.	Beobachtet.
p : p an a	= 107° 26'	
- b	= 72 34	
p : a	=	*143° 43'
p : b	= 126 17	126 10
q : q an c	= 140 16	140 20
- b	= 39 44	
q : b	=	*109 52
p : q	= 101 36	

Die Krystalle sind prismatisch durch Vorherrschen von a und b. Von q bemerkt man oft nur eine Fläche; überhaupt ist nur das obere Ende der Krystalle beobachtet worden.

Schabus: S. 70.

Chlor-Oxamaethan. (S. 395.)

Frankenheim sucht zu zeigen, dass diese Verbindung mit dem Oxamäthan nicht isomorph sei.

Pogg. Ann. 93, 373.

Verbindungen verschiedener Art.

Traubenzucker-Chlornatrium. (S. 399.)

Nächst v. Kobell hat auch Schabus diese Verbindung gemessen.¹⁾

Er beobachtete 1) dihexaedrische Combinationen der beiden Gegenrhomboeder r und r' als scharfe Dihexaeder, deren Seitenkanten durch das erste Prisma p, deren Seitenecken durch das zweite Prisma q abgestumpft werden. Fig. 201. 2) Rhomboedrische Combinationen des Hauptrhomboeders r mit dem Gegenrhomboeder r', dem ersten stumpferen r'₂, dem zweiten Prisma q und der Endfläche c. Fig. 202.

Ist r'₂, wie zu vermuthen, identisch mit r'₁, so würden die beiden Rhomboeder r und die Prismen umgekehrter Ordnung sein.

Neue Flächen sind mithin:

$$p = a : a : \infty a : \infty c \quad c = c : \infty a : \infty a : \infty a$$

1) Sie ist von ihm irrthümlich als Traubenzucker bezeichnet worden.

201



202



		Berechnet.	Beobachtet.	
			v. Kobell.	Schabus.
r oder r'	}	2 A =	78° 42'	
		2 C =	101 18	
		α =	45 15	
		γ =	26 45	
r + r' (Dihexaeder)	}	2 A =	126 58	
		2 C =		* 126° 30'
		α =	30 12	126 40
				127 30
r/2 od. r'/2	}	2 A =	104 50	
		2 C =	75 10	
		α =	63 37	
		γ =	45 15	
r : p	}	=	153 15	
r' : q				
r : r/2	}	=	161 30	161 30
r' : r'/2				
r : r'/2	}	=	129 21	
r' : r/2				
r : q	}	=	140 39	
r' : p				

Schabus: S. 21.

Sorbin.

$C^{12} H^0 O^0 + 3 aq.$

Zweigliedrig. $a : b : c = 0,3357 : 1 : 0,3523.$ Berthelot.

Rhombische Prismen p mit Abstumpfung der Seitenkanten a und

b, einer auf b aufgesetzten Zuschärfung q, der Endfläche c, und dem zwischen p und b liegenden Prisma $\frac{1}{2}p$.

$$\begin{aligned}
 p &= a : b : \infty c & a &= a : \infty b : \infty c \\
 \frac{1}{2}p &= \frac{1}{2}a : b : \infty c & b &= b : \infty a : \infty c \\
 q &= b : c : \infty a & c &= c : \infty a : \infty b.
 \end{aligned}$$

An dem Hauptoktaeder, für welches p das erste, q das zweite zugehörige Paar sind, ist:

$$2 A = 152^\circ 40'; \quad 2 B = 90^\circ 36'; \quad 2 C = 95^\circ 48'.$$

	Berechnet.	Beobachtet.
p : p an a =		* 142° 53'
- b = 37° 7'		36 26
p : a = 161 26		
p : b = 108 33		108 10
$\frac{1}{2}p$: $\frac{1}{2}p$ an a = 67 0		
- b = 113 0		
$\frac{1}{2}p$: a = 128 30		
$\frac{1}{2}p$: b = 146 30		
$\frac{1}{2}p$: p = 165 3		164 20
q : q an c =		* 141 11
- b = 38 49		
q : c = 160 35		
q : b = 109 24		
p : q = 96 4		96 32

Berthelot : Ann. Chim. Phys. III. Sér. XXXV. 222. Ann. d. Chem. u. Pharm. 83, 47.

Milchsucker.



Zweigliedrig. a : b : c = 0,3529 : 1 : 1,6092. *Schabus.*

Combinationsen eines Rhombenoktaeders o mit den Hexaidflächen b und c und einem zweiten Paar q².

Die Krystalle sind hemiedrisch und hemimorph. Am oberen Ende herrscht q² vor, die Endfläche c tritt untergeordnet auf. Nur am unteren Ende erscheinen zwei Flächen des Oktaeders, daneben c sehr ausgedehnt, q² untergeordnet. Fig. 203.

203



$$o = a : b : c \quad q^2 = b : 2c : \infty a \quad b = b : \infty a : \infty c$$

$$c = c : \infty a : \infty b.$$

An dem vollständigen Rhombenoktaeder o ist:

$$2 A = 141^\circ 58'; \quad 2 B = 44^\circ 54'; \quad 2 C = 156^\circ 38'.$$

	Berechnet.	Beobachtet.
o : o über c =	23° 22'	23° 22'
o : b =	=	*109 1
o : c =	=	*101 41
q ² : q ² an c =	34 32	37 56 —39° 18'
- b =	145 28	
q ² : c =	107 16	
q ² : b =	162 44	160 21

Den Messungen zufolge, welche indessen nur approximativ sind, wäre statt q² eher q^{3/5} = b : ^{3/5}c : ∞ a zu setzen.

Die Krystalle sind zu Messungen wenig geeignet, da c meist gekrümmt ist, b und q² uneben und parallel ihren Combinationskanten gestreift sind, was auch auf c bei grösseren Krystallen der Fall ist.

Spaltbar nach b.

Grössere Krystalle zeigen auf b, c, q² Perlmutterglanz, während o mehr fettglänzend erscheint.

Spec. Gew. = 1,534. Optisch rechtsdrehend.

Schabus: S 49.

Mannit.

C° H' O°.

Zweigliedrig. a : b : c = 0,4718 : 1 : 0,5200. Schabus.

204

Combinationsen eines ersten Paares p und eines zweiten q mit der Hexaidfläche b.

Durch Vorherrschen von b sind die Krystalle tafelförmig, und es bilden an den rechtwinklig vierseitigen Tafeln die Prismen p und q ungleiche Zuschärfungen der Ränder.

Oft erscheint zugleich die Hexaidfläche a, die stumpfen Kanten von p abstumpfend; ferner zwischen p und b das zweifach schärfere erste Paar ²p, so wie die stumpfen Kanten von q zuschärfend das zweifach stumpfere zweite Paar q^{1/2}. Fig. 204.

Seltener erscheinen in der Horizontalzone die schärferen Paare ^{3/5}p und ¹p, gleichfalls zwischen p und b, sowie die stumpferen p³ und p⁴ zwischen p und a.



$$\begin{array}{l}
 p = a : b : \infty c \quad a = a : \infty b : \infty c \\
 \frac{1}{2}p = \frac{1}{2}a : b : \infty c \quad b = b : \infty a : \infty c \\
 \frac{2}{3}p = 2a : b : \infty c \\
 \frac{7}{8}p = 7a : b : \infty c \\
 p^2 = a : 2b : \infty c \\
 p^4 = a : 4b : \infty c \\
 q = b : c : \infty a \\
 \frac{q}{2} = 2b : c : \infty a
 \end{array}$$

An dem Hauptoktaeder oder demjenigen Rhombenoktaeder, für welches p und q zugehörige Paare sein würden, ist:

$$2 A = 141^\circ 21',5; \quad 2 B = 91^\circ 17'; \quad 2 C = 101^\circ 15',5.$$

	Berechnet.	Beobachtet.
p : p an a	= 129° 29'	
- b	=	*50° 31'
p : a	= 154 44,5	
p : b	= 115 15,5	115 18
$\frac{1}{2}p$: $\frac{1}{2}p$ an a	= 99 20	
- b	= 80 40	
$\frac{1}{2}p$: a	= 139 40	139 45
$\frac{1}{2}p$: b	= 130 20	
$\frac{1}{2}p$: p	= 164 55,5	
$\frac{2}{3}p$: $\frac{2}{3}p$ an a	= 93 19,5	
- b	= 86 40,5	86 39
$\frac{2}{3}p$: a	= 136 40	136 40,5
$\frac{2}{3}p$: b	= 133 20	133 19,5
$\frac{2}{3}p$: p	= 161 25	
$\frac{7}{8}p$: $\frac{7}{8}p$ an a	= 33 42	
- b	= 146 18	
$\frac{7}{8}p$: a	= 106 51	
$\frac{7}{8}p$: b	= 163 9	163 4
$\frac{7}{8}p$: p	= 132 6,5	
p ² : p ² an a	= 153 27	
- b	= 26 33	
p ² : a	= 166 43,5	
p ² : b	= 103 16,5	103 10
p ³ : p	= 168 1	
p ⁴ : p ⁴ an a	= 166 33	
- b	= 13 27	
p ⁴ : a	= 173 16,5	173 20
p ⁴ : b	= 96 43,5	
p ⁴ : p	= 161 28	
q : q an c	=	*125 3
- b	= 54 57	
q : b	= 117 28,5	117 26,5
$\frac{q}{2}$: $\frac{q}{2}$ an c	= 150 51	150 48
- b	= 29 9	
$\frac{q}{2}$: b	= 104 34,5	104 36

	Berechnet.
$q/2 : q$	= 167° 6'
$p : q$	= 101 21

Die Krystalle sind zuweilen nadelförmig und zeigen meistens nur p, q, b. Die selteneren Flächen der Horizontalzone sind parallel der Zonenaxe gestreift.

Sehr vollkommen spaltbar nach b, weniger nach a.

Schabus: S. 87.

Salicin.



Zweigliedrig. $a : b : c = 0,3486 : 1 : 0,401$. Schabus.

Combinationen zweier Paare p und q und der Hexaidfläche b.

Durch Vorherrschen von b rechtwinklig vierseitige Tafeln mit Zuspitzung der Ränder.

$p = a : b : \infty c$	$b = b : \infty a : \infty c$
$q = b : c : \infty a$	

An dem Hauptoktaeder oder dem Rhombenoktaeder, dessen erstes Paar p, dessen zweites q ist, würde:

$2 A = 149^\circ 30'$; $2 B = 89^\circ 58'$; $2 C = 98^\circ 0'$.

	Berechnet.	Beobachtet.
$p : p \text{ an } a$	= 139° 12'	139° 12'
- b	= 40 48	40 48
$p : b$	=	*110 24
$q : q \text{ an } c$	= 136 18	136 18
- b	= 43 42	
$q : b$	=	*111 51
$p : q$	= 97 27	

Die Krystalle sind sehr klein.

Schabus: S. 86.

Haematoxylin. (S. 401.)



Nach älteren Angaben von *Teschemacher* sind die Krystalle Combinationen dreier Quadratoktaeder und eines herrschenden Prismas gleicher Ordnung, nebst der Endfläche, und dem Prisma anderer Ordnung. Die Neigungen des ersten Prismas sollen gegen

die obere Oktaederfläche	= 122° 10'
„ mittlere „	= 118 15
„ untere „	= 116 15

sein, was nicht sehr wahrscheinlich ist.

E. Wolff beschrieb die Krystalle als rechtwinklig vierseitige Pris-

men mit gerader Abstumpfung der Seitenkanten, und einem auf das Prisma gerade aufgesetzten Augitpaar.

Meine Messungen bestätigen die Angaben von *Kopp*. Ich beobachtete das zweite Prisma *a*, an welchem das erste $= p = a : a : c$ schmale Abstumpfungen der Kanten bildet, und das Hauptoktaeder *o*, von dem eine Fläche gewöhnlich sehr vorherrscht.

$o : o (2 A)$	$= 123^{\circ} 25'$	ungef.
$o : a$	$= 118$	6
$o : p$	$= 131$	30
	(ber. $= 131$	36)

Teschmacher: Phil. Mag. and Ann. of Phil. III. 28. Pogg. Ann. 12, 526.

Wolff: J. f. pr. Chem. 26, 195.

Erythroglucin. (S. 403.)

Auch *Schabus* hat neuerlich die Krystalle dieser Verbindung untersucht, und gefunden, dass der Vierkantner $n = a : \frac{1}{2}a : c$ meistens als parallelfächiger Halbflächner auftritt. Fig. 205. Kommen aber beide Hälften zusammen vor, so unterscheiden sie sich durch die Grösse der Flächen. Fig. 206.

205



206



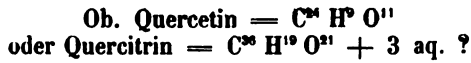
Nach *Schabus* ist

$$a : c = 1 : 0,3762 = 2,6582 : 1.$$

		Berechnet.	Beobachtet.	
			<i>Schabus.</i>	<i>Miller.</i>
o	}	2 A —	* 141° 12'	141° 2'
		2 C = 56° 2' 1)		
		α = 69 23		
n	}	schärf. Endk. = 139 55		
		stumpf. Endk. = 152 0		
		Seitenk. = 99 58		
		o : a = 109 24	109 24	
		o : n =	152 48	
		a : n =	136 36	138 42.

Schabus: S. 26.

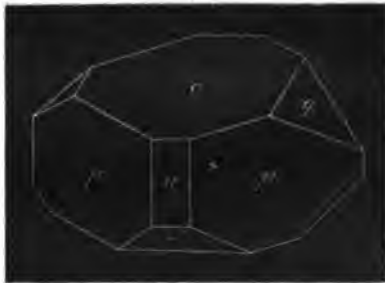
Quercit.



Zwei- und eingliedrig. $a : b : c = 0,8001 : 1 : 0,7662.$
 $\alpha = 68^\circ 57'.$ *Sénarmont.*

Rhombische Prismen p mit Abstumpfung der stumpfen Seitenkanten a und einer auf diese aufgesetzten (basischen) schiefen Endfläche c, in deren Diagonalzone ein zweites Paar q liegt, sowie einer hinteren Endfläche r'. Fig. 207.

207



$$\begin{aligned}
 p &= a : b : \infty c & a &= a : \infty b : \infty c \\
 q &= b : c : \infty a & c &= c : \infty a : \infty b \\
 r' &= a' : c : \infty b
 \end{aligned}$$

An dem zwei- und eingliedrigen Hauptoktaeder ist:

1) Im Handb. S. 404 ist irrthümlich das Complement angegeben.

$$\begin{array}{ll} A = 114^\circ 22' & C = 104^\circ 48' \\ B = 132 \quad 12 & D = 100 \quad 36 \end{array}$$

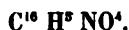
	Berechnet.	Beobachtet.
p : p an a	= 106° 30'	106° 29'
- b	= 73 30	
p : a	=	*143 15
a : c	=	*111 3
a : r'	=	*122 40
c : r'	= 126 17	126 38 ungef.
q : q an c	= 108 52	109 5
- b	= 71 8	
q : c	= 144 26	144 28
p : c	= 106 44	106 15—50'
p : r'	= 115 37	115 15 ungef.

Die Flächen p sind vertical gestreift.

Die Krystalle zeigen Neigung zur Hemiedrie.

Privatmittheilung.

Isatin.



Zweigliedrig. a : b : c = 0,4238 : 1 : 0,2125. *Schabus.*

Combinations eines rhombischen Prismas (ersten Paars) p mit Abstumpfung der scharfen Kanten b, und einer auf die stumpfen aufgesetzten Zuschärfung durch ein drittes Paar r.

$$\begin{array}{l} p = a : b : \infty c \quad b = b : \infty a : \infty c. \\ r = a : c : \infty b \end{array}$$

An dem Hauptoktaeder ist:

$$2 A = 158^\circ 30'; \quad 2 B = 127^\circ 44'; \quad 2 C = 57^\circ 10'.$$

	Berechnet.	Beobachtet.
		<i>Schabus.</i> <i>G. Rose.</i>
p : p an a	= 134° 4'	133° 50'
- b	= 45 56	
p : b	=	*112° 58'
r : r an c	=	*126 44
- a	= 53 16	127 15—30'
p : r	= 114 23.	

Kurze Prismen oder Nadeln. Die Flächen p und b sind häufig gekrümmt, r ist sehr klein und oft unvollkommen ausgebildet.

Spaltbar ziemlich gut nach r.

Roth, pleochromatisch.

G. Rose: J. f. prakt. Chem. 24, 11.

Schabus: S. 90.

Rammelsberg, kryst.-chem. Forsch.

Cantharidin.

$C^{10} H^6 O^4$.

Zweigliedrig. $a : b : c = 0, 8861 : 1 : 0,5377$. *Marignac.*

Rechtwinklig vierseitige Prismen $a b$, mit vierflächiger auf die Flächen aufgesetzter Zuspitzung durch die beiden Paare q (auf b) und r (auf a).

$$\begin{aligned} q &= b : c : \infty a & a &= a : \infty b : \infty c \\ r &= a : c : \infty b & b &= b : \infty a : \infty c. \end{aligned}$$

An dem Hauptoktaeder (dessen zweites und drittes zugehöriges Paar q und r sind) ist:

$$2 A = 130^\circ 38'; \quad 2 B = 123^\circ 46'; \quad 2 C = 78^\circ 4'.$$

	Berechnet.	Beobachtet.
$r : r \text{ an } c =$		$*117^\circ 30'$
- $a =$	$62^\circ 30'$	
$r : a =$	$121 \quad 15$	$121 \quad 15$
$q : q \text{ an } c =$		$*123 \quad 28$
- $b =$	$56 \quad 32$	
$q : b =$	$118 \quad 16$	$118 \quad 15$
$q : r =$	$138 \quad 51$	$138 \quad 55$

An den Krystallen ist bald a , bald b als Tafelfläche herrschend. Spaltbar nach a und b .

Stearopten aus dem Oel von Ptychotis Ajowan.

$C^{44} H^{34} O^{10}$. *Stenhouse.*

Sechsgliedrig — rhomboedrisch. $a : c = 0,6165 : 1$
 $= 1 : 0,6219$.

Miller.

Combinationsen eines herrschenden Rhomboeders r mit dem ersten stumpferen $r'/_2$, dem zweiten Prisma q und der Endfläche c .

Die Krystalle aus dem ätherischen Oele haben ein rhomboedrisches Ansehen; die Flächen $r'/_2$ und q sind sehr schmal. Die Krystalle aus Alkohol erscheinen zwei- und eingliedrig, indem sich eine der Flächen von r sehr ausdehnt, und der schiefen Endfläche eines von den beiden anderen gebildeten sehr niedrigen Prismas gleicht. Nur an diesen Krystallen beobachtete man die Endfläche.

$$\begin{aligned} r &= a : a : \infty a : c & q &= a : \frac{1}{2}a : a : \infty c \\ r'/_2 &= a' : a' : \infty a : \frac{1}{2}c & c &= c : \infty a : \infty a : \infty a. \end{aligned}$$

Berechnet.

Beobachtet.

	Berechnet.	Kr. aus Oel	aus Alkohol.
$r = \left\{ \begin{array}{l} 2 A = \\ \alpha = \\ \gamma = \end{array} \right.$	$\begin{array}{l} 46^\circ 52' \\ 28 \quad 6 \end{array}$	$*80^\circ 22'$	$81^\circ 18-20'$

	Berechnet.	Beobachtet.	
		Kr. aus Oel	aus Alkohol.
$r'/_2 =$	$\left\{ \begin{array}{l} 2 A = 118^\circ 44' \\ \alpha = 70 \quad 1 \\ \gamma = 46 \quad 52 \end{array} \right.$		
$r : r'/_2$	$= 130 \quad 11$	$130^\circ 41'$	$130^\circ 39' - 42'$
$r : r'/_2$ über c	$= 74 \quad 58$		$76 \quad 37$
$r : c$	$= 118 \quad 6$		$118 \quad 49 - 54$
$r'/_2 : c$	$= 136 \quad 52$		$137 \quad 43 - 47$
$r : q$	$= 139 \quad 49$	$139 \quad 19$	$139 \quad 21$

Sehr vollkommen spaltbar nach r.

Miller: Ann. d. Chem. u. Pharm. 98, 310.

Terpin. (S. 406.)

Sénarmont fand:

p : p an a	$= 102^\circ 33'$
p : b	$= 128 \quad 42$
q : b	$= 113 \quad 56$
o : o (2 A)	$= 135 \quad 30$
o : p	$= 126 \quad 31$

Privatmittheilung.

Verbesserungen zum Handbuch.

- S. XII. Spalte 1, Z. 27 u. 28 v. o. l. Unterschweifelsaure u. Unterschweifels. st. Unterschweifigsaura u. Unterschweifigs.
- S. 7. Z. 20 v. u. l. der Winkel α nach 2.
- S. 12. Z. 13 v. u. l. $Y + Z + B = 180^\circ$.
- S. 45. Z. 7 v. u. l. $^2p : ^2p$ an a.
- S. 48. Z. 6 v. u. l. 0,5949.
- S. 64. In der Fig. 70—73 ist das linke p als p' zu bezeichnen.
- S. 65. Z. 10 v. o. l. $p : p'$.
 Z. 11 v. o. st. a l. b.
 Z. 17 v. o. st. $127^\circ 17' l. 107^\circ 17'$.
 Z. 20 v. o. st. $127^\circ 51' l. 134^\circ 53'$.
 Z. 5 v. u. st. ein l. eine.
- S. 69. Z. 21 v. o. l. $o^{1/2}$ st. $o/2$.
- S. 63. Z. 23 v. o. st. *Brooks* l. *Haidinger*.
- S. 196. Z. 13 v. o. l. $*80^\circ 0'$.
- S. 249. Z. 19 v. o. l. $c : \infty a : \infty a$.
- S. 268. Z. 2 v. u. st. r^2 l. $r^{1/2}$.
- S. 333. Z. 11. v. u. st. $c = c : \infty a : \infty b$ l. $b = b : \infty a : \infty c$.
- S. 341. Z. 8 v. u. st. $q : b$ l. $p : b$.
 Z. 1 v. u. st. $71^\circ 53' l. 91^\circ 53'$.
-



THE BORROWER WILL BE CHARGED AN OVERDUE FEE IF THIS BOOK IS NOT RETURNED TO THE LIBRARY ON OR BEFORE THE LAST DATE STAMPED BELOW. NON-RECEIPT OF OVERDUE NOTICES DOES NOT EXEMPT THE BORROWER FROM OVERDUE FEES.

W. E. A.
D. P.
MAY 1 1982
8305

